N° d'ordre : **45 - 2001** Année 2001

#### THESE

#### présentée

#### devant L'UNIVERSITE CLAUDE BERNARD - LYON 1

pour l'obtention

#### du DIPLÔME DE DOCTORAT

(arrêté du 30 mars 1992)

Spécialité : Ecologie Microbienne

Présentée et soutenue publiquement le

16 Mars 2001

Par

#### Abdoulage SY

## CARACTERISATION DE METHYLOBACTERIUM NODULANS : UNE NOUVELLE ESPECE BACTERIENNE NODULANT LES CROTALAIRES

Directeur de thèse : M. Bernard DREYFUS

#### **JURY**

M. Frans DE BRUIJN Directeur de Recherches - CNRS, Toulouse Rapporteur  Mme. Monique GILLIS Professeur - Université de Gand, Belgique Rapporteur  M. Yvan MOENNE-LOCCOZ Professeur - Université Claude Bernard, Lyon Examinateur  M. Bernard DREYFUS Directeur de Recherches - IRD, Montpellier Examinateur  M. Eric GIRAUD Ingénieur de Recherches - IRD, Montpellier Examinateur	M. Philippe NORMAND	Directeur de Recherches - CNRS, Lyon	Président
M. Yvan MOENNE-LOCCOZ Professeur - Université Claude Bernard, Lyon Examinateur  M. Bernard DREYFUS Directeur de Recherches - IRD, Montpellier Examinateur	M. Frans DE BRUIJN	Directeur de Recherches - CNRS, Toulouse	Rapporteur
M. Bernard DREYFUS Directeur de Recherches - IRD, Montpellier Examinateur	Mme. Monique GILLIS	Professeur - Université de Gand, Belgique	Rapporteur
	M. Yvan MOENNE-LOCCOZ	Professeur - Université Claude Bernard, Lyon	Examinateur
M. Eric GIRAUD Ingénieur de Recherches - IRD, Montpellier Examinateur	M. Bernard DREYFUS	Directeur de Recherches - IRD, Montpellier	Examinateur
	M. Eric GIRAUD	Ingénieur de Recherches - IRD, Montpellier	Examinateur

A mes parents

A mes frères et sœurs

A mes cousins Aboubakry et Ibrahima

#### REMERCIEMENTS

Ce travail a été réalisé au LSTM (Laboratoire des Symbioses Tropicales et Méditerranéennes) de L'UMR 113 (INRA/AGRO-M/CIRAD/IRD) de Montpellier.

Je remercie Bernard DREYFUS directeur du laboratoire de m'avoir accueilli dans équipe depuis mon DEA, d'avoir guidé mes pas dans la recherche et d'avoir accepté de diriger ce travail de thèse. Sa compétence, son soutien et sa confiance n'ont jamais fait défaut.

Une mention spéciale à Eric GIRAUD, qui a suivi, inspiré et corrigé ce travail. Son esprit critique, sa rigueur scientifique, son enthousiasme et sa sympathie m'ont été d'un apport considérable pour la réalisation de ce travail. Je garderais un souvenir inoubliable des trois années ô combien enrichissantes passées à ses côtés.

Je remercie Philippe de LAJUDIE et Catherine BOIVIN pour leurs conseils précieux tout au long de ce travail, Yves PRIN pour sa participation active pour les coupes de nodule, et Philippe JOURAND pour son aide efficace.

Que l'ensemble du personnel du LSTM et tout particulièrement les stagiaires et thésards reçoivent ici l'expression de ma sincère reconnaissance. Je ne prendrais pas le risque de citer de noms au risque d'en oublier certains.

Mon parcourt a commencé au Laboratoire de microbiologie des sols de l'IRD à Dakar. Je tiens à remercier tout le personnel et les amis de cette sympathique et chaleureuse équipe. Je remercie également Mrs Amadou Tidiane BA et Ibrahima NDOYE du département de biologie végétale de l'université de Dakar.

J'adresse toute ma considération à Madame Monique GILLIS et à Mr Frans DE BRUIJN qui ont spontanément accepté de juger ce travail.

Je tiens à remercier également, Mrs Philippe NORMAND et Yvan MOENNE-LOCCOZ qui me font l'honneur de participer à ce jury.

Merci à tous.

## **SOMMAIRE**

INTRODUCTION GENERALE	
ANALYSE BIBLIOGRAPHIQUE	6
I - GENERALITES SUR LA FIXATION BIOLOGIQUE DE L'AZOTE	6
II - LA SYMBIOSE RHIZOBIUMS-LEGUMINEUSES	7
II - 1 - Les légumineuses	8
II - 2 - Les rhizobiums	9
III - LA TAXONOMIE BACTERIENNE	9
III - 1 - Les outils de la taxonomie polyphasique	11
III - 1 - 1 - Les méthodes génotypiques	12
A - Détermination du pourcentage Guanine + cytosine	12
B - L'hybridation ADN/ADN	12
C - Les homologies de séquences d'ARNr	13
D - Le typage génétique	15
III - 1 - 2 - Les méthodes phénotypiques	18
III - 2 - La taxonomie des rhizobiums	19
A - Le genre Azorhizobium	21
B - Le genre <i>Bradyrhizobiu</i> m	21
C - Le genre Rhizobium	23
D - Le genre Sinorhizobium	23
E - Le genre Mesorhizobium	24
F - Le genre <i>Allorhizobium</i>	25
IV - LES MECANISMES DE LA SYMBIOSE	26
IV - 1 - Les gènes de nodulation	27
A - Les gènes <i>nod</i> communs B - Les gènes <i>nod</i> spécifiques	27 28

C - Les gènes <i>nod</i> régulateurs	29
IV - 2 - Les facteurs de nodulation ou facteurs nod	30
V - LES CROTALAIRES	31
V - 1 - Généralités	31
V - 2 - Biochimie et toxicité des crotalaires	32
V - 3 - Utilisations des crotalaires	34
VI - LE GENRE METHYLOBACTERIUM	37
VI - 1 - Les bactéries méthylotrophes	37
VI - 2 - Taxonomie du genre Methylobacterium	38
VI - 3 - Phylogénie des méthylotrophes	42
VI - 4 - L'écologie des Methylobacterium	43
VI - 5 - La physiologie	44
VI - 5 - 1 - Oxydation du méthanol	44
VI - 5 - 2 - Oxydation et assimilation du formaldéhyde	46
VI - 6 - Génétique et organisation des gènes	47
VI – 6 – 1 – La mutagénèse	48
VI - 6 - 2 - Clonage et systèmes de transfert	49
VI - 6 - 3 - Organisation des gènes de la MDH	50
A - Les gènes <i>mxa</i>	52
B - Les gènes mxb, mxc et mxd	53
C - Les gènes de la PQQ	54
MATERIEL ET METHODES	
<del></del>	
I - ISOLEMENT ET CONSERVATION DES SOUCHES	56
II - LES MILIEUX DE CULTURE	56
II - 1 - Cultures bactériennes	56
A - Milieu YM (Vincent, 1970)	56
B - Milieu LB (Luria Bertani)	57

C – Milieu TY tamponné (Beringer, 1974)	57
D - Milieu M72 (Green, 1991)	57
E - Milieu TYGPN	58
II - 2 - Culture des plantes en tubes Gibson	58
A - Milieu Jensen (Vincent, 1970)	58
III - TESTS DE NODULATION	58
IV - MESURE DE L'ACTIVITE REDUCTRICE D'ACETYLENE (ARA)	59
V - PREPARATION DES EXTRAITS PROTEIQUES	60
A - Culture et récolte des bactéries	61
B - Extraction des protéines et électrophorèse	62
C - Analyse des profils protéiques	62
D - Les solutions	63
VI - EXTRACTION D'ADN	64
A - Extraction de l'ADN génomique bactérien	64
B - Extraction de l'ADN génomique chez les plantes	65
C - Extraction d'ADN plasmidique	65
VII - AMPLIFICATION DE L'ADN PAR PCR	65
A - Principe	65
B - Conditions d'amplification et amorces utilisées	66
VIII - DIGESTION DES PRODUITS D'AMPLIFICATION	67
IX - CONSTRUCTION D'UNE BANQUE D'ADN GENOMIQUE TOTAL	
d'ORS 2060	68
A - Obtention des clones de la banque	68
B - Criblage des clones de la banque	69
X - HYBRIDATION PAR SONDE FROIDE	70
A - Transfert de l'ADN sur membrane de Nylon	70
B - Préparation des sondes	70
C - L'hybridation de la sonde	70
XT - SOUS-CLONAGE ET SEQUENCAGE DES GENES	72

	A - les plasmides	72
	B - La ligation	72
	C - Obtention des cellules compétentes	73
	D - la transformation	73
	E - Séquençage	74
	F - Analyse et alignement des séquences	74
	XII - CONSTRUCTION D'UN MUTANT MXAF	75
	A - Stratégie : la recombinaison homologue	75
	B - La conjugaison	76
	XIII - TESTS D'UTILISATION DES SUBSTRATS CARBONES	76
	CHAPITRE I	
	<del></del>	
	I - INTRODUCTION	78
	II - RESULTATS ET DISCUSSION	81
	III - CONCLUSIONS	83
_		
	CHAPITRE II	
	I - INTRODUCTION	97
	II - RESULTATS	99
	II - 1 - Collection de souches	99
	II - 2 - Spécificité de nodulation	99
	<ul><li>II - 3 - Analyse des profils protéiques sur gel de polyacrylamide</li></ul>	103
	II - 3 - 1 - Les souches à croissance lente	103
	II - 3 - 2 - Les souches à croissance rapide	106
	II - 4 - Polymorphisme du gène de l'ARNr 165	107
	II - 4 - 1 - Amplification du gène de l'ARNr 165	107
	II - 4 - 2 - Digestion des produits d'amplification de l'ADNr 1	.65

(ARDRA)	107
II - 5 - Séquençage de l'ADNr 16S	108
II - 6 - Analyse phylogénétique des séquences de l'ADNr 16S	109
II - 7 - Etude du polymorphisme du gène nodA	111
II - 7 - 1 - Amplification du gène nodA	111
II - 7 - 2 - Digestion des produits d'Amplification du gène	
nodA	111
II - 8 - Analyse phylogénétique du gène nodA	112
II - 9 - Etude de l'organisation des gènes de nodulation	113
II - 9 - 1 - Banque d'ADN génomique d' ORS 2060 et sélectio	n des
clones nod	113
II - 9 - 2 - Sous-Clonage et séquençage des gènes de	
nodulation	114
II - 10 - Analyse phylogénétique des séquences ITS de	
Crotalaires	115
III - DISCUSSION	117
III - 1 - Spécificité de nodulation chez les crotalaires	117
III - 2 - Methylobacterium, un nouveau genre symbiotique	118
<ul><li>III - 3 - Liens phylogénétiques des gènes de nodulation</li></ul>	120
III -4 - Organisation des gènes de nodulation Chez "M. nodulans"	122
III - 5 - Divergence entre la classification morphologique des	
crotalaires et la phylogénie basée sur les séquences ITS.	124
IV - CONCLUSION	125
CHAPITRE III	
I - INTRODUCTION	127
II - RESULTATS	130
II - 1 - Caractérisation du gène mxaF chez "M. nodulans"	130

A - Recherche du gène chez les différentes souches de	
crotalaires	130
B - Clonage et séquençage du gène mxaF de "M. nodulans"	
ORS 2060	130
II - 2 - Identification d'un gène homologue au gène <i>mxaF</i> chez	
les rhizobiums	131
II - 3 - Analyse phylogénétique des séquences mxaF et mxaF'	132
II - 4 - Etude de la méthylotrophie	134
A - L'oxydation du méthanol	134
B - Utilisation de différents substrats carbonés	135
II - 5 - Etudes des propriétés symbiotiques chez	
Methylobacterium	
A - Tests de nodulation	137
B - Isolement des gènes de nodulation	138
II - 6 - Etude du rôle de la méthylotrophie dans la symbiose	138
A - Construction d'un mutant non méthylotrophe	138
B - Effet de la méthylotrophie sur la symbiose	139
III - DISCUSSION	141
CONCLUSION GENERALE ET PERSPECTIVES	144
REFERENCES BIBLIOGRAPHIOQUES	155

#### LISTE DES TABLEAUX ET FIGURES

ANALYSE BIBLIOGRAPHIQUE	page
Tableau 1. Classification des bactéries symbiotiques des légumineuses.	21
Tableau 2. Critères de définition de nouveaux taxons de rhizobiums.	22
Tableau 3. Structure chimique des facteurs Nod produits par les rhizobia.	30
<b>Tableau 4</b> . Les différentes espèces de <i>Crotalaria</i> du Sénégal et classification d'après Polhill, (1982).	leur 31
Tableau 5. Alcaloïdes et d'acides aminés toxiques dans les graine Crotalaires Africaines d'après Polhill, (1982).	es de <b>34</b>
Tableau 6. Les différentes espèces de Methylobacterium.	42
<b>Tableau 7</b> . Désignation des gènes d'oxydation du méthanol chez les bact méthylotrophes.	téries 51
Figure 1. Pouvoirs discriminatifs des techniques de taxonomie.	11
Figure 2. Arbre phylogénétique des rhizobiums.	20
Figure 3. Interactions entre le Rhizobium et la racine de la plante.	26
Figure 4. Carte des gènes de nodulation de quelques rhizobiums.	27
Figure 5. Position de Methylobacterium dans les $\alpha$ -protéobactéries.	43
Figure 6. Oxydation et assimilation du méthane et du méthanol che méthylotrophes.	z les <b>45</b>
Figure 7. Oxydation du formaldéhyde chez les bactéries méthylotrophes.	46
Figure 8A. Assimilation du formaldéhyde par la voie de la rib monophosphate.	ulose <b>47</b>
Figure 8B. Assimilation du formaldéhyde par la voie de la sérine.	47

### MATERIEL ET METHODES

Tableau 9. Enzymes de restriction et leurs sites de reconnaissance.	67
Tableau 10. Amorces utilisées pour le séquençage de gènes étudiés.	75
Figure 9. Sites de prélèvement des nodules de Crotalaria.	56
Figure 10A. Programme PCR Classique pour amorces spécifiques.	66
Figure 10B. Programme "Touch-dowm" PCR pour amorces dégénérées.	66
Figure 11. Construction d'une banque d'ADNg de la souche ORS 2060.	68
Figure 12. Programme utilisé pour effectuer les réactions de séquence.	74
Figure 13. Position des amorces pour le séquençage de l'ADNr 165.	74
Figure 14. Construction du mutant mxaF de la souche ORS 2060.	76
CHAPITRE II	
Tableau 11. Collection des souches de Crotalaires du Sénégal.	100
Tableau 12. Spécificité de nodulation chez les différentes espèce Crotalaria.	es de 101
Tableau 13. Spécificité de nodulation au sein du genre Crotalaria.	102
Tableau 14. Nomenclature et origine des souches de référence.	105
Tableau 15. Récapitulatif des profils de restriction de l'ADNr 165.	107
Tableau 16. Matrice de distances des séquences d'ADNr 165 des difféisolats et des espèces de Methylobacterium.	érents 110
Tableau 17. Récapitulatif des profils de restriction du gène NodA.	112
Figure 15. Dendrogramme SDS-PAGE des souches de Crotalaires.	104
Figure 16. Séquences du gène de l'ARNr 165 des souches ORS 20 ORS1924.	60 et <b>108</b>
Figure 17. Positionnement des souches ORS 2060 et 1929 sur l'phylogénétique des rhizobia.	arbre 109
Figure 18. Phylogénie entre la souche ORS 2060 et les différentes espèc	ces de

Figure 19. Arbre phylogénétique des protéines NodA.	113
Figure 20a. Hybridation avec une sonde nod des profils de restrictions du nod 4-6-6 ou STM 223.	clone 114
Figure 20b. Clonage des gènes de nodulation de la souche ORS 2060.	114
Figure 21. Organisation du cluster des gènes nod chez ORS 2060.	115
Figure 22. Phylogénie des séquences ITS de 16 espèces de crotalaires.	116
CHAPITRE III	
<b>Tableau 18</b> . Identité des fragments amplifiés chez les rhizobiums avenuences protéiques des gènes mxaF et mxaF' de M. extorquens et du xoxF de P. denitrificans.	
Tableau 19. Assimilation des composés carbonés par "M. nodulans" et la s de Lotononis bainesii 4-46.	ouche 136
Tableau 20. Tests de nodulation chez les espèces de Methylobacterium.	138
Figure 23. Amplifiats du gène mxaF des souches de crotalaires.	130
Figure 24a. Hybridation des fragments de restriction avec la sonde $mxaF$ .	131
Figure 24b. Sous-Clonage et séquençage du clone STM 245.	131
Figure 25. séquence de la protéique mxaF de "M. nodulans" ORS 2060.	132
Figure 26. Arbre phylogénétique basé sur les séquences aminoacides du $mxaF$ et des gènes homologues identifiés chez les différentes espèc rhizobiums.	_
Figure 27. Arbre phylogénétique basé sur les séquences protéiques comp mxaF, mxaF' et xoxF' des bactéries méthylotrophes.	olètes 1 <b>34</b>
Figure 28. Croissance de "M. nodulans" sur M72 avec du méthanol 50 mM.	135
Figure 29. Croissance de "M. nodulans" sur M72 contenant du méthodifférentes concentrations.	anol à 135
Figure 30. Croissance de "M. nodulans" sur M72 avec de l'éthanol 50 mM.	137
Figure 31. Croissance des mutants obtenus sur alcool allylique sur contenant du méthanol 10 ml/l.	M72

#### LISTE DES ANNEXES

- Annexe 1. Alignement des séquences des gènes nodA des souches à croissance rapide de crotalaires.
- Annexe 2. Alignement des séquences des gènes nodA des souches à croissance lente de crotalaires.
- Annexe 3. Alignement des séquences des gènes nodA des souches de Lotononis bainesii.
- Annexe 4. Séquence nucléotidique du fragment XmaI de 7 kb contenant les gènes de nodulation.
- Annexe 5. Alignement multiple des séquences ITS obtenu chez 16 individus de la tribu des *Crotalariae*.
- Annexe 6. Séquence nucléotidique du clone STM 245 contenant le gène mxaF, (position 1583 à 3472).

#### **ABREVIATIONS**

bv. biovar

CSPD disodium 3-(4-méthoxyspiro{1,2-dioxétane-3,2'-(5'-chloro) tricyclo

 $[3.3.1^{3.7}]$  decan]-4-yl)

DIG-AP digoxigénine liée à une phosphatase alcaline

dNTP désoxynucléotide triphosphate

DO densité optique ou absorbance

E. coli Escherichia coli

EDTA acide éthylène diamine tétra-acétique

Facteur Nod facteur de nodulation

ITS Internal Trancribed spacer

kb Kilobase

nm nanomètre

MDH Méthanol deshydrogénase

ORS collection ORSTOM

**ORF** phase de lecture ouverte

PCR Polymérase Chain Reaction

RFLP Restriction Fragment Lenght polymorphism

SDS sodium dodecylsulfate

SDS-PAGE sodium dodecylsulfate-polyacrylamid gel electrophoresis

SSC sodium chlorure-sodium citrate

Tm Température de 1/2 dénaturation de l'ADN

UV/VIS ultra-violet/visible

v/v volume/volume

YMA yeast mannitol agar

ADAP Acide Acétyldiaminopropionique

ODAP Acide Oxalyldiaminopropionique

ODAB Acide oxalyldiaminobutyrique

STM Laboratoire des Symbioses tropicales et Méditerranéennes

PQQ Pyrroloquinoline quinone

min Minute

W/m² Watt par mètre carré

mA milliampère

KV Kilovolte

M molaire

mM millimolaire

μF Microfarad

MCS Multicloning site

Pmol picomole

μ**g** microgramme

LMG Laboratoire de Microbiologie de Gand

Δ**TM** différence entre la température moyenne de demi-renaturation

(Tm) d'un hybride hétérologue et la Tm d'un hybride homologue

NaPBS Na Phosphate Buffered Saline

UPGMA Unweighted pair Group Method Average

# INTRODUCTION GENERALE

En Afrique subsaharienne, l'agriculture traditionnelle a longtemps été caractérisée par l'alternance d'une mise en culture des sols, suivie d'un abandon cultural après la baisse des rendements. Cette seconde phase permettait la remontée de la fertilité des sols grâce à une jachère de longue durée qui favorisait un retour vers une savane arbustive ou arborée (Serpantié et Floret, 1994). Ce système de cycles, culture-jachère longue a parfaitement fonctionné jusqu'à une époque plus ou moins récente. Actuellement, la pression démographique et le besoin important de terres cultivables ont considérablement raccourci le temps de jachère, et celle-ci, lorsqu'elle n'a pas totalement disparu, ne joue plus que partiellement son rôle de reconstitution de la fertilité des sols. Or, le coût élevé des engrais chimiques, ainsi que la faible disponibilité de fumier et de matière organique, ne permettent pas aux paysans africains de compenser l'épuisement prématuré des sols dû au raccourcissement de la jachère. Une des solutions durables pour inverser cette tendance passe par une amélioration de l'efficacité de cette jachère courte dans le maintien de la fertilité des sols, notamment en favorisant un enrichissement des jachères en légumineuses.

Les légumineuses tropicales spontanées de jachères, annuelles ou pérennes sont mal connues des agriculteurs qui les ont longtemps considérées comme de simples mauvaises herbes. Pourtant, grâce à leur symbiose avec les rhizobiums qui forment des nodules fixateurs d'azote sur leurs racines et parfois sur leurs tiges, elles jouent un rôle très important dans le maintien et l'amélioration de la fertilité des sols, comme fourrage pour les animaux, et plus généralement dans la protection de l'environnement. Mais ce n'est que récemment (Doignon-Bourcier, 1999) que l'on a commencé à étudier de façon approfondie la nodulation et la fixation d'azote de ces petites légumineuses, dont plusieurs sont des espèces menacées par le surpâturage ou la désertification. Un premier travail de

prospection botanique sur l'ensemble du Sénégal, avait préalablement permis de constituer une collection de graines de petites légumineuses de jachères et d'étudier leurs propriétés germinatives en milieu aride (Neffaty, 1994 ; Sy, 1995 ; Sy et al., 1997). Parallèlement, l'isolement des premières souches de rhizobiums à partir des nodules récoltés sur le terrain (Doignon-Bourcier et al., 1999) avait confirmé que les petites légumineuses de jachères étaient nodulées par des souches bactériennes appartenant au genre Bradyrhizobium. Ce genre bactérien, classiquement associé à la grande majorité des légumineuses tropicales, est caractérisé par un large spectre d'hôte qui lui permet de fixer efficacement l'azote dans les nodules de nombreuses espèces différentes de légumineuses tropicales. Ainsi une même souche bactérienne peut indifféremment noduler un Indigofera, un Tephrosia ou un Alysicarpus (Doignon-Bourcier et al., 1999). Seule exception parmi les légumineuses étudiées, nous avions observé au cours des tests préliminaires sur les petites légumineuses que certaines espèces appartenant au genre Crotalaria n'étaient pas nodulées par les Bradyrhizobium et présentaient donc une spécificité de nodulation inhabituelle. Après avoir participé à l'étude de la diversité des rhizobiums des légumineuses de jachère, nous nous sommes donc particulièrement intéressés au genre Crotalaria dont plus de trente espèces sont communément rencontrées dans les jachères du Sénégal. Les crotalaires, comme l'ensemble des petites légumineuses spontanées, peuvent également améliorer la fertilité des sols de jachère. De plus, outre leur potentiel fixateur d'azote, les crotalaires présentent un deuxième avantage agronomique : elles sont connues pour être d'excellentes plantes pièges pour les nématodes et limitent donc fortement les populations de ces importants ravageurs des cultures. Ces propriétés font que certaines espèces de crotalaires sont utilisées

à travers le monde à la fois pour éliminer les populations de nématodes et comme engrais vert pour enrichir le sol en azote.

#### PRESENTATION DU TRAVAIL DE THESE

L'objectif principal de ce travail a donc consisté à caractériser la diversité et les propriétés symbiotiques des rhizobiums associés aux espèces du genre *Crotalaria* afin de pouvoir disposer ultérieurement de souches performantes pouvant être employées comme inoculum pour l'utilisation au champ des espèces de crotalaires qui présentent d'importantes potentialités agronomiques.

Dans le premier chapitre, nous nous sommes consacrés à l'étude générale de la diversité des souches de rhizobiums à croissance lente associées à plusieurs espèces de petites légumineuses et à leurs relations phylogénétiques avec les différents groupes de *Bradyrhizobium sp.* précédemment décrits, ainsi que les espèces types de *Bradyrhizobium*.

Dans le deuxième chapitre, nous nous sommes intéressés spécifiquement à la caractérisation d'une collection de plus d'une centaine de souches isolées de crotalaires poussant au Sénégal.

Les propriétés symbiotiques des différentes souches de cette collection ont été étudiées par l'intermédiaire de tests d'inoculations croisés sur différentes espèces de crotalaires ainsi que sur d'autres légumineuses tropicales dont les bactéries symbiotiques sont bien caractérisées. Ces tests de nodulation ont fait ressortir qu'un groupe de souches à croissance rapide isolées de certaines espèces de crotalaires était spécifique de ces dernières espèces, alors que les autres isolats à croissance lente avaient un spectre d'hôte large typique des Bradyrhizobium.

L'analyse par SDS-PAGE réalisée dans une première étape a montré également que les souches à croissance rapide, très spécifiques, forment un groupe homogène et distinct des autres isolats et des autres espèces de rhizobiums connues.

La caractérisation génotypique et phylogénétique de ce groupe a montré que les symbiotes spécifiques de crotalaires appartiennent, de façon surprenante, au genre *Methylobacterium* qui ne renfermait jusqu'à présent que des bactéries méthylotrophes non symbiotiques.

Les bactéries du genre Methylobacterium sont largement réparties dans la nature, partout où les composés à un carbone sont abondants. Elles sont capables d'assimiler les composés en  $C_1$  comme source de carbone et d'énergie. Ainsi les Methylobacterium peuvent oxyder le méthanol en formaldéhyde qui est par la suite utilisé par les voies d'assimilation et pour fournir de l'énergie. L'oxydation du méthanol est réalisée par l'intermédiaire d'une enzyme, la méthanol deshydrogénase (MDH). Ces bactéries vivent souvent en association avec les plantes, sur les surfaces foliaires ou comme contaminants des cultures cellulaires végétales (Corpe et Basile, 1982 ; Holland, 1997 ; Holland et Polacco, 1994), mais aucune espèce de Methylobacterium n'avait jusqu'à présent été décrite comme bactérie symbiotique et fixatrice d'azote en association avec des légumineuses. Les souches spécifiques de crotalaires constituent donc la première espèce de Methylobacterium symbiotique des légumineuses pour laquelle nous avons proposé le nom de "Methylobacterium nodulans".

La découverte de cette nouvelle association symbiotique *Crotalaria-*"Methylobacterium nodulans" pose la question de la co-évolution entre les crotalaires et leurs symbiotes spécifiques et atypiques. Pour répondre à cette interrogation, notre démarche a consisté à faire une analyse comparative entre la

phylogénie des gènes de nodulation en particulier le gène nodA qui gouverne la spécificité de nodulation, la phylogénie de la région ITS des différentes espèces de crotalaires et le regroupement de ces espèces de crotalaires en différents groupes d'inoculation croisés.

Dans le troisième chapitre, nous avons étudié le caractère méthylotrophe des souches spécifiques de crotalaires. Nous avons en particulier caractérisé le gène mxaF qui code pour la grande sous unité de la MDH chez les bactéries méthylotrophes et déterminé la capacité de ces souches à pousser sur différents substrats mono-carbonés. Nous avons monté en outre que ce caractère méthylotrophe n'était pas un caractère ubiquiste retrouvé chez tous les rhizobiums mais spécifique à ce groupe de souches. Nous nous sommes alors intéressé à déterminer si ce caractère méthylotrophe jouait un rôle durant cette interaction. Pour cela nous avons construit des mutants non méthylotrophes et étudié leur effet sur la nodulation et la fixation d'azote.

En conclusion, nous présenterons particulièrement les perspectives appliquées et fondamentales qui pourraient à l'avenir découler de la découverte de ce nouveau groupe original de bactéries symbiotiques.



#### I - GENERALITES SUR LA FIXATION BIOLOGIQUE DE L'AZOTE

L'azote est un facteur limitant des productions végétales, bien que l'atmosphère en constitue une réserve inépuisable. Ce paradoxe est dû au fait que les végétaux, comme tous les organismes eucaryotes sont incapables d'utiliser directement l'azote moléculaire N<sub>2</sub>. Seuls certains procaryotes appelés fixateurs d'azote sont capables de réduire l'azote moléculaire en ammoniaque assimilable par les plantes.

L'azote fixé, c'est-à-dire les formes d'azote combiné directement assimilables par les êtres vivants, représente un infime pourcentage, moins de 0,001% de l'azote total de la biosphère. Si bien que la molécule  $N_2$  doit être fixée par un processus naturel, qu'il soit biologique (fixation biologique de l'azote) ou non biologique (éclairs, combustions et volcanismes) ou par un procédé artificiel de synthèse (essentiellement la production d'ammoniaque par le procédé industriel). Le procédé biologique est responsable de 65% de la fixation annuelle tandis que le procédé industriel ne couvre que 25% (Newton, 1998).

Les microorganismes fixateurs d'azote appartiennent à deux des trois règnes primaires, les archaebactéries et les eubactéries (Young, 1992). Parmi les eubactéries, la propriété de fixer l'azote a été mise en évidence chez des organismes de métabolismes très différents comme les anaérobies, les aérobies, les bactéries photosynthétiques, les cyanobactéries et les actinomycètes. Tandis que certains fixent l'azote à l'état libre, d'autres ne fixent l'azote qu'en association symbiotique avec une plante-hôte.

Les fixateurs libres comprennent des genres très divers : des bactéries aérobies chimioorganotrophes (Azotobacter, Azospirillum, Acetobacter

diazotrophicus), des bactéries anaérobies strictes (Clostridium) ou des aérobies facultatifs (Klebsiella, Bacillus, Pseudomonas), des bactéries phototrophes à photosynthèse anoxygénique (Rhodobacter, Rhodospirillum) et des cyanobactéries (Synechococcus). Certains fixateurs libres dont Azospirillum, Azotobacter paspali, Alcaligenes et Campilobacter ont été décrits comme formant de véritables associations avec les racines des plantes (Elmerich et al., 1992). La colonisation d'Azospirillum dans les espaces intercellulaires de l'épiderme et du cortex racinaire a été montrée chez le maïs et le sorgho.

La réduction de l'azote est coûteuse en énergie, et les systèmes les plus efficaces sont ceux qui permettent un couplage entre la photosynthèse et la fixation biologique de l'azote. Dans ces associations fixatrices d'azote, le microorganisme induit l'apparition de structures différenciées appelées nodules chez le partenaire végétal, et lui fournit une grande partie de l'azote nécessaire à sa croissance. C'est le cas des systèmes qui associent la majorité des plantes de la famille des légumineuses aux bactéries appelées collectivement rhizobiums, et les actinomycètes du genre Frankia associés aux plantes ligneuses appartenant à différentes familles de dicotylédones dont les genres Alnus, Eleagnus, Casuarina ou Myrica (Benson et Sylvester, 1993).

#### II - LA SYMBIOSE RHIZOBIUMS-LEGUMINEUSES

La symbiose rhizobiums-légumineuses est la symbiose la plus étudiée et la mieux connue (Allen et Allen, 1981). Elle représente plus de la moitié de l'azote fixé annuellement par voie biologique (Hardy et Havelka, 1975) et constitue une association extrêmement importante du point de vue écologique et agronomique.

La symbiose se traduit chez la plante-hôte par la formation de structures différenciées et spécialisées, appelées nodules ou nodosités, localisées le plus souvent au niveau des racines et dans certains cas au niveau des tiges. Ces organes, biotopes à l'intérieur desquels les bactéries se multiplient sont le véritable siège de la fixation de l'azote atmosphérique.

La symbiose permet l'enrichissement naturel du sol en azote et la réduction des apports en engrais chimiques très coûteux dont les applications massives entraînent une pollution des eaux par lessivage des sols. Une partie de l'azote fixé par la symbiose est restituée au sol par excrétion directe au niveau des racines et des nodules ou par la décomposition de la matière végétale.

#### II - 1 - Les légumineuses

Les légumineuses constituent un des groupes de végétaux supérieurs les plus abondants et les plus diversifiés (Allen et Allen, 1981). Elles sont subdivisées en trois sous-familles : les Fabaceae D. C. (71%), les Mimosoideae Kunth. (15%), les Caesalpinoideae Kunth. (14%) et comptent environ 19 000 espèces réparties en 750 genres. La famille des légumineuses comprend aussi bien des plantes herbacées annuelles que des plantes ligneuses qui colonisent aussi bien les régions tropicales que les régions tempérées ou arctiques du globe terrestre (Young et Johnston, 1989). Les légumineuses présentent une importance économique majeure. De nombreuses espèces constituent des ressources en fourrage, bois, aliments, ou présentent des propriétés médicinales. Par ailleurs, certaines espèces jouent un rôle écologique important en particulier pour la stabilisation et la fertilisation des sols. La majorité des légumineuses sont capables de former des nodules avec les rhizobiums. Au moins 97% des espèces examinées de Fabaceae et 90% de celles des Mimosoideae portent des nodules. Alors que

seulement 23% des espèces de *Caesalpinoideae* étudiées forment des nodules (De Faria *et al.*, 1989 ; Sprent et Raven, 1992). Le fait que la sous-famille des *Ceasalpinoideae*, sous-famille la plus primitive, contienne essentiellement des espèces non nodulées, suggère que le phénomène de la symbiose est apparu bien après la différenciation de l'ancêtre commun à toutes les légumineuses (Young et Johnston, 1989).

#### II - 2 - Les rhizobiums

Les bactéries fixatrices d'azote associées aux légumineuses ou rhizobiums sont des bactéries aérobies, Gram négatives, mobiles, sans spores qui appartiennent à la famille des *Rhizobiaceae* (Jordan, 1984). Du point de vue phylogénétique, elles font partie de la sous-classe alpha des protéobactéries (Stackebrandt et al., 1988). Les rhizobiums partagent la famille des *Rhizobiaceae* avec les genres *Agrobacterium* et *Phyllobacterium* qui sont tous impliqués dans des interactions spécifiques avec des plantes (Jordan, 1984). Les souches de *Phyllobacterium* induisent des nodules sur les feuilles de certaines plantes de la famille des *Myristinaceae* et des *Rubiaceae*, alors que les souches d'*Agrobacterium* induisent des tumeurs sur les racines et les tiges de plusieurs plantes.

#### III - LA TAXONOMIE BACTERIENNE

La taxonomie, étude des relations qui existent entre les organismes englobe, la classification, la nomenclature et l'identification. Ces trois parties consistent respectivement: à classer et à arranger les organismes dans des groupes sur la base de similarités (classification), à donner des noms aux groupes

trouvés (nomenclature) et enfin à identifier des organismes inconnus pour déterminer s'ils appartiennent aux groupes déjà définis (Vandamme et al., 1996). Dans la taxonomie bactérienne, l'identification d'une bactérie à une espèce donnée reste un des aspects les plus délicats mais aussi des plus importants. En effet, si les animaux et les plantes sont riches en détails morphologiques qui constituent la base de leur classification, les bactéries de leur côté possèdent des caractéristiques morphologiques simples qui ne peuvent pas être utilisées pour les classer (Woese, 1987). Différents schémas de classification ont existé qui reflétaient l'état des connaissances du moment, en particulier le manuel Bergey's (Krieg et Holt, 1984), qui était basé sur l'observation au microscope et sur différents tests biochimiques permettant de classer de façon séquentielle les microorganismes : photosynthétiques ou non, gram + ou non, respiration aérobie ou non, etc.

Depuis plus d'une vingtaine d'années, les taxonomistes bactériens reconnaissent la nécessité de ne plus baser le système de classification des bactéries sur des similarités de fonction (diazotrophes, phototrophes) et d'adopter une approche nécessitant la convergence du maximum de données (phénotypiques, génotypiques, phylogénétiques) pour déterminer les groupes taxonomiques ou taxons bactériens. Cette approche, appelée taxonomie polyphasique a considérablement modifié la perception que les taxonomistes bactériens avaient des relations entre divers groupes de microorganismes (Olsen et al., 1994). Progressivement il a été reconnu que la classification bactérienne devait également refléter le plus fidèlement possible les relations naturelles entre les bactéries. En effet, ces organismes présentent entre eux des relations de parenté ou de phylogénie. Ces relations phylogénétiques entre les bactéries ont été difficiles à appréhender, mais les progrès de la biologie moléculaire ont

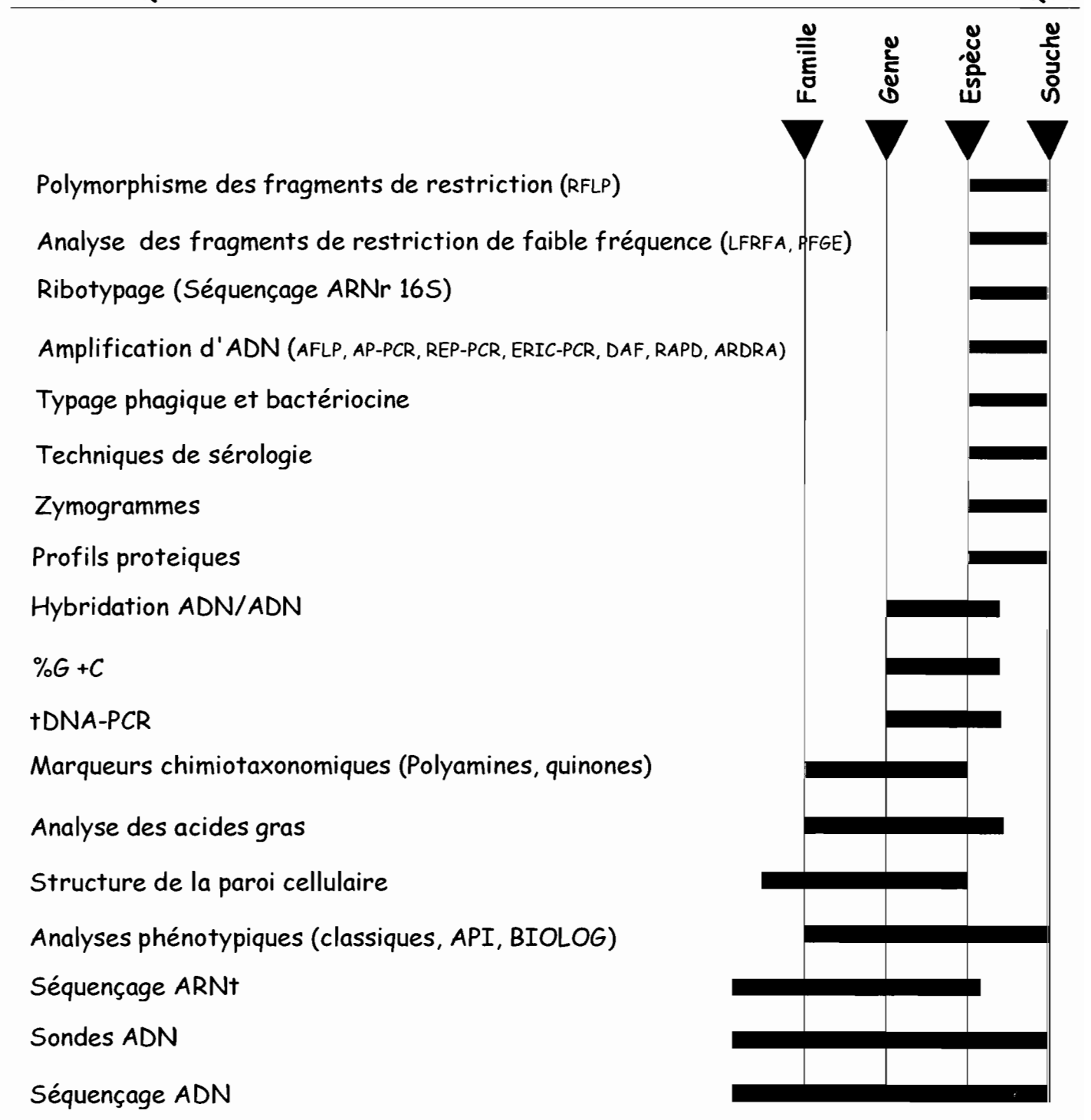


Figure 1. Pouvoirs discriminatifs des différentes techniques de taxonomie (d'après Vandamme *et al.*, 1996).

<u>Abréviations</u>: RFLP, Restriction Fragment Length Polymorphism; LFRFA, Low Frequency Restriction Fragment Analysis; PFGE, Pulsed-Field Gel Electrophoresis; AFLP, Amplified Fragment Length Polymorphism; AP-PCR, Arbitrarily Primed-Polymerase Chain Reaction (PCR); REP-PCR, Repetitive Extrageneric Palindromic-PCR; ERIC-PCR, Enterobacterial Repetitive Intergenic Consensus-PCR; DAF, DNA Amplification Fingerprinting; RAPD, Randomly Amplified Polymorphic DNA; ARDRA, Amplified Ribosomal DNA Restriction Analysis; FAME, Fatty Acid Methyl Ester.

permis d'estimer l'évolution bactérienne à l'aide de molécules qualifiées "d'horloges moléculaires universelles". Il s'agit de molécules présentes partout, avec la même fonction, avec des parties très conservées et qui accumulent les mutations (variations de séquences) permettant d'établir la phylogénie entre des organismes éloignés. En 1987, Woese a montré que les ARNr remplissaient ces conditions. Ces molécules, en particulier l'ARNr 16S se sont vite imposées comme étant de bons chronomètres moléculaires : les gènes ribosomaux ont en effet l'avantage de contenir des séquences de différents niveaux de conservation entre organismes, allant des séquences très conservées à des séquences très variables.

De nombreuses techniques basées sur l'approche moléculaire présentant différents niveaux d'expression et de discrimination ont été développées (figure 1) (Vandamme et al., 1996). Ainsi la combinaison de plusieurs techniques permet de révéler à la fois des diversités génétiques au sein de groupes bactériens considérés jusqu'alors comme homogènes et des relations taxonomiques entre groupes très éloignés. Actuellement, l'espèce, unité de base de la taxonomie bactérienne est définie comme un groupe de souches présentant un taux d'homologie ADN/ADN d'au moins 70%, avec une valeur de  $\Delta T_m$  n'excédant pas 5°C (Wayne et al., 1987). Les caractéristiques phénotypiques et chimiotaxonomiques devant être en accord avec cette définition.

#### III - 1 - Les outils de la taxonomie polyphasique

Le terme taxonomie polyphasique a été inventé par Colwell (Colwel, 1970) et est utilisé pour désigner des taxa à tous les niveaux (Murray et al., 1990). Elle intègre toutes les informations génotypiques, phénotypiques et phylogénétiques. L'information génotypique est fournie par les acides nucléiques (ADN et ARN)

présents dans les cellules, tandis que l'information phénotypique est donnée par les protéines et leurs fonctions, par différents marqueurs chimiotaxonomiques et plusieurs autres caractères exprimés (Vandamme et al., 1996).

#### III - 1 - 1 - Les méthodes génotypiques

Il s'agit de techniques qui ciblent directement les molécules d'ADN et d'ARNr. Elles sont actuellement les méthodes dominantes de la taxonomie moderne. Ceci est la conséquence des progrès technologiques, mais également et surtout du fait que la nouvelle conception de la taxonomie est qu'elle doit refléter les relations codées dans le génome.

#### A - Détermination du pourcentage Guanine + cytosine (%G+C)

C'est une méthode génotypique classique considérée comme standard dans la description des taxons bactériens. D'une manière générale, le pourcentage observé ne dépasse pas 3% pour une espèce bien définie et pas plus de 10% pour un genre (Stackebrandt et Liesack, 1993). Ce taux varie entre 24% et 76% dans le monde bactérien.

#### B - L'hybridation ADN/ADN

Le pourcentage d'hybridation ADN/ADN et la baisse de la stabilité thermique de l'hybride sont utilisés pour décrire l'espèce (Wayne et al., 1987). Le taux d'hybridation ADN/ADN ou pourcentage d'attachement de l'ADN est un indicateur direct de la similarité des séquences entre les génomes entiers en comparaison (De Ley et al., 1970 ; Grimont et al., 1980). Il a été démontré que la stabilité thermique décroît de 1% à 2,2% pour 1% de non appariement (Ullmann et Mc Carthy 1973 ; Stackebrandt et Goebel, 1994). Bien que ces estimations aient

été faites expérimentalement sur de courts fragments d'ADN, il est admis que deux organismes qui ont 70% ou plus d'homologie ADN présentent au moins 97% d'identité de séquence (Stackebrandt et Goebel, 1994). Plusieurs techniques d'hybridation ADN/ADN ont été décrites, mais les plus couramment utilisées sont la méthode sur l'hydroxyapatite (Brenner et al., 1969); la méthode de détermination par spectrophotométrie du taux de renaturation initiale (De Ley et al., 1970) et la méthode de la nucléase S1 (Crosa et al., 1973; Grimont et al., 1980). Plus récemment, de nouvelles techniques miniaturisées plus rapides et nécessitant moins d'ADN ont été décrites (Ezaki et al., 1989; Jahnke, 1994) qui devraient remplacer les techniques classiques qui demandent d'importantes quantités d'ADN et beaucoup de temps.

#### C - Les homologies de séquences d'ARNr

La percée dans l'étude de la phylogénie des procaryotes a commencé dans les années 70 avec les travaux de Woese et collaborateurs (Woese et Fox, 1977; Fox et al., 1977; Woese, 1991) qui ont mis au point des méthodes rapides d'analyse de séquences et de construction d'arbres phylogénétiques. Leurs résultats ont permis dans un premier temps d'avoir un aperçu de la phylogénie des procaryotes.

Il est maintenant généralement accepté que l'ARNr (55, 165 et 235) constitue la meilleure cible pour étudier les relations phylogénétiques grâce à sa présence chez toutes les bactéries, sa fonction constante et la présence de zones très conservées ainsi que des parties à séquences variables (Woese, 1987; Schleifer et Ludwig, 1989; Stackebrandt et Goebel, 1994). Le développement de nouvelles techniques moléculaires a permis aux microbiologistes de faire l'étude comparative des molécules d'ARNr. Le séquençage croissant de ces molécules a

abouti à la constitution d'une banque de données sur l'ARNr 55 (Wolters et Erdmann, 1988) qui a été la première molécule à être séquençée pour plusieurs bactéries grâce à ces structures primaires et secondaires moins complexes.

L'utilisation d'amorces conservées et de la transcriptase reverse pour séquençer l'ARNr 165 a constitué une avancée importante dans la phylogénie bactérienne en ayant permis l'augmentation spectaculaire du nombre de séguences. Actuellement, toutes ces techniques sont principalement remplacées par le séquençage direct de toute ou partie de l'ADNr 165 ou 235 en utilisant les techniques de PCR et des amorces appropriées. Les résultats obtenus avec d'autres macromolécules conservées comme le facteur d'élongation Tu (Ludwig et al., 1990 ; Cousineau et al., 1992), la sous unité  $\beta$  de l'ATP synthase (Amann et al., 1988; Klugbauer et al., 1992) sont conformes à ceux obtenus par l'ARN 16S. Cependant il est clair que plus les éléments conservés sont longs, plus ils portent d'informations et plus les conclusions sont fiables. En effet, au niveau moléculaire, l'identité de séquences indique une origine commune des gènes correspondant et de leurs produits. Le nombre et la nature des différences de séquences entre des gènes ou des molécules contemporaines reflètent leur histoire évolutive. Par conséquent, le nombre de changements peut être utilisé pour mesurer le temps qui s'est écoulé depuis le dernier ancêtre commun.

Avec le développement rapide des techniques de séquençage de l'ARNr 165 et la mise en place d'importantes banques de données, il est devenu évident de bien définir la place de l'analyse des séquences 165 dans la description de l'espèce. Ces dernières années la position phylogénétique de plusieurs espèces a été définie exclusivement sur la base de séquences d'ARNr 165. Or, il a été démontré que le pouvoir résolutif de cette technique devient limité quand il

s'agit d'étudier des souches ou des espèces très proches dont la différenciation est très récente (Fox et al., 1992; Stackebrandt et Goebel, 1994). La question a été donc de savoir si l'analyse des séquences d'ARNr 165 pouvait remplacer l'hybridation ADN/ADN dans la description de l'espèce, ou si elle devait être utilisée comme un critère supplémentaire. Pour répondre à cette interrogation, les taxonomistes bactériens sont aujourd'hui unanimes que le séquençage de l'ARNr 165 est le critère taxonomique le plus précieux de la classification bactérienne, et qu'au niveau de l'espèce, il reste salutaire pour décider ou non de l'opportunité de faire de l'hybridation ADN/ADN. Après l'analyse des données disponibles dans les banques, il est actuellement bien établi que deux organismes qui présentent moins de 97% d'homologie de séquences d'ARNr 165 n'associent pas leur ADN à plus de 60% et dans ce cas selon la définition de l'espèce (Wayne et al., 1987), il n'est pas nécessaire de recourir à l'hybridation ADN/ADN.

#### D - Le typage génétique

Les méthodes de typage génétique font généralement appel à des techniques qui permettent de subdiviser l'espèce en un nombre distinct de types. Traditionnellement ceci se faisait par le moyen d'analyses phénotypiques comme les tests biochimiques, la sérologie ou encore les tests antibiotiques. Plus récemment, plusieurs techniques de typage direct de l'ADN ont été développées. Il s'agit de techniques universelles reproductibles, simples et bien discriminantes. La première génération de méthodes de typage génétique concernait l'analyse des fragments de restriction de l'ensemble du génome et de l'ADN plasmidique. Elles consistaient tout d'abord en une extraction de l'ADN total suivie d'une digestion avec des enzymes de restriction. Les fragments d'ADN obtenus sont ensuite séparés et visualisés par électrophorèse sur gel

d'agarose. Cependant les profils obtenus sont souvent complexes et difficiles à comparer. Les limites de l'analyse de l'ADN plasmidique de son côté sont évidentes. En effet, les souches bactériennes ne contiennent ou ne gardent pas toujours leurs plasmides.

La sélection d'enzymes de restriction à sites de coupure rares au niveau de l'ADN a permis de réduire le nombre de fragments par profils. Ils sont cependant assez grands pour une électrophorèse classique. Le problème a été résolu avec le développement de l'électrophorèse en champs pulsé PFGE (Pulsed Field Gel Electrophoresis) qui est actuellement considérée comme la méthode de typage génétique la plus discriminante (Gordillo et al., 1993; Maslow et al., 1993; Tenover et al., 1995).

Alternativement, les profils complexes obtenus après restriction de l'ADN peuvent être transférés sur membrane et hybridés avec des sondes marquées. L'exemple typique de cette technique est le ribotypage ou typage ribosomique pour laquelle on utilise des sondes d'ARNr (Grimont et Grimont, 1986). Il existe cependant plusieurs variantes de ribotypage avec le même principe de base, la séquence ou la technique de marquage de la sonde pouvant varier. L'ARNr 16S ou 23S ou les deux avec ou sans la région intergénique peuvent également être utilisés (Bingen et al., 1994). De même les séquences d'ADN correspondant au facteur d'élongation TU, la protéine ribosomique S12 ont également été utilisées comme sondes (Goossens et al., 1995)

La PCR a permis le développement de nombreuses méthodes de typage génétique. Les techniques basées sur la PCR ont l'intérêt d'être universelles, simples et rapides. Ainsi différentes méthodes utilisant de courtes séquences arbitraires ont été décrites : des oligonucléotides d'environ 20 bases sont utilisées pour les AP-PCR (Arbitrarily Primed PCR) (Welsh et Mc Clelland, 1990), celles d'environ 10 bases sont utilisées pour la RAPD (Random Amplified Polymorphism DNA analysis) (Williams et al., 1990) et des oligonucléotides de 5 bases sont utilisées pour la DAF (DNA-Amplified Fingerprinting)(Caetano-Anolles et al., 1991). Des motifs consensus, complémentaires aux séquences répétées dispersées dans le génome des bactéries (Lupski et Weinstock, 1992; Versalovic et al., 1991) ou aux fragments du gène de l'ARNt (Mc Clelland et al., 1992) peuvent également être utilisées comme amorces. La PCR a permis aussi l'amplification des ADNr avec ou sans les régions intergèniques grâce à des amorces universelles donnant des profils simples des différents opérons d'ARNr (Kostman et al., 1992).

Dans la méthode ARDRA (Amplified rDNA Restriction Analysis), la PCR est combinée avec les enzymes de restriction. Le produit de la PCR du 165 ou du 235 avec ou sans l'IGS est amplifié avec des amorces universelles situés sur les régions conservées des gènes ARNr, puis digéré par des enzymes de restriction. Cette technique fournit principalement des profils spécifiques (Gurtler et al., 1991; Jayaro et al., 1991; Vaneechoutte et al., 1992; Ralph et al., 1993; Laguerre et al., 1994). Une autre combinaison de la PCR et des enzymes de restriction a donné naissance à l'AFLP (Amplified Fragment Length Polymorphism) (Zabeau et Vos, 1993). Le principe de base de L'AFLP reste l'analyse des fragments de restriction avec une PCR intermédiaire pour sélectionner des fragments particuliers d'ADN parmi un pool de fragments de restriction. Dans cette technique, on utilise un couple d'enzymes de restriction et des adaptateurs qui vont être ligués aux fragments ayant des extrémités homologues. Des amorces homologues aux adaptateurs permettent l'amplification sélective des fragments de restriction.

#### III - 1 - 2 - Les méthodes phénotypiques

Les méthodes phénotypiques sont celles qui ne sont pas directement basées sur l'ADN ou ARN. Elles font appel principalement aux caractéristiques morphologiques, physiologiques et biochimiques des bactéries en utilisant des techniques standardisées. Dans la majorité des laboratoires de microbiologie, les tests phénotypiques classiques sont utilisés pour l'identification et constituent la base de la description formelle des taxa. Les données génétiques sont utilisées pour le positionnement phylogénétique dans les arbres alors que les données phénotypiques sont nécessaires pour une classification pratique (Wayne et al., 1987). Le développement des systèmes miniaturisés et automatisés tels que les API ou BIOLOG, la généralisation du traitement des données par ordinateur et l'analyse numérique ont rendu plus aisé la classification des microorganismes par l'approche phénotypique. Cependant pour certains groupes de bactéries, le manque de caractéristiques phénotypiques pose souvent des problèmes pour leur description ou leur différenciation. Dans ces cas, les méthodes génétiques ou chimiotaxonomiques sont nécessaires pour identifier de manière sûre les souches. Actuellement les techniques chimiotaxonomiques les plus couramment utilisées par les microbiologistes sont :

- la composition des parois cellulaires (Schleifer et Kandler, 1972).
- les acides gras cellulaires (Jones et krieg, 1984 ; De Weger *et al.*, 1987 ; Siverio *et al.*, 1993).
- les protéines totales cellulaires (Costas, 1992 ; Vauterin *et al.*, 1993 ; kersters *et al.*, 1994 ; Pot *et al.*, 1994) ainsi que d'autres marqueurs chimiotaxonomiques.

### III - 2 - La taxonomie des rhizobiums

Depuis l'isolement par Beijerinck (1888) et la nomination de Rhizobium leguminosarum par Frank (1889), la classification des rhizobiums a subi de nombreux changements avec l'utilisation des données polyphasiques et phylogénétiques. La première classification des rhizobiums réalisée sur la base des groupes d'inoculation croisée comportait un seul genre avec six espèces : R. leguminosarum, R. meliloti, R. lupini, R. trifolii, R. japonicum et R. phaseoli. En effet, l'interaction rhizobiums-légumineuses est hautement spécifique et une souche donnée n'est capable d'induire la formation de nodules que sur un nombre restreint de légumineuses. Cette classification ne rendait cependant pas compte des souches à large spectre d'hôtes comme la souche NGR 234 capable de noduler plus d'une soixantaine de légumineuses ainsi que la non-légumineuse Parasponia. Par ailleurs, certaines espèces de légumineuses sont nodulées par différentes espèces de rhizobiums.

Sur la base de la vitesse de croissance in vitro, les rhizobiums ont été ensuite reclassés dans deux genres : le genre *Rhizobium* correspondant aux souches à croissance rapide et le nouveau genre *Bradyrhizobium* pour les souches à croissance lente (Jordan, 1982). Cette modification a ouvert l'ère moderne de la classification des rhizobiums avec un nombre croissant de changements qui se poursuivent encore aujourd'hui. L'introduction de la taxonomie numérique et des techniques moléculaires comme les hybridations ADN/ADN, l'électrophorèse des protéines totales, d'autres méthodes génétiques et surtout du séquençage, ont permis la description de nouveaux genres et de nouvelles espèces. La plus importante base de données pour le développement actuel de la classification des rhizobiums et de toutes les bactéries en général est constituée par les séquences

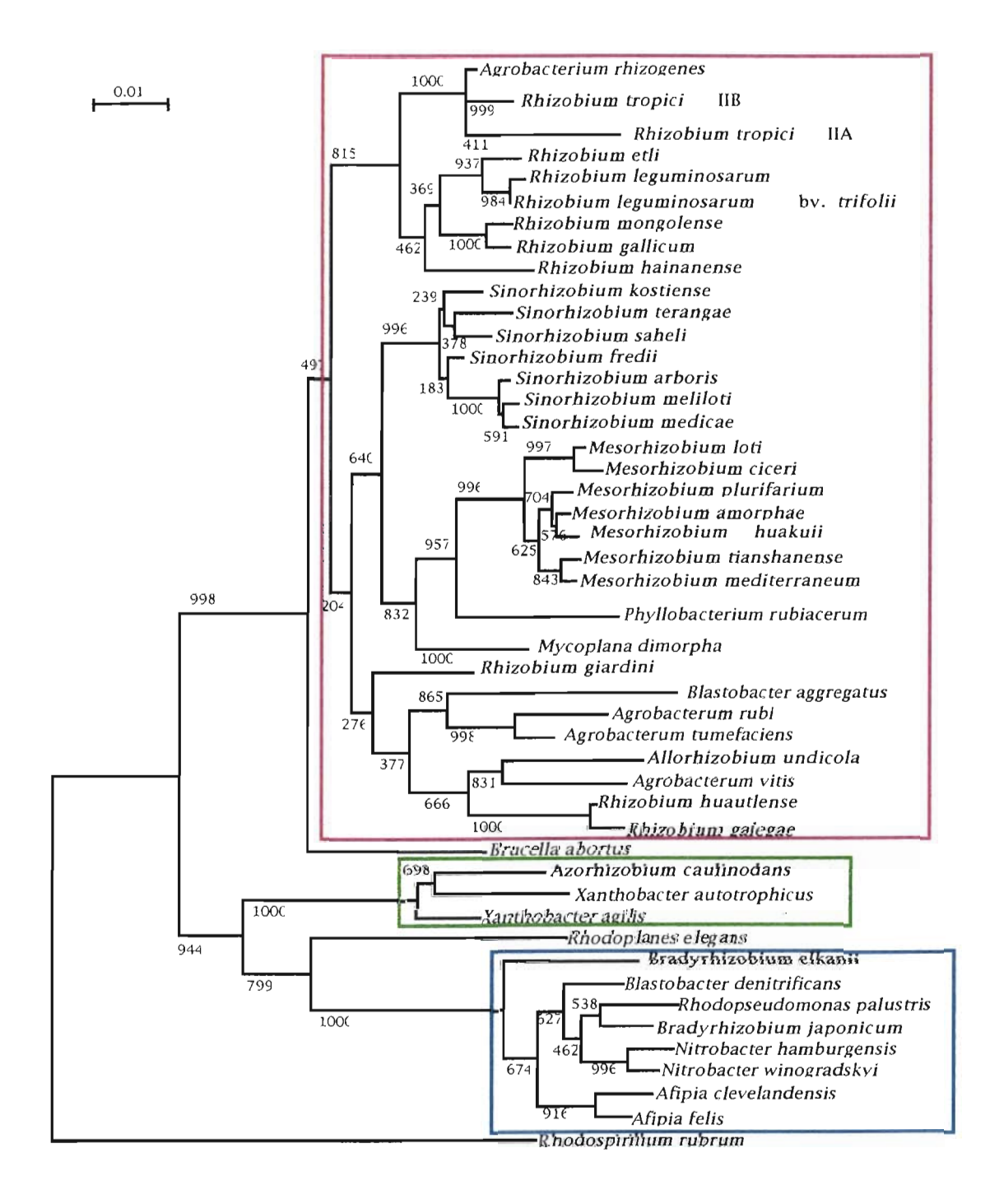


Figure 2.- Arbre phylogénétique des rhizobia (espèces indiquées en gras) basé sur la comparaison des séquences du gène codant pour l'ARNr 165, obtenu par la méthode du neighbor-joining. Les valeurs bootstrap sont indiquées aux points d'embranchement. L'échelle représente le pourcentage de substitutions.

du gène codant pour l'ARNr 16S. Les données 16S corroborent la division des rhizobiums en plusieurs genres (Young et al., 1991; Willems et Collins, 1993; Yanagi et Yamasato, 1993). En effet, ces données montrent la répartition des symbiotes des légumineuses en compagnie de non-symbiotes dans trois principales branches phylogénétiques de la sous-classe alpha des protéobactéries (figure 2). Ainsi, les genres Rhizobium et Bradyrhizobium sont très éloignés l'un de l'autre et ont chacun des parentés avec des bactéries non-symbiotiques (Young et al., 1991; Sawada et al., 1993; Willems et Collins, 1993; Yanagi et Yamasato, 1993).

Le genre Bradyrhizobium est plus proche de Rhodopseudomonas palustris, Afipia et Blastobacter denitrificans (Willems et Collins, 1993; Young et al., 1991), alors que les plus proches parents de Rhizobium sont : Agrobacterium, Brucella, Rochalimea et Bartonella (Yanagi et Yamasato, 1993 ; Sawada et al., 1993 ; Willems et Collins, 1993). Le genre Azorhizobium de son côté est taxonomiquement éloigné de Rhizobium et de Bradyrhizobium et, par contre très proche de Xanthobater et Aquabacter (Dreyfus et al., 1988; Rainey et Wiegel, 1996). Actuellement, les rhizobiums sont répartis en six genres et vingt-huit espèces (tableau 1), mais cette classification, loin d'être définitive, s'affine sans cesse et s'enrichit régulièrement de nouveaux taxa au gré de nouvelles techniques et surtout de l'isolement de nouvelles souches. En effet, on estime seulement à 15% la proportion de légumineuses qui ont été étudiées pour leur aptitude à noduler. Les bouleversements apparus dans la taxonomie du monde bactérien et la description de nouvelles interactions symbiotiques ont affecté la classification des rhizobiums, qui a subi de ce fait de nombreux remaniements ces dernières années. Pour éviter toute modification hâtive de la classification des rhizobiums, l'international Committee of Systematic Bacteriology a publié des recommandations sur les critères nécessaires et suffisants, pour classer les

Tableau 1. Classification des bactéries fixatrices d'azote symbiotiques des légumineuses.

Espèces	Plantes hôtes	Références			
Rhizobium	<del></del>	Frank, 1889			
R. leguminosarum		Frank, 1889, Jordan, 1984			
biovar viciae	Pisum sativum, Vicia,	Frank, 1889, Jordan, 1984			
2.074. 1.5.45	Lathyrus, Lens	, , , , , , , , , , , , , , , , , , , ,			
biovar trifolii	Trifolium pratense	Frank, 1889, Jordan, 1984			
	Phaseolus vulgaris L.	Frank, 1889, Jordan, 1984			
biovar phaseoli	r naseolus vulgar is L.	11 disk, 1009, 301 ddis, 1904			
R. tropici	O contracto I december	Mantin and Damage at al 1001			
Type II A	P. vulgaris L., Leucaena	Martinez-Romero et al.,1991			
Type II B	P. vulgaris L., Leucaena	Martinez-Romero et al.,1991			
R. elti	Phaseolus vulgaris, Leucaena	Segovia et al., 1993;			
		Hernandez-Lucas et al., 1995			
R. hainanense	Desmodium sinuatum	Chen et al., 1997			
	& autres plantes de régions arides				
R. <i>gallicum</i>		Amarger et al., 1997			
biovar gallicum	Phaseolus vulgaris L.	Amarger <i>et al.</i> , 1997			
biovar phaseoli	Phaseolus vulgaris L.	Amarger <i>et al.</i> , 1997			
R. mongolense	Medicago ruthenica	Van Berkum <i>et al.,</i> 1998			
R. galegae	<b>3</b>	Lindström, 1989			
biovar orientalis	Galega orientalis				
biovar officinalis	Galega offici <b>na</b> lis				
	Jaiega O, Fichialis	Amarger et al., 1997			
R. giardinii	Phase alus vultaris I				
biovar giardinii	Phaseolus vulgaris L.	Amarger et al., 1997			
biovar phaseoli	Phaseolus vulgaris L.	Amarger et al., 1997			
R. huautlense	Sesbania herbacea	Wang <i>et al.,</i> 1998			
Mesorhizobium					
M. loti	Lotus corniculatus	Jarvis <i>et al.</i> , 1982			
M. huakuii	Astragalus sinicus, Acacia	Chen et al., 1991			
M. ciceri	Cicer arietinum	Nour et al., 1994			
M. tianshanense	Glycyrrhiza pallidiflora	Chen et al., 1995			
	& autres plantes tropicales	-			
M. mediterraneum	Cicer arietinum	Nour et al., 1995			
M. plurifarium	Acacia, Prosopis	de Lajudie <i>et al.</i> , 1998a			
M. amorphae	Amorpha fruticosa	Wang et al., 1999			
Sinorhizobium		Chen et al., 1988			
Sinornizobium S. meliloti	Medigaco, Melilotus, Trigonella	Dangeard, 1926; Jordan, 1984			
	Medigaco, Memoras, Trigonena				
5. fredii	Chaine was	Scholla et Elkan, 1984			
chemovar fredii	Glycine max	Scholla et Elkan, 1984			
chemovar siensis	Glycine max	Scholla et Elkan, 1984			
5. saheli	Sesbania spp.	de Lajudie <i>et al.</i> , 1994			
biovar acaciae	Acacia spp.	Boivin et Giraud, 1999			
biovar sesbaniae	Sesbania spp.	Boivin et Giraud, 1999			
5. terangae		de Lajudie <i>et al.</i> , 1994			
biovar acaciae	Acacia spp.	Lortet <i>et al.,</i> 1996			
biovar sesbaniae	Sesbania spp.	Lortet et al., 1996			
5. medicae	Medicago	Rome et al., 1996			
5. kostiense	Acacia, Prosopis	Nick et al., 1999			
5. arboris	Acacia, Prosopis	Nick et al., 1999			
4 zaskizakium		Drayfus et al. 1999			
Azorhizobium	Cook ania manta ata	Dreyfus et al., 1988			
A. caulinodans	Sesbania rostrata	Dreyfus et al., 1988			
Azorhizobium sp.	Sesbania rostrata	Rinaudo et al., 1991			
Bradyrhizobium		Jordan, 1982			
B. japonicum	Glycine max, Glycine soja	Jordan, 1984			
B. elkanii	Glycine max	Kuykendall et al., 1992			
B. liaoningense	Glycine max, Glycine soja	Xu et al., 1995			
Bradyrhizobium sp.	Vigna, Lupinus, Mimosa	Jordan, 1982			
,	Acacia	Dupuy et al., 1994			
		Alazard, 1985; Young et al., 1991			
	Aeschynomene	/ lazar a, 1900 , / daily c/ al., 1991			
Allorhizobium	Aeschynomene	de Lajudie et al., 1998b			

rhizobiums en genres et espèces (tableau 2). Ces critères, reflets des données phénotypiques, génotypiques et phylogénétiques constituent des guides pour la validation de nouveaux taxons chez les rhizobiums (Graham et al., 1991).

### A - Le genre Azorhizobium.

Il comporte une seule espèce Azorhizobium caulinodans (Dreyfus et al., 1988) constituée par des souches induisant la formation de nodules à la fois sur les tiges et les racines de Sesbania rostrata. Ces souches ont la particularité de fixer l'azote en culture pure et d'utiliser l'azote fixé comme seule source pour leur croissance. L'étude de la diversité des souches nodulant les tiges et les racines de Sesbania rostrata a révélé l'existence d'une seconde espèce génomique (Rinaudo et al., 1991). Cette espèce présente un faible taux d'homologie ADN/ADN (44 à 53%) avec la souche type ORS 571 de A. caulinodans.

### B - Le genre Bradyrhizobium.

Décrit par (Jordan 1982), le genre Bradyrhizobium regroupe les rhizobiums à croissance lente, et a longtemps compté qu'une seule espèce, B. japonicum. Mais depuis, plusieurs études génétiques (homologies ADN/ADN, séquençage de l'ARNr 165, RFLP, ARDRA), biochimiques (composition en acides gras, en exopolysaccharides), ou phénotypiques (SDS-PAGE) ont montré l'hétérogénéité du groupe Bradyrhizobium (Hollis et al., 1981; Minamisawa, 1989, 1990; Young et al., 1991; Kuykendall et al., 1992). Certains de ces travaux ont conduit à la description de nouvelles espèces de Bradyrhizobium: B. elkanii (Kuykendall et al., 1992) et B. liaoningense (Xu et al., 1995). Cependant le statut taxonomique des Bradyrhizobium reste toujours confus. En effet, la souche type

Tableau 2. Critères de définition de nouveaux taxons de rhizobiums (Graham *et al.*, 1991).

### Etudes au niveau génomique

%(G+C)

- Rhizobium 59-64%
- Bradyrhizobium 61-65%
- Azorhizobium 66-68%

Homologies ADN/ADN (≥ 70% avec ∆Tm < 5°C au sein d'une espèce)
Taille du génome
RFLP sur ADN chromosomique ou plasmidique
Hybridation avec sonde spécifique
Etudes basées sur l'ARN ribosomal:

- Hybridations 165 ARNr : ADN total
- Séquençage 165 ARNr

### Etudes des composants cellulaires

Profils électrophorètiques des protéines totales solubles en SDS-PAGE Mobilité électrophorètique des enzymes du métabolisme Etudes d'autres composants cellulaires (Exopolysaccharide, Acides gras, ....)

### Etudes phénotypiques

Caractéristiques morphologiques et culturales (types de colonies, croissance, utilisation de différentes sources de carbone) Performances symbiotiques Méthodes sérologiques Sensibilité aux bactériophages de B. japonicum est plus proche de Rhodopseudomonas palustris, Blastobacter denitrificans, Afipia et Nitrobacter que de B. elkanii (Barrera et al., 1997; Molouba et al., 1999), alors que plusieurs études ont montré l'absence de consensus entre les données de la taxonomie numérique et les données phylogénétiques chez le genre Bradyrhizobium (Young et al., 1991; Ladha et So, 1994; So et al., 1994; Van Rossum et al., 1995).

Ces dernières années de nombreuses souches de Bradyrhizobium ont été isolées de différents genres de plantes (Moreira et al., 1993 ; Dupuy et al., 1994 ; Gao et al., 1994 ; Chen et al., 1995 ; Van Rossum et al., 1995 ; Barrera et al., 1997; Molouba et al., 1999). Des études génétiques et phénotypiques ont montré la grande diversité de ces souches, mais également leur appartenance phylogénétique à la branche Bradyrhizobium-Rhopseudomonas. Plusieurs de ces souches de Bradyrhizobium forment des clusters différents de B. japonicum, B. elkanii et B. liaoningense et sont actuellement désignées sous le nom de Bradyrhizobium sp. suivi du nom de la plante d'isolement (Young et al, 1991; Moreira et al., 1993; Dupuy et al., 1994; So et al., 1994; Barrera et al., 1997; Molouba et al., 1999). Parmi ces Bradyrhizobium sp., il est important de noter les Bradyrhizobium sp. d'Aeschynomene (Young et al., 1991; Molouba et al., 1999) qui, outre leur caractère diazotrophe, ont la propriété de synthétiser de la bactériochlorophylle a (Bchla), pigment proche de la chlorophylle des végétaux, ainsi que des caroténoïdes responsables de leur coloration (Eaglesham et al., 1990 ; Lorquin et al., 1997c). Ces Bradyrhizobium photosynthétiques sont taxonomiquement extrêmement proches de Blastobacter denitrificans, espèce qui a été très récemment décrite comme capable de noduler Aeschynomene indica, comme les Bradyrhizobium photosynthétiques (Van Berkum, 2000).

### C - Le genre Rhizobium.

Le genre Rhizobium (Jordan, 1982) regroupait les rhizobiums à croissance rapide autres que les Azorhizobium. Mais sur la base de cette classification, le genre Rhizobium constituait un groupe polyphylétique avec certaines espèces plus proches d'Agrobacterium que des autres espèces de Rhizobium (Sawada et al., 1993 ; de Lajudie et al., 1994). Cette diversité génétique mise en évidence par des études basées sur l'approche polyphasique de la taxonomie (Wayne et al., 1987) a conduit à la révision du genre Rhizobium et au reclassement de certaines espèces dans de nouveaux genres (de Lajudie et al., 1994; Jarvis et al., 1997). Actuellement, le genre Rhizobium comporte 9 espèces : R. leguminosarum (Frank, 1889), R. galegae (Lindstrom et al., 1989) R. tropici (Martinez-Romero et al., 1991), R. etli (Segovia et al., 1993, Hernandez-Lucas et al., 1995), R. hainanense (Chen et al., 1997), R. gallicum et R. giardini (Amarger et al., 1997), R. huautlense (Wang et al., 1998), R. mongolense (Van Berkum et al., 1998). Cependant les relations phylogénétiques entre Rhizobium et Agrobacterium méritent d'être définies vue la très forte similarité entre certaines espèces de Rhizobium et d'Agrobacterium. C'est notamment le cas de R. galegae et R. tropici qui sont phylogénétiquement très proches respectivement d'Agrobacterium vitis et Agrobacterium rhizogenes (Yanagi et Yamasato, 1993; Willems et Collins, 1993; Sawada et al., 1993; de Lajudie et al., 1994).

#### D - Le genre Sinorhizobium.

Le genre Sinorhizobium avec deux espèces, S. xinjiangense et S. fredii a été proposé par Chen et al., (1988) pour les souches à croissance rapides nodulant le soja. Cependant cette description faite uniquement sur la base d'analyses numériques, a été réfutée par Jarvis et al., (1992) qui ont démontré la proximité

phylogénétique de *S. fredii* et de *R. meliloti. S. fredii* a donc été reclassé dans le genre *Rhizobium*, et la validité taxonomique de *S. xinjiangensis* remise en cause. En 1994, de Lajudie et al., ont montré que les isolats de différentes espèces d'*Acacia* et de *Sesbania* constituaient deux espèces génomiques rattachées à la branche phylogénétique *R. fredii-R. meliloti.* Ainsi, sur la base des séquences de l'ARNr 16S et des hybridations ADN/ADN, cette branche phylogénétique a été individualisée par la création d'un nouveau genre. Répondant aux règles de nomenclature et de taxonomie, le nom *Sinorhizobium* a été retenu. Les espèces *R. fredii* et *R. meliloti* ont été reclassées dans le genre *Sinorhizobium* qui renferme également *S. saheli* et *S. teranga* nodulant les espèces du genre *Sesbania* et *Acacia* (de Lajudie et al., 1994). Ces dernières années, trois nouvelles espèces de *Sinorhizobium* ont été décrites: *S. medicae* (Rome et al., 1996) associé au genre *Medicago*, *S. arboris* et *S. kostiense* (Nick et al., 1999) associés à *Prosopis chilensis* et *Acacia senegal* au Soudan et au Kenya.

### E - Le genre Mesorhizobium.

Rhizobium loti (Jarvis et al., 1982) a depuis longtemps été reconnue comme étant différente des autres espèces de Rhizobium sur la base de tests phénotypiques, biochimiques et génétiques (Murphy et Masterson, 1970 ; Vincent et Humphrey, 1970 ; Peterson et al., 1971 ; Jarvis et al., 1977 ; Pankhurts et Biggs, 1980 ; Roberts et al., 1980 ; Crow et al., 1981 ; Jordan, 1984). Cependant, toutes ces méthodes ne donnaient pas d'indications sur les relations phylogénétiques entre R. loti et les autres espèces de Rhizobium. Les premières données phylogénétiques entre R. loti, les autres espèces de Rhizobium, de Sinorhizobium et d'Agrobacterium ont été obtenues en analysant la région intergénique des ARN ribosomaux (Jarvis et al., 1986).

Les résultats de cette étude montrent que R. leguminosarum, R. galegae, S. meliloti, S. fredii, Agrobacterium tumefaciens (biovar 1) et Agrobacterium rhizogenes (biovar 2) étaient plus proches entre elles qu'elles ne l'étaient de R. loti. L'analyse des séquences des gènes 165 des différentes espèces de Rhizobium (Yanagi et Yamasato, 1993; Willems et Collins, 1993; Young et Haukka, 1996) a confirmé l'existence de plusieurs branches phylogénétiques divergentes. La similarité entre les séquences 165 de R. loti et les autres espèces de Rhizobium et d'Agrobacterium est de 93,5 % suggérant la classification de R. loti dans un nouveau genre. Par la suite d'autres espèces de Rhizobium proches de R. loti ont été décrites : R. huakuii (Chen et al., 1991) ; R. ciceri (Nour et al., 1994); R. mediterraneum (Nour et al., 1995); R. tianshanense (Chen et al., 1995). De plus de Lajudie et al., 1994, ont décrit le "Cluster U" qui renferme des souches d'*Acacia*, de *Lotus* et des souches du Brésil comme étant très proche de R. loti mais avec une très grande hétérogénéité génétique. Sur la base des séquences 165 rDNA, les espèces du groupe R. loti constituent un groupe monophylétique taxonomiquement éloigné des autres espèces de Rhizobium (R. leguminosarum, R. tropoci, R. galegae) que Jarvis et al., (1997) ont proposé de reclasser comme un nouveau genre: le genre Mesorhizobium. Le genre Mesorhizobium renferme actuellement sept espèces : M. loti, M. huakuii, M. ciceri, M. mediterraneum, M. tianshanense, M. amorphae et M. plurifarium (de Lajudie et al., 1998a) pour le "cluster U".

## F - Le genre Allorhizobium.

Le genre Allorhizobium contient une seule espèce, Allorhizobium undicola (de Lajudie et al., 1998b). Il regroupe uniquement des souches à croissance rapides qui forment des nodules sur les racines adventives de Neptunia natans.

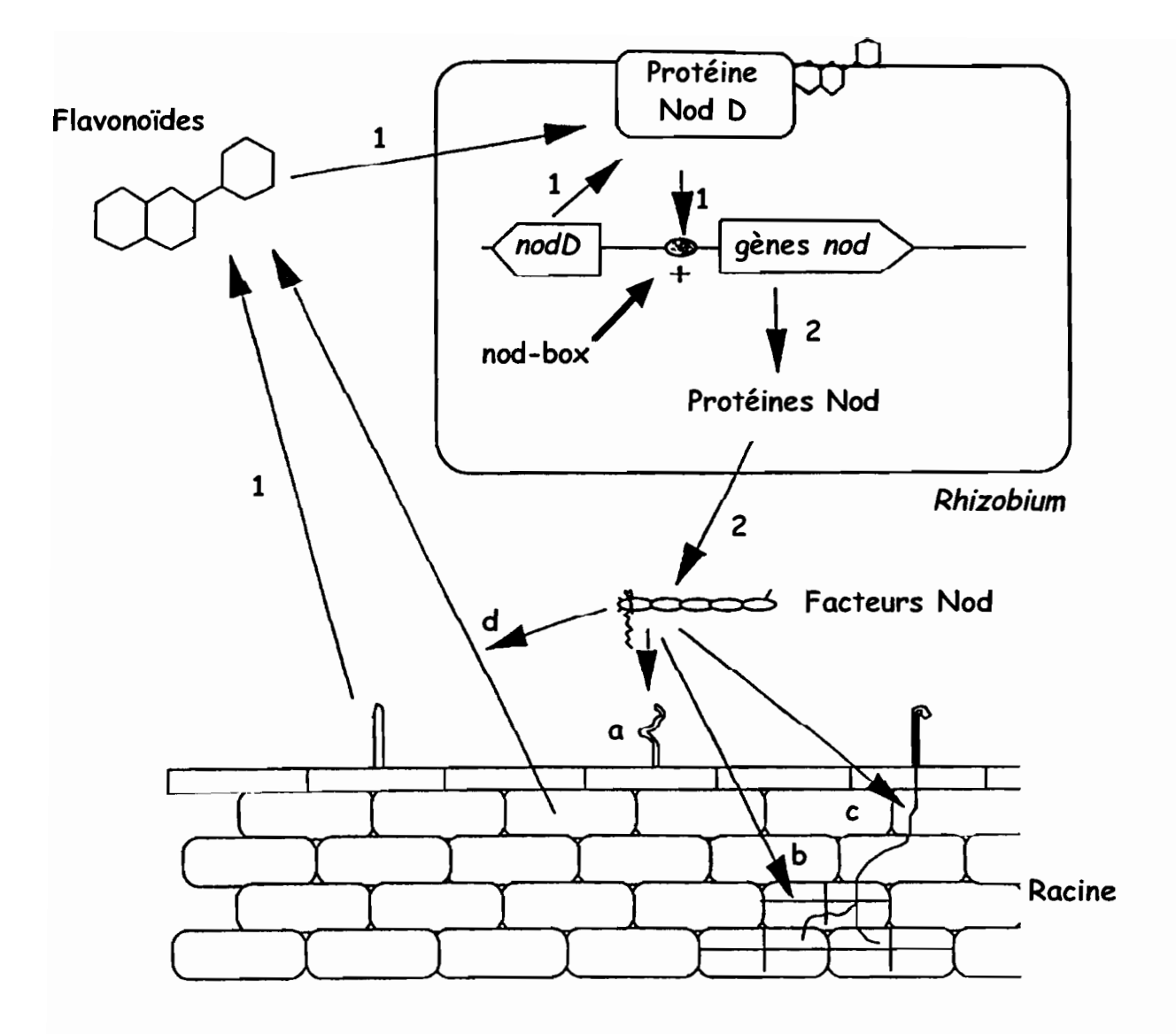


Figure 3. Représentation schématique des interactions précoces entre la bactérie et la racine de la plante-hôte (d'après Franssen *et al.*, 1992 ; Heidstra and Bisseling, 1996).

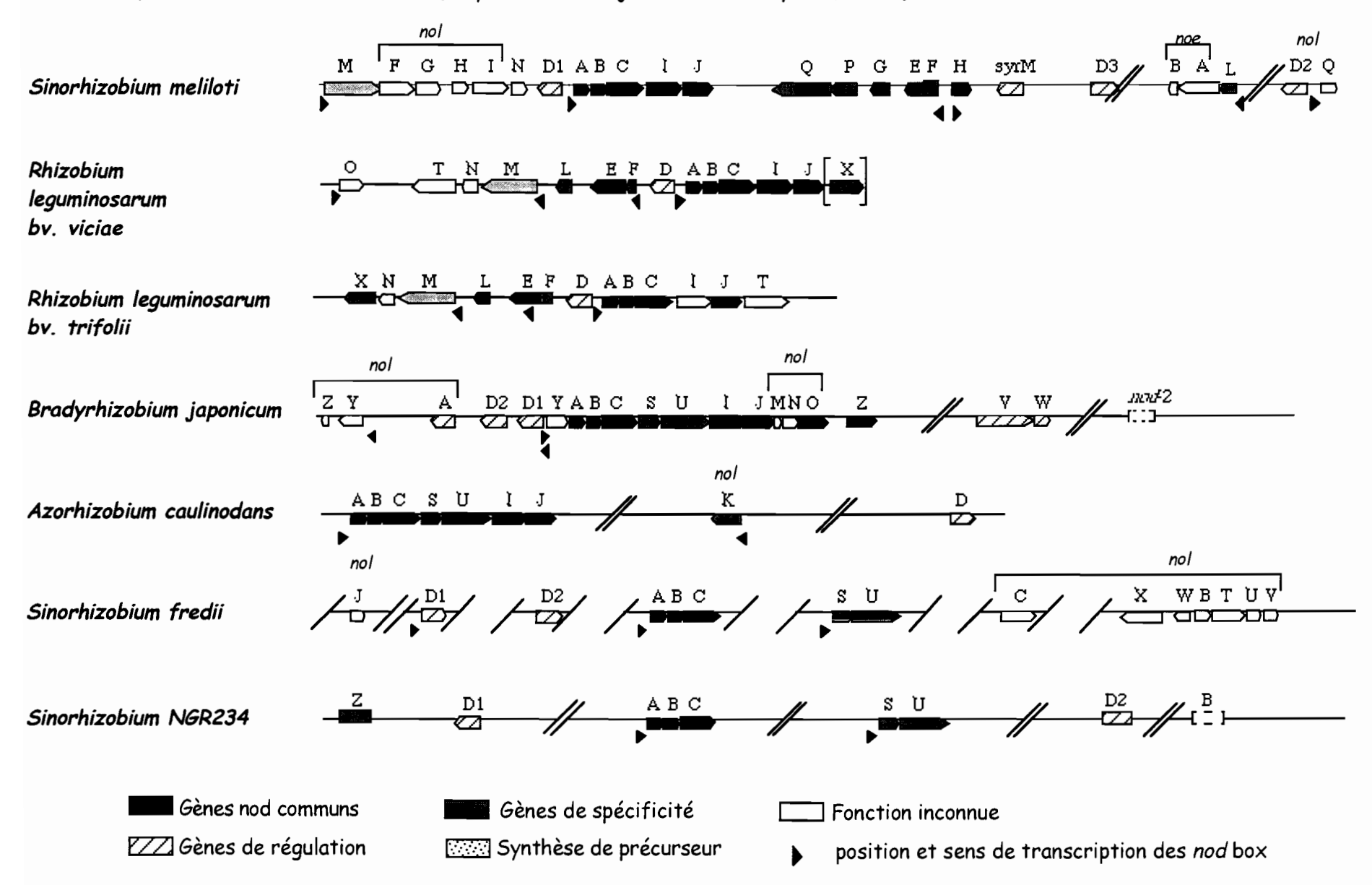
1, la protéine régulatrice NodD, au contact des flavonoïdes sécrétés par la plante, devient un activateur de la transcription des gènes nod. 2, les produits des gènes nod sont impliqués dans la synthèse des facteurs Nod, capables de déclencher chez la plante les réactions conduisant à la formation du nodule. a, déformation des poils absorbants; b, division des cellules corticales; C, certaines étapes de l'infection; d, néosynthèse de flavonoïdes inducteurs.

Les analyses phylogénétiques ont montré que la souche représentative (LMG 11875) appartenait à la branche phylogénétique contenant Agrobacterium tumefaciens biovar 1, Agrobacterium rubi, les souches d'Agrobacterium de Ficus, Agrobacterium vitis et Rhizobium galegae. Les pourcentages de similarité des membres de cette branche avec la souche représentative varient entre 94,5 et 95,2% avec une valeur maximale de 96,3% pour Agrobacterium vitis. L'ensemble des résultats montre que les isolats de Neptunia natans constituent un groupe homogène phénotypiquement et génotypiquement distinct des autres espèces de Rhizobium et d'Agrobacterium, justifiant ainsi leur classification dans un nouveau genre.

#### IV - LES MECANISMES DE LA SYMBIOSE

Les fixateurs symbiotiques désignés collectivement sous le terme rhizobiums, possèdent l'information génétique pour initier en coordination avec la plante, la formation d'une structure spécialisée pour la fixation de l'azote, la nodosité. Les bases de la symbiose reposent sur l'échange de signaux chimiques entre la plante et les bactéries (Fisher et Long, 1992). L'étape initiale correspond à la production de composés phénoliques par la plante qui activent l'expression des gènes de nodulation ou gènes nod chez le rhizobium (Long, 1996). Ceci résulte en la synthèse par le rhizobium de molécules appelées facteurs de nodulation ou facteurs Nod qui sont des chitolipooligosaccharides qui induisent la différenciation des cellules végétales (Dénarié et al., 1992; Hirsh, 1992), (figure 3).

Figure 4. Carte des gènes de nodulation de quelques espèces de rhizobia (d'après Van Rhijn et Vanderleyden, 1995)



# IV - 1 - Les gènes de nodulation

L'établissement de la symbiose et de la fixation de l'azote nécessite l'expression coordonnée et séquentielle d'un groupe de gènes spécifiques d'origines bactérienne et végétale. Chez la plupart des espèces de Rhizobium, la majorité des gènes de nodulation (gènes nod) sont localisés sur des plasmides de poids moléculaire élevé appelés mégaplasmides, plasmides symbiotiques ou pSym. En revanche, l'information pour la symbiose et la fixation de l'azote est présente sur le chromosome dans le cas de Bradyrhizobium et Azorhizobium (Martinez et al., 1990 ; Van Rhijn et Vanderleyden, 1995). L'analyse génétique des rhizobiums à permis d'identifier les gènes de nodulation qui contrôlent la spécificité d'hôte, l'infection et la nodulation. Ces gènes jouent un rôle central dans l'échange des signaux moléculaires entre les deux partenaires. Ils interviennent dans la synthèse et la sécrétion des facteurs Nod. Les gènes de nodulation peuvent être classés en trois catégories : les gènes nod communs, les gènes nod spécifiques et les gènes nod régulateurs (Long, 1989 ; Dénarié et al., 1992 ; Schultz et al., 1994 ; Fellay et al., 1995a, 1995b ; Van Rhijn et Vanderleyden, 1995). Devant la multitude de gènes nod décrits chez les différents genres de rhizobiums, la nomenclature s'est élargie aux terminologies nol et noe.

# A - Les gènes nod communs.

Les gènes nod communs nodABC présents chez tous les rhizobiums (figure 4) (Martinez et al., 1990 ; Van Rhijn et Vanderleyden, 1995) sont structurellement et fonctionnellement équivalents chez les différentes espèces de rhizobiums. Une mutation de l'un des gènes nodABC abolit toute réaction symbiotique sur la plante-hôte (Kondorosi et al., 1984 ; Hirsh, 1992). Les mutants

nodABC d'une espèce donnée peuvent être complémentés par les gènes nodABC d'une autre espèce (Martinez et al., 1990).

Les gènes nodIJ situés en aval des gènes nodABC, appartiennent sans doute au même opéron des gènes nod communs (Schultz et al., 1994). Une mutation de l'un des gènes provoque un délai de nodulation chez Rhizobium leguminosarum bv. viciae et bv. trifolii et chez Azorhizobium caulinodans (Evans et Downie, 1986 ; Spaink et al., 1995b). Les gènes nodABC codent pour des enzymes qui interviennent dans la construction du squelette de base des facteurs de nodulation. La protéine NodA est une N-acyltransférase (Röhrig et al., 1994 ; Atkinson et al., 1994), alors que la protéine NodB est une chitooligosaccharide déacétylase (John et al., 1993). La protéine NodC a été démontrée comme étant une N-acétylglucosaminyltranférase intervenant dans la synthèse de la chitine (Atkinson et Long, 1992 ; Debellé et al., 1992 ; Geremia et al., 1994). Les deux autres protéines Nod, NodI et NodJ interviennent dans la sécrétion ou le transport des facteurs Nod (Vazquez et al., 1993 ; Cardenas et al., 1995).

# B - Les gènes nod spécifiques.

Les gènes de spécificité d'hôte nodEF, nodH et nodPQ sont indispensables pour la nodulation d'une espèce donnée (Hirsh, 1992 ; Dénarié et al., 1996 ; Long, 1996). Les gènes nod spécifiques tels que nodH, nodPQ et nodFE sont présents chez certaines espèces et non chez d'autres. Une mutation de l'un de ces gènes provoque une altération du spectre d'hôte, et il n'y a pas de complémentation interspécifique possible. De même, l'introduction de l'un de ces gènes dans une espèce différente modifie son spectre d'hôte. Les gènes nod spécifiques sont impliqués dans la substitution de la molécule de base des facteurs Nod, les rendant ainsi spécifiques de leur hôte.

# C - Les gènes nod régulateurs.

Le gène nodD dont le produit est le principal élément de régulation des autres gènes nod (Schlaman et al., 1992a) est présent chez tous les rhizobiums (Martinez et al., 1990; Long, 1992). Le nombre de copies fonctionnelles est variable d'une espèce à l'autre, avec une copie chez Rhizobium leguminosarum bv. viciae et bv. trifolii (Downie et al., 1985) et chez Azorhizobium caulinodans (Goethals et al., 1990) alors que chez Sinorhizobium meliloti on compte trois copies. La mutation de l'un des allèles nodD conduit à un faible retard de la nodulation (Göttfert et al., 1986), par contre si aucune copie n'est fonctionnelle, on observe une perte totale de l'aptitude à noduler. En outre Sinorhizobium meliloti possède un quatrième gène homologue à nodD, le gène SyrM pour Symbiotic Regulation (Mulligan et Long, 1989; Barnett et Long, 1990).

Les différentes protéines NodD ainsi que SyrM font partie de la famille des régulateurs transcriptionnels du type LysR. L'interaction des protéines NodD avec les inducteurs qui sont des composés phénoliques de la famille des flavonoïdes synthétisés par les légumineuses est fonction du spectre d'hôte du rhizobium considéré (Spaink et al., 1987a). Les protéines NodD se lient à l'ADN dans la région 5' des opérons nod au niveau d'une séquence de 47 pb appelée "nod box" (Rostas et al., 1986). Chez Sinorhizobium meliloti, deux gènes nolR et SyrM codent pour des protéines régulatrices. NolR est un répresseur de l'expression de nodD1 et nodD2 (Kondorosi et al., 1989). Le gène SyrM contrôle positivement l'expression de nodD3 qui, lui-même contrôle positivement SyrM. SyrM contrôle éqalement la biosynthèse des exopolysaccharides.

Tableau 3. Structure chimique des facteurs Nod majoritairement produits par différentes espèces de rhizobia. (d'après Dénarié et al., 1996; Perret et al., 2000).

Espèces/souches	R <sub>1</sub>	R <sub>2</sub>	R <sub>3</sub>	R <sub>4</sub>	R <sub>6</sub>	n	Reférences
5. melilo†i RCR2011	н	C16:1, C16:2, C16:3, C18-C26 (w-1) OH	Ac, H	5	н	1, 2, 3	Lerouge <i>et al.,</i> 1990 Roche <i>et al.,</i> 1991a Schultze <i>et al.,</i> 1992 Demont <i>et al.,</i> 1993
<i>R. leg.</i> bv. <i>viciae</i> RBL5560	Н	C18:1, C18:4	Ac, H	н	Н	2, 3	Spaink <i>et al.</i> , 1991, 1995a
R. leg. bv. viciae TOM	Н	C18:1, C18:4	Ac, H	Ac	Н	2, 3	Firmin et al., 1993
R. leg. bv. trifolii ANU843	Н	C16:0, C16:1, C18:0, C18:1, C18:2, C20:3	Ac, H	н	н	2, 3	Spaink <i>et al.,</i> 1995a Orgambide <i>et al.,</i> 1995
<i>R. leg.</i> bv. <i>trifolii</i> LPR5045	Н	C18:0, C18:1, C20:3, C20:4	Ac, H	н	Н	1, 2, 3	van der Drift <i>et al.,</i> 1996
M. loti NZP2037	Me	C18:0, C18:1	Cb, H	AcFuc	Н	1, 2	Lopez-Lara et al., 1995a
M. loti NZP2213	н	C16:0, C16:1, C18:0, C18:1, C20:0, C20:1, C22:1	СЬ, Н	Fuc, AcFuc	н	1, 2	Olsthoorn et al., 1998
R. etli CFN42	Me	C18:1	СЬ, Н	AcFuc	Н	2, 3	Cardenas et al., 1995
R. etli CE3	Me	C18:0, C18:1	СЬ, Н	AcFuc	Н	2, 3	Poupot <i>et al.</i> , 1995b
R. tropici CFN299	Me	C18:1	Н	s, H	Н	2, 3	Poupot <i>et al.,</i> 1993 Folch-Mallol <i>et al.,</i> 1996
R. sp GRH2	Me, H	C18:1	Н	s, H	Н	1, 2, 3	Lopez-Lara et al., 1995b
S. terangae ORS1073	Me	C16:0, C18:0, C18: 1	Cb	5, H	Н	2, 3	Lorquin et al., 1997a
R. sp OR51001	Me	C16:0, C18:0, C18: 1	Cb	5, H	Н	2, 3	Lorquin et al., 1997a
B. sp	Me, H	C18: 1	Cb	MeFuc, SMeFuc	Н	3	Ferro et al., 2000
S. sp. NGR234	Me	C16:0, C18:0, C18: 1	СЬ, Н	MeFuc, AcMeFuc, SMeFuc	Н	2, 3	Price <i>et al.,</i> 1992 Jabbouri <i>et al.,</i> 1995
S. fredii USDA257	Н	C18:1	Н	Fuc, MeFuc	Н	1, 2, 3	Bec-Ferté et al., 1994
5. fredii USDA191	Н	C18:0, C18:1, C16:1	Н	Fuc, MeFuc	Н	1, 2, 3	Bec-Ferté et al., 1996
B. japonicum USDA110	Н	C16:0, C16 :1, C18 :1	н	MeFuc	Н	2, 3	Sanjuan <i>et al.,</i> 1992 Carlson <i>et al.,</i> 1993
B. elkanii USDA61	Me, H	C18:1	Ac, Cb, H	Fuc, MeFuc	Н	1, 2, 3	Carlson et al., 1993
A. caulinodans ORS571	Me	C16:0, C18:1	СЬ, Н	Fuc, H	Ara, H	1, 2, 3	Mergaert <i>et al.</i> , 1993, 1997a
S. terangae ORS604	Me	C16:0, C18:1	<i>C</i> b	Fuc, H	Ara, H	2, 3	Lorquin et al., 1997b
S. saheli ORS611	Me	C16:0, C18:1	<i>C</i> b	Fuc, H	Ara, H	2, 3	Lorquin et al., 1997b
R. galegae	Ac	C18:1, C18:2, C18:3, C20:2, C20:3	СЬ, Н	н	н	1, 2	Yang et al., 1999
M. huakuii	Н	C18:4	Н	s, H	Н	1, 2	Yang et al., 1999
B. aspalati	Me	C18: 1	<i>C</i> b	Н	Н	3, 4, 5	Boone et al., 1999

Abbréviations: Ac: acétyl; Ara: arabinose; Cb: carbamoyl; Fuc: fucose; S: sulfate; Me: méthyl; Acfuc: 4-O-acétyl fucose; Mefuc: 2-O-méthyl fucose; AcMefuc: 4-O-acétyl-2-O-méthyl fucose; SMefuc: 3-O-sulfate-2-O-métyl fucose. R1, R2, R3, R4, R5, R6: substituants; n: nombre de résidus glucosamines. S.: Sinorhizobium; R.: Rhizobium; B.: Bradyrhizobium; A.: Azorhizobium; M.: Mesorhizobium. R5 = H pour toutes les espèces sauf pour B. elkanii où R5 = H, glycérol et pour R. tropici où R5 = H, mannose.

#### IV - 2 - Les facteurs de nodulation ou facteurs nod.

Malgré la grande diversité taxonomique des rhizobiums, les facteurs Nod isolés de diverses espèces bactériennes appartiennent à la même famille chimique : ce sont des lipochitooligosaccharides N-acétylés à leur extrémité non réductrice. Ils possèdent un squelette de base constitué de trois à cinq résidus de glucosamine. Une chaîne d'acide gras est fixée sur le groupe aminé de la glucosamine terminale non réductrice, les autres résidus glucosaminyl sont N-acétylés. Selon les espèces, le squelette de base est décoré par des groupes chimiques variés (fucose, carbamate, méthyl, arabinose) présents sur les glucosamines situés aux deux extrémités (tableau 3). Les enzymes Nod intervenant dans la constitution du squelette de base sont codées par les gènes nodABC, tandis que les enzymes Nod intervenant dans la synthèse ou le transfert des groupes chimiques additionnels sont codées par les gènes nod spécifiques (Freiberg et al., 1997). L'étroite relation entre la structure des facteurs Nod et la spécificité d'hôte a été démontrée par plusieurs travaux (Roche et al., 1991a; Dénarié et al., 1996 ; Lortet et al., 1996 ; Lorquin et al., 1997a).

Tableau 4. Les différentes espèces de *Crotalaria* repertoriées au Sénégal (Berhaut, 1976) et leur classification d'après (Polhill, 1982).

Espèces	Sections	Sous-sections		
C. atrorubens G. Hochst.	Chrysocalycinae	Chrysocalycinae		
C. confusa Hepper	om y socaly emac	om ysocaryemae		
C. ebenoïdes (G. & Perr.) Walp.				
C. macrocalyx Benth.				
C. ononoïdes Benth.				
C. perrottetii DC.				
c. perromeni oc.				
C. cylindrocarpa DC.	Chrysocalycinae	Stipulosae		
C. goreensis G. & Perr				
C. lachnophora A. Rich.				
C. podocarpa DC.				
C alausa Mild	Chrysocalycinae	Glaucae		
C. glauca Wild.	Chirysocurycinae	Giaucae		
C. glaucoïdes Bak.				
C. barkae Chweinf.	Chrysocalycinae	Incanae		
C. comosa Baker.	Hedriocarpae	Macrostachyae		
C. deightonii Hepper				
C. lathyroides G. & Perr.				
C. ochroleuca G. Don				
C. onobrychis A. Rich.				
C. pallida Ait.				
C. zanzibarica Benth.				
C. arenaria Benth.	Calycinae			
C. calycina Schrank	<i></i>			
C. juncea Linn.				
C. occidentalis Hepper				
о, соолдон, сло торрог				
C. leprieurii G. & Perr.	Geniculatae			
C. microcarpa Hochst.				
C. sphaerocarpa Perr.				
C. retusa Linn.	Crotalaria	Crotalaria		
C. conocolongia (Pons \ Posla	Crotalaria	Longingstres		
C. senegalensis (Pers.) Bacle	Crotalaria	Longirostres		
C. spinosa Hochst.				
C. cephalotes Steud.	Dispermae			
C. hyssopifolia Klotzsch				
C. pseudotenuirama Torre				

#### V - LES CROTALAIRES

#### V - 1 - Généralités

Les légumineuses du genre *Crotalaria* qui comptent près de 600 espèces appartiennent à la sous-famille des *Papilionoideae* et à la tribu des *Crotalarieae* qu'elles partagent avec les genres *Aspalathus*, *Raphnia* et *Lotononis* (Allen et Allen, 1981; Polhill, 1982). Les crotalaires sont des herbacées annuelles ou pérennes et parfois des arbustes. Elles ont des feuilles soit unifoliées (*C. retusa*) ou composées avec 3 folioles, rarement 5 ou 7. Les fleurs sont généralement jaunes à corolle très vive occasionnellement striée en rouge, regroupées en racème terminal ou opposé aux feuilles.

Les représentants de ce vaste genre sont bien répartis dans les régions tropicales et chaudes des deux hémisphères, mais sont plus nombreux à l'Ouest et au Sud de l'Afrique tropicale. Le genre *Crotalaria* est le plus vaste genre de plantes (plus de 500 espèces) communément rencontré dans ce continent où il colonise de vastes espaces, allant des hautes montagnes aux zones semi-désertiques (Polhill, 1982). L'une des particularités des espèces africaines est l'énorme prolifération le long du bassin des fleuves Congo-Zambèze avec un pic au Sud du lac Tanganyika où 75 espèces ont été collectées dans un rayon de 50 kilomètres.

Le genre est aussi bien représenté en Afrique de l'Ouest notamment au Sénégal où 33 espèces ont été répertoriées (Berhaut, 1976). Ces espèces se répartissent dans 6 des 8 sections définies par Polhill (Polhill, 1982) sur la base des caractéristiques morphologiques des fleurs (tableau 4). Elles se rencontrent

dans l'ensemble du pays avec un gradient croissant Nord-Sud concernant la diversité des espèces.

A l'instar de la grande majorité des légumineuses, les crotalaires forment des associations symbiotiques fixatrices d'azote avec les rhizobiums d'où leur utilisation dans les systèmes culturaux pour l'amélioration des sols (Allen et Allen, 1981). Cependant les études portant sur les rhizobiums associés aux crotalaires sont rares et se limitent à des tests d'infection et de spécificité de quelques souches. Ainsi les rhizobiums associés aux crotalaires sont depuis longtemps décrits comme étant des Bradyrhizobium sp. non spécifiques (Wilson, 1939, 1944) et appartenant au groupe Cowpea (Carroll, 1934, Conklin, 1936, Burton, 1952). Contrairement au partenaire bactérien, plusieurs espèces de crotalaires sont bien étudiées pour leur toxicité (Allen et Allen, 1981; Polhill, 1982), pour leur intérêt agronomique (fixation N<sub>2</sub> et engrais vert), pour les qualités fourragères de certaines espèces et pour de nombreux autres usages.

## V - 2 - Biochimie et toxicité des crotalaires

Plusieurs cas d'empoisonnements ou de maladies du bétail suite à l'ingestion d'espèces de crotalaires, ont été observés en Afrique et aux Etats-Unis (Watt et Brandwijk, 1962; Verdcourt et Trump, 1969). La maladie liée à l'ingestion de crotalaires est le crotalisme. Les animaux sont plus exposés en saison sèche quand le fourrage devient très rare. La forme léthale du crotalisme affecte le système nerveux, les poumons, le foie avec une occlusion des veines hépatiques (Polhill, 1982). La toxicité des crotalaires a été mise en évidence chez divers animaux domestiques ou d'élevage: C. grahamiana et C. pallida sur les chevaux (Arzt et Mount, 1999), C retusa, C. spectabilis et C. goreensis sur la volaille (Norton et O'Rourke, 1979; Alfonso et al., 1993), C. juncea et C.

ochroleuca sur la rat (Mkiwa et al., 1994 ; Prakash et al., 1995) et *C. saltiana* sur les chèvres (Barri et al., 1984).

La toxicité des crotalaires est expliquée par la présence d'alcaloïdes de type pyrrolizidine et d'acides aminés toxiques tels que l'acide acétyldiaminopropionique (ADAP), l'acide oxalyldiaminopropionique (ODAP), l'acide oxalyldiaminobutyrique (ODAB) ou la γ-glutamyl tyrosine (Allen et Allen, 1991 ; Polhill, 1982). De la monocrotaline (C<sub>16</sub>H<sub>23</sub>NO<sub>6</sub>) et d'autres alcaloïdes de type pyrrolizidine ont été mis en évidence chez *C. spectabilis* (Neal *et al.*, 1935 ; Kingsbury, 1964), *C. retusa* et d'autres espèces de la sous section *Crotalaria* tel que *C. berteroana*. Si tous les alcaloïdes sont hépatotoxiques, il apparaît que la monocrotaline, la rétrorsine (C<sub>18</sub>H<sub>25</sub>NO<sub>6</sub>) et la rétronécine (C<sub>8</sub>H<sub>13</sub>NO<sub>2</sub>) sont les plus toxiques. La toxicité est due à la transformation des alcaloïdes insaturés en métabolites réactifs toxiques, probablement des dérivés pyrroliques (Deleve *et al.*, 1996). Chez *C. spectabilis*, la monocrotaline a été isolée à la fois des graines des feuilles et des tiges (Neal *et al.*, 1935).

Près d'une cinquantaine d'alcaloïdes de type pyrrolizidine ont été isolés de 45 espèces de *Crotalaria* (Mears et Mabry, 1971; Harborne et al., 1971; Kinghorn et Smolenski, 1981) et ils semblent être des marqueurs biochimiques du genre *Crotalaria*, puis que n'ayant jamais été détectés chez d'autres légumineuses à part quelque peu chez *Laburnum* et *Adenocarpus*. Les graines des espèces de la section *Grandiflorae* et de la sous-section *Crotalaria* présentent les plus forts taux d'alcaloïdes, avec la monocrotaline qui semble être une caractéristique de la sous-section *Crotalaria* qui renferme *C. spectabilis* et *C. retusa* qui sont particulièrement toxiques.

Tableau 5. Accumulation d'alcaloïdes et d'acides aminés toxiques dans les graines de crotalaires Africaines (d'après Polhill, 1982).

Sections	Sous-sections	ODAP	ODAB	ADAP 6	-	. Conc. Alcaloïdes
Grandiflorae		(+)	-	+	+	Forte
Chrysocalycinae	Incanae	+	+	+	-	
	Stipulosae	-	-	-	+	
Hedriocarpae	Hedriocarpae	-	-	-	+	
	Macrostachyae	(+)/-	-	-	+	
Crotalaria	Crotalaria	_	-	_	+	Forte
	Longirostres	-	-	-	+	

ODAP : Acide Oxalyldiaminoproprionique ODAB : Acide Oxalyldiaminobutyrique ADAP : Acide Acétyldiaminoproprionique

 $Glu.Tyr.: \gamma - Glutamyl-Tyrosine$ 

Des travaux portant sur les graines de 85 espèces africaines ont montré, que la répartition des alcaloïdes et des acides aminés toxiques chez les différentes espèces de crotalaires avait une signification taxonomique (Pilbeam et Bell, 1981). Ainsi dans la section des *Grandiflorae* on note une accumulation d'alcaloïdes et d'acides aminés toxiques, alors que dans la section des *Chrysocalycinae* il y a une nette distinction entre la sous-section des *Incanae* et celle des *Stipulosae*. Dans la sous-section des *Incanae*, la plupart des espèces accumulent de l'ODAB, de l'ODAP et de l'ADAP alors que dans la sous-section des *Stipulosae*, on a plutôt une accumulation du γ-glutamyl tyrosine et fortes concentrations d'alcaloïdes. Dans la section des *Heridocarpae*, on a généralement la présence du γ-glutamyl tyrosine et l'absence de l'ODAB, de l'ODAP et de l'ADAP, cependant dans la sous-section des *Macrostachyae* on a une accumulation d'isowillardine (tableau 5).

#### V - 3 - Utilisations des crotalaires

De nombreuses espèces de crotalaires sont utilisées comme engrais vert dans le monde. Au Sri-Lanka, *C. anagyroïdes* est utilisée avec succès dans l'amélioration de la fertilité des sols dans les plantations de thé (Sandanam, 1976). Au Brésil, *C. brevidens* est utilisée dans les plantations de café comme plante de couverture, pour éliminer les mauvaises herbes et pour lutter contre l'érosion du sol (Muzilli *et al.*, 1992). En Zambie, *C. zanzibarica* permet d'augmenter le rendement du haricot (Mwambazi, 1998), alors qu'en Côte d'Ivoire *C. juncea* est plantée pour restaurer la fertilité des sols dans les systèmes rizicoles des hauts plateaux (Becker et Johnson, 1999). En Tanzanie et en Uganda, *C. ochroleuca* est utilisée comme engrais vert en association avec le maïs (Kullaya *et al.*, 1995, 1998; Fischler *et al.*, 1999).

Les propriétés nématicides de certaines espèces constituent un autre intérêt agronomique des crotalaires. En 1986, Sano et Nakasano ont montré que le développement larvaire de Meloidogyne incognita inoculé à C. spectabilis était bloqué au troisième stade de développement. Au Brésil, C. spectabilis plantée à 17 ou 34 plantes par m² réduit considérablement les populations de Meloidogyne incognita (Huang et al., 1981). Toujours au Brésil, Silva et al., (1989a, 1989b et 1989c) ont montré que C. spectabilis et C. juncea pouvaient arrêter le développement larvaire de M. javanica alors que les espèces C. spectabilis, C. juncea, C. grantiana, C. paulina, C. retusa, C. mucronata, C. lanceolata, C. breviflora et C. pallida permettent d'éradiquer les populations de Rotylenchulus reniformis, Pratylenchus brachyurus et Pratylenchus zeae. En Inde, C. juncea permet de protéger les cultures de canne à sucre des dégâts de Pratylenchus zeae (Sundararaj et Mehta, 1990). Aux Etats Unis (Floride), le rendement de l'aubergine et de la courge augmente avec une rotation avec C. spectabilis qui élimine les populations de Meloidogyne arenaria (McSorley et al., 1994).

Certaines espèces non toxiques ou à très faible taux d'alcaloïdes sont utilisées comme fourrage pour le bétail (Machado et al., 1994). C. juncea (Sunnhemp) dont l'écorce fournit des fibres de très bonne qualité est utilisée dans l'industrie du tabac pour la production de papier fin (Salgado et al., 1984; Wutke et al., 1993). Près de 130 000 tonnes sont produites annuellement en Inde et au Brésil (Vietmeyer, 1979). En Inde, les fibres de C. juncea sont utilisées pour la fabrication de filets de pêche et de cordages marins. Les alcaloïdes et autres principes actifs font l'objet de plusieurs usages en médecine traditionnelle. Les parties aériennes de C. podocarpa sont connues en homéopathie pour leur activité anti-rhumatique et antiphlogestique (Kokwaro, 1976; Charrtte, 1987; Herberg et Staugard, 1989).

Ces quelques exemples montrent l'extrême diversité d'utilisation des crotalaires

#### VI - LE GENRE METHYLOBACTERIUM

### VI - 1 - Les bactéries méthylotrophes

Les bactéries méthylotrophes sont des bactéries aérobies qui utilisent des composés en  $C_1$  plus réduits que l'acide formique et le  $CO_2$  comme source de carbone et d'énergie et qui assimilent le carbone sous la forme formaldéhyde (Whittenbury et al., 1970; Whittenbury et Dalton, 1981; Anthony, 1982, 1991; Lidstrom, 1992; Barta et Hanson, 1993). Elles sont divisées en deux groupes: celles qui peuvent utiliser le méthane comme source de carbone et d'énergie appelés méthanotrophes, et celles qui ne peuvent pas dégrader le méthane (Hanson et al., 1993; Hanson et Hanson, 1996).

La taxonomie des bactéries méthylotrophes, et chez Methylobacterium en particulier, était au début largement basée sur leurs propriétés phénotypiques, biochimiques et physiologiques. Ainsi, en fonction de la voie d'assimilation du carbone, Whittenbury et al., (1970) avaient classé les méthanotrophes en deux types.

- les bactéries du type I utilisent la voie de la Ribulose monophosphate pour l'assimilation du carbone. Ce type comprend les genres Methylomonas, Methylobacter, et Methylococcus.
- le type II comprend les genres *Methylosinus* et *Methylocystus* qui assimilent le carbone par la voie de la sérine (Whittenbury et Dalton, 1981; Whittenbury et Krieg, 1984).

Chez les aérobies méthylotrophes (non méthanotrophes), on retrouve également les deux types. Ce groupe présente une plus grande diversité que les méthanotrophes et renferme aussi bien des gram+ que des gram-, capables de pousser sur des composés à un atome de carbone tels que le méthanol, la méthylamine etc... De plus ce groupe contient des méthylotrophes facultatifs capables d'utiliser hétérotrophiquement des composés à plusieurs carbones (Lidstrom, 1992; Barta et Hanson, 1993; Green, 1993)

## VI - 2 - Taxonomie du genre Methylobacterium

Parmi les organismes méthylotrophes facultatifs qui utilisent le cycle de la sérine, on distingue le genre Methylobacterium. Il est composé d'une variété de bactéries, toutes pigmentées en rose grâce à la présence de pigments photosynthétiques, méthylotrophes facultatifs capables de croître sur des composés à un carbone, tels que le formaldéhyde, le formate ou encore le méthanol comme seule source de carbone et d'énergie ainsi que sur une grande variété de substrats pluricarbonés. La majeure partie, mais pas toutes sont capables de pousser sur le Nutrient Agar et certaines sur des amines méthylés. Une seule souche a été décrite comme pouvant utiliser le méthane comme seule source de carbone.

La première souche de *Methylobacterium* décrite dans la littérature a été isolée par Bassalik (1913) à partir du lombric, et appelée *Bacillus extorquens*. Bien que très présents dans le sol et l'environnement, les méthylotrophes facultatifs n'ont été isolés et étudiés sérieusement qu'à partir des années 60/70 quand on a commencé à s'intéresser aux voies d'assimilation des composés à un carbone et aux applications commerciales de ces organismes.

Avant 1960, la taxonomie des isolats assignés actuellement au genre Methylobacterium était très confuse. En effet bien que gram-, certaines souches sont gram variable. Cette Variabilité est associée à des propriétés morphologiques également variables contribuant ainsi à la confusion autour de leur classification comme le montre les exemples suivants.

Bacillus extorquens de Bassalik, a été reclassé dans le genre Vibrio en tant que Vibrio extorgens par Bhat et Barker, (1948). Krasil'nikov, (1959) et Bassalik et al., (1960), l'ont ensuite respectivement transféré dans les genres Pseudomonas et Flavobacterium, avant qu'il ne reste temporairement classé dans la 8<sup>ème</sup> édition du Bergey's Manual of Determinative Bacteriology comme Pseudomonas extorquens incertae sedis (Doudoroff et Palleroni, 1974). En 1927 dans une étude des bactéries utilisant les amines, Den Dooren de Jong a décrit ses isolats pigmentés en rose et capables d'utiliser la méthylamine comme Protaminobacter ruber. Plus tard, De Vries et Derx, (1953) ont trouvé que les souches de Protaminobacter étaient très similaires aux souches qu'ils ont isolé des nodules et surfaces de feuilles. Sur la base de leurs propriétés morphologiques, De Vries et Derx, (1953) regroupèrent *Protaminobacter ruber* avec leurs isolats dans le genre Mycoplana comme Mycoplana rubra. En 1961, Peel et Quayle étudiant les voies d'assimilation des composés à un carbone chez les méthylotrophes, ont noté des similarités entre leurs propres isolats, Pseudomonas AM1 et de nombreuses autres bactéries méthylotrophes telles que Vibrio extorquens, Protaminobacter ruber et Pseudomonas methanica isolée par Dworkin et Foster, (1956). Ils ont ainsi remis en cause la classification de ces organismes dans des genres différents.

Dans une première étude taxonomique, Stocks et Mc Cleskey, (1964) ont comparé Vibrio extorgens, Protaminobacter ruber, Pseudomonas AM1 et la souche de Pseudomonas methanica de Harrington et Kallio, (1960) avec leurs

propres isolats et en ont conclus que tous ces microorganismes étaient très semblables et qu'ils devraient tous être considérés comme des souches de *Vibrio* extorquens, avec la réserve que le terme *Vibrio* n'était certainement pas approprié pour désigner le genre.

Dans des études ultérieures, Kouno et Ozaki, (1975) ont isolé 59 méthylotrophes facultatifs à partir de divers échantillons de sol et d'eau, tandis que Austin et al., (1978), ont étudié des isolats de surface folliaire de Lollium perenne. Dans les deux cas, il a été mis en évidence que la taxonomie de ces organismes était très confuse et méritait d'être éclaircie. Dans la même lancée Austin et Goodfellow, (1979) concluèrent que leurs isolats étaient suffisamment différents de Protaminobacter ruber, Pseudomonas rhodos (Heumann, 1962) et de Pseudomonas AM1 pour être placés dans une nouvelle espèce qu'ils ont appelé Pseudomonas mesophilica.

La première souche de bactérie méthylotrophe facultatif capable d'utiliser le méthane a été isolé par Patt et al., (1974), qui créèrent un nouveau genre Methylobacterium avec une seule espèce Methylobacterium organophilum. Cependant, la description du genre n'a été basée que sur une seule souche (Methylobacterium organophilum xx) qui a depuis, perdu ses capacités à oxyder le méthane.

Dans une étude taxonomique détaillée, Green et Bousfield, (1982) ont montré que Methylobacterium organophilum xx était phénotypiquement très similaire aux autres méthylotrophes facultatifs décrits précédemment et qui sont tous incapables d'utiliser le méthane. Les 149 isolats dont Methylobacterium organophilum xx étudiés sur la base de 140 caractéristiques biochimiques, physiologiques et morphologiques se répartissent en deux clusters.

Ces deux clusters présentent entre eux un pourcentage de similarité de 70% et une similarité interne de l'ordre de 80%. La souche de *Methylobacterium* organophilum NCIB 11278 se retrouve dans le grand cluster avec 90% de similarité avec ses plus proches voisins.

Au vue de ces résultats, Green et Bousfield suggérèrent que tous les Méthylotrophes facultatifs constituent un seul taxon distinct et doivent être exclus des genres dans lesquels ils ont été précédemment classés (Bacillus, Vibrio, Pseudomonas, Flavobacterium, Protaminobacter, Mycoplana). Le genre Methylobacterium a été choisi pour ce taxon (Green et Bousfield, 1981). Cependant, vu que la définition de Methylobacterium par Patt et al., (1976) excluait les organismes incapables d'utiliser le méthane, le genre a été révisé (Green et Bousfield, 1983) permettant d'inclure tous les méthylotrophes facultatifs, l'assimilation du méthane n'étant plus la caractéristique principale du genre. Après cette révision, trois espèces ont été décrites en plus de Methylobacterium organophilum: Pseudomonas rhodos (Heumann, 1962) est devenu Methylobacterium rhodinum comb. nov. corrig., Pseudomonas mesophilica (Austin et Goodfellow, 1979) est devenu Methylobacterium mesophilicum comb. nov. et Pseudomonas radiora (Ito et Lizuka, 1971) est devenu Methylobacterium radiotolerans comb. nov. corrig.

Malgré la forte similarité phénotypique dans chaque cluster, il existait des doutes concernant l'hétérogénéité interne du groupe Methylobacterium. Ainsi, Urakami et Komagata, (1981) sur la base d'études électrophorétiques des enzymes, ont pensé qu'il pouvait y avoir quatre groupes de méthylotrophes facultatifs et que d'autres études génétiques ou phylogénétiques devraient être faites avant que les souches ne puissent être classées dans de nouvelles espèces.

Tableau 6. Les différentes espèces de Methylobacterium.

Espèces	Références			
Methylobacterium rhodinum	Heumann, 1962			
Methylobacterium radiotolerans	Ito and Lizuka, 1971			
Methylobacterium organophilum	Patt <i>et al.,</i> 1976			
Methylobacterium mesophilicum	Austin and Goodfellow, 1979			
Methylobacterium extorquens	Urakami and Komagata, 1984			
Methylobacterium fujisawaense	Green <i>et al.,</i> 1988			
Methylobacterium rhodesianum	Green <i>et al.,</i> 1988			
Methylobacterium zatmanii	Green <i>et al.,</i> 1988			
Methylobacterium aminovorans	Urakami <i>et al.,</i> 1993			
Methylobacterium thiocyanatum	Wood et al., 1999			
Methylobacterium dichloromethanicum	Doronina et al.,2000			

Cette idée a été renforcée par les études de Hood et al., (1887 ; 1988) portant sur des souches représentatives des méthylotrophes facultatifs. Ces travaux portant sur les homologies ADN/ADN et la comparaison des profils électrophorétiques des protéines totales solubles, ont révélé l'existence de cinq groupes d'homologie.

Deux de ces groupes correspondent aux espèces Methylobacterium radiotolerans et Methylobacterium extorquens, alors que les autres ne correspondent à aucune espèce de Methylobacterium. En effet, les souches types de Methylobacterium organophilum, Methylobacterium rhodinum et Methylobacterium mesophilicum, les seules autres espèces reconnues, étaient à part les unes des autres et séparées des cinq groupes d'homologie. Sur la base de ces résultats trois nouvelles espèces de Methylobacterium ont été proposées (Green et al., 1988): Methylobacterium rhodesianum sp nov.; Methylobacterium zatmanii sp nov. et Methylobacterium fujisawaense sp nov. Actuellement le genre Methylobacterium compte onze espèces (tableau 6)

## VI - 3 - Phylogénie des méthylotrophes

La classification a été pendant longtemps un problème chez les métylotrophes. En effet, vue la grande variété des microorganismes désignés comme méthylotrophes et les limites des techniques classiques de taxonomie dûes aux capacités nutritionnelles restreintes de la plupart de ces bactéries (Green, 1993), le séquençage de l'ARN 165 a été utilisé pour clarifier les relations taxonomiques (Woese, 1987; Tsuji et al., 1990; Bratina et al., 1992; Brusseau et al., 1994). Les travaux de Tsuji et al., (1990), confirmés par ceux de Bratina et al., (1992), ont démontré qu'il était possible de distinguer les bactéries méthylotrophes par l'analyse des séquences de l'ADNr 165.

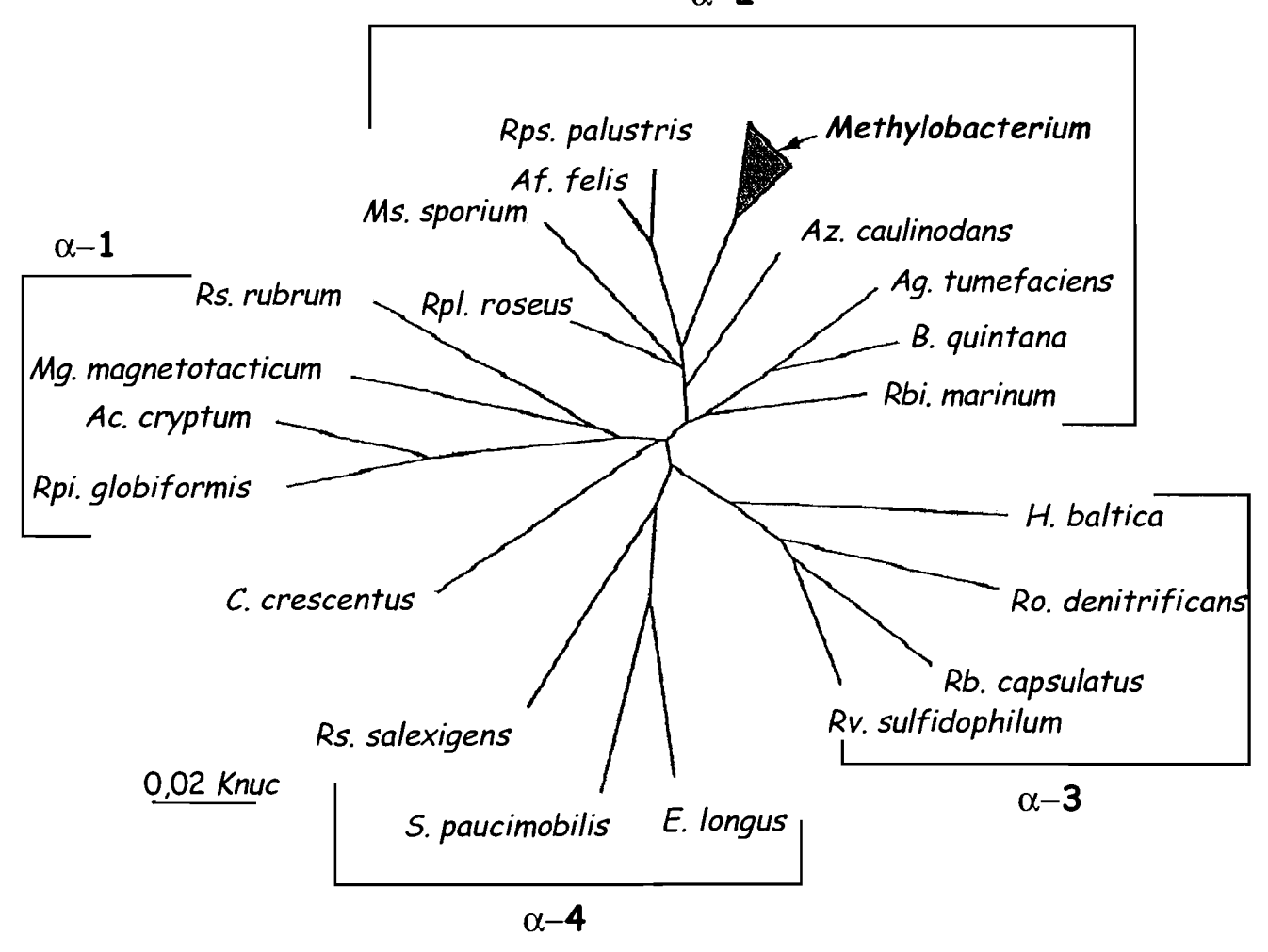


Figure 5. Arbre phylogénétique montrant la position du genre *Methylobacterium* parmi les membres de la sous-classe alpha des protéobactéries (d'après Hiraishi *et al.*, 1995).

Abréviations: AC. cryptum, Acidophilium cryptum; Af. felis, Afipia felis; Ag. tumefaciens, Agrobacterium tumefaciens; Az. caulinodans, Azorhizobium caulinodans; B. quintana, Bartonella quintana; C. crescentus, Caulobacter crescentus; E. longus, Erythrobacter longus; H. baltica, Hirschia baltica; Mg. magnetotacticum, Magnetospirillum magnetotacticum; Ms. sporium, Methylosinus sporium; Rb. capsulatus, Rhodobacter capsulatus; Rbi. marinum, Rhodobium marinum; Rpl. roseus, Rhodoplanes roseus; Rps. palustris, Rhodopseudomonas palustris; Rs. rubrum, Rhodospirillum rubrum; Rs. salexigens, Rhodospirillum salexigens; Rv. sufidophilum, Rhodovulum sulfidophilum; Ro. denitrificans, Roseobacter denitrificans; S. paucimobilis, Sphingomonas paucimobilis; Rpi. globiformis, Rhodophila globiformis.

- les méthanotrophes et les méthylotrophes (incapables d'oxyder le méthane tels que *Methylobacterium*) utilisant la voie de la sérine forment des clusters phylogénétiques distincts dans la subdivision  $\alpha$  des protéobactéries définie par Woese (1987) lorsqu'on compare leur ARN 165 (figure 5).
- les bactéries méthylotrophes qui utilisent la voie de la ribulose monophosphate forment un groupe phylogénétique cohérent dans la subdivision  $\beta$  des protéobactéries.
- les méthanotrophes (sauf Methylococcus capsulatus) qui utilisent la voie de ribulose monophosphate se retrouvent dans la subdivision  $\gamma$  des protéobactéries.

# VI - 4 - L'écologie des Methylobacterium

Les membres du genre Methylobacterium se rencontrent dans différents endroits (Green et Bousfield, 1981) tels que le sol, la poussière, les sédiments lacustres, l'eau, les surfaces et nodules foliaires, l'air, dans les environnements hospitaliers. Ils sont ainsi largement répartis dans la nature partout où l'on rencontre des composés à un carbone en abondance (Anthony, 1982). Ils sont souvent associés aux méthanotrophes probablement parce que ces derniers excrètent le méthanol qu'ils peuvent à leur tour assimiler (Hanson, 1980). De plus le méthanol est le produit de dégradation des pectines, lignines et autres composés contenant des groupes métoxy (Anthony, 1982). Les méthylotrophes facultatifs se rencontrent aussi dans les environnements aquatiques avec un peu d'oxygène dissout (Gräf et Bauer, 1973), endroits dans lesquels ils produisent des masses rougeâtres. A titre d'exemple, Methylobacterium organophilum a été isolé des sédiments du lac Mendota aux USA.

Les bords des routes constituent l'endroit où l'on rencontre le plus de méthylotrophes. Des isolements faits dans ces endroits suggèrent une corrélation entre le niveau du trafic automobile et le nombre de méthylotrophes (Green 1991). L'association Methylobacterium sp.-plantes a été étudiée par plusieurs auteurs. Austin et al., (1978), ont montré que les méthylotrophes constituaient la majeure partie des organismes isolés des surfaces foliaires de lollium perenne. Yoshimura, (1982), a trouvé des organismes similaires en étudiant les bactéries des surfaces foliaires du Pin, et a montré que leur nombre variait considérablement en fonction de la saison et des conditions environnementales.

La présence de méthylotrophes facultatifs dans des nodules de feuilles a été également mise en évidence (Corpe et Basile, 1982) cependant le caractère symbiotique n'a pas été prouvé et aucune espèce de *Methylobacterium* n'a été démontrée comme fixatrice d'azote.

Les Methylobacterium sont souvent rencontrés comme contaminants dans des systèmes de distribution d'eau, les chambres froides de stockage de cultures bactériologiques, les produits pharmaceutiques, dans les fermenteurs et dans le milieu hospitalier (Gilardi et Faur, 1984). Dans le domaine hospitalier, ils constituent des pathogènes opportunistes chez les patients sérieusement affectés (immunité affaiblie) tel est le cas de Methylobacterium zatmanii (Hornei et al., 1999) et de Methylobacterium extorquens (Kaye et al., 1992).

VI - 5 - La physiologie

VI - 5 - 1 - Oxydation du méthanol

Les bactéries méthylotrophes peuvent être classées en fonction de la voie d'assimilation du carbone. L'utilisation d'enzymes appelées méthane

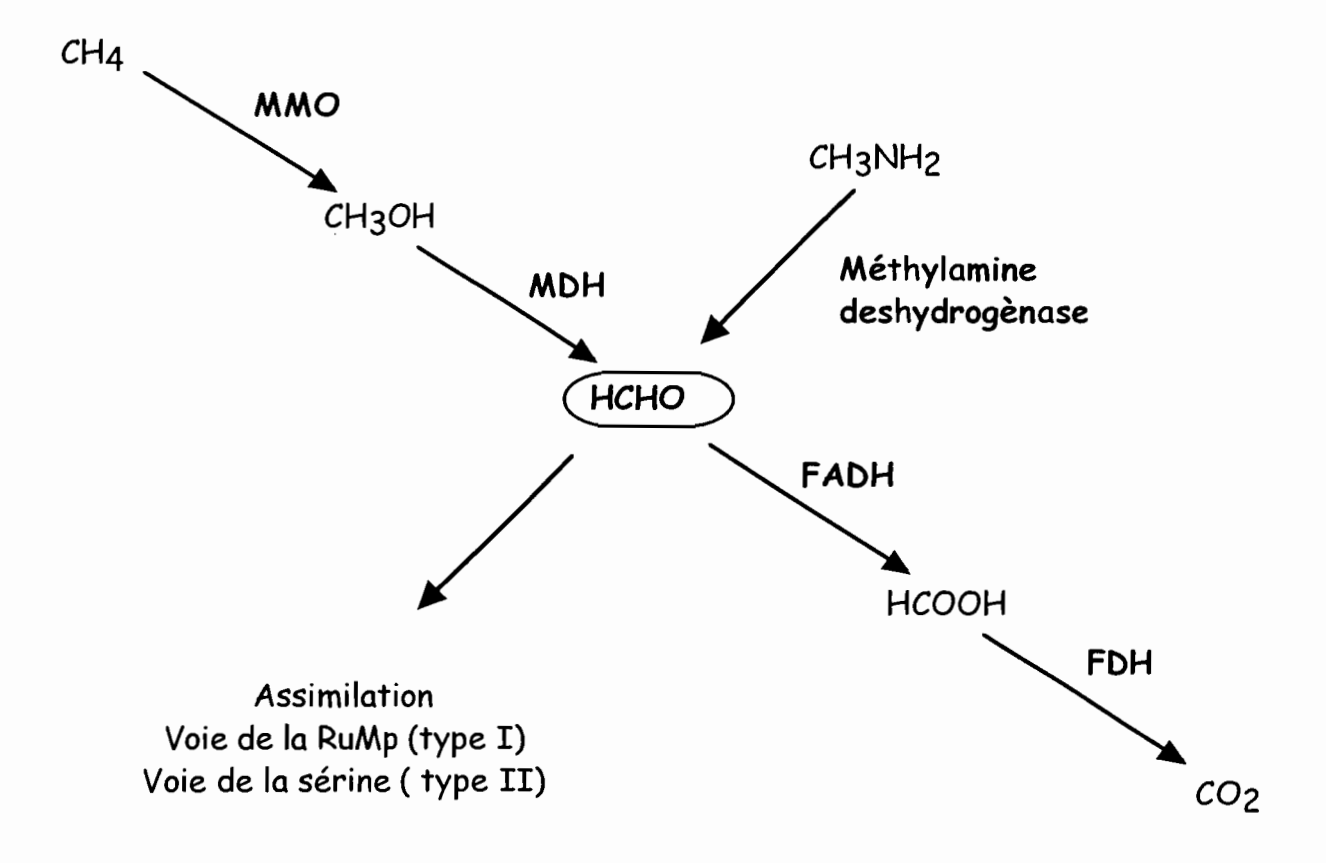
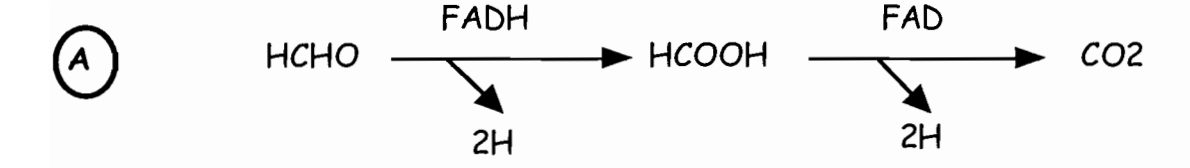


Figure 6. Voies d'oxydation du méthane et du méthanol et d'assimilation du formaldéhyde chez les bactéries méthylotrophes (d'après Hanson & Hanson, 1996). MMO, méthane monooxygènase; MDH, méthanol deshydrogènase; FADH, formaldéhyde deshydrogènase; FAD, formate deshydrogènase; CH4, méthane; CH3OH, méthanol; HCHO, formaldéhyde; HCOOH, formate; CH3NH2, méthylamine; RuMp, ribulose monophosphate.

monooxygènase pour catalyser l'oxydation du méthane en méthanol est la caractéristique principale des méthanotrophes. La Principale étape dans l'assimilation du carbone est l'oxydation du méthanol en formaldéhyde qui joue un rôle central. En effet, une partie du formaldéhyde est oxydée en  $CO_2$  pour fournir de l'énergie et le reste est utilisé par les voies d'assimilation d'où l'importance clé du système enzymatique générant le formaldéhyde (figure 6).

Chez Methylobacterium comme chez tous les méthylotrophes l'oxydation du méthanol est réalisée par l'intermédiaire d'une enzyme ; la méthanol deshydrogènase (MDH). Cette enzyme qui oxyde les alcools primaires est liée à un cofacteur Pyrroloquinoline quinone (PQQ) (Anthony, 1986). Elle appartient à la famille des enzymes connues sous le nom de quinoprotéines. Les électrons issus de l'oxydation du méthanol sont transférés par la PQQ à un cytochrome spécifique soluble appelé cytochrome C, puis par l'intermédiaire d'autres transporteurs jusqu'à la terminale oxydase (Anthony, 1986). La MDH qui est constituée de deux sous unités dans une configuration  $\alpha_2\beta_2$  (Nunn et Anthony, 1988) est très largement conservée chez les méthylotrophes gram- aussi bien au niveau des séquences d'aminoacides (Machlin et Hanson, 1988) qu'au niveau des protéines (Anthony, 1982).

D'autres MDH sont connues chez les méthylotrophes gram +. Chez une espèce de Nocardia méthylotrophe on rencontre une alcool deshydrogènase inhabituelle qui est NAD-dépendante mais qui ne produit pas de NADH (Duine et al., 1984). Les espèces de Bacillus méthylotrophes contiennent une MDH liée aussi au NAD et non à la PQQ. Toutes ces enzymes sont complètement différentes de la MDH classique de la majeure partie des méthylotrophes. (Arfman et al., 1989).



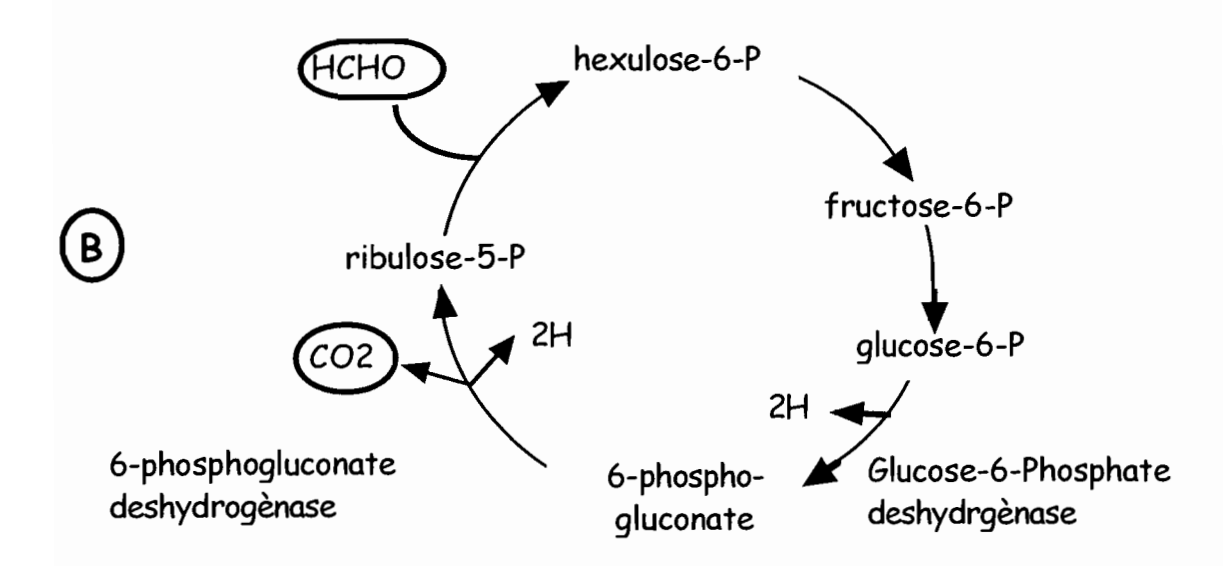


Figure 7. Voies d'oxydation du formaldéhyde chez les bactèries méthylotrophes (d'après Lidstom, 1991). La voie cyclique fait intervenir les enzymes du cycle de la ribulose monophosphate. A, Voie linéaire; B, voie cyclique; FADH, formaldéhyde deshydrogènase; FAD, formate deshydrogènase; HCHO, formaldéhyde; HCOOH, formate.

# VI - 5 - 2 - Oxydation et assimilation du formaldéhyde

Bien que jouant un rôle central dans l'assimilation du carbone chez les méthylotrophes, le formaldéhyde est toxique pour ces organismes. Très peu de cultures ont pu être faites sur formaldéhyde chez les méthylotrophes (Hirt et al., 1978; Whittenbury et Dalton, 1981), avec une très faible croissance nécessitant en plus un apport du formaldéhyde sous forme gazeuse. Cette toxicité montre l'importance des systèmes d'oxydation et d'assimilation du formaldéhyde. Il a été mis en évidence deux possibilités pour l'oxydation du formaldéhyde en  $CO_2$  (Anthony, 1982) (figures 7A et 7B).

- une voie linéaire comportant l'action de deux enzymes, formaldéhyde deshydrogènase et formate deshydrogènase qui catalysent respectivement l'oxydation du formaldéhyde en formate puis en  $CO_2$ .
- une voie cyclique, comportant la condensation d'un  $C_1$  avec une molécule à cinq carbones, suivie par l'oxydation du composé en  $C_6$  obtenu. Les enzymes catalysant ces réactions étant les mêmes que celles qui interviennent dans l'assimilation du formaldéhyde par la voie de la ribulose monophosphate, à l'exception d'une seule, la 6-phosphogluconate deshydrogènase.

La voie linéaire se rencontre chez les méthylotrophes qui assimilent le formaldéhyde par la voie de la sérine et chez beaucoup de méthylotrophes facultatifs utilisant la voie de la ribulose monophosphate. Par contre, la voie cyclique est observée chez les méthylotrophes obligatoires utilisant la voie de la ribulose monophosphate (Grundig et Babel, 1987; Anthony, 1982). Chez les méthanotrophes obligatoires utilisant le cycle de la ribulose monophosphate on retrouve les activités enzymatiques des deux voies. Mais les faibles activités du

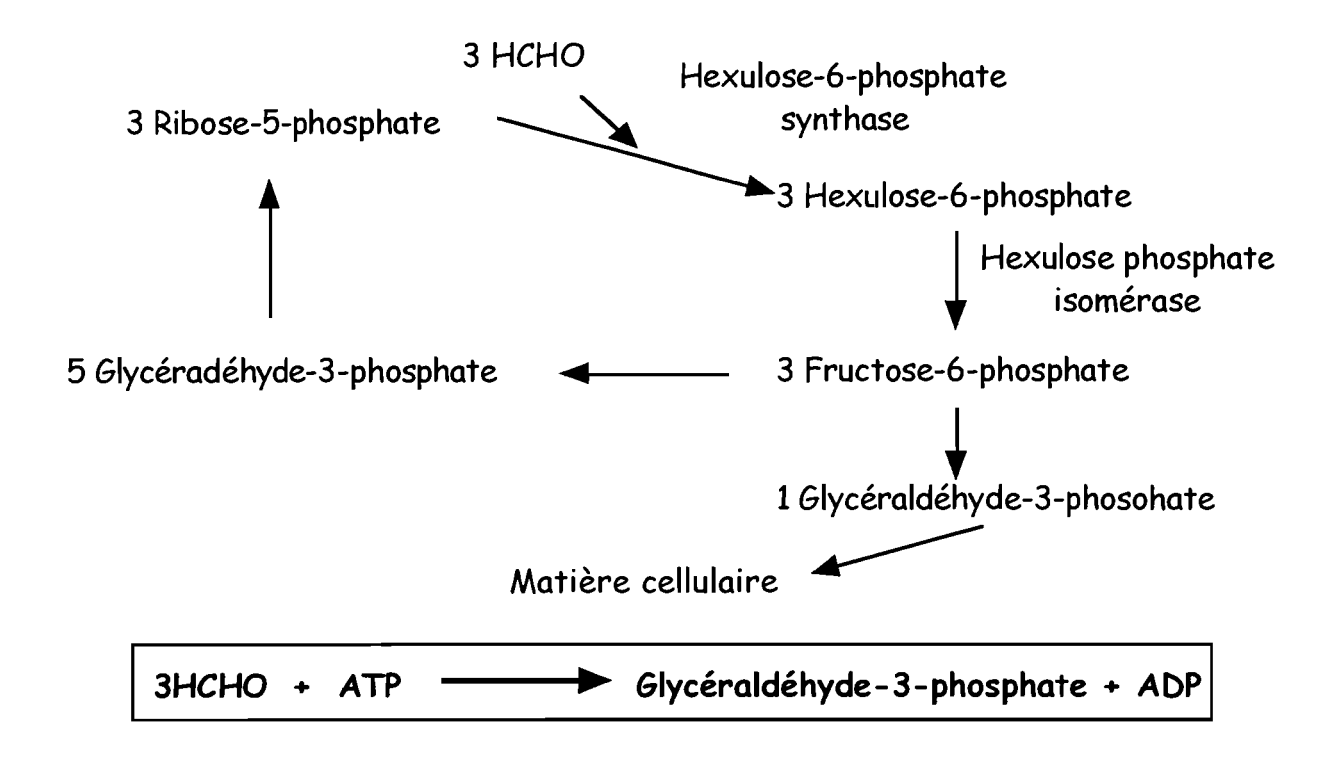


Figure 8A. Assimilation du formaldéhyde par la voie de la ribulose monophosphate (d'après Hanson & Hanson, 1996).

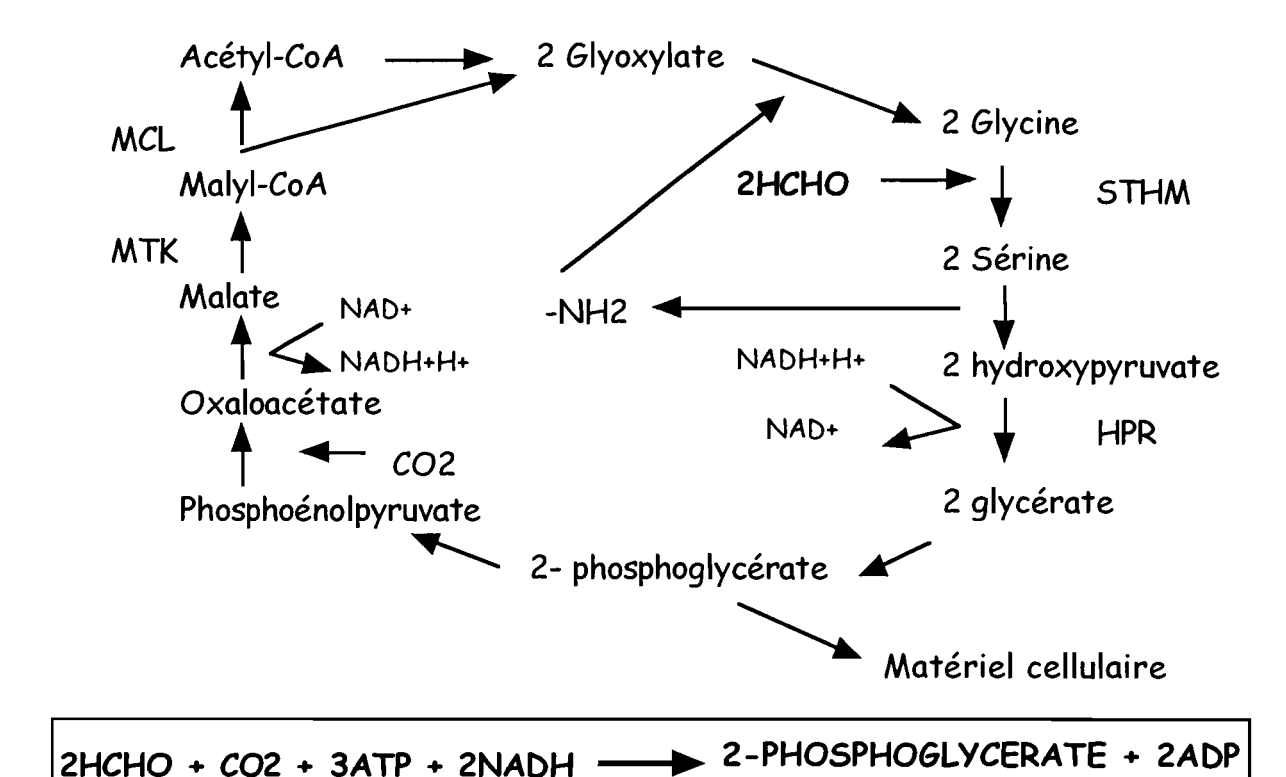


Figure 8B. Assimilation du formaldéhyde par la voie de la sérine (d'après Hanson & Hanson, 1996). STHM, Sérine Hydroxyméthyl Transférase; HPR, Hydroxypyruvate Réductase; MKT, Malate Thiokinase; MCL, Malyl Coenzyme A Lylase.

+ Pi + NAD+

glucose 6-phosphate et du 6-phosphogluconate deshydrogènase suggèrent la prédominance in vivo de la voie de linéaire (Zatman, 1981).

Comme pour l'oxydation, l'assimilation du formaldéhyde peut se faire par les deux voies cycliques de la sérine et de la ribulose monophosphate. Les deux cycles comportent une condensation entre un  $C_1$  et un composé pluricarboné, suivie par la régénération de l'accepteur et la production d'un composé en  $C_3$  (figures 8A et 8B).

Le cycle de la sérine commence par une condensation du méthylène tétrahydrofolate et de la glycine pour donner la sérine. Ce composé en  $C_3$  va subir plusieurs transformations pour donner le phosphoenolpyruvate, qui va être carboxylé pour donner le malate. Le malate est ensuite clivé en deux composés en  $C_2$  qui sont à leur tour convertis en glycine complétant ainsi le cycle.

Dans la voie de la RuMp, le formaldéhyde est condensé avec le Ribulose monophosphate par l'enzyme hexulose phosphate synthase pour produire l'hexulose phosphate. Cette molécule en  $C_6$  est isomérisée en fructose 6-phosphate par la phosphohexulose isomèrase, suivie d'une série de réactions aboutissant à la régénération de la molécule accèptrice en  $C_5$ . Globalement, la condensation de trois molécules de formaldéhydes se traduit par l'obtention d'un composé en  $C_3$  (Anthony, 1982).

## VI - 6 - Génétique et organisation des gènes

L'étude génétique et moléculaire d'un organisme dépend des possibilités de produire et de caractériser des mutants à partir de la souche sauvage pour par la suite pouvoir cloner et transférer des gènes dans des organismes ou cellules de choix. C'est dans ces domaines que l'étude des méthylotrophes et de

Methylobacterium en particulier a pris du retard sur les autres familles de bactéries. En effet jusqu'à récemment peu de choses étaient connues sur la biologie moléculaire des méthylotrophes ceci étant dû au manque de système de transfert de gènes, de transformation efficace ou de conjugaison. L'un des problèmes les plus importants concernant en particulier les méthanotrophes obligatoires du fait de leur incapacité à pousser sur des substrats pluricarbonés. Malgré tous ces problèmes, le développement des techniques chez les méthylotrophes est en progrès.

## VI - 6 - 1 - La mutagénèse

Plusieurs approches ont été utilisées pour obtenir des mutants. Parmi ces approches, on note : les mutagenèses chimiques, les rayons UV, rayons gamma, mais dans la plupart des cas, les résultats n'étaient pas satisfaisants car le nombre de mutants obtenus était très faible (Holloway, 1984 ; De Vries, 1986 ; De vries et al., 1990). Plusieurs raisons, telles, la toxicité des mutagènes ou les conditions de mutagenèse inappropriées ont été avancées pour expliquer ce manque de réussite (Williams et Shimmin, 1978 ; Tsygankov et Kazakova, 1987). Cependant des mutants ont été obtenus dans les cas où les auteurs ont réussi à contourner les problèmes liés à la toxicité des agents mutagènes (Tsygankov et Kazakova, 1987 ; klestova et al., 1988).

Récemment, plusieurs études ont porté sur la mutagenèse par transposons. La stratégie ayant l'avantage de permettre de sélectionner les mutants grâce au gène de résistance que porte le transposon. Cependant, si les transposons ont été utilisés avec succès chez plusieurs espèces de bactéries (Simon et al., 1983; Hom et al., 1984; Anderson et Mills, 1985; Singh et Klingmüller, 1986), aucun des transposons couramment utilisé n'a pu l'être chez les méthylotrophes. Le

principal problème étant la faible fréquence de transposition et l'instabilité des insertions (Toukdarian et Lidstrom, 1984b ; Fulton *et al.*, 1984 ; Lehmicke et Lidstrom 1985 ; Whitta *et al.*, 1985 ; Bohanon *et al.*, 1987).

Malgré les difficultés pour obtenir des mutants, des techniques ont été développées pour faciliter l'identification des mutants. Dans le cas Des méthylotrophes facultatifs (*Methylobacterium*), on utilise un substrat suicide, l'alcool allylique pour sélectionner les mutants méthylotrophes<sup>(-)</sup> (Nunn et Lidstrom, 1986a). Chez la souche sauvage, l'alcool allylique est oxydé par la MDH pour donner un composé toxique, l'aldéhyde acrylique ou acroléine. Ainsi les mutants MDH<sup>-</sup> sont sélectionnés sur la base de la survie en présence de l'alcool allylique. De la même manière, le dichlorométhane et le dibromométhane sont utilisés pour sélectionner les mutants MMO<sup>-</sup> chez les méthanotrophes (Nicolaidis et Sargent, 1987; Phelps *et al.*, 1992; Mc Pheat *et al.*, 1987).

# VI - 6 - 2 - Clonage et systèmes de transfert

Le développement des études génétiques chez les méthylotrophes a longtemps été tributaire du manque de systèmes de transfert de gènes. Les techniques de transfert qui ont été utilisées chez les méthylotrophes sont principalement la transformation (transfert d'ADN dans des cellules) et la conjugaison (Lidstrom et Stirling, 1990). La conjugaison a été le premier moyen par lequel un ADN recombinant a été introduit chez les méthylotrophes (Holloway, 1984; De Vries, 1986).

Concernant la transformation, seul l'ADN linéarisé à forte concentration donne des résultats positifs (Williams et Bainbridge, 1971; O'Connor et al., 1977). Plusieurs vecteurs de clonage appartenant aux groupes d'incompatibilité

IncP et IncQ ont été développés chez les méthylotrophes (Lidstrom et Stirling, 1990). Chez ces derniers, plusieurs plasmides ont été mis en évidence, mais n'ont pas été exploités comme vecteurs de clonage (Warner et al., 1977; Gertenberg et al., 1982; Montiero et al., 1982; Allen et al., 1984; Ueda et al., 1987; Galli et Leisinger, 1988; Metzler et al., 1988).

Plus récemment, la technique de l'électroporation a été utilisée comme alternative à la conjugaison pour introduire des plasmides chez les méthylotrophes. Methylobacterium extorquens NR-2 a été transformé avec réussite avec le plasmide pLA2917 par électroporation. La fréquence de transformation reste cependant inférieure à 8.10<sup>3</sup> transformants par µg d'ADN (Ueda et al., 1991a; Ueda et al., 1991b) contrairement aux autres bactéries gram-telles que E. coli dont la fréquence de transformation est nettement supérieure (Dower et al., 1988; Fiedler et Wirth, 1988). Malgrès ces difficultés, la fréquence obtenue avec Methylobacterium reste suffisante pour permettre de faire des manipulations génétiques.

# VI - 6 - 3 - Organisation des gènes de la MDH

Chez les méthylotrophes gram-, les enzymes qui ont été les plus étudiées sont celles intervenant dans l'oxydation du méthane (Mullens et Dalton, 1987), l'oxydation du méthanol (Nunn et Lidstrom, 1986a; Harms et al., 1987; Machlin et al., 1988a; Anderson et Lidstrom, 1988) et celles intervenant dans le cycles de la sérine (Allen et al., 1984; Stone et Goodwin, 1989). Dans ces différents systèmes enzymatiques, les gènes intervenant dans le métabolisme des composés en  $C_1$  semblent regroupés en clusters.

Tableau 7. Ancienne et nouvelle désignation des gènes de l'oxydation du méthanol connus chez les bactéries méthylotrophes.

Ancienne	Nouvelle	Fonction	Références		
Gènes de la PQC	2				
moxc	pqqA	Synthèse de PQQ	Nunn et Lidstrom, 1986a ; Lidstrom, 1992		
moxP	pqqA	Synthèse de PQQ	Biville <i>et al.,</i> 1989 ; Lidstrom, 1992		
moxV	pqqB	Synthèse de PQQ	Biville et al., 1989 ; Lidstrom, 1992		
moxT	pqqC	Synthèse de PQQ	Biville et al., 1989 ; Lidstrom, 1992		
moxO	pqqG	Synthèse de PQQ	Biville <i>et al.,</i> 1989 ; Lidstrom, 1992		
	pqqD	Synthèse de PQQ	Biville <i>et al.,</i> 1989 ; Lidstrom, 1992		
moxH	рддЕ	Synthèse de PQQ	Nunn et Lidstrom, 1986a ; Lidstrom, 1992		
moxU	pqqF	Synthèse de PQQ	Biville et al., 1989 ; Lidstrom, 1992		
<u>Gènes de l'oxydat</u>	<u>ion du méthanol</u>				
moxA/moxA1	mxaA	Insertion du Ca++	Nunn et Lidstrom, 1986a, 1986b		
moxK/moxA2	mxaK	Insertion du Ca++	Nunn et Lidstrom, 1986a, 1986b		
moxL/moxA3	mxaL	Insertion du Ca++	Nunn et Lidstrom, 1986a, 1986b		
moxB	mxaB	Régulation	Morris et Lidstrom, 1992		
moxF	mxaF	MHD sous-unité $lpha$	Nunn et Lidstrom, 1986a, 1986 b		
mox $J$	m  imes a J	inconnue	Anderson et Lidstrom, 1988		
moxG	mxaG	Cytochrome CL	Nunn et Lidstrom, 1986a, 1986b		
moxI	mxaI	MDH β sous-unité	Anderson et Lidstrom, 1988, Nunn et al., 1989		
moxR	mxaR	Inconnue	Van Spanning et al., 1991		
mox5	mxa5	Inconnue	Harms, et al., 1993		
moxX	mxaX	Régulation	Harms et al., 1993		
moxY	mxaY	Régulation	Harms et al., 1993		
moxZ	mxaZ	Régulation	Harms et al., 1993		
moxW	mxaW	Régulation	Xu et al., 1993		
	mxaE	Inconnue	Spriger et al., 1998		
	mxaH	Inconnue	Spriger et al., 1998		
mo×M	mxbM	Régulation	Xu et al., 1993		
moxD	mxbD	Régulation	Xu et al., 1993 ; Day et al., 1990		
moxN	mxbN	Régulation	Xu et al., 1993		
cou-6	mxbA	Inconnue	Lee et al., 1991		
moxQ	mxcQ	Régulation	Xu et al., 1993		
moxE	mxcE	Régulation	Xu et al., 1993 ; Day et al., 1990		
moxU	mxcU	Régulation	Xu et al., 1993		
Cou-1	mxcA	Inconnue	Lee <i>et al.</i> , 1991		
moxR	m×dR	Inconnue	Laufer et Lidstrom		
mox5	mxd5	Inconnue	Laufer et Lidstrom		

Le schéma génétique de l'oxydation du méthanol chez Methylobacterium est complexe non seulement en termes de nombre de gènes requis, mais de régulation. Chez Methylobacterium organophilum xx pas moins de sept régions codant pour des gènes impliqués dans l'oxydation du méthanol et l'assimilation du formaldéhyde ont été identifiés dans le chromosome (Allen et Hanson, 1985; Machlin et Hanson, 1988b; Bastien et al., 1989). Chez Methylobacterium extorquens, 26 gènes interviennent dans l'oxydation du méthanol (Bastien et al., 1989; Van Spanning et al., 1991; Morris et al., 1994, 1995; Springer et al., 1995).

Ces gènes se regroupent en quatre loci dans le chromosome de Methylobacterium extorquens AM1, mxa, mxb, mxc, et mxd (Lidstrom et al., 1994) (tabeau 7). Les gènes de l'oxydation du méthanol ont été identifiés par mutagènèse et par complémentation en utilisant des clones issus de souches sauvages. Les gènes mxa sont fonctionnellement conservés entre Methylobacterium extorquens AM1 et Methylobacterium organophilum xx puis que les clones issus de l'une des espèces peuvent complémenter les mutants de l'autres (Lidstrom, 1992). De plus l'organisation des gènes mxa chez les deux organismes est la même (Lidstrom et Stirling, 1990; Lidstrom, 1992). Les gènes d'une autre bactérie méthylotrophe facultatif, Paracoccus denitrificans, ont été également étudiés et présentent des similarités avec les mxa de Methylobacterium extorquens AM1 et Methylobacterium organophilum xx (Van Spanning et al., 1991).

## A - Les gènes mxa

Les gènes *mxa* sont regroupés dans un cluster d'au moins 14 gènes, *mxa FJGIRSACKLDEHB* et le gène *mxaW*.

Les gènes mxaF et mxaI codent respectivement pour la grande et la petite sous unité de la MDH (Nunn et Lidstrom, 1986a ; Nunn et Lidstrom, 1986b ; Anderson et Lidstrom, 1988; Nunn et al., 1989; Van Spanning et al., 1991). Les séquences des gènes mxaF des trois méthylotrophes Methylobacterium organophilum xx, Methylobacterium extorquens AM1 et Parcoccus denitrificans présentent une très forte conservation de leurs séquences d'aminoacides (Harms et al., 1987; Machlin et Hanson 1988; Anderson et al., 1990; Van Spanning et al., 1991). Les gènes mxaF et mxaI sont co-transcrits avec le gène mxaG qui code pour le cytochrome C<sub>L</sub> (Anderson et Lidstrom, 1988; Van Spanning et al., 1991). Un quatrième gène mxaJ a été identifié dans ce cluster chez Parcoccus denitrificans et Methylobacterium extorguens (Anderson et al., 1990; Van Spanning et al., 1991). Cependant la fonction de ce gène est pour le moment inconnue même si la mutation sur ce gène mxaJ altère l'activité de la MDH (Van Spanning et al., 1991). Les gènes mxa ont également été clonés chez plusieurs méthanotrophes dont Methylosinus tricosporium OB3 (AL-Taho et al., 1990), Methylococcus capsulatus et Methylomonas albus BG8 (Stephens et al., 1988).

Deux gènes nommés mxaR et mxaS ont été trouvés immédiatement en aval du locus mxaFJGI chez Parcoccus dénitrificans. Le mxaR aurait une fonction dans la formation d'une MDH active (Van Spanning et al., 1991). Cette hypothèse est basée sur le fait que les mutants mxaR sont incapables de pousser sur le méthanol, mais produisent toujours la MDH et son accepteur d'électron, le

cytochrome  $C_{551}$  (Van Spanning et al., 1991). La fonction du gène mxaS quant à elle reste à élucider (Harms et al., 1993).

En aval de mxaS se trouve le locus mxaACKLD (Nunn et Lidstrom, 1986b; Bastien et al., 1989; Lidstrom, 1992). La mutation sur ces gènes ne supprime pas la production de MDH, mais se traduit par une altération du spectre d'absorption de la MDH et de son inactivation (Nunn et Lidstrom, 1986b). Des études ultérieures ont montré que ces gènes interviennent dans l'incorporation du calcium dans le complexe MDH-PQQ (Richardson et Anthony, 1992).

En aval du gène mxaD, se trouve le gène régulateur mxaB qui intervient dans la transcription de mxaF et de pqqD chez M. extorquens (Morris et Lidstrom, 1992; Ramamoorthi et Lidstrom, 1995) et chez M. organophilum (Xu et al., 1993). Ce gène est cependant précédé de deux cadres de lecture (ORF), mxaE et mxaH dont les fonctions ne sont pas connues (Springer et al., 1998)

Chez Methylobacterium extorquens, immédiatement en amont de mxaF a été trouvé le gène mxaW qui est transcrit de façon inverse et dont la fonction est inconnue car les mutants mxaW ont une activité MDH normale (Xu et al., 1993; Lidstrom et al., 1994; Springer et al., 1998).

# B - Les gènes mxb, mxc et mxd

Les locus  $m \times b$  et  $m \times c$  contiennent des gènes régulateurs qui sont indispensables pour l'expression et la transcription de  $m \times aF$  chez M. extorquens (Springer et al., 1995). Du point de vue phénotypique, tous les mutations  $m \times b$  et  $m \times c$  ont un taux de protéines  $M \times aF$  et de Cytochrome  $C_L$  réduits par rapport aux souches sauvages. Ces phénotypes sont plus marqués dans le cas des mutants

mxbM et mxbD. Par contre les mutants mxdR et mxdS ont des taux de MxaF et de Cytochrome équivalents aux souches sauvages et leur rôle dans l'oxydation du méthanol reste inconnu (Springer et al, 1995). L'action des gènes régulateurs mxc se fait de façon hiérarchique, avec les gènes mxcQ et mxcE qui contrôlent l'expression des gènes mxbD et mxbM qui à leur tour agissent sur un certain nombre de gènes intervenant dans l'oxydation du méthanol (Springer et al, 1997).

## C - Les gènes de la PQQ

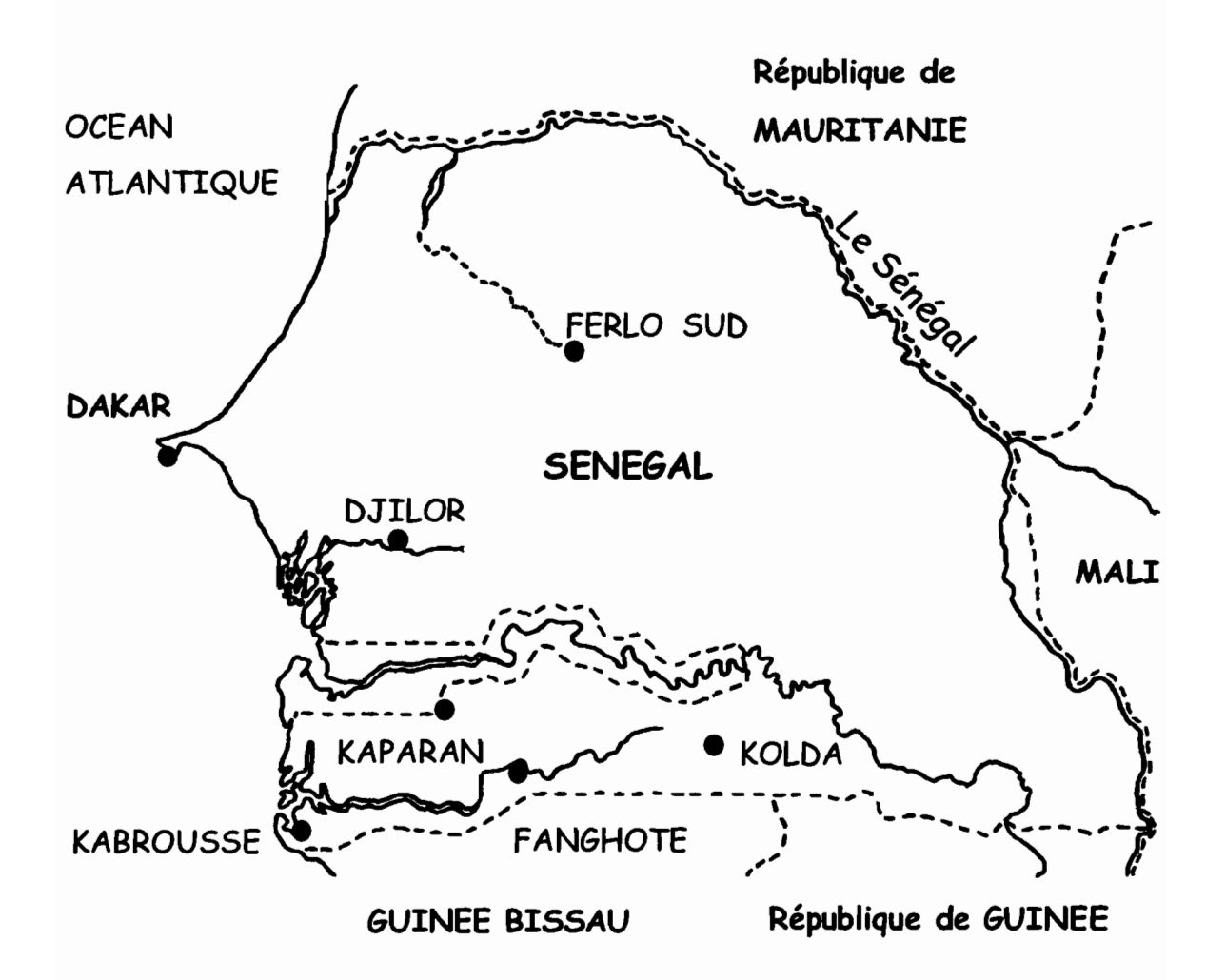
La pyrroloquinoline quinone (PQQ) est le groupement prosthétique de plusieurs deshydrogénases bactériennes telle que la MDH des méthylotrophes. La PQQ est dérivée de deux acides aminés, la tyrosine et l'acide glutamique (Salisbury et al., 1979 ; Duine et al., 1980). L'étude génétique de la biosynthèse de PQQ a été faite chez nombre de méthylotrophes ; M. extorquens AM1 (Morris et al., 1994), M. organophilum DSM760 et XX (Biville et al., 1989 ; Morris et al., 1994) et chez Methylobacillus flagellatum (Gomelsky et al., 1996). Sept gènes répartis en deux clusters ont été identifiés chez M. extorquens AM1 : pqqDGCBA et pqqEF (Morris et al., 1994). Chez Klebsiella pneumoniae, six gènes pqqABCDEF ont été identifiés (Meulenberg et al., 1992), les cinq premiers correspondant respectivement aux gènes pqqGDCBA de M. extorquens AM1 (Morris et al., 1994). Les mêmes gènes dans le même ordre se rencontrent aussi chez Acinetobacter calcoaceticus (Goosen et al., 1989). Toyama et al., (1997) ont proposé une nomenclature unifiée des gènes pqq suivant celle de Klebsiella pneumoniae.

Parmi les gènes régulateurs mxbM, mxbD, mxcQ, mxcE et mxaB requis pour la transcription des gènes codant pour les sous-unités de la MDH, seuls mxbM, mxbD et mxaB interviennent dans la transcription et la régulation de pqqD, mais

seuls les mutants mxbM et mxbD affectent significativement la production finale de PQQ (Ramamoorthi et Lidstrom, 1995). On note ainsi interaction entre la régulation les gènes codant pour les sous-unités de la MDH et la régulation de pqqD qui est le précurseur de la PQQ.

MATERIEL ET METHODES

Figure 9. Sites de prélèvement des nodules de Crotalaria.



#### I - ISOLEMENT ET CONSERVATION DES SOUCHES

Les souches de rhizobiums utilisées dans cette étude proviennent de nodules frais ou secs récoltés in situ de différentes localités du Sénégal (figure 9). Dans le cas des nodules frais, l'isolement est direct alors que pour les nodules secs, pour éviter les contaminations nous avons d'abord procédé à un piégeage par inoculation de broyats de nodules désinfectés sur des jeunes plants de la même espèce pour obtenir des nodules frais. Les nodules frais sont stérilisés en surface par immersion dans une solution de chlorure mercurique (HgCl<sub>2</sub>) à 0,1% pendant 5 min. Ils sont ensuite rincés plusieurs fois à l'eau distillée stérile, puis écrasés dans une goutte d'eau distillée stérile. Les suspensions ainsi obtenues sont étalées sur boîtes de Pétri contenant le milieu de culture YMA (Vincent, 1970). Les colonies apparaissent après plusieurs jours d'incubation à 37°C dans des conditions aérobies. La pureté des colonies est vérifiée par des étalements répétés sur milieu YMA et par contrôle au microscope. La nodulation des isolats sur leur plante-hôte d'origine est contrôlée et ils sont conservés à -80°C dans du milieu YM contenant 20% (v/v) de qlycérol.

#### II - LES MILIEUX DE CULTURE

Nous avons utilisé différents milieux pour les cultures bactériennes ou de plantes. Tous les milieux ont été stérilisés pendant 20 minutes à 120°C.

#### II - 1 - Cultures bactériennes

#### A - Milieu YM (Vincent, 1970)

Ce milieu a été utilisé pour la culture des différentes souches de rhizobiums. Il contient par litre : mannitol : 10 g ; glutamate de sodium : 0,5 g ;  $K_2HPO_4: 0,5 g$  ;  $MqSO_4.7H_2O: 0,2 g$  ; NaCl: 0,05 g ;  $CaCl_2: 0,04 g$  ;  $FeCl_3: 0,05 g$  ;  $CaCl_2: 0,04 g$  ;  $CaCl_2: 0,04 g$  ;  $CaCl_2: 0,04 g$  ;  $CaCl_2: 0,04 g$  ;  $CaCl_3: 0,04 g$  ;  $CaCl_3:$ 

0,004 g ; extrait de levure : 1 g. Le pH du milieu est ajusté à 6,8. Le milieu gélosé YMA est obtenu en ajoutant 20 g/l d'agar.

### B - Milieu LB (Luria Bertani)

Le milieu LB (Sambrook et al., 1989) a été utilisé pour les cultures d'Escherichia coli. Sa composition par litre est la suivante : extrait de levure : 5 g ; tryptone : 10 g ; NaCl : 10 g. Le pH est ajusté à 7 et le milieu solide correspondant est obtenu après addition de 20 g/l d'agar.

## C - Milieu TY tamponné (Beringer, 1974)

Ce milieu tamponné a été utilisé comme milieu de culture pour l'extraction des protéines totales des souches de rhizobiums. Il contient par litre : tryptone (Oxoid) : 5 g ; extrait de levure (Oxoid) : 0,75 g ;  $KH_2PO_4$  : 0,454 g ;  $Na_2HPO_4$ .  $12H_2O$  : 2,388 g ;  $CaCl_2.2H_2O$  (13,4 g/100 ml) : 5 ml ; agar LabM : 20 g. Le pH est ajusté à 6,8 - 7,0.

#### D - Milieu M72 (Green, 1991)

Le M72 a été utilisé pour la culture des souches de *Methylobacterium* et pour les tests de méthylotrophie.

Il contient par litre :  $K_2HPO_4$  : 1,2 g ;  $KH_2PO_4$  : 0,62 g ;  $CaCl_2.6H_2O$  : 0,05 g ;  $MgSO_4.7H_2O$  : 0,2 g ; NaCl : 0,1 g ;  $FeCl_3.6H_2O$  : 1 mg ;  $(NH_4)_2SO_4$  : 0,5 g ; oligo-éléments : 1 ml.

La solution d'oligo-éléments est composée par litre de :  $CuSO_4.5H_2O$  : 5 mg ;  $MnSO_4.H_2O$  : 7 mg ;  $Na_2MoO_4.2H_2O$  : 10 mg ;  $H_3BO_3$  : 10 mg ;  $ZnSO_4.7H_2O$  : 70 mg ;  $CoCl_2.6H_2O$  : 5 mg. Le pH du milieu est ajusté à 7,0. Après la stérilisation, le milieu est refroidi à  $45^{\circ}C$  avant l'ajout du méthanol filtré  $(0.2~\mu\text{m})$  à la concentration souhaitée.

#### E - Milieu TYGPN

Le milieu TYGPN a été utilisé pour la construction de la banque d'ADN génomique. La composition par litre est : tryptone : 20 g ; extrait de levure : 10 g ; glycérol 80% : 10 ml ;  $Na_2HPO_4.2H_2O:6,3$  g ;  $KNO_3:10$  g. Le pH est ajusté à 7.

#### II - 2 - Culture des plantes en tubes Gibson

## A - Milieu Jensen (Vincent, 1970)

Ce milieu a été utilisé pour la culture des plantes en tube Gibson lors des tests de nodulation pour la détermination du spectre d'hôtes des différentes souches.

Pour 1 litre, il contient : 10 ml de solution P ( $K_2HPO_4$  à 20 g/l; MgSO<sub>4</sub>. 7H<sub>2</sub>O à 20 g/l) ; 10 ml de solution Q (NaCl à 20 g/l) ; 20 ml de solution R (CaHPO<sub>4</sub> à 50 g/l) ; 10 ml de solution D (FeCl<sub>3</sub>.6H<sub>2</sub>O à 4 g/l) ; 1 ml d'oligoéléments de Jensen ; agar : 15 g.

La solution d'oligo-éléments de Jensen contient par litre :  $H_3BO_3$  : 2,86 g ;  $MnSO_4$  : 2,03 g ;  $ZnSO_4$  : 0,22 g ;  $CuSO_4.5H_2O$  : 0,08 g ;  $Na_2MoO_4.H_2O$  : 0,09 g. Le pH du milieu est ajusté à 6,7.

#### III - TESTS DE NODULATION

Les graines des différentes espèces utilisées dans cette étude ont été scarifiées et stérilisées en surface avec de l'acide sulfurique concentré. Les temps en minutes de traitement avec  $H_2SO_4$  pour les différentes espèces de plantes sont les suivants : Crotalaria comosa, 15 min ; Crotalaria glaucoides, 20 min ; Crotalaria goreensis, 40 min ; Crotalaria hyssopifolia et Crotalaria lathyroides, 10 min ; Crotalaria perrottetii, 30 min ; Crotalaria podocarpa et

Crotalaria retusa, 35 min; Crotalaria ochroleuca, 25 min; Sesbania rostrata, 30 min; Acacia albida, 30 min; Acacia raddiana, 60 min et Indigofera microcarpa, 25 min.

Après traitement, les graines ont été lavées avec de l'eau distillée jusqu'à ce que toute trace d'acide soit éliminée, puis laissées à imbiber pendant une nuit dans l'eau stérile. Les graines ont ensuite été incubées pour germer dans des boîtes de Pétri stériles contenant de l'eau gélosée (8 g/l d'agar) pendant 24 à 48 heures à 30°C à l'obscurité. Les plantules ont ensuite été transférées dans des tubes contenant du milieu nutritif Jensen en gélose inclinée, pour les essais de nodulation racinaire.

L'inoculation des plantes a été faite 48 heures après la mise en tube avec 1 ml de culture bactérienne en phase exponentielle de croissance. Les plantes ont été cultivées dans des conditions de lumière continue (20  $W/m^2$ ) à  $28^{\circ}C$ , la formation des nodules est observée durant 5 à 6 semaines.

## IV - MESURE DE L'ACTIVITE REDUCTRICE D'ACETYLENE (ARA)

Les microorganismes fixateurs d'azote, appelés diazotrophes, possèdent en commun un complexe enzymatique, la nitrogénase, qui catalyse la réduction biologique de l'azote atmosphérique. La nitrogénase peut également réduire d'autres substrats tels que l'acétylène ( $C_2H_2$ ) qui est ainsi réduit en éthylène ( $C_2H_4$ ). Cette propriété est utilisée pour estimer de façon indirecte la fixation d'azote par la méthode de Hardy *et al.*, (1973). En effet pour un même apport d'énergie, la réduction d'une mole de  $N_2$  correspond à celle de 3 moles de  $C_2H_2$  d'où un coefficient de conversion théorique de 3/1.

$$N_2 + 6H^+ + 6e^-$$
 2NH<sub>3</sub>

$$3C_2H_2 + 6H^{\dagger} + 6e^{-} \longrightarrow 3C_2H_4$$

La mesure de l'ARA a été réalisée par chromatographie en phase gazeuse sur un chromatographe Varian Aerograph série 1400 équipé d'une colonne de Sphérosil XOB 075 en acier inoxydable de 120 cm x 0,02 cm. Les températures respectives de la colonne, de l'injecteur et du détecteur sont, 65, 110 et 180°C. Le débit du gaz vecteur (l'azote) est de 40 ml/min, ceux de l'hydrogène et de l'air comprimé sont respectivement 30 ml/min et 300 ml/min.

Les racines portant des nodules ont été coupées et mises dans des flacons fermés hermétiquement. L'acétylène est injecté à raison de 10% du volume des flacons et le tout a été incubé pendant 30 min. Ensuite, des échantillons gazeux de 0,5 ml ont été prélevés de chaque tube et injectés au chromatographe. La quantité d'éthylène produite a été mesurée par le pic enregistré dont la conversion en nanomoles se fait par référence à un étalon standard, constitué d'éthylène dilué au 1/1000. L'ARA est exprimé en nmoles de  $C_2H_4/heure/plante$ .

#### V - PREPARATION DES EXTRAITS PROTEIQUES

Pour l'analyse des protéines totales, le protocole expérimental est adapté des techniques décrites par Laemmli (1970), modifiées par Kiredjian et al., (1986). Le principe est basé sur la séparation des protéines totales d'une souche par électrophorèse sur gel de polyacrylamide en présence d'un composé dénaturant chimique, le Sodium Dodécyl Sulfate (SDS). La séparation des protéines totales d'une souche par électrophorèse sur gel de polyacrylamide donne un électrophorégramme complexe caractéristique de la souche et qui est reproductible si les techniques utilisées sont standardisées. Cette technique de caractérisation est fine et renseigne sur la similarité des souches bactériennes aux niveaux de l'espèce ou de la sous-espèce. Par ailleurs, les résultats sont

généralement corrélés à ceux des hybridations ADN/ADN (Kersters, 1985 ; Vandamme et al., 1996).

#### A - Culture et récolte des bactéries

Pour une bonne reproductibilité du système permettant l'étude comparative des souches bactériennes, le milieu de culture doit être riche et tamponné, afin d'optimiser la croissance bactérienne dans des conditions de pH constant pendant la durée de la culture. Les cultures bactériennes ont été faites sur milieu TY tamponné. Sur ce milieu, les bactéries produisent peu de polysaccharides gênant pour l'extraction des protéines. Une quantité de bactéries correspondant à une öese de platine est inoculée sur milieu TY tamponné gélosé incliné en tubes de verre. Ce procédé est répété à chaque fois que la culture stock sur TY est âgée de plus d'une semaine. Au bout de 72 heures, la culture bactérienne sur TY incliné (5 ml de gélose/tube) est homogénéisée dans 3 ml de solution de tampon phosphate stérile 0,01 M, pH 7. Cette suspension est employée pour inoculer des milieux TY tamponnés gélosés stériles en boîtes de Pétri, puis les boîtes sont incubées pendant 48 à 72 heures à 37°C.

Les bactéries sont récoltées en fin de phase exponentielle de croissance dans une suspension de tampon phosphate de sodium 0,01 M, pH 7,3 (tampon NaPBS), et centrifugées pendant 10 min à 10000 rpm après avoir été filtrées sur une gaze de coton. Les cellules sont ensuite lavées 2 fois dans le même tampon (remise en suspension et centrifugation à 15000 rpm).

## B - Extraction des protéines et électrophorèse

Au moins 80 mg de la biomasse bactérienne de chaque souche est mise en suspension (dans des tubes Eppendorf) dans un volume de 0,9 ml de tampon STB (0,062 M Tris HCl, pH 6,8 contenant 5% (v/v) de mercaptoéthanol et 5% (p/v) de sucrose). La lyse des cellules se fait par addition de 0,1 ml de SDS 20% et chauffage des échantillons à 95°C pendant 10 min. Les extraits protéiques sont alors refroidis dans la glace et centrifugés pendant 10 min à température ambiante.

Les protéines sont séparées par électrophorèse sur gel de polyacrylamide (PAGE), en présence de SDS sur des appareils de type Hoefer SE ou LKB 2001 (gels verticaux). Après la migration (une nuit sous une intensité constante de 6 mA et une tension de 12 Volts), les gels sont trempés pendant une heure dans une solution de fixation (acide trichloracétique 10%), puis colorés pendant une heure sur agitateur linéaire dans une solution de bleu de Coomassie (0,25% Serva blue R; méthanol 50% v/v et acide acétique 10% v/v). Les gels sont ensuite décolorés dans une solution de méthanol 25% v/v et d'acide acétique 10% v/v, puis photographiés et séchés entre deux feuilles de cellophane.

## C - Analyse des profils protéiques

Les profils électrophorétiques sont comparés aux profils de souches de référence à l'aide du logiciel GelCompar 4.2 qui permet la saisie, la standardisation, la normalisation et le stockage des données (Kersters, 1985; Vauterin et Vauterin, 1992). Un densitomètre (type Ultrascan Laser LKB 2202, programme Gel-Scan) connecté à un ordinateur PC compatible permet la mémorisation des bandes de protéines suivie de leur digitalisation et de leur stockage (Programme GelCompar, Vauterin et Vauterin, 1992). La normalisation des profils est faite par rapport à celui de la souche de Psychrobacter immobilis

LMG 1125, standard choisi pour son profil protéique constitué de bandes nettement séparées et réparties sur toute la longueur du gel. Cette étape de normalisation permet de corriger d'éventuelles différences de conditions de migration résultant des aléas expérimentaux. La similarité entre les profils des différentes souches bactériennes comparées deux à deux est ensuite calculée et exprimée en pourcentage par conversion du coefficient de corrélation de Pearson (r) qui tient compte de la densité optique des profils protéiques (Häne et al., 1993). Les résultats obtenus sont ensuite intégrés et présentés sous forme de dendrogramme UPGMA (Unweighted Pair Group Method Average). Dans ce type de dendrogramme, la distance entre deux groupes est définie comme étant la moyenne des distances calculées entre chaque paire d'individus appartenant aux deux groupes (Everitt, 1993).

#### D - Les solutions

## -Tampon phosphate 0,01M pH7

- (a) 0,2 M KH<sub>2</sub>PO<sub>4</sub>: 27,218 g/l d'eau distillée
- (b) 0,2 M Na<sub>2</sub>HPO<sub>4</sub>.12H<sub>2</sub>O: 71,63 g/l d'eau distillée

Tampon 0,1 M : 195 ml de (a) + 305 ml de (b) + 500 ml d'eau distillée

Diluer ensuite jusqu'à 0,01 M

## -Tampon NaPBS

0,2 M Na<sub>2</sub>HPO<sub>4</sub>,12H<sub>2</sub>O: 40,5 ml

 $0,2 \text{ M NaH}_2PO_4.12H_2O: 9,5 \text{ ml}$ 

NaCl : 8 g ;  $H_2O$  qsp 1000 ml ; pH 7,3 ; conserver à 4°C

## -Tampon STB

0,75 g Tris; 5 ml Mercaptoéthanol

5 q Sucrose;  $H_2O$  qsp 100 ml; pH 6,8; conserver à -18°C

#### VI - EXTRACTION D'ADN

## A - Extraction de l'ADN génomique bactérien

Les bactéries sont cultivées pendant 48 à 72 heures sous agitation à  $37^{\circ}C$  sur milieu YM. Les cultures (5 ml) sont ensuite centrifugées (10 min à 14000 rpm), puis les cellules sont lavées une fois avec du TE (tampon Tris HCl, 10 mM; EDTA, 1 mM; pH8). Les cellules sont ensuite lysées par incubation pendant 30 min à  $37^{\circ}C$  dans  $500~\mu$ l de TE contenant du lysozyme à 1 mg/ml. Par la suite,  $30~\mu$ l de SDS 10% et  $10~\mu$ l de protéinase K à 20 mg/ml sont ajoutés au mélange pour dénaturer les protéines.

Après une nuit d'incubation à 37°C, un mélange 20  $\mu$ l de SDS 10% et 130  $\mu$ l de NaCl 5 M est alors ajouté. Une agitation (vortex) permet de précipiter les protéines, et une centrifugation après 30 min d'incubation dans la glace permet de séparer les protéines (culot) de l'ADN (surnageant). Après récupération du surnageant, deux séries de deux lavages (5 min à 5000 rpm) avec un mélange de phénol-chloroforme-aclool isoamylique (25/24/1; v/v/v), puis de chloroforme-alcool isoamylique (24/1; v/v) permet d'éliminer toutes les traces de protéines et de lipides.

L'ADN est ensuite précipité par addition de 70  $\mu$ l d'acétate de sodium 3 M à pH 5,2 et de 1 ml d'isopropanol. Après centrifugation, l'ADN est lavé avec de l'éthanol 70%, puis séché avant d'être repris dans 50  $\mu$ l de Tris 10 mM, pH 8. Cette étape est suivie de la phase de traitement de l'ADN à la RNaseA (2,5  $\mu$ l à 0,4 mg/ml) pendant deux heures à 37°C. L'ADN est de nouveau précipité, lavé à l'éthanol 70% et conservé à 4°C pour dissolution complète avant d'être finalement stocké à -20°C.

## B - Extraction de l'ADN génomique chez les plantes

Après prélèvement de cotylédons âgés de 2 jours après germination (selon le protocole déjà décrit cf III), le matériel végétal est pesé (200 mg) puis broyé dans un tube Eppendorf de 1,5 ml contenant du sable très fin (sable de Fontainbleau) avec 100  $\mu$ l de tampon d'extraction (Tris 100 mM à pH8, EDTA 50 mM, NaCl 500 mM). Au cours du broyage (3 à 4 minutes) 400  $\mu$ l de tampon d'extraction sont ajoutés afin de récupérer le maximum de matériel. Après incubation à 65°C dans 35  $\mu$ l de SDS à 20% et une centrifugation (10 minutes à 14000 rpm), le surnageant est précipité par ajout d'un volume de 640  $\mu$ l d'isopropanol et de 60  $\mu$ l d'acétate de sodium 3 M pH 3,2.

Le culot est repris ensuite dans 200 ml de Tris-EDTA pH8, et précipité de nouveau dans de l'éthanol pur et de l'acétate de sodium afin d'enlever les impuretés. L'ADN est récupéré dans 25  $\mu$ l d'eau stérile et conservé à-20°C.

#### C - Extraction d'ADN plasmidique

Toutes les souches d'E. Coli transformées ont été cultivées une nuit dans du LB avec l'antibiotique adéquat. Les extractions plasmidiques ont été faites sur microcolonnes en utilisant le kit Wizard Plus SV Minipreps de Promega.

#### VII - AMPLIFICATION DE L'ADN PAR PCR

#### A - Principe

Le principe de la méthode d'amplification d'ADN in vitro consiste à hybrider un ADN dénaturé à deux amorces oligonucléotidiques qui permettront la copie du brin d'ADN qu'ils encadrent grâce à une ADN polymérase. Chaque couple d'amorces est composé d'un oligomère complémentaire de l'extrémité 3'

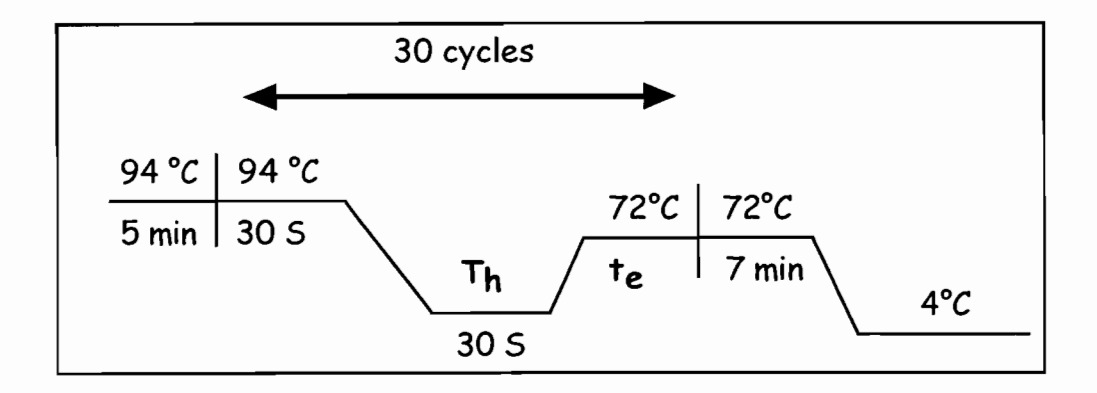


Figure 10A. Programme PCR Classique pour amorces spécifiques. La température d'hybridation  $(T_h)$  et la durée de l'élongation  $(t_e)$  dépendent respectivement des amorces et de la taille du fragment à amplifier.

165 :  $T_h = 60^{\circ}C$  ;  $t_e = 2 \text{ min}$  ; ITS :  $T_h = 57^{\circ}C$  ;  $t_e = 1 \text{ min}$  ; mxaf 1003/mxar1561 :  $T_h = 50^{\circ}C$  ;  $t_e = 1 \text{ min}$ .

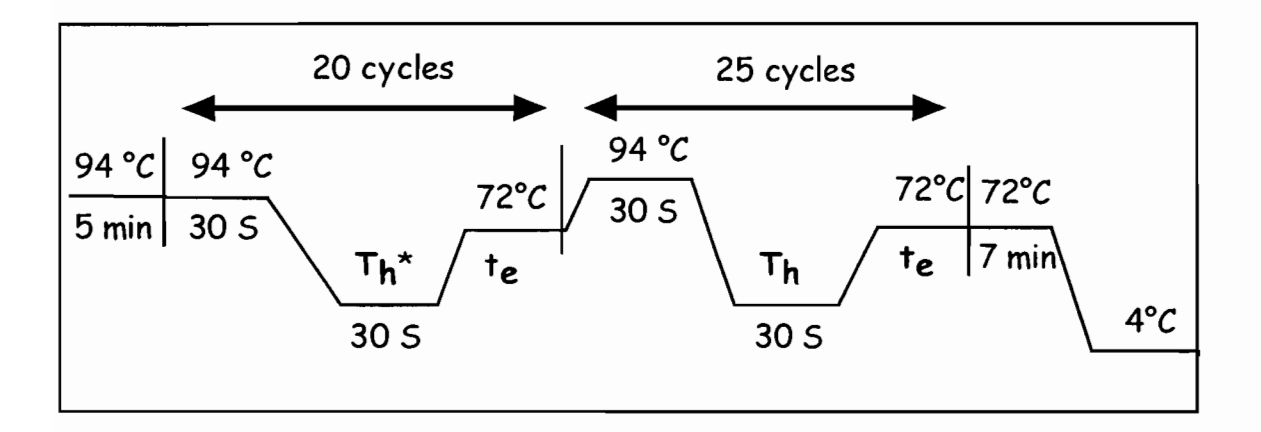


Figure 10B. Programme "Touch-dowm" PCR. La température d'hybridation dans la première serie de cycles  $(T_h^*)$  baisse de  $0.5^\circ C$  par cycle.

du monobrin d'ADN à amplifier et d'un autre oligonucléotide complémentaire de l'extrémité 3' du brin antiparallèle. La polymérisation est réalisée en présence de désoxynucléotides triphosphates dNTPs (dATP, dTTP, dCTP, dGTP) et d'ADN polymérase (Taq) isolé de *Thermus aquaticus* (Mullis et Faloona, 1987), une bactérie se développant à haute température. La répétition des trois étapes : dénaturation, hybridation et polymérisation, aboutit à une amplification exponentielle de la séquence ciblée.

## B - Conditions d'amplification et amorces utilisées

Dans notre étude, les réactions de PCR ont été réalisées avec un thermocycleur Applied Biosystems : Gene Amp PCR system 2400, en utilisant des programmes différents en fonction des couples d'amorces utilisés. Le programme classique (dénaturation, hybridation, polymérisation) a été utilisé pour les couples d'amorces spécifiques (figure 10a), et le programme "Touchdown" (Don et al., 1991) dans le cas d'amorces dégénérées. Ce dernier programme est composé de deux séries de cycles. Une première série qui permet de tester toute une gamme de températures pour l'hybridation des amorces, puis une seconde série permet d'amplifier les fragments d'ADN obtenus lors de la première série (figure 10b). Les séquences des amorces utilisées pour l'amplification des gènes 16S rDNA, mxaF, nodA et de l'ITS sont présentées dans le tableau 8.

Les réactions amplification ont été faites dans un volume réactionnel de 25  $\mu$ l contenant : 1 ou 2  $\mu$ l d'ADN matrice (50 ng), 2,5  $\mu$ l de Tampon 10x (Eurogentec), 1,5  $\mu$ l de MgCl<sub>2</sub> (25 mM), 2  $\mu$ l de dNTPs (2,5 mM), 1  $\mu$ l de chacune des amorces (20 pmol/ $\mu$ l), 0,125  $\mu$ l de Taq polymérase (Gibco-BRL) et de l'H<sub>2</sub>O pour compléter le volume à 25  $\mu$ l.

Tableau 8. Liste des amorces utilisées pour les réactions d'amplification.

Amorces	Séquences 5' - 3'	gène	Références
ADNr 165			
FGPS6	GGAGAGTTAGATCTTGGCTCAG	165 rRNA	Normand et al., 1992
F <i>G</i> PS1509	AAGGAGGGGATCCAGCCGCA	165 rRNA	Normand et al., 1992
Gène nodA			
nodAf brady	GTYCAGTGGAGSSTKCGCTGGG	nodA	cette étude
nodAr brady	TCACARCTCKGGCCCGTTCCG	nodA	cette étude
nodA1 f	TGCRGTGGAARNTRBVYTGGG	nodA	cette étude
nodB1 r	GGNCCGTCRTCRAASGTCARGTA	nodA	cette étude
<u>Gènes de la mé</u>	<u>thylotrophie</u>		
mxaf1003	GCGGCACCAACTGGGGCTGGT	mxaF	McDonald et al., 1995
mxar1561	GGGCAGCATGAAGGGCTCCC	mxaF	McDonald et al., 1995
mxaf916	GGCGACAACAAGTGGWCSATG	mxaF	cette étude
mxar1360	ARTCCATRCARAYGTGGTT	mxaF	cette étude
<u>ITS</u>			
NNC18510	AGGAGAAGTCGTAACAAG	ITS1	Wen & Zimmer, 1996
C26A	GTTTCTTTTCCTCCGCT	ITS2	Wen & Zimmer, 1996

Les produits d'amplification ont été visualisés par électrophorèse sur gel d'agarose à 1% (Sigma, type II) contenant du bromure d'éthidium. La migration des gels a été faite dans des cuves d'électrophorèse (Easy Cast modèle B<sub>2</sub>) contenant du tampon TAE (tris-acétate 40 mM, Na<sub>2</sub>-EDTA 1 mM, pH 8,5). Un marqueur de taille moléculaire SmartLadder (Eurogentec) ou 100 pb DNA Ladder (Promega) permet de vérifier la taille et la concentration du fragment amplifié.

#### VIII - DIGESTION DES PRODUITS D'AMPLIFICATION

La digestion enzymatique ou RFLP a été réalisée sur les produits d'amplification de l'ADNr 16S et du gène nodA. Les produits de PCR issus de l'amplification ont ainsi été digérés par les enzymes de restrictions reconnaissant des sites de restriction spécifiques de 4 ou 5 bases suivantes : HaeIII, MspI, HinfI et Sau96I dont les sites de restriction sont donnés dans le tableau 9.

Enzymes	Sites de restriction		
HaeIII	GG/CC		
MspI	C/CGG		
HinfI	G/ANTC		
Sau96I	G/GNCC		

Tableau 9. Liste des enzymes de restriction utilisées et leurs sites de reconnaissance. N = A, C, G, ou T.

Les différents produits d'amplification ont été digérés pendant 5 heures dans un volume réactionnel final de 15  $\mu$ l selon le protocole du fabricant fourni pour chaque enzyme, soit : 7,5 à 10  $\mu$ l de produit PCR, 1,5  $\mu$ l de tampon 10X, 1  $\mu$ l d'enzyme et de l'eau stérile qsp.

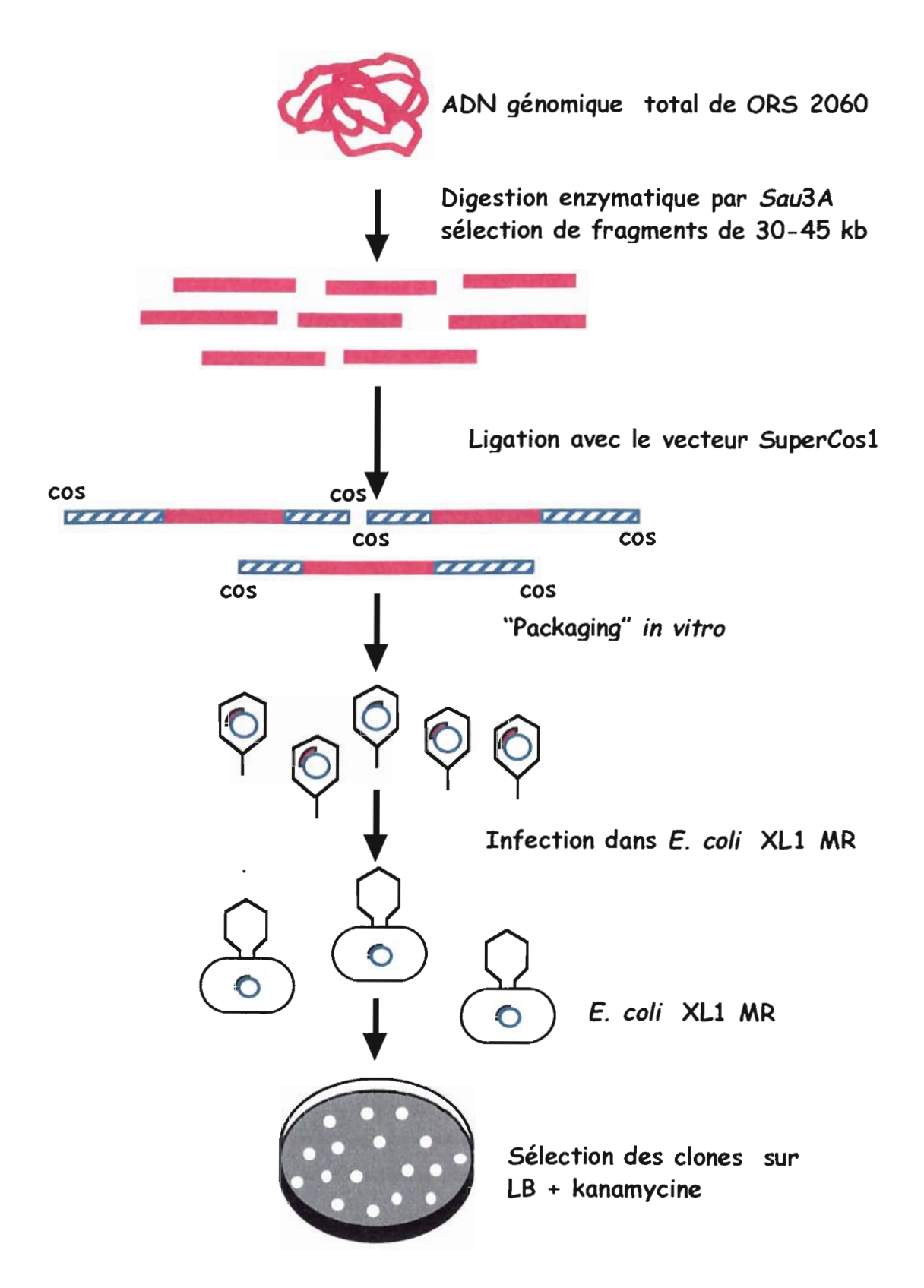


Figure 11. Construction de la banque d'ADN génomique de la souche ORS 2060

Les fragments de restriction obtenus ont été séparés par électrophorèse horizontale sur gel d'agarose à bas point de fusion (Nusieve 3% p/v) dans les mêmes conditions que pour l'analyse des produits PCR.

# IX - CONSTRUCTION D'UNE BANQUE D'ADN GENOMIQUE TOTAL d'ORS 2060

L'ADN génomique total de la souche ORS 2060 a été extrait selon le protocole décrit dans le paragraphe (VI) en prenant soin de ne pas casser l'ADN. La pureté de l'ADN a été contrôlée par la mesure du spectre d'absorption à l'aide d'un spectrophotomètre UV/VIS BECKMAN DU 40. L'ADN est considéré comme pure lorsque le rapport  $DO_{260nm}/DO_{280nm}$  est compris entre 1,8 et 2 et le rapport  $DO_{234nm}/DO_{260}$  est voisin de 0,5.

#### A - Obtention des clones de la banque

La figure 11 résume les différentes étapes de la construction de la banque d'ADN génomique. L'ADN génomique de la souche ORS 2060 a été partiellement digéré par l'enzyme de restriction Sau3A (Eurogentec), et les fragments de restriction de 30 à 45 kb obtenus ont été clonés aux sites BamHI du vecteur SuperCos1 (Stratagene). La digestion partielle de l'ADN, les réactions de déphosphorilation du vecteur de clonage et les réactions de ligation de l'ADN ont été réalisées selon le protocole Stratagene (Instruction Manual, Catalogue 251301).

Les cosmides recombinants (hybrides) contenant un fragment d'ADN de la souche ORS 2060, ont été encapsidés (Packaging) in vitro en utilisant le kit Gigapack III Gold Packaging (Stratagene). Les phages résultants de cette encapsidation, ont ensuite été utilisés pour infecter des cellules d'Escherichia

coli XL1-MR (Stratagene) selon les recommandations du fournisseur. Les bactéries ainsi transformées ont ensuite été sélectionnées sur milieu LB supplémenté de kanamycine (50  $\mu$ g/ml), résistance portée par le vecteur SuperCos1.

Après une nuit à 37°C, 2016 clones résistant à la kanamycine ont été retenus pour constituer la banque d'ADN génomique de la souche ORS 2060. Chaque clone a été repiqué dans un puits d'une microplaque Nunc contenant 145  $\mu$ l de milieu TYGPN supplémenté de kanamycine (50  $\mu$ g/ml). Au total, 21 microplaques, soit 2016 clones ont été obtenus. Après une nuit de croissance à 37°C sous faible agitation, 75  $\mu$ l de glycérol 50% v/v ont été ajoutés dans chaque puits. Chaque clone a été désigné par un numéro indiquant la microplaque et ces coordonnées sur cette dernière, et le tout a été conservé à -80°C.

## B - Criblage des clones de la banque

Pour sélectionner parmi les 2016 clones de la banque ceux qui ont inséré un fragment d'ADN contenant les gènes de nodulation (gènes *nod*) ou les gènes de l'oxydation du méthanol (MDH) nous avons choisi la technique PCR. Les amorces utilisées pour faire ce criblage sont nodAfbrady et nodArbrady pour les gènes de nodulation et mxaf1003 et mxar1561 pour la MDH.

Pour chaque microplaque, une empreinte des 96 clones a été faite sur une boîte de LB gélosé contenant de la kanamycine, et les clones obtenus ont été repris avec du Tris 10mM pour les réactions de PCR. Le criblage a été fait par des réactions de PCR successives d'abord par microplaques, puis par colonnes de 8 clones sur les microplaques positives et enfin par clones pour les colonnes positives. Les colonies positives qui serviront pour le clonage des gènes étudiés ont ensuite été mises en collection avec des numéros STM.

#### X - HYBRIDATION PAR SONDE FROIDE

#### A - Transfert de l'ADN sur membrane de Nylon

L'ADN plasmidique des clones ayant inséré des fragments d'ADN renfermant les gènes à étudier (nod ou mxaF) a été digéré par une série d'enzymes de restriction, et les fragments de restriction séparés par électrophorèse sur gel d'agarose (1%). Les fragments d'ADN ont ensuite été transférés sous vide en milieu alcalin selon le protocole Hybaid Vacu-Aid de Hybaid sur une membrane de nylon (Boehringer Mannheim). Après le transfert de l'ADN, la membrane a été trempée pendant 3 minutes dans une solution de 2X SSC, puis l'ADN fixé par irradiation aux UV. Après la fixation de l'ADN, la membrane a été conservée à 4°C pour hybridation ultérieure.

## B - Préparation des sondes

Les sondes ont été préparées à partir des produits PCR obtenus avec les couples d'amorces nodAfbrady/nodArbrady pour les gènes de nodulation et mxaf1003/mxar1561 pour le gène mxaF. Les produits d'amplification utilisés comme sonde ont été purifiés suivant le protocole Qiaquick Gel Extraction kit de Qiagen. Le marquage des sondes à été réalisé selon le protocole Dig-High Prime DNA Labeling and Detection Starter Kit II de Boehringer Mannheim. 10 à 16 µl d'ADN sonde ont été dénaturés (10 minutes à 100°C) puis immédiatement refroidis dans de la glace avant l'ajout de 4 µl de Dig-High Prime. Le tout a été mélangé, centrifugé puis incubé une nuit à 37°C, la réaction de marquage a été arrêtée par 10 minutes de chauffage à 65°C.

## C - L'hybridation de la sonde

L'hybridation de la sonde sur la membrane a été réalisée selon le protocole du kit Boehringer Mannheim, dans un four d'hybridation "shake 'n' Stack de Hybaid. La technique comporte plusieurs étapes : La préhybridation, l'hybridation, les lavages et la détection.

-La préhybridation : la membrane est incubée pendant 3 heures à  $65^{\circ}C$  dans un roller tube contenant 20 ml de solution de préhybridation (solution A), composée de : 18 ml de 5X SSC ; 0,2 ml de N-lauruysarkosyl ; 40  $\mu$ l de SDS 10% et 2 ml d'agent bloquant.

-L'hybridation : la membrane est incubée pendant une nuit à  $65^{\circ}C$  avec la solution d'hybridation (15 ml de solution  $A + 5 \mu$ l de sonde), la sonde ayant été préalablement dénaturée par ébullition et rapidement refroidie dans de la glace.

-Les lavages : après une nuit d'incubation à  $65^{\circ}C$ , la membrane est d'abord lavée à température ambiante deux fois 5 minutes avec 200 ml de solution 1 (2X SSC; SDS 0,1%), puis deux lavages de 15 minutes à  $65^{\circ}C$  dans 100 ml de solution 2 (0,1X SSC; SDS 0,1%) préchauffée à  $65^{\circ}C$  au bain marie.

-La détection: la membrane est tout d'abord rincée en roller tube deux fois 3 minutes avec 75 ml de washing buffer (1 litre de tampon 1 (acide maléique 0,1 M; NaCl 0,1 M; pH 7,5) + 3 ml de tween 20). Elle est ensuite incubée pendant 30 minutes à 25°C dans 30 ml de tampon 2 (90% de tampon 1 + 10% d'agent bloquant), puis une deuxième incubation de 30 minutes à 25°C dans 20 ml de solution d'anticorps (2 µl de l'anticorps Anti-DIG-AP conjugate (Boehringer Mannheim) dans 20 ml de tampon 2). La membrane est de nouveau rincée deux fois 5 minutes dans 200 ml de washing buffer, puis incubée pendant 5 minutes dans 100 ml de tampon 3 (Tris HCl 0,1M; NaCl 0,1M; pH 9,5). Elle est ensuite égouttée puis placée sur une pochette en plastique avant de répartir uniformément à sa surface 1 ml de CSPD (Boehringer Mannheim). Après 5 minutes d'attente, l'excès de CSPD est enlevé et la membrane est enveloppée avec du Saran Wrap puis incubé pendant 15 minutes à 37°C dans une cassette

photographique. La membrane est enfin exposée avec un film autoradiographique (Chemiluminescent Detection-Film de Boehringer Mannheim) qui est ensuite développé par le révélateur Kodak XL24 puis fixé par la solution fixatrice Kodak AL4.

## XI - SOUS-CLONAGE ET SEQUENCAGE DES GENES

Les fragments d'ADN contenant les gènes à étudier c'est - à- dire les produits de digestion ayant hybridé avec les sondes *nodA* ou *mxaF*, ont été récupérés à partir des gels d'électrophorèse sous UV. L'ADN a ensuite été extrait et purifié avec le kit Qiaquick Gel Extraction kit de Qiagen.

# A - les plasmides

Les vecteurs de clonage utilisés pour le sous-clonage des mxaF et nod sont : pUC18, pUC19 et pBSK (pBleuscript SK). Les plasmides pUC18 et pUC19 (2,69 kb) (Norrander et al., 1983 ; Yanisch-Perron et al., 1985) sont identiques à l'exception de leurs multicloning sites (MCS) qui permettent l'insertion de fragments d'ADN qui sont orientés de façons opposées. Ils portent le gène de la β-galactosidase (lacZ) et un gène de résistance à l'ampicilline, et peuvent se multiplier dans les cellules hôtes. Le plasmide pBSK (2,96 kb) (Short et al., 1988) porte également le gène de résistance à l'ampicilline, le gène lacZ et un MCS d'une vingtaine de sites de restriction.

### B - La ligation

Les fragments d'ADN récupérés des gels sont ligués aux vecteurs déjà linéarisés par la même enzyme ou par une enzyme compatible puis déphosphorilés. La réaction de ligation se fait à l'aide de la T4 DNA ligase (Eurogentec) à 16°C pendant une nuit selon les recommandations du fournisseur.

Le produit de la ligation est précipité avec de l'éthanol absolu en présence d'acétate de sodium (2  $\mu$ l, 3M; pH 5,2), le culot est ensuite lavé à l'éthanol 70% puis repris dans 5  $\mu$ l d'eau ultra pure.

# C - Obtention des cellules compétentes

La souche d'*E. coli* XL1 a été cultivée dans 200 ml de LB jusqu'à une  $DO_{600nm}$  comprise entre 0,5 et 0,6. La suspension cellulaire est refroidie dans la glace pendant 30 minutes et centrifugée à 4 °C pendant 15 minutes à 5000 tours /minute. Le culot est lavé à deux reprises avec de l'eau glacée à 4°C pour éliminer les sels, et ensuite repris dans 10 ml de glycérol 10%, et centrifugé à nouveau. Les cellules sont remises en suspension dans 0,4 ml de glycérol 10%, puis réparties dans des tubes Eppendorf à raison de 85  $\mu$ l/tube et conservées à -80°C.

### D - la transformation

La transformation des cellules compétentes à été réalisée par électroporation de 5  $\mu$ l de produit de ligation dans 40  $\mu$ l de cellules compétentes  $E.\ coli\ XL1$ . Nous avons utilisé un électroporateur  $BIO-RAD\ Gene\ Pulser\ II$  dans les conditions suivantes : voltage, 1,25 kV ; capacitance, 25  $\mu$ F ; résistance, 200 ohms, et des cuves d'électroporation dont l'espacement entre les plaques conductrices est de 1 mm. Après électroporation, 0,5 ml de LB est ajouté au mélange de transformation, et les cellules sont incubées pendant 1 heure à 37°C sous agitation. Ce mélange est ensuite étalé sur milieu sélectif (LB contenant de l'isopropyl- $\beta$ -D-thiogalactopyranoside (ou IPTG) 50  $\mu$ g/ml, du 5-bromo-4-chloro-3- $\beta$ -D-galactoside (ou X-Gal) 50  $\mu$ g/ml, et de l'ampicilline 50 mg/ml. L'ampicilline permet de sélectionner les souches ayant le plasmide car ce dernier porte la résistance à cet antibiotique, et le X-Gal permet de déterminer les colonies dont le plasmide porte l'insert.

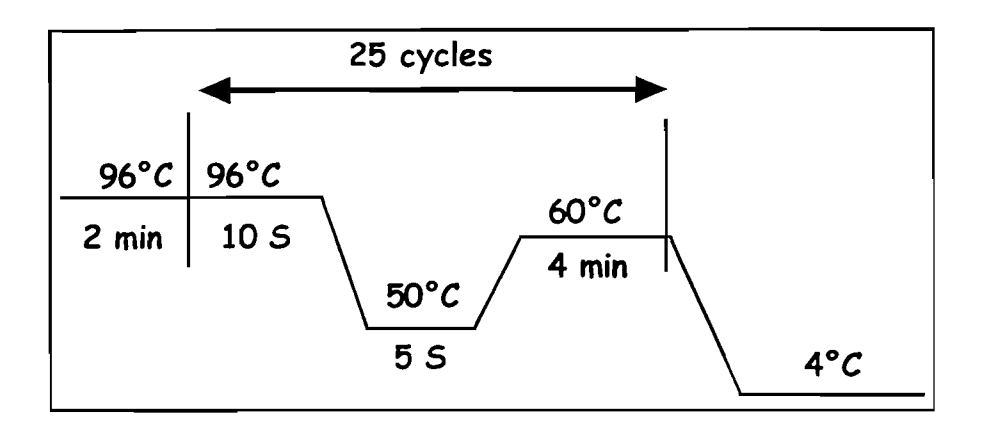


Figure 12. Programme utilisé pour effectuer les réactions de séquence.

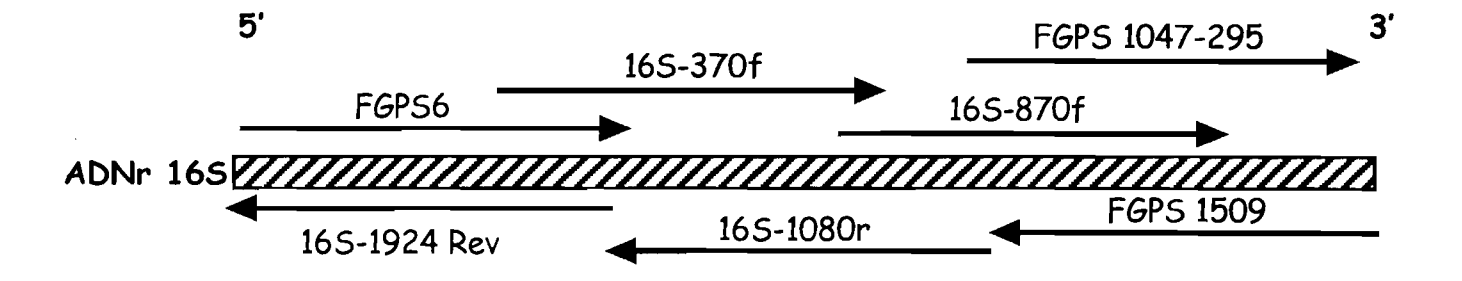


Figure 13 . Position des amorces utilisées pour le séquençage de l'ADNr 165.

L'ADN plasmidique des cellules transformées (colonies blanches) est extrait par le kit Qiaquick Gel Extraction kit de Qiagen pour faire les réactions de séquence.

# E - Séquençage

Le séquençage des clones et des produits PCR a été réalisé avec un séquenceur automatique à électrophorèse capillaire ABI PRISM 310 Genetic Analyzer de Perkin Elmer. Le kit utilisé pour les réactions de séquence est le Big Dye Terminator cycle sequencing kit contenant la polymérase AmpliTaq FS (Perkin Elmer). Le mélange de la réaction de séquence comprend : 50 à 250 ng d'ADN à séquencer, 1 µl d'amorce à 3,2 pmol, 4 µl de solution de réaction (dNTPs; ddNTPs; AmpliTaq DNA polymerase, FS, rTth pyrophosphatase; MgCl<sub>2</sub>; tampon) et 2 µl de tampon 5x (Tris base 400 mM, MgCl<sub>2</sub>.6H<sub>2</sub>O 10 mM, pH 9). Le volume final est ajusté à 20 µl avec de l'eau stérile. Le programme de la réaction de séquence est présenté par la figure 12. Les amorces utilisées pour le séquençage des différents gènes sont indiquées dans le tableau 10, alors que la figure 13 montre la position des amorces utilisées pour le séquençage de l'ADNr 165.

Les produits de la réaction de séquence sont ensuite précipités dans 50  $\mu$ l d'éthanol absolu et 2  $\mu$ l d'acétate de sodium 3 M, pH 5,2. Après 10 minutes d'incubation à température ambiante, le mélange est centrifugé pendant 30 minutes à 14000 rpm, le culot lavé avec 250  $\mu$ l d'éthanol 70%, puis séché à l'air libre. Il est ensuite repris dans 25  $\mu$ l de tampon TSR (Template Suppressing Reagent), bouilli pendant 4 minute, puis refroidi rapidement dans la glace avant d'être placé dans le séquenceur.

# F - Analyse et alignement des séquences

Tableau 10. Liste des amorces utilisées pour le séquençage de gènes étudiés.

Amorces	Séquences 5' - 3'
ADNr165	
FGPS6	GGAGAGTTAGATCTTGGCTCAG
F <i>G</i> PS1509	AAGGAGGGGATCCAGCCGCA
165-370f	GGCAGCAGTGGGGAATATTG
165-1080r	GGGACTTAACCCAACATCT
165-870f	CCTGGGGAGTACGGTCGCAAG
165-1924 Rev	GGCACGAAGTTAGCCGGGGC
FGPS 1047-295	ATG-TTG-GGT-TAA-GTC
Gène nodA	
nodAf brady	GTYCAGTGG-AGSSTKCGCTGGG
nodAr brady	TCACARCTCKGGCCCGTTCCG
nodA1 f	TGCRGTGGAARNTRBVYTGGG
nodB1 r	GGNCCGTCRTCRAASGTCARGTA
nodboxuniv2	ATCNAAACAAWNRATTTTAC
nodB76r	GGRTKNGGNCCRTCRTCRAANGT
2060.nodCf	TTCGTATCTGCGCCAACAACTC
2060. nodIf	CGCGTGCGCTGATCAATAAC
2060.nodAr	AGGTCTCGCGCCGGCCCAACTTC
2060.amnodHr	TCGGGGTTGAATTAACTCTTAC
2060.nodHf	CTGAAGTTCAGTTCTGACAATG
<u>Gènes mxaF</u>	
mxaf1003	GCGGCACCAACTGGGGCTGGT
mxar1561	GGGCAGCATGAAGGGCTCCC
mxaf916	GGCGACAACAAGTGGWCSATG
mxar1360	ARTCCATRCARAYGTGGTT
mxaff1	GCGCGATCGGCTATCCCGTTAC
<u>ITs</u>	
NNC18510	AGGAGAAGTCGTAACAAG
C26A	GTTTCTTTTCCTCCGCT
Amorces universelles (sur les	vecteurs de clonage)
M13f	GTTTTCCCAGTCACGAC
M13r	CAGGAAACAGCTATGAC
M13r-48	AGCGGATAACAATTTCACACA
Т3	AATTAACCCTCACTAAAGGG
T7	TAATACGACTCACTATAGGGC

Les amorces M13f, M13r, M13r-48, T3 et T7 sont situées sur les vecteurs de clonage, pUC18/19 et pBSK. Les amorces 2060.nodAr, 2060.nodCf, 2060.nodHf, 2060.amnodHr et 2060.nodIf ont été définies pour combler les gaps après assemblage des différents clones.

Toutes les séquences obtenues ont été corrigées à partir des électrophorégrammes à l'aide du logiciel Sequence Navigator (Applied Biosystems Inc.). L'assemblage des séquences (Front et reverse) pour obtenir la séquence consensus à été réalisé à l'aide du logiciel AutoAssembler 2.1 (PE Applied Biosystems). La traduction des séquences en séquences protéiques ainsi que la détermination des phases ouvertes de lectures probables (ORFs) ont été faites avec le logiciel DNA Strider 1.2 (Ch. Marck and C. E. A.). Les pourcentages d'homologie des séquences obtenues avec les séquences des gènes étudiés disponibles dans Genbank ont été déterminés par la procédure Blast (Altschul et al., 1990). Pour les analyses phylogénétiques, les séquences ont été alignées à l'aide de ClustalX (Thompson et al., 1997) et les arbres phylogénétiques construits selon la méthode Neighbor Joining (Saitou et Nei, 1987) et visualisés avec Njplot (Perriere, 1996).

### XII - CONSTRUCTION D'UN MUTANT MXAF

# A - Stratégie : la recombinaison homologue

Un fragment BamHI de 2 kb contenant le gène mxaF a été cloné au niveau du site BamHI du vecteur pGEM-7Zf (STM 522). Au niveau du gène mxaF, un fragment SalI de 900 pb est remplacé par la cassette pKOK5 contenant le gène rapporteur lacZ et le gène de résistance à la kanamycine (STM 579). La construction contenant la cassette est ensuite libérée par digestion BamHI puis insérée dans le vecteur pJQ200mp18 (STM 581) (figure 14). Le plasmide résultant qui contient le gène suicide SacB, est transféré par électroporation dans E. coli S17.1 (STM 584). Après conjugaison entre E. coli S17.1 transformé et ORS 2060, les colonies présélectionnées sur YMA contenant de la kanamycine (50 mg/ml) de l'acide nalidixique (10 mg/ml) et l'X-Gal (50 µg/ml), sont

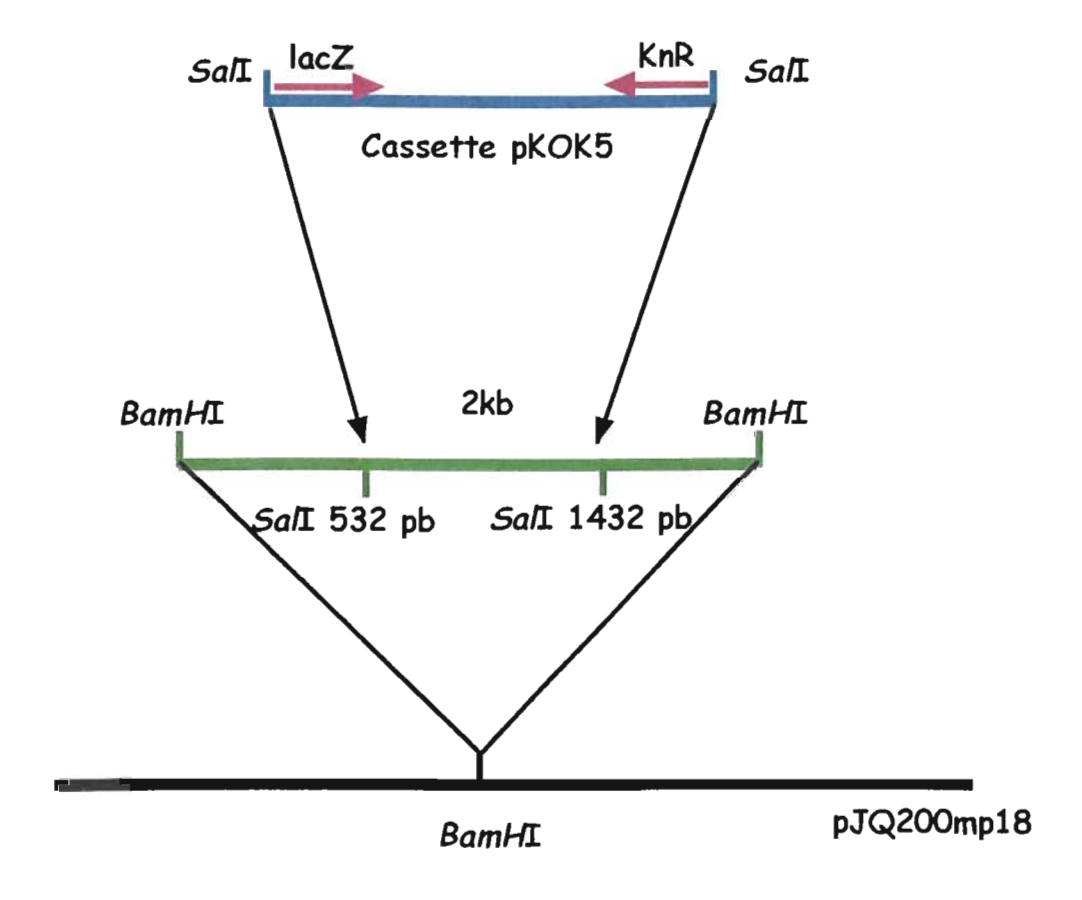


Figure 14. Construction du mutant mxaF de la souche ORS 2060.

repiquées sur YMA supplémenté de sucrose à 5% et 7%. Les colonies résistantes au sucrose sont alors criblées par PCR pour vérifier si l'événement de double crossing-over a bien eu lieu.

## B - La conjugaison

Les cultures de la souche d'*E. coli* S17.1 contenant le plasmide à transférer et celle de la souche ORS 2060 sont d'abord, lavées deux fois avec une solution de NaCl 9‰. Les culots sont ensuite repris dans le même volume d'eau qu'initialement, et La conjugaison réalisée en mélangeant 2,5 ml de suspension d'*E. coli* S17.1 transformé avec 10 ml de la suspension de la souche ORS 2060. Le mélange est centrifugé pendant 5 minutes puis le culot est remis en suspension dans 500 µl de YM. Des gouttes de 150 à 200 µl de suspension bactérienne sont ensuite déposées sur des boîtes de Pétri contenant du YMA, puis les boîtes sont placées à l'étuve à 30°C pendant 3 à 4 jours. Les cellules sont ensuite récupérées et mises en suspension dans 1 ml de YM. Différentes dilutions de cette suspension sont étalées sur milieu YMA supplémenté de kanamycine (50 mg/ml), d'acide nalidixique (10 mg/ml) et d'X-Gal (50 µg/ml).

#### XIII - TESTS D'UTILISATION DES SUBSTRATS CARBONES

Les cellules sont d'abord cultivé jusqu'en phase exponentielle de croissance dans du milieu M72 supplémenté de pyruvate 10 mM et d'extrait de levure 0,05 g/l. Les cultures sont ensuite diluées dans du M72 pour obtenir une DO de 0,05 avant l'ajout des différents substrats à tester : méthanol (1, 10, 50, 100, 500 mM; 1 M, 5 M et 10 M), formate 10 mM, formaldéhyde 1 mM, méthylamine 10 mM, éthanol 50 mM, pyruvate et citrate 5 mM, succinate, glutamate, arabinose, glucose, fructose, galactose, saccharose et lactose 10 mM.

La croissance bactérienne a été mesurée par lecture de la densité optique à 620 nm.

Le dosage du méthanol dans le surnageant des cultures a été réalisé par adaptation de méthode de dosage du méthanol, décrite par Wood et Siddiqui (1971).

La principale modification étant le remplacement du KMnO<sub>4</sub> par l'alcool oxydase. Le principe de la méthode est basé sur le dosage du formaldéhyde issu de l'oxydation du méthanol par l'acétyle acétone. Cette réaction donne un réactif jaune qui a une absorbance maximale à 412 nm. La réalisation d'une gamme étalon en utilisant différentes concentrations de méthanol permet de déterminer la concentration de méthanol dans le surnageant des cultures.

# Chapitre 1

DIVERSITE DES BRADYRHIZOBIUMS ASSOCIES AUX PETITES

LEGUMINEUSES SPONTANEES DU SENEGAL

#### I - INTRODUCTION

La classification des bactéries symbiotiques des légumineuses, initialement basée sur les propriétés symbiotiques est en constante évolution. Depuis 1988, quatre nouveaux genres, Azorhizobium (Dreyfus et al., 1988), Sinorhizobium (Chen et al., 1988; de Lajudie et al., 1994), Mesorhizobium (Jarvis et al., 1997) et Allorhizobium (de Lajudie et al., 1998b) ont été proposés. Le nombre d'espèces de Rhizobium, Mesorhizobium et de Sinorhizobium ne cesse d'augmenter au fil des années et en fonction des nouveaux isolements de souches.

Au sein du genre Bradyrhizobium par contre seules deux espèces, Bradyrhizobium elkanii (Kuykendall et al., 1992) et Bradyrhizobium liaoningense (Xu et al., 1995) ont été ajoutées à Bradyrhizobium japonicum (Jordan, 1984). Cependant la caractérisation phénotypique et génotypique des souches à croissance lente d'Acacia albida (Dupuy et al., 1994), d'Aeschynomene (So et al., 1994; Molouba et al., 1999), d'Arachis hypogea (Van Rossum et al., 1995; Urtz et Elkan, 1996), de Centrosema et Desmodium (Gao et al., 1994) et de lupinus (Bottomley et al., 1994) suggère l'existence de nouveaux groupes taxonomiques qui pourraient constituer de nouvelles espèces de Bradyrhizobium.

Dans un travail préliminaire, nous avions isolé de nombreuses souches à croissance lente à partir des nodules récoltés sur le terrain sur les racines des petites légumineuses de jachère. Nous avons donc tout d'abord entrepris de caractériser ces souches à croissance lente afin de préciser leur position taxonomique à l'intérieur du genre *Bradyrhizobium*.

Ainsi dans ce premier chapitre, nous décrivons l'isolement et la caractérisation par SDS-PAGE et RFLP de l'ADNr 165 d'une collection de 71 nouveaux isolats à croissance lente provenant de 27 espèces de petites

légumineuses spontanées du Sénégal. Ces espèces appartiennent à 13 genres rencontrés dans 19 localités différentes. Nous avons ajouté à cette étude des souches de référence des espèces de Bradyrhizobium connues, B. japonicum, B. elkanii et B. liaoningense. D'autres souches de référence représentant différents groupes de Bradyrhizobium sp. obtenus dans d'autres études par les deux techniques que nous avons choisies ont également été incluses dans ce travail. Parallèlement à cette caractérisation, nous avons également étudié les propriétés symbiotiques (spectre d'hôtes et fixation d'azote) d'une trentaine de souches sur cinq espèces de petites légumineuses pour lesquelles nous disposions également d'une collection suffisante de graines.

La technique SDS-PAGE est une méthode reconnue fiable pour le criblage d'un grand nombre de souches pour déterminer les souches les plus proches génétiquement (Kersters et De Ley, 1975). Elle fournit des informations discriminatives au niveau spécifique et infra spécifiques, mais nécessite cependant une standardisation du protocole d'extraction pour obtenir des profils reproductibles stockés en banque de données. De nombreuses études ont montré la corrélation entre la grande similarité des profils protéiques et les résultats des hybridations ADN/ADN dans différents genres bactériens (Kersters et De Ley, 1975; Izard et al. 1981; Ferragut et al., 1983; Kerters, 1985). Ainsi, les espèces Sinorhizobium saheli et Sinorhizobium terangae (de Lajudie et al., 1994), Sinorhizobium kostiense et Sinorhizobium arboris (Nick et al., 1999) ainsi qu'Allorhizobium undicola (de Lajudie et al., 1998b) ont tous d'abord été reconnues par SDS-PAGE puis confirmées par la taxonomie polyphasique.

Cependant, s'agissant du genre Bradyrhizobium, les travaux sur les Bradyrhizobium d'Acacia albida (Dupuy et al., 1994) et ceux sur les Bradyrhizobium d'Aeschynomene (Ladha et So, 1994; Molouba et al., 1999) ont

montré que les groupes SDS-PAGE ne reflétaient pas toujours le statut taxonomique des souches. Selon ces résultats, la technique SDS-PAGE ne donne pas toujours des résultats discriminants au niveau du genre, mais reste très utile pour regrouper les souches en clusters ayant le statut potentiel d'espèce. Dans le cas de l'étude des protéines totales de souches à croissance lente (Bradyrhizobium), une attention particulière doit être prise dans l'interprétation des clusters obtenus.

Pour ces raisons, nous avons choisi d'associer à cette méthode, une deuxième technique de groupage basée sur l'ARNr 165, qui donne des informations fiables sur les relations phylogénétiques entre les organismes. L'ARNr 165 est actuellement le marqueur moléculaire le plus utilisé, car son séquençage peut être utilisé pour classer des isolats au niveau de l'espèce et à un niveau supérieur (Graham et al., 1991). Le séquençage du gène de l'ARNr 165 reste cependant une technique lourde pour l'identification en routine d'un très grand nombre de souches. Les variations dans l'ARNr 165 peuvent être estimées par l'analyse des profils de restriction (RFLP) de séquences d'ADNr 165 amplifiées par PCR (Laguerre et al., 1994). La PCR-RFLP sur l'ADNr 165 appelée aussi (Amplified Ribosomal DNA-restriction Analysis) est une méthode rapide d'identification des souches (Vaneechoute et al., 1992; Laguerre et al., 1994). Les résultats ARDRA sont concordants avec la classification taxonomique basée sur l'homologie ADN/ADN ou sur l'analyse des séquences de l'ARNr 165 (Laguerre et al., 1994).

#### II - RESULTATS ET DISCUSSION

L'analyse numérique des profils ARDRA montre que l'ensemble des souches forme 7 clusters dont 5 contiennent de nouveaux isolats ceci en considérant un coefficient de similarité de 87%. Parmi eux, quatre clusters correspondent aux clusters A, B, C et D précédemment décrits par Molouba et al., (1999). Les clusters A et D restent inchangés et ne renferment aucun nouvel isolat contrairement aux clusters B et C. Le cluster C renferme 14 nouveaux isolats en plus des 13 isolats du groupe C décrit par Molouba et al., (1999), ainsi que les souches de référence de Bradyrhizobium elkanii (LMG 6134<sup>T</sup> et 6135) et deux souches de référence de Bradyrhizobium sp. (LMG 9959 et ORS 133). 24 nouveaux isolats et 10 souches représentant le cluster B décrit par Molouba et al., (1999), constituent le groupe B. Ce cluster renferme également des souches de référence de *Bradyrhizobium japonicum* (LMG 6138<sup>T</sup> et LMG 6136) du groupe d'hybridation I décrit par Hollis et al., (1981), ainsi que des souches de référence de Bradyrhizobium liaoningense. Le cluster G contient uniquement des isolats d' Indigofera senegalensis issus de différentes localités, alors que le cluster F est constitué de 6 isolats de différentes plantes. En fin, le cluster E est formé par 5 nouveaux isolats accompagnés de la souche Bradyrhizobium USDA 110 représentant du groupe d'hybridation Ia (Hollis et al., 1981).

Contrairement à l'étude ARDRA, la répartition des isolats en clusters par la technique d'analyse des profils protéiques SDS-PAGE est moins évidente. Pour un coefficient de similarité de 87%, les nouveaux isolats et les souches de référence de Bradyrhizobium se répartissent en 19 clusters. L'analyse basée sur les groupes ARDRA montre que les nouveaux isolats se retrouvent dans tous les clusters SDS-PAGE à l'exception des clusters 9, 12 et 18. Les souches qui constituent le cluster C se répartissent dans les groupes SDS-PAGE 2, 11, 13, 16 et 19, alors que les 7 souches du cluster G forment les groupes SDS-PAGE 10 et

17. Les groupes SDS-PAGE 5, 6, 7, 12 et 14 sont constitués par des souches du cluster B. On remarque par ailleurs qu'un certain nombre de groupes SDS-PAGE sont constitués par des souches appartenant à des clusters ARDRA différents. Ainsi les groupes 1 et 3 sont constitués de souches des clusters B, E et F tandis que les groupes 4 et 8 sont constitués respectivement par des souches des clusters B, E et B, C. Le groupe 15 étant constitué par des souches des clusters B, C et F.

L'analyse des profils SDS-PAGE n'a pas donné une répartition cohérente en relation avec le statut taxonomique. Par contre la technique ARDRA reconnue pour refléter les relations phylogénétiques entre espèces et pour classer les souches en espèces (Laguerre et al., 1994) donne des résultats concordants avec les études phylogénétiques précédents sur les Bradyrhizobium. Ainsi parmi les 7 clusters ARDRA constitués par les nouveaux isolats, 4 correspondent aux principaux groupes définis par Molouba et al., (1999). Il s'agit du cluster A pour les Bradyrhizobium photosynthétiques d'Aeschynomene, le cluster B qui contient la souche type de Bradyrhizobium japonicum, le cluster C pour le groupe Bradyrhizobium elkanii et le cluster D pour les Bradyrhizobium sp. non photosynthétiques d'Aeschynomene.

Parmi les 3 nouveaux clusters, le cluster G est proche du cluster C (Bradyrhizobium elkanii) alors que les clusters E et F font partie de la branche Bradyrhizobium japonicum.

Il n'y a pas de corrélation entre ARDRA et SDS-PAGE, puis que les clusters ARDRA sont constitués par des isolats appartenant à différents groupes SDS-PAGE et vice-versa. Ces résultats sont contraires à ceux généralement obtenus précédemment (de Lajudie et al., 1994, 1998a, 1998b) pour des souches à croissance rapide ou intermédiaire (Sinorhizobium, Mesorhizobium et Allorhizobium) et montrent que le criblage par SDS-PAGE

chez les souches de *Bradyrhizobium* n'est pas très fiable. En effet, contrairement à l'ARDRA, la technique SDS-PAGE est dépendante des conditions extérieures de culture. Ainsi à cause probablement du long temps d'incubation des souches, les profils protéiques ne sont pas distincts, rendant alors l'analyse numérique non précise (Dupuy *et al.*, 1994). Il est donc nécessaire dans le cas de *Bradyrhizobium* de mettre au point une technique basée sur des critères génétiques pour déterminer les relations entre les différents clusters définis par ARDRA.

Aucune des deux techniques ne permet de faire une relation entre l'origine des souches (Plante d'isolement et site de prélèvement) et les différents clusters à l'exception du cluster G dont toutes les souches sont isolées de la même plante *Indigofera senegalensis*.

Du point de vue symbiotique, les tests de nodulation avec 34 souches ont permis de distinguer deux groupes. Un premier groupe de 20 souches capables de former des nodules sur les 5 espèces de plantes testées et qui fixent l'azote plus ou moins efficacement suivant les espèces de légumineuses. Un deuxième groupe est constitué de 14 souches dont le spectre d'hôtes est variable selon la souche considérée.

#### III - CONCLUSIONS

L'utilisation combinée des deux techniques SDS-PAGE et ARDRA pour la caractérisation de notre collection a mis en évidence une grande diversité des souches à croissance lente associées aux petites légumineuses rencontrées dans les jachères au Sénégal. Elles constituent plusieurs sous groupes phylogénétiques au sein du genre Bradyrhizobium alors que les tests de nodulation montrent un certain degré de spécificité des souches. Il paraît cependant évident que chez Bradyrhizobium, les groupes de souches définis sur la base des profils

protéiques doivent être considérés avec précaution car ils ne reflètent pas toujours le statut taxonomique des souches. La mise au point d'une méthode fine et discriminative basée sur des critères génétiques permettrait l'étude des relations entre les souches ou groupes de souches à l'intérieur des clusters définis sur la base de l'ARNr (ARDRA). Ainsi dans le cadre de son travail de thèse, Doignon-Bourcier a poursuivi cette étude et développant des méthodes génotypiques de groupage. Il s'agit de deux techniques génotypiques L'AFLP et l'IGS-RFLP (Doignon-Bourcier et al., 2000). Ces deux méthodes qui ont confirmé la grande diversité des Bradyrhizobium de petites légumineuses se sont avérées de bonnes méthodes de caractérisation et de groupement préliminaire des souches de Bradyrhizobium. Elles donnent des résultats concordants entre elles mais aussi avec la méthode ARDRA et l'hybridation ADN/ADN (Willems et al., 2001 in press).

System, Appl. Microbiol. 22, 647-661 (1999) © Urban & Fischer Verlag http://www.urbanfischer.de/journals/sam

# SYSTEMATIC AND *A*PPLIED MICROBIOLOGY

# Diversity of Bradyrhizobia from 27 Tropical Leguminosae Species **Native of Senegal**

FLORENCE DOIGNON-BOURCIER<sup>1,2</sup>, ABDOULAYE SY<sup>1,3</sup>, ANNE WILLEMS<sup>2</sup>, URBAIN TORCK<sup>2</sup>, BERNARD DREYFUS<sup>3</sup>, MONIQUE GILLIS<sup>2</sup>, and PHILIPPE DE LAJUDIE<sup>1,2,3</sup>

<sup>1</sup>Laboratoire de Microbiologie des Sols, I.R.D., Dakar, Senegal, West Africa

<sup>2</sup>Laboratorium voor Microbiologie, Universiteit Ghent, Belgium

Received September 7, 1999

#### Summary

We isolated 71 slow-growing bacterial strains from nodules of 27 native leguminous plants species in Senegal (West-Africa) belonging to the genera Abrus, Alysicarpus, Bryaspis, Chamaecrista, Cassia, Crotalaria, Desmodium, Eriosema, Indigofera, Moghania, Rhynchosia, Sesbania, Tephrosia, and Zornia playing an ecological role and having agronomic potential in arid regions. The isolates were characterised by restriction fragment length polymorphism (RFLP) analysis of PCR-amplified 16S rDNA and comparative SDS-PAGE of whole-cell proteins; reference strains of the different known rhizobial species and groups were included as references. We conclude that these nodule isolates are diverse, and form several phylogenetic subgroups inside Bradyrhizobium. Nodulation tests performed on 5 plant species demonstrated host specificity among the strains studied.

Key words: Bradyrhizobium - Tropical legumes - SDS-PAGE - 16S-ARDRA

#### Introduction

Rhizobia, a general term referring to nitrogen-fixing bacteria capable of living in symbiosis with legume plants, are taxonomically very diverse; they have been studied intensively the last years and their classification has changed and several new species and genera have been created (YOUNG and HAUKKA, 1996; JARVIS et al., 1997; AMARGER et al., 1997; CHEN et al., 1997; VAN BERKUM et al., 1998; DE LAJUDIE et al., 1998a,b; WANG et al., 1998; 1999).

Among the 19000 described legume species in the world, only a small proportion has been studied for isolation of symbiotic bacteria and until recently, most studies concerned cultivated plants. During the last ten years, several authors reported isolation of rhizobia from previously uninvestigated wild legumes in different parts of the world, namely in Brazil (MOREIRA et al., 1993), Canada (PREVOST et al., 1987) Russia (NOVIKOVA et al., 1994; VAN BERKUM et al., 1998), China (CHEN et al., 1991; 1995; 1997; GAO et al., 1994; WANG et al., 1999), Sudan (ZHANG et al., 1991, NICK et al., 1999, HAUKKA et al., 1996), Senegal (DREYFUS et al., 1988; LORQUIN et al., 1993, DUPUY et al., 1994, DE LAJUDIE et al, 1994; 1998a,b; 1999; MOLOUBA et al., 1999), South Africa

(DAGUTAT and STEYN, 1994), Canary Islands (VINUESA et al., 1998) and several new rhizobial groups were described.

In Senegal, legume plants have ecological, agronomic and economical importance: they constitute 16% of the total plant species and 11% of the genera of the total vegetation (DIEDHIOU, 1994). A number of them are indigenous, annual or perennial, herbaceous or shrub legumes, well adapted to local arid climatic conditions and mineral- (especially nitrogen-) deficient soils; 85% of the legume plants in the arid and semi-arid regions are spontaneous plants potentially important for programs of soil fertility regeneration, sustainable agriculture, forestry and forage. As a result of prospecting in different arid regions of Senegal we found a number of nodulated legume species, belonging to 14 genera, that could be of importance for soil sustainability.

We report here the isolation and the characterization of 71 slow-growing bacterial nodule isolates from 27 plant species sampled in different places in Senegal: several species of the genera Abrus, Alysicarpus, Bryaspis, Chamaecrista, Cassia, Crotalaria, Desmodium, Eriosema, Indigofera, Moghania, Rhynchosia, Sesbania,

<sup>&</sup>lt;sup>3</sup>Laboratoire des Symbioses Tropicales et Méditerranéennes, I.R.D./INRA/AGRO-M/CIRAD, Montpellier Cedex, France

648 F. DOIGNON-BOURCIER et al.

Tephrosia, Zornia. We performed Restriction Fragment Length Polymorphism (RFLP) analysis of the PCR-amplified 16S rRNA gene (ARDRA), comparative Sodium Dodecyl Sulphate - Polyacrylamide gel electrophoresis (SDS-PAGE) analysis of whole cell protein patterns and nodulation tests. Reference strains representing the different rhizobial species and groups were included for comparison.

#### Materials and Methods

Bacterial strains and isolation procedures: The strains studied are listed in Table 1.

Rhizobial strains were isolated either from naturally occurring root nodules collected in natura or from nodules obtained after cultivation of plants (either in vitro or in pots containing sterilised soil) inoculated with either crushed nodules or soil sample suspensions. Nodules collected in natura were either directly used for rhizobial isolation or stored dried in tubes containing CaCl, (DATE, 1982). Upon utilisation, nodules were rehydrated in sterile water and surface sterilised by immersion in HgCl, (0.1%) for 5 min. From this stage the nodules were manipulated aseptically. The nodules were rinsed 8 times in sterile water. Big nodules were aseptically cut and samples were directly picked out from the centre of the nodule and streaked onto Yeast extract Mannitol medium agar (YMA) plates (VINCENT, 1970). Smaller nodules were crushed in a drop of sterile water and the suspension was streaked on YMA. Colonies appeared after several days of incubation at 30 °C in aerobic conditions. They were checked for purity by repeated streaking on YMA and by microscopic examination of living cells. Isolates were checked for nodulation on their original host plants, and stored at -80 °C in YM adjusted to 20% (v/v) glycerol.

In other cases, nodules were obtained in vitro by cultivating plants in the presence of either crushed nodules sampled in natura or soil suspensions when no nodules could be found in natura. Soil samples were collected at 5-20 cm depth in the vicinity of spontaneous legumes in various regions. They were stored in plastic bags at 4 °C and used as soon as possible to minimise possible changes of their internal bacterial population (BROCKWELL, 1982). Four seedlings of the plant species present at the sampling site, grown aseptically for 3-5 days in Jensen slant agar tubes (GIBSON, 1963) were inoculated with one ml of a 60 min-magnetic-stirred soil suspension in 0.8% NaCl (10% w/v). Two to three week-old nodules were collected, washed, surface sterilised and treated as above for rhizobium isolation. ORS 515 was isolated from a nodule formed on Indigofera senegalensis inoculated with crushed nodules harvested on Desmodium setigenum in natura (no seed of D. setigenum was available).

Growth and culture conditions: All Rhizobium and Bradyrhizobium strains were maintained on YMA medium (VINCENT, 1970) containing (g/l): mannitol, 10; sodium glutamate, 0.5; K<sub>2</sub>HPO<sub>4</sub>, 0.5; MgSO<sub>4</sub> · 7H<sub>2</sub>O, 0.2; NaCl, 0.05; CaCl<sub>2</sub>, 0.04; FeCl<sub>3</sub>, 0.004; yeast extract (Difco), 1; pH 6.8; agar, 20. Azorhizobium strains were maintained on YEB medium containing (in g/l of 0.01 M phosphate buffer, pH 7.2): peptone (Oxoid), 5; yeast extract (Oxoid), 1; beef extract (Oxoid), 5; sucrose, 5 and MgSO<sub>4</sub> · 7H<sub>2</sub>O, 0.592. All strains were stored at -80 °C on the same medium adjusted to 20% (vol/vol) glycerol; some strains were kept also in lyophilised form.

Plant cultivation and nodulation tests: The seeds were scarified and surface-sterilised with concentrated sulphuric acid. The minutes of treatment with H-SO<sub>4</sub> for the different plant species were as follows: Indigofera astragalina and Indigofera sene-

galensis, 15; Indigofera tinctoria, 20; Rhynchosia minima, 40; Tephrosia purpurea, 60. After treatment, the seeds were washed with water until all traces of acid were removed. The seeds were incubated to germinate in sterile Petri dishes on 1% water agar for 24 to 48 hours and then transferred to tubes containing Jensen seedling slant agar (VINCENT, 1970) for root nodulation trials (4-6 plants were routinely tested with each strain). Plants were grown under continuous light (20W/m²) at 28°C. Plants were observed for nodule formation during 6 to 8 weeks.

Nitrogen fixation activity: Nitrogen-fixing potential was estimated by visual observation of plant vigour and foliage colour of ca. 30 day old plants, and by measurement of Acetylene re-

ducing activity according to HARDY et al. (1973).

Polyacrylamide gel electrophoresis of total bacterial proteins: All strains were grown at 28 °C for 48 h (fast-growing rhizobia) or 72 h (slow-growing rhizobia) in Roux flasks on TY medium containing (g/l): tryptone (Oxoid), 5; yeast extract (Oxoid), 0.75; KH<sub>2</sub>PO<sub>4</sub>, 0.454; Na<sub>2</sub>HPO<sub>4</sub> · 12H<sub>2</sub>O, 2.388; CaCl<sub>2</sub>, 1; agar (Lab M), 20; pH 6.8–7. Whole-cell protein extracts were prepared from 80 mg cells and SDS-PAGE was performed using small modifications of the procedure of LAEMMLI (1970), as described previously (DE LAJUDIE et al., 1994). The normalised densitometric traces of the protein electrophoretic patterns were grouped by numerical analysis, using the Gel-Compar 4.2 software package (VAUTERIN & VAUTERIN, 1992). The similarity between all pairs of traces was expressed by the Pearson product moment correlation coefficient (r) converted for convenience to a percent value (POT et al., 1989; 1994).

16S ARDRA: Strains were grown at 28 °C for 5 days on YMA. Total DNA was purified by a slightly modified technique from PITCHER et al. (1989). Cells were suspended in RS buffer (0.15 M NaCl, 0.01 M EDTA, pH 8.0). The deproteinisation step was performed with chloroform:iso-amyl alcohol (24:1). After precipitation, purified DNA was washed three times in ethanol, dried, dissolved overnight at 4 °C in TE buffer, and treated (60 min, 37 °C) with RNAse (50 µg/ml final concentration). The control of the DNA quality and the calculation of DNA concentration were performed as described by HEYN-DRICKX et al. (1996). The oligonucleotides used as primers for PCR amplification of the 16S rRNA genes were purchased from Pharmacia Biotech (Amersham Pharmacia Biotech Benelux, Roosendaal, The Netherlands). The sequences of the forward and reverse primers were 5'-AG AGT TTG ATC ATG GCT CAG-3' and 5'-TAC CTT GTT ACG ACT TCA CCC CA-3' respectively (HEYNDRICKX et al., 1996). PCR amplification was carried out in a 50 µl reaction volume containing template DNA (5 µl, 250 ng), reaction buffer (Eurogentec Bel SA, Seraing, Belgium), 10 mM of each dNTP (Pharmacia Biotech), 20 µM of each of the primers and 1 unit of Taq polymerase (Eurogentec Bel SA). A negative control containing 5 µl of Milli-Q water instead of DNA was included in every PCR run. Amplifications were carried our in a Gene Amp PCR System 9600 (Perkin Elmer, Nieuwerkerk a/d Ijssel, The Netherlands) using the following program: initial denaturation for 7 min at 95 °C, 50 cycles of denaturation (45 sec at 95 °C), annealing (30 sec at 57 °C) and extension (2 min at 72 °C), and a final extension (10 min at 72 °C). PCR amplified DNAs were visualised by Hoefer HE 33 Mini Submarine electrophoresis (Amersham Pharmacia Biotech) at 70 V during 30 minutes of 5 µl of the amplified mixture on 2% w/v Biozym DNA Agarose (Biozym, Landgraaf, The Netherlands) in TAE buffer (40 mM Tris-Acetate, 2 mM EDTA, 20 mM Acetic Acid, pH 8,0) containing 0.5 mg/ml of ethidium bromide.

Aliquots of 10 µl of PCR products were digested with restriction endonucleases during 2 hours in a 20 µl final volume as specified by the manufacturer but with an excess of enzyme (5 units per reaction). Five restriction enzymes were selected on

649

the basis of simulated digests of the 16S rDNA sequences as described by HEYNDRICKX et al. (1996): Hinf I (New England Biolabs Inc., Leusden, The Netherlands), Dde I (Pharmacia Biotech Benelux), Mivo I (Biolabs), Alu I (Boehringer Mannheim Biochemica, Bruxelles, Belgium), Hha I (New England Biolabs Inc.). Restricted DNA was analysed by horizontal agarose gel electrophoresis as described by HEYNDRICKX et al. (1996) except that we used LSI MP agarose (Life Sciences International, Zellik, Belgium) and a DNA Sub Cell unit (15 × 10 cm tray, 20 wells, Biorad). The scanned gel images were digitised and stored in a computer as described by HEYNDRICKX et al. (1996). Clustering was obtained from the combined profiles using the Gel-Compar 4.2 software package (VAUTERIN & VAUTERIN, 1992). Dice coefficient (Tol 0.3%, Opt 0.50%, Min. area 0.0%) and UPGMA clustering were used.

#### Results

# Collection of nodule bacterial isolates from spontaneous legumes

We performed large prospectios in arid and semi-arid regions of Senegal and focused on 34 spontaneous nodulated legume plant species (annual or perennial), most likely to be important for the protection of the environment, for soil fertility (in fallow lands) or as forage. Among these, we did bacterial isolations from nodules collected on 27 plant species of 13 genera (Table 1) from 19 different places in Senegal. The majority of the isolates were slow-growing bacteria, but a few fast-growing ones were also obtained from Rhynchosia minima, Tephrosia villosa, Tephrosia bracteolata, Indigofera senegalensis, Indigofera hirsuta, Indigofera astragalina, Indigofera tinctoria, Alysicarpus ovalifolius. A total of 87 bacterial nodule isolates were obtained, among which 71 slowgrowing ones were chosen for further studies. Ten strains were obtained by direct isolation from naturally occurring nodules; 61 isolates were obtained from nodules formed on plants in laboratory conditions by using crushed nodules or soil samples. Nodules and soils originated from 21 different places in Senegal. 24 nodule isolates originate from the North region (isohyets 250-500 mm), 17 from the Central region (isohyets 500-900 mm) and 28 from the South region (isohyets 900-1200 mm).

Tephrosia purpurea and Rynchosia minima were only found in the North region. In South Senegal we found several species of Desmodium and Crotalaria, Abrus stictosperma, Eriosema glomeratum, Indigofera microcarpa, Alysicarpus glumaceus, Alysicarpus rugosus, Zornia glochidiata, Cassia absus, Tephrosia bracteolata and Indigofera stenophylla. Indigofera tinctoria, Indigofera astragalina, Indigofera senegalensis and Sesbania rostrata were found in both the North and Central regions, Indigofera hirsuta, Alysicarpus ovalifolius and Tephrosia villosa in both the Central and the South regions.

#### 16S ARDRA

We studied 59 new isolates, including Bradyrhizobium japonicum, Bradyrhizobium elkanii and Bradyrhizobium sp. reference strains representative for ARDRA groups A, B, C and D of our previous report (MOLOUBA et al., 1999). In addition, we included 6 more strains of B. japonicum, 2 strains of B. liaoningense and several partially characterized Bradyrhizobium sp. strains (Dupuy et al., 1994; Moreira et al, 1993; 1998; La-GUERRE et al., 1994). 16S ribosomal DNA was PCR-amplified and all strains produced a single band of the expected size of approximately 1500 bp. Amplified DNA was hydrolysed with five endonucleases, and the combined agarose gel electrophoretic patterns were compared numerically using GelCompar version 4.2. The results are shown as a dendrogram in Fig. 1. The results for strain LMG 6134<sup>T</sup> (included twice) illustrate the reproducibility of the method. At a mean Dice similarity coefficient  $(S_D)$  of 87%, seven main clusters (A to G) could be distinguished, and strains LMG 4265, ORS 30, ORS 1819 occupied separate positions. As four of the clusters corresponded to the previously identified clusters A, B, C and D by MOLOUBA et al. (1999), we named them accordingly.

Cluster C (internal grouping at a  $S_D$  of 88%) included 14 new isolates from diverse plants and regions and the 13 strains of the original cluster C of MOLOUBA et al. (1999), including the reference strains of B. elkanii (LMG 6134<sup>T</sup> and LMG 6135). This cluster included also Bradyrhizobium sp. strains LMG 9959 and ORS 133. The strain LMG 4262, so far classified as B. japonicum, also grouped in cluster C.

Cluster G (internal grouping at a  $S_D$  of 92%) consisted of 8 new isolates from *Indigofera senegalensis* sampled in different places in North Senegal.

In addition to the 10 strains representing ARDRA cluster B of MOLOUBA et al. (1999), the present cluster B (internal grouping at a  $S_D$  of 85%) included 24 new isolates, the majority of B. japonicum reference strains, among which LMG 6138<sup>T</sup> and LMG 6136 belong to DNA-DNA hybridisation group I (HOLLIS et al., 1981) and both strains of B. liaoningense included in this study.

Cluster E (internal grouping at a  $S_D$  of 82%) consisted of five new isolates and B. japonicum strain USDA 110, representative for the DNA hybridisation group Ia (HOLLIS et al., 1981).

Cluster F (internal grouping at a  $S_D$  of 85%) consisted of 6 new isolates from diverse plant species originating from Central and South Senegal.

Clusters A and D were unchanged compared to our previous report (MOLOUBA et al., 1999), and no new isolates grouped in them.

# SDS-Polyacrylamide gel electrophoresis of total bacterial proteins

The SDS-PAGE whole-cell protein patterns of 64 new rhizobial isolates from Senegal were scanned and analysed numerically together with those of 33 reference strains representing different fast- and slow-growing rhizobial species and 28 other partially characterised strains (MOREIRA et al., 1993; 1998; DUPUY et al., 1994; MOLOUBA et al., 1999), several of which had also been

ORS 1810	LMG 15242	Crotalaria lathyroïdes	TIVN	Kabrousse (Casamance, SS)	This work	В	3	
ORS 1811	LMG 15243	Crotalaria goreensis	TIVN	Kabrousse (Casamance, SS)	This work	В	1	
ORS 1812	LMG 15365	Abrus stictosperma	TIVN	Fanghote (Casamance, SS)	This work	C	16	
ORS 1813	LMG 15244	Crotalaria hyssopifolia	TIVN	Kabrousse (Casamance, SS)	This work	С	2	
ORS 1814	LMG 15245	Crotalaria hyssopifolia	TIVN	Fanghote (Casamance, SS)	This work	С	2	
ORS 1815	LMG 15246	Crotalaria hyssopifolia	TIVN	Fanghote (Casamance, SS)	This work	В	3	
ORS 1816	LMG 15247	Crotalaria hyssopifolia	TIVN	Fanghote (Casamance, SS)	This work	В	4	
ORS 1817	LMG 15366	Eriosema glomeratum	TIVN	Oukout (Casamance, SS)	This work	В	7	
ORS 1818	LMG 15248	Indigofera microcarpa	TIVN	Oukout (Casamance, SS)	This work	В	8	
ORS 1819	LMG 15248	Crotalaria retusa	TIVN	Kabrousse (Casamance, SS)	This work	F	4	
	LMG 15249 LMG 15250		TIVN	,	This work	E	4	
ORS 1820		Indigofera hirsuta		Fanghote (Casamance, SS)				
ORS 1823	LMG 15367	Indigofera hirsuta	TIVN	Wouring (Niokolokoba, SS)	This work	C	2	
ORS 1824	LMG 15253	Indigofera hirsuta	TIVN	Wouring (Niokolokoba, SS)	This work	C.	2	
ORS 1826	LMG 15255	Alysicarpus glumaceus	TIVN	Fanghote (Casamance, SS)	This work	nd	2 .	
ORS 1828	LMG 15368	Alysicarpus ovalifolius	TIVN	Niokolokoba (SS)	This work	В	nd	
ORS 1831	LMG 15369	Alysicarpus rugosus	TIVN	Fanghote (Casamance, SS)	This work	В	5	
ORS 1832	LMG 15258	Bryaspis lupulina	TIVN	Kagnout (Casamance, SS)	This work	F	3	
ORS 1836	LMG 15261	Crotalaria glaucoïdes	TIVN	Kaparan (Casamance, SS)	This work	С	11	
ORS 1838	LMG 15263	Seshania rostrata	NIN	Kaolack (CS)	This work	F	3	
ORS 1844	LMG 15266	Chamaecrista sp.	TIVN	Karounate (Casamance, SS)	This work	В	5	
ORS 1847	LMG 15268	Zornia glochidiata	TIVN	Fanghote (Casamance, SS)	This work	В	.5	
ORS 1848	LMG 15373	Indigofera hirsuta	TIVN	Kaparan (Casamance, SS)	This work	С	15	
ORS 1849	LMG 15374	Indigofera hirsuta	TIVN	Fanghote (Casamance, SS)	This work	С	2	
ORS 1894	LMG 15696	Indigofera hirsuta	NIN	Kolda (Casamance, SS)	This work	į:	1.5	
ORS 1896	LMG 15697	Cassia absus	NIN	Kolda (Casamance, SS)	This work	В	1.5	
ORS 1898	LMG 15699	Tephrosia bracteolata	NIN	Kolda (Casamance, SS)	This work	F	1	
					This work	Ë	1	
ORS 1899	LMG 15700	Indigofera stenophylla	NIN NIN	Kolda (Casamance, SS)	This work	E.	.3	
ORS 1903	LMG 15702	Tephrosia villosa		Kolda (Casamance, SS)	This work	В	.3	
ORS 1905	LMG 15703	Tephrosia bracteolata	TIVN	Kolda (Casamance, SS)	Inis work	D	14	Ē
. n	1.1	- 1::->						7.2
	zobium sp. (Faidl	perbia)	T11.10	D   D   11 (00)	D 1 1004			÷
ORS 103	LMG 10665	Faidherhia albida	TIVS	Dakar Bel-Air (CS)	Duruy et al., 1994	В	nd	3-
OR\$ 110	LMG 10666	Faidherbia albida	TIVS	Louga (NS)	Duruy et al., 1994	В.	nd	120
ORS 117	LMG 10673	Faidherbia albida	TIVS	Louga (NS)	Duruy et al., 1994	nd	19	bii
ORS 121	LMG 10677	Faidherbia albida	TIVS	Louga (NS)	Duruy et al., 1994	C	nd	3
ORS 130	LMG 10686	Faidherbia albida	TIVS	Louga (NS)	Duruy et al., 1994	nd	scp	ı Tr
ORS 133	LMG 10689	Faidherbia albida	TIVS	Louga (NS)	Duruy et al., 1994	С	nd	nOn
ORS 162	LMG 10705	Faidherbia albida	TIPS	Casamance (SS)	Duruy et al., 1994	С	nd	2
ORS 163	LMG 10706	Faidherbia albida	TIPS	Oussouye (Casamance, SS)	Duruy et al., 1994	nd	5	7
ORS 166	LMG 15183	Faidherbia albida	TIPS	Oussouve (Casamance, SS)	Duruy et al., 1994	nd	11	寸
ORS 169	LMG 10712	Faidherbia albida	TIPS	Kabrousse (Casamance, SS)	DUPUY et al., 1994	В	nd	оþ
ORS 170	LMG 10713	Faidherbia albida	TIPS	Bayotte (Casamance, SS)	Duruy et al., 1994	nd	18	ica
ORS 174	LMG 10717	Faidherbia albida	TIPS	Badiana (Casamance, (SS)	Dupuy et al., 1994	C	7	
ORS 174 ORS 175		Faidherbia albida	TIPS	Djinaki (Casamance, SS)	Duruy et al., 1994	Č	nd	è
	LMG 10718	Faidherbia albida	TIPS		Dupuy et al., 1994	nd	8	3
ORS 184	LMG 10723			Keur Momar Sarr (Guiers Lake, NS)	Dupuy et al., 1994	В	nd	ã.
ORS 187	LMG 10726	Faidherbia albida	TIPS	Dagana (NS)				0,0
ORS 188	LMG 10727	Faidherbia albida	TIPS	Dagana (NS)	Dupuy et al., 1994	nd	1	Bradyrhizobium from 27 Tropical Leguminosae
								•
	zobium sp. (Aesci			D 1 1 1 1 1 1 1 1 1 1 1 1 1 1 1 1 1 1 1	1 1000		,	
<u>OR\$ 294(f)</u>		Aeschynomene sensitiva	NIN	Fanda Niaguisse(Casamance, SS)	MOLOUBA et al., 1999	A	nd	651
<u>OR\$ 296</u>	LMG 12194	Aeschynomene sensitiva	NIN	Fanda Niaguisse(Casamance, SS)	Moloubh et al., 1999	D	nd	<u> </u>

BR 6817 LMG 10010 BR 8406 LMG 10018 FIL 27 LMG 10023 FIL 276 LMG 10025 FIL 281 LMG 10026 INPA 9A LMG 10029 INPA 36B LMG 10040 INPA 46B LMG 10043 INPA 54B LMG 10044 INPA 183B LMG 10075 INPA 191A LMG 10078 INPA 495B LMG 10107 INPA 514A LMG 10112 MSDJ 718	Pithecellobium sp. Dalbergia nigra Allem. Melanoxylon sp. Abrus sp. Abrus sp. Derris sp. Inga sp. Clitoria racemosa G. Don. Inga sp. Pentaclethra macroloba (Willd.) Ktze. Dinorphandra parviflora Spruce ex Benth Inga acreanum Hatms Machaerium quinata Lupinus luteus	Espirito Santo, Brazil Rio de Janeiro, Brazil Espirito Santo, Brazil Brazil Rio de Janeiro, Brazil Brazil Brazil Amazonas, Brazil Amazonas, Brazil Amazonas, Brazil Amazonas, Brazil Amazonas, Brazil Brazil Amazonas, Brazil Brazil France	MOREIRA et al., 1993, 1998 nd 5 MOREIRA et al., 1993, 1998 nd 9 MOREIRA et al., 1993, 1998 nd 16 MOREIRA et al., 1993 nd 16 MOREIRA et al., 1993 nd 16 MOREIRA et al., 1993 B nd 16 MOREIRA et al., 1993 nd 5 MOREIRA et al., 1993 nd 5 MOREIRA et al., 1993, 1998 nd 5 MOREIRA et al., 1993, 1998 nd 6 MOREIRA et al., 1993, 1998 nd 9 MOREIRA et al., 1993, 1998 nd 11 MOREIRA et al., 1993 nd 12 MOREIRA et al., 1998 nd 11 LAGUERRE et al., 1994 B nd
<ul> <li>Mesorhizobium plurifariun</li> <li>ORS 1030 LMG 11890</li> <li>ORS 1031 LMG 11891</li> <li>ORS 1032 LMG 11892</li> </ul>	1 Acacia senegal Acacia senegal Acacia senegal	Senegal Senegal	DE LAJUDIE et al., 1998 DE LAJUDIE et al., 1998 DE LAJUDIE et al., 1998
<ul> <li>Mesorhizobium loti</li> <li>NZP 2230 LMG 6126</li> <li>NZP 2213<sup>T</sup> LMG 6125<sup>T</sup></li> </ul>	Lotus maroccanus Lotus corniculatus	Morocco New Zealand	Jarvis et al., 1986 Jarvis et al., 1986
• Mesorhizobium ciceri UPM-Ca7 <sup>T</sup> LMG 17150 <sup>T</sup> 522 LMG 17149	Cicer arietinum L. Cicer arietinum L.	Spain Russia	Nour et al., 1994 Nour et al., 1994
• Mesorhizobium huakuii IAM 14158 <sup>T</sup> LMG 14107 <sup>T</sup>	Astragalus sinicus	Nanjing,China	CHEN et al., 1991
<ul> <li>Mesorhizobium tianshanen</li> <li>A-1BS<sup>T</sup> LMG 15767<sup>T</sup></li> <li>O17A LMG 15768</li> </ul>	se Glycyrrhiza pallidiflora Sophora alopecuroides	Xinjiang,China Xinjiang,China	CHEN et al., 1995 CHEN et al., 1995
<ul> <li>Sinorhizobiwn fredii</li> <li>USDA 205<sup>T</sup> LMG 6217<sup>T</sup></li> <li>USDA 191 LMG 8317</li> </ul>	Glycine max Soil	Honan,China Shanghai,China	JARVIS et al., 1986 JARVIS et al., 1986
• Sinorhizobium meliloti NZP 4009 LMG 6130 NZP 4027 <sup>†</sup> LMG 6133 <sup>†</sup>	Medicago sativa Medicago sativa	Australia Virginia, U.S.A.	
<ul> <li>Sinorhizohium medicae</li> <li>HAMBI 1808 LMG 16579</li> <li>HAMBI 1809 LMG 16580</li> </ul>	Medicago radiata Medicago truncatulata	Syria Syria	K. Lindström K. Lindström
• Sinorhizobium terangae ORS 51 LMG 6464 ORS 1013 LMG 7844t1	Seshania rostrata Acacia senegal	Senegal Senegal	DE LAJUDIE et al., 1994 DE LAJUDIE et al., 1994

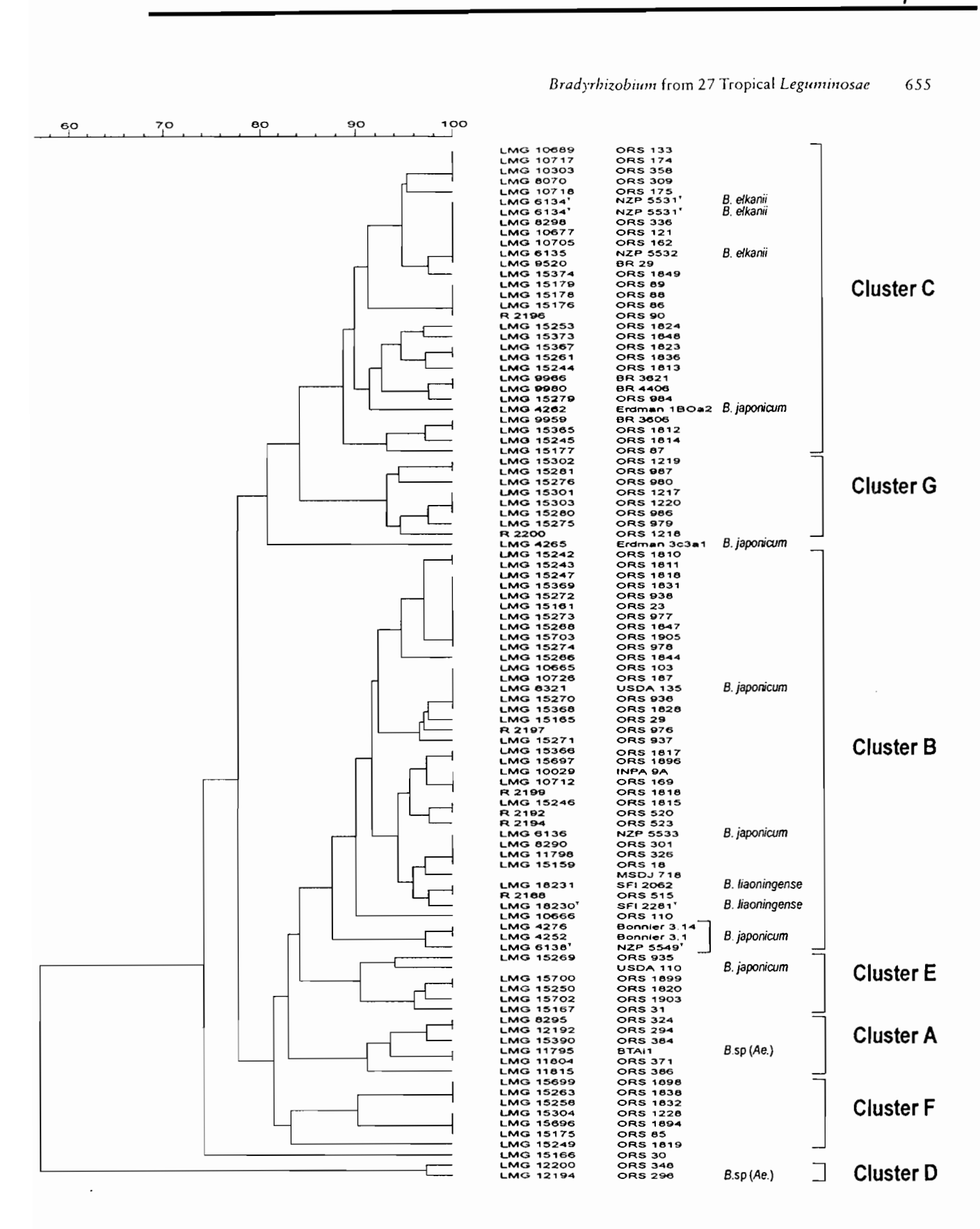


Fig. 1. Dendrogram based on the unweighted pair group method using average linkage (UPGMA) clustering of Dice correlation values ( $S_D$ ) of normalised and combined ARDRA patterns of Senegalese isolates, some representative strains from Brazil and reference strains of Bradyrhizobium obtained with the restriction enzyme combination Hinf I, Dde I, Mwo I, Alu I and Hha I. B. sp (Ae.), Bradyrhizobium sp. (Aeschynomene). The reproducibility is illustrated by the two independent extracts of strain LMG 6134<sup>T</sup>.

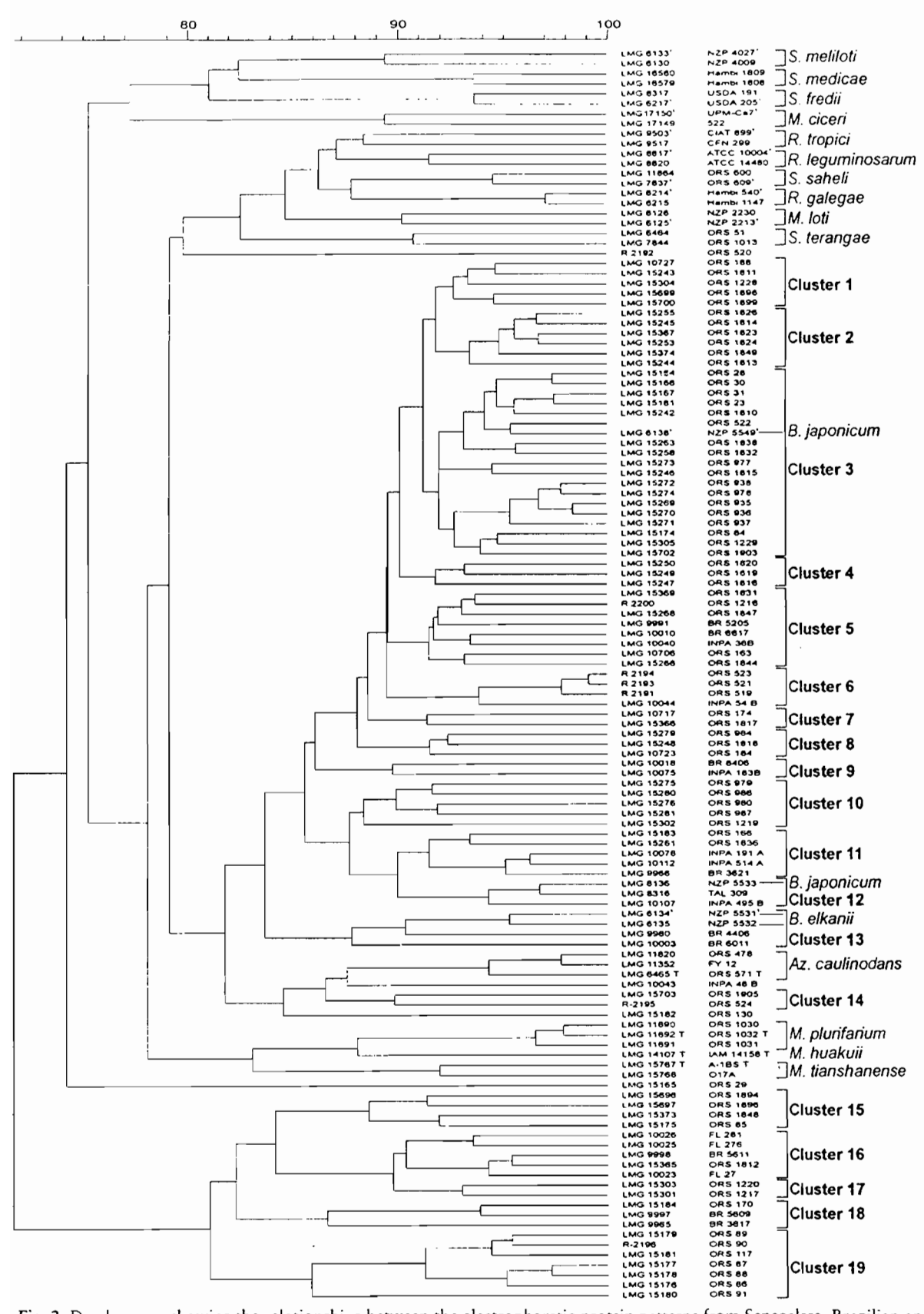


Fig. 2. Dendrogram showing the relationships between the electrophoretic protein patterns from Senegalese, Brazilian and reference strains of *Bradyrhizobium*, *Rhizobium*, *Sinorhizobium*, *Mesorhizobium* and *Azorhizobium*. The mean correlation coefficient (r) was represented as a dendrogram and calculated by the unweighted average pairs grouping method (UPGMA). Positions 15 to 320 of the 400 point traces were used for calculation of similarities between individual pair of traces. The scale represents the r value converted to percentages.

included in the ARDRA study. The results are presented as a similarity dendrogram in Fig. 2.

Delineation of groups was not evident, and we evaluated the SDS-PAGE results by referring to the ARDRA groups previously identified. At a similarity coefficient of 87% the different fast- and moderately fast- growing rhizobial species formed distinct clusters, and as expected, none of the new isolates grouped with any of them. Majority of the slow-growing strains, new isolates and *Bradyrhizobium* reference strains, formed 19 clusters. Four slow-growing strains had separate positions, namely ORS 130, INPA 46B and two new isolates (ORS 520, ORS 29). New isolates were found in all SDS-PAGE groups except in groups 9, 12 and 18.

SDS-PAGE groups 2, 11, 13, 16 and 19, were formed by strains of ARDRA cluster C; several partially characterised *Bradyrhizobium* sp. strains grouped with them: ORS 166 and ORS 117 (Dupuy et al., 1994), BR 6011, INPA 191 A, INPA 514 A, BR 5611, FL 27, FL 276 and FL 281 (MOREIRA et al., 1994; BARRERA et al., 1997).

SDS-PAGE groups 10 and 17 consisted of the 7 strains of ARDRA cluster G.

SDS PAGE groups 5, 6, 7, 12, 14 contained strains from ARDRA cluster B; Bradyrhizobium sp. strains BR 5205, BR 6817, INPA 36B, INPA 54B, INPA 495B (MOREIRA et al.,1998) and ORS 163 (DUPUY et al., 1994) also grouped with them; group 12 included B. japonicum strain LMG 6136 and Bradyrhizobium sp. strain LMG 8316. Surprisingly, strain ORS 1218 (ARDRA cluster G) and strain ORS 174 (ARDRA cluster C) also grouped with them.

Group 9 consisted of two strains having partial 16S rDNA sequence similarity with *B. japonicum* (MOREIRA et al., 1998); Group 18 consisted of three strains reported to have similarities with *B. elkanii* (DUPUY et al., 1994; MOREIRA et al., 1998).

Several SDS-PAGE groups consisted of strains from different ARDRA clusters. Groups 1 and 3 consisted of strains from clusters B, E and F; strain ORS 188 (DUPUY et al., 1994) grouped in 1, and B. japonicum type strain was in group 3, together with ORS 30, ORS 1819, two strains having separate positions in our ARDRA study. Group 4 consisted of strains from clusters B and E. Group 8 consisted of strains from clusters B and C. Group 15 consisted of strains from clusters B, C and F.

#### Host specificity

Nodulation of 34 strains was tested on 5 plant species: Indigofera astragalina, I. senegalensis, I. tinctoria, Rhynchosia minima and Tephrosia purpurea. Effectiveness of the symbiosis was estimated by Acetylene Reducing Activity (ARA) test. In addition 8 strains (ORS 515, ORS 516, ORS 518, ORS 519, ORS 520, ORS 521, ORS 523, ORS 524) were tested on I. senegalensis only and were found effective on this plant. Results are shown in Table 2, and two groups were distinguished among the new nodule isolates. Group I (20 isolates) nodulated the five host plants tested. However, Acetylene Reducing Activity (ARA) tests revealed a specificity for symbiotic nitrogen fixation: all were effective on I. astragalina and T. purpurea; only 10 strains were effective on R. minima; 13

Table 2. Nodulation tests.

Strain	Indigofera astragalina	Tephrosia purpurea	Indigofera tinctoria	Indigofera senegalensis	Rhynchosia minima
Group I					
ORS 88, ORS 89, ORS 91, ORS 977, ORS 1229	e*	e	e	e	e
ORS 87, ORS 978	e	e	e	e	I
ORS 90	e	e	e	I	e
ORS 935, ORS 936. ORS 979	e	e	I*	e	e
ORS 86	e	e	I	I	e
ORS 937, ORS 938, ORS 976	e	e	I	e	I
ORS 23, ORS 28, ORS 30, ORS 84,ORS 85	e	e	e	I	I
Group II					
ORS 26, ORS 1228	e	e	e	O*	I
ORS 18	e	e	e	I	O
ORS 29, ORS 31	e	e	e	O	O
ORS 980	e	O	e	e	O
ORS 986	e	e	O	e	O
ORS 987	e	I	e	e	O
OR\$ 1218, OR\$ 1219, OR\$ 1220	e	e	O	e	O
ORS 1217	I	e.	e	e	O
ORS 1216	I	O	O	e	O
ORS 984	O	I	O	e	O
ORS 515, ORS 516, ORS 518, ORS 519, ORS 520,					
ORS 521, ORS 523. ORS 524	nt	nt	nt	e	nt

<sup>\* 1 -</sup> ineffective nodules; e - effective nodules; O - no nodulation; nt - not tested.

F. DOIGNON-BOURCIER et al.

strains were effective on *I. tinctoria*; 13 strains were effective on *I. senegalensis*. The host range of strains of group II (14 isolates) was more or less restricted among the five plants tested. With the exception of 3 strains, all were efficient on *I. astragalina*; all, except 4 strains, were efficient on *T. purpurea*; only strains ORS 26 and ORS 1228 could induce nodules on *R. minima* (nodules were ineffective); 8 strains were effective on *I. tinctoria*; 9 strains were effective on *I. senegalensis*.

#### Discussion

658

Ouite a number of diverse nodule isolates from the tropical region have been characterised and described in literature as belonging to the large group of bradyrhizobia (Young, 1991; Moreira et al., 1993; Lorquin et al., 1993; LADHA and SO, 1994; WONG et al., 1994; DUPUY et al., 1994; VAN ROSSUM et al., 1995; VAN BERKUM et al., 1995; BARRERA et al., 1997; MOLOUBA et al., 1999). Here we describe the isolation and characterisation by 16S ARDRA, SDS-PAGE of total proteins and nodulation tests of a collection of 71 new nodule isolates from 27 small indigenous legumes found in different regions of Senegal. In addition to reference strains of the recognised Bradyrhizobium species, we included in our study representative strains for groups previously studied by SDS PAGE and/or ARDRA in our research group (MOREIRA et al., 1993; DUPUY et al., 1994; MOLOUBA et al., 1999), and for some of which either partial (MOREIRA et al., 1998) or total (DUPUY et al., 1994; BARRERA et al., 1997) 16S rDNA sequence data were reported. ARDRA and SDS-PAGE techniques were both performed in parallel. Considering SDS-PAGE results alone, grouping of strains was not evident, because the protein profiles were highly similar. Thus we first analysed the ARDRA results, which helped us to then analyse the SDS-PAGE results.

ARDRA on amplified 16S rDNA has been shown to be a powerful and convenient technique to determine the phylogenetic relationships between species and to assign strains to species (LAGUERRE et al., 1994; NICK, 1998; TEREFEWORK et al., 1998). The ARDRA results (figure 1) were consistent with previous phylogenetic reports on bradyrhizobia. We distinguished seven clusters, four of which corresponded to the four main branches described by MOLOUBA et al. (1999), cluster A (consisting of photosynthetic Bradyrhizobium sp. (Aeschynomene)), cluster B (including B. japonicum type strain), cluster C (including B. elkanii type strain), cluster D (consisting of Bradyrhizobium sp. (Aeschynomene)) and three new clusters, cluster G close to cluster C, clusters E and F on the B. japonicum branch. Thus clusters C and G can be regarded as constituting the "B. elkanii lineage" and clusters A, B, E, F as the "B. japonicum lineage". Cluster D is separate. New isolates grouped in clusters B, C, E, F, G.

Cluster B included 24 new isolates, B. japonicum strains LMG 6138<sup>T</sup>, LMG 8321, LMG 6136, LMG 4276, LMG 4252, and also both B. liaoningense strains LMG 18230<sup>T</sup> and LMG 18231. This was not surprising

since 16S rDNA sequences of *B. japonicum* and *B. liaoningense* are very similar (A. Willems, unpublished results). Two other strains received as *B. japonicum* grouped outside this cluster: LMG 4262 clustered with *B. elkanii* in cluster C, and LMG 4265 had a separate position. LMG 4262 was isolated from *Albizzia julibrissin* and was classified as *B. japonicum* before *B. elkanii* was described.

Cluster C included 14 new isolates, *B. elkanii* strains LMG 6134<sup>T</sup> and LMG 6135 together with strains ORS 133, BR 3621, BR 4406 and BR 29 having a 16S rDNA sequence close to that of *B. elkanii* (DUPUY et al., 1994; BARRERA et al. 1997).

Cluster E consisted of 5 new nodule isolates from small legumes and B. japonicum USDA 110, representative for the hybridisation group Ia (HOLLIS et al., 1981), and more recently shown to constitute a 16S rDNA subbranch distinct from the B. japonicum type strain subbranch representing DNA hybridisation group I (BARRERA et al., 1997). The two other new clusters, clusters G and F (figure 1), exclusively consisted of, respectively, 8 and 6 new nodule isolates.

Diversity of the new isolates inside the ARDRA groups was shown by analysis of total protein profiles by SDS-PAGE. This technique has been extensively used in the past to characterise different groups of rhizobia and bradyrhizobia at the species and intraspecific levels (MOREIRA et al, 1993; DUPUY et al., 1994; DE LAJUDIE et al., 1994; 1998a,b; VAN ROSSUM et al., 1995). In contrast to what we found before in several groups of bacteria studied, Rhizobiaceae (DE LAJUDIE et al., 1994; 1998a,b; 1999) and many others (for a review see VANDAMME et al., 1996), the power of SDS-PAGE of total proteins to delineate groups in the bradyrhizobia is much smaller than in the other studied bacterial groups. Possible reasons for this phenomenon can be: (i) total protein profiles with fewer bands, (ii) the intensity of the bands varies considerably from very weak to rather heavy, (iii) many fuzzy protein bands are found that possibly influence the similarity calculations, (iv) the background is quite high. Consequently the result of the numerical analysis depends on the number of profiles included and the specific quality of each of them. Quite often strains switch from one cluster to another when numerical analyses contain different selections of strains. Moreover, it is possible that the generation times of the various included bradyrhizobia do differ that much that the standardisation to 72 h of growth does not necessarily guarantee comparable start material to extract proteins for all included strains, which can result in less reliable clus-

When comparing the results of ARDRA with those of SDS-PAGE of proteins, no clear correlation could be found. Because a genomic technique such as ARDRA is less dependent on external growth conditions, it is considered to be quite reproducible, as is indeed illustrated by the fact that in this study we found basically the same groups as described by MOLOUBA et al. (1999). Although for most bacterial groups SDS-PAGE has a finer resolution than ARDRA, we could not localise the SDS-PAGE

clusters within the bigger ARDRA clusters, demonstrating that the *Bradyrhizobium* protein groups should be regarded with reservation. A fine genomic technique is definitely required to further unravel the finer relationships within the ARDRA clusters.

No clear relationship could be evidenced between origin (plant, location) and ARDRA or SDS-PAGE groupings of the isolates, except that all the strains of ARDRA cluster G were isolated from *Indigofera senegalensis* in North Senegal.

By nodulation tests on 5 different plant species, we evidenced some degree of plant specificity for nodulation and symbiotic nitrogen fixation. Interestingly, some relation could be observed between nodulation and SDS-PAGE groups. Except ORS 979 (SDS-PAGE group 10) and ORS 85 (SDS-PAGE group 15) nodulation group I consisted of strains belonging to SDS-PAGE groups 3 and 19. Except ORS 979, all strains of SDS-PAGE groups 10 and 17 (corresponding to ARDRA cluster G) belonged to nodulation group II, together with strains from other SDS-PAGE groups.

In SDS-PAGE, we included strains whose partial and sometimes full length 16S rDNA sequences were published. By full length sequencing DUPUY et al. (1994) and BARRERA et al. (1997) assigned BR 4406, BR 29 and BR 3621 to the B. elkanii branch; these results correspond with our ARDRA data because these strains belong in cluster C. However according to Moreira et al (1998) strains BR 4406 and BR 3621 have partial 16S rDNA sequences closer to those of the B. japonicum type strain. This emphasises again that the evaluation of partial sequences should be done with care. MOREIRA et al. (1998) also conclude that a combination of SDS-PAGE and partial sequencing can be used for complementary taxonomic purposes; we cannot confirm from our results that SDS-PAGE is complementary to ARDRA, another rRNAbased characterisation technique. Therefore we conclude that a genomic technique with a fine discriminatory power is required to further study the relationships within the rRNA clusters found in the bradyrhizobia.

#### Acknowledgements

This work was supported by the Commission of the European Communities (STD3 programme, contract TS2 0169 - F; BRIDGE programme, contracts BIOT-CT91-0263 and BIOT-CT91-0294), by French and Belgian Embassies through Programme d'Actions Intégrées franco-belge Tournesol 94085, by CNRS (Dynamique de la Biodiversité et Environnement) and Bureau des Ressources Génétiques (B.R.G.) . F. D.-B. was indebted to the Ministère de l'enseignement et de la recherche and to Institut de Recherche pour le Développement (I.R.D.) for a doctoral grant. A. S. was indebted to IRD for a doctoral grant. M. G. is indebted to the Fund for Scientific Research – Flanders (Belgium), for research and personnel grants. A.W. is indebted to the Fund for Scientific Research – Flanders (Belgium) for a position as postdoctoral research fellow.

#### References

AMARGER, N., MACHERET, V., LAGUERRE, G.: Rhizobium gallicum sp. nov. and Rhizobium giardinii sp. nov., from Phase-

- olus vulgaris nodules. Int. J. Syst. Bacteriol. 47, 996-1006 (1997).
- BARRERA, L. L., TRUJILLO, M. E., GOODIELLOW, M., GARCIA, F. J., HERNANDEZ-LUCAS, I., DAVILA, G., VAN BERKUM, P., MARTINEZ-ROMERO, E.: Biodiversity of Bradyrhizobia nodulating *Lupinus* spp. Int. J. Syst. Bacteriol. 47, 1086–1091 (1997).
- BROCKWELL, J.: Plant-infection counts of rhizobia in soils, pp. 41–58. In: Nitrogen fixation in legumes (J. M. VINCENT, eds.), Academic Press Publishers 1982.
- CHEN, W. X., LI, G. S., QI, Y. L., WANG, E. T., YUAN, H. L., LI, J. L.: *Rhizobium huakuii* sp. nov. isolated from the root nodules of *Astralagus sinicus*. Int. J. Syst. Bacteriol. 41, 275–280 (1991).
- CHEN, W. X., WANG, E. T., WANG, S. Y., LI, Y. B., CHEN, X. Q., LI, Y.: Characteristics of *Rhizobium tianshanense* sp. nov., a moderately and slowly growing root nodule bacterium isolated from an arid saline environment in Xinjiang, People's Republic of China. Int. J. Syst. Bacteriol. 45, 153-159 (1995).
- CHEN, W. X., TAN, Z. Y., GAO, J. L., LI, Y., WANG, E. T.: Rhizo-bium hainanense sp. nov., isolated from tropical legumes. Int. J. Syst. Bacteriol. 47, 870-873 (1997).
- DAGUTAT, H., STEYN, P. L.: Taxonomy and distribution of rhizobia indigenous to South African soils, p. 683. In: Nitrogen fixation: fundamentals and applications (I. A. TIKHONOVICH, N. A. PROVOROV, V. I. ROMANOV, W. E. NEWTON, eds.), Dordrecht, Boston, Kluwer Academic Publishers, 1994
- DATE, R. A.: Collection, isolation, characterization and conservation of *Rhizobium*, pp. 95–109. In: Nitrogen fixation in legumes (J. M. VINCENT, ed.), Academic Press Publishers 1982.
- DE LAJUDIE, P., WILLEMS, A., POT, B., DEWETTINCK, D., MAESTROJUAN, G., NEYRA, M., COLLINS, M. D., DREYFUS, B., KERSTERS, K., GILLIS, M.: Polyphasic taxonomy of rhizobia: emendation of the genus Sinorhizobium and description of Sinorhizobium meliloti comb. nov., Sinorhizobium saheli sp. nov., and Sinorhizobium teranga sp. nov. Int. J. Syst. Bacteriol. 44, 715-733 (1994).
- DE LAJUDIE, P., LAURENT-FULELE, E., WILLEMS, A., TORCK, U., COOPMAN, R., COLLINS, M. D., KERSTERS, K., DREYFUS, B. L., GILLIS, M.: Allorhizobium undicola gen. nov., sp. nov., nitrogen-fixing bacteria that efficiently nodulate Neptunia natans in Senegal. Int. J. Syst. Bacteriol. 48, 1277–1290 (1998a).
- DE LAJUDIE, P., WILLEMS, A., NICK, G., MOREIRA, F., MOLOUBA, F., HOSTE, B., TORCK, U., NEYRA, M., COLLINS, M. D., LIND-STRÖM, K., DREYFUS, B., GILLIS, M.: Characterization of tropical tree rhizobia and description of *Mesorhizobium plurifarium* sp. nov. Int. J. Syst. Bacteriol. 48, 369–382 (1998b).
- DE LAJUDIE, P., WILLEMS, A., NICK, G., MOHAMMED, S. H., TORCK, U., COOPMAN, R., FILALI-MALTOUF, A., KERSTERS, K., DREYFUS, B., LINDSTRÖM, K., GILLIS, M.: Agrobacterium bv. 1 strains isolated from nodules of tropical legumes. Syst. & Appl. Microbiol. 21, 119–132 (1999).
- DIEDHIOU, I.: Importance des légumineuses dans les systèmes écologiques arides et semi-arides du Sénégal. D.E.A Sciences de l'environnement (Master in Sciences), Université Cheikh Anta Diop- Dakar, Senegal 1994.
- DREYFUS, B., GARCIA, J. L., GILLIS, M.: Characterization of *Azorhizobium caulinodans* gen. nov., sp. nov., a stem-nodulating nitrogen-fixing bacterium isolated from *Sesbania rostrata*. Int. J. Syst. Bacteriol. 38, 89–98 (1988).
- DUPUY, N., WILLEMS, A., POT, B., DEWETTINCK, D., VANDENBRU-AENE, I., MAESTROJUAN, G., DREYFUS, B. L., KERSTERS, K., COLLINS, M. D., GILLIS, M.: Phenotypic and genotypic characterization of bradyrhizobia nodulating the leguminous tree Acacia albida. Int. J. Syst. Bacteriol. 44, 461–473 (1994).

660 F. DOIGNON-BOURCIER et al.

- GAO, J. L., SUN, J. G., LI, Y., WANG, E. T., CHEN, W. X.: Numerical taxonomy and DNA relatedness of tropical rhizobia isolated from Hainan province, China. Int. J. Syst. Bacteriol. 44, 151–158 (1994).
- GIBSON, A. H.: Physical environment and symbiotic nitrogen fixation. I. The effect of temperature on recently nodulated *Trifolium subterraneum* (L.) plants. Aust. J. Biol. Sci. 16, 28-42 (1963).
- HARDY, R. W. F., BURN, R. C., HOLSTEN, R. D.: Application of the acetylene-ethylene assay for measurement of N<sub>2</sub> fixation. Soil. Biol. Biochem. 43, 47-87 (1973).
- HAUKKA, K., LINDSTRÖM, K., YOUNG, J. P. W.: Diversity of partial 16S rRNA sequences among and within strains of African rhizobia isolated from Acacia and Prosopis. System. Appl. Microbiol. 19, 352–359 (1996).
- HEYNDRICKX, M., VAUTERIN, L., VANDAMME, P., KERSTERS, K., DE VOS, P.: Applicability of combined amplified ribosomal DNA restriction analysis (ARDRA) patterns in bacterial phylogeny and taxonomy. J. Microbiol. Method. 26, 247–259 (1996).
- HOLUS, A. B, KLOOS, W. E, ELKAN, G. H.: DNA:DNA hybridization studies of *Rhizobium japonicum* and related *Rhizobiaceae*. J. Gen. Microbiol. 123, 215-222 (1981).
- JARVIS, B. D. W., GILLIS, M., DE LEY, J.: Intra- and intergeneric similarities between the ribosomal ribonucleic acid cistrons of *Rhizobium* and *Bradyrhizobium* species and some related bacteria. Int. J. Syst. Bacteriol. 36, 129-138 (1986).
- JARVIS, B. D. W., VAN BERKUM, P., CHEN, W. X., NOUR, S. M., FERNANDEZ, M. P., CLEYET-MAREL, J.-C., GILLIS, M.: Transfer of Rhizobium loti, Rhizobium huakuii, Rhizobium ciceri, Rhizobium mediterraneum, and Rhizobium tianshanense to Mesorhizobium gen. nov. Int. J. Syst. Bacteriol. 47, 895–898 (1997).
- KUYKENDALL, L. M., SAXENA, B., DEVINE, T. E., UDELL, S. E.: Genetic diversity in *Bradyrhizobium japonicum* Jordan 1982 and a proposal for *Bradyrhizobium elkanii* sp. nov. Can. J. Microbiol. 38, 501–503 (1992).
- LADHA, J. K., So, R. B.: Numerical taxonomy of photosynthetic rhizobia nodulating *Aeschynomene* species. Int. J. Syst. Bacteriol. 44, 62–73 (1994).
- LAEMMLI, U. K.: Cleavage of structural proteins during assembly of the head of bacteriophage T4. Nature (London). 227, 680-685 (1970).
- LAGUERRE, G., ALLARD, M. R., REVOY, F., AMARGER, N.: Rapid identification of rhizobia by Restriction Fragment Length Polymorphism analysis of PCR-Amplified 16S rRNA genes. Appl. Environ. Microbiol. 60, 56–63 (1994).
- LINDSTRÖM, K.: Rhizobium galegae, a new species of legume root nodule bacteria. Int. J. Syst. Bacteriol. 39, 365-367 (1989).
- LORQUIN, J., MOLOUBA, F., DUPUY, N., N'DIAYE, S., ALAZARD, D., GILLIS, M., DREYFUS, B.L.: Diversity of photosynthetic *Bradyrhizobium* strains from stem nodules of *Aeschynomene* species, pp. 683–689. In: New Horizons in Nitrogen Fixation (R. Palacios J. Mora, W. E. Newton, eds.), Dordrecht, Boston, Kluwer Academic Publishers 1993.
- MARTINEZ-ROMERO, E., SEGOVIA, L., MERCANTE, F. M., FRANCO, A. A., GRAHAM, P., PARDO, M. A.: Rhizobium tropici, a novel species nodulating *Phaseolus vulgaris* L. beans and *Leucaena* sp. trees. Int. J. Syst. Bacteriol. 41, 417–426 (1991).
- MOLOUBA, F., LORQUIN, J., WILLEMS, A., HOSTE, B., GIRAUD, E., DREYFUS, B., GILLIS, M., DE LAJUDIE, P., MASSON-BOIVIN, C.: Photosynthetic Bradyrhizobia from *Aeschynomene* are specific to stem nodulated species and form a separate 16S rDNA RFLP group. Appl. Environ. Microbiol. 65, 3084–3094 (1999).
- MOREIRA, F. M. S., GILLIS, M., POT, B., KERSTERS, K., FRANCO,

- A. A.: Characterization of rhizobia isolated from different divergence groups of tropical *Leguminosae* by compatative polyacrylamide gel electrophoresis of their total proteins. System. Appl. Microbiol. 16, 135–146 (1993).
- MOREIRA, F. M. S., HAUKKA, K., YOUNG, J. P. W.: Biodiversity of rhizobia isolated from a wide range of forest legumes in Brazil. Mol. Ecol. 7, 889–895 (1998).
- NICK, G.: Polyphasic taxonomy of rhizobia isolated from tropical tree legumes. *Dissertationes Biocentri Viikki Universitatis Helsingiensis*, Department of Applied Chemistry and Microbiology, University of Helsinki, Finland, 1998.
- NICK, G., DE LAJUDIE, P., EARDLY, B., SUOMALAINEN, S., PAULIN, L., ZHANG, X., GILLIS, M., LINDSTRÖM, K.: Sinorhizobium arboris sp. nov. and Sinorhizobium kostiense sp. nov. isolated from leguminous trees in Sudan and Kenya. Int. J. Syst. Bacteriol. 49, 1359–1368 (1999).
- NOUR, S. M., FERNANDEZ, M. P., NORMAND, P., CLEYET-MAREL, J.-C.: Rhizobium ciceri sp. nov., consisting of strains that nodulate chickpeas (Cicer arietinum L.). Int. J. Syst. Bacteriol. 44, 511–522 (1994).
- NOVIKOVA, N. I., PAVLOVA, E. A., VOROBJEV, N. I., LIME-SCHENKO, E. V.: Numerical taxonomy of *Rhizobium* strains from legumes of the temperate zone. Int.J. Syst.Bacteriol. 44, 734–742 (1994).
- PITCHER, D. G., SAUNDERS, N. A., OWEN, R. J.: Rapid extraction of bacterial genomic DNA with guanidium thiocyanate. Lett. Appl. Microbiol. 8, 151–156 (1989).
- POT, B., GILLIS, M., HOSTE, B., VAN DE VELDE, A., BEKAERT, F., KERSTERS, K., DE LEY, J.: Intra- and intergeneric relationships of the genus *Oceanospirillum*. Int. J. Syst. Bacteriol. 39, 23-34 (1989).
- POT, B., VANDAMME, P., KERSTERS, K.: Analysis of electrophoretic whole organism protein fingerprints, pp. 493–521. In: Modern Microbial Methods. Chemical Methods in Procaryotic Systematics (M. GOODFELLOW, A.G. O'DONNELL, eds.), Chichester, England, John Wiley & Sons 1994.
- Prevost, D., Bordeleau, L. M., Caudry-Reznick, S., Schul-Man, H. M., Antoun, H.: Characteristics of rhizobia isolated from three legumes indigenous to the high arctic: Astragalus alpinus, Oxytropis maydelliana, and Oxytropis arctobia. Plant and Soil. 98, 313–324 (1987).
- RINAUDO, G., ORENGA, S., FERNANDEZ, M. P., MEUGNIER, H., BARDIN, R.: DNA homologies among members of the genus *Azorhizobium* and other stem- and root-nodulating bacteria isolated from the tropical legume *Sesbania rostrata*. Int. J. Syst. Bacteriol. 41, 114–120 (1991).
- ROME, S., FERNANDEZ, M. P., BRUNEL, B., NORMAND, P., CLEYET-MAREL, J.-C.: Sinorhizobium medicae sp. nov., isolated from annual Medicago spp. Int. J. Syst. Bacteriol. 46, 972–980 (1996).
- TEREFEWORK, Z., NICK, G., SUOMALAINEN, S., PAULIN, L., LIND-STRÖM, K.: Phylogeny of *Rhizobium galegae* with respect to other rhizobia and agrobacteria. Int. J. Syst. Bacteriol. 48, 349–356 (1998).
- VAN BERKUM, P., BEYENE, D., BAO, G., CAMPBELL, T. A., EARDLY, B. D.: Rhizobium mongolense sp. nov., is one of three rhizobial genotypes identified which nodulate and form nitrogenfixing symbioses with Medicago ruthenica ([L.] Ledebour). Int. J. Syst. Bacteriol. 48, 13–22 (1998).
- VAN BERKUM, P., TULLY, R. E., KEISTER, D. L.: Nonpigmented and bacteriochlorophyll-containing *Bradyrhizobia* isolated from *Aeschynomene indica*. Appl. Environ. Microbiol. 61, 623–629 (1995).
- VAN ROSSUM, D., SCHUURMANS, F. P., GILLIS, M., MUYOTCHA, A., VAN VERSEVELD, H. W., STOUTHAMER, A. H., BOOGERD, F. C.: Genetic and phenotypic analyses of *Bradyrhizobium* strains nodulating Peanut (*Arachis hypogaea* L.) roots. Appl. Environ. Microbiol. 61, 1599–1609 (1995).

- VANDAMME, P., POT, B., GILLIS, M., DE VOS, P., KERSTERS, K., SWINGS, J.: Polyphasic taxonomy, a consensus approach to bacterial systematics. Microbiol. Rev. 60, 407–438 (1996).
- VAUTERIN, L., VAUTERIN, P.: Computer-aided objective comparison of electrophoresis patterns for grouping and identification of microorganisms. Eur. Microbiol. 1, 37–41 (1992).
- VINCENT, J. M.: A manual for the practical study of root-nodule bacteria, pp. 73-97. In: International Biological Programme Handbook no. 15. Oxford, Blackwell Scientific Publications Ltd. 1970.
- VINUESA, P., RADEMAKER, J. L. W., de BRUIJN, F. J., WERNER, D.: Genotypic characterization of *Bradyrhizobium* strains nodulating endemic woody legumes of the Canary Islands by PCR-Restriction Fragment Length Polymorphism analysis of genes encoding 16S rRNA (16S rDNA) and 16S-23S rDNA intergenic spacers, repetitive extragenic palindromic PCR genomic fingerprinting, and partial 16S rDNA sequencing. Appl. Environ. Microbiol. 64, 2096–2104 (1998).
- WANG, E. T., VAN BERKUM, P., SUI, X. H., BEYENE, D., CHEN, W. X., MARTINEZ-ROMERO, E.: Diversity of rhizobia associated with *Amorpha fructicosa* isolated from chinese soils and description of *Mesorhizobium amorphae* sp. nov. Int. J. Syst. Bacteriol. 49, 51–65 (1999).
- WANG, E. T., VAN BERKUM, P., BEYENE, D., SUI, X. H., DORADO, O., CHEN, W. X., MARTINEZ-ROMERO, E.: Rhizobium huautlense sp. nov., a symbiont of Sesbania herbacea that has a close phylogenetic relationship with Rhizobium galegae. Int. J. Syst. Bacteriol. 48, 687–699 (1998).

- Wong, F. Y. K., Stackebrandt, E., Ladha, J. K., Fleischman, D. E., Date, A. R., Fuerst, J. A.: Phylogenetic analysis of *Bradyrhizobium japonicum* and photosynthetic stem-nodulating bacteria from *Aeschynomene* species grown in separated geographical regions. Appl. Environ. Microbiol. 60, 940–946 (1994).
- XU, L. M., GE, C., Cui, Z., Li, J., FAN, H.: Bradyrhizobium liaoningensis sp. nov. isolated from the root nodules of soybean. Int. J. Syst. Bacteriol. 45, 706-711 (1995).
- YOUNG, J. P. W.: Phylogenetic classification of nitrogen-fixing organisms, pp. 43-86. In: Biological Nitrogen Fixation (G. STACEY, R. H. BURRIS, H. J. EVANS, eds.), New York, Chapman & Hall 1991.
- YOUNG, J. P. W., HAUKKA, K. E.: Diversity and phylogeny of rhizobia. New Phytol. 133, 87–94 (1996).
- ZHANG, X., HARPER, R., KARISTO, M., LINDSTRÖM, K.: Diversity of *Rhizobium* bacteria isolated from the root nodules of leguminous trees. Int. J. Syst. Bacteriol. 41, 104–113 (1991).

#### Corresponding author:

PHILIPPE DE LAJUDIE, Laboratoire des Symbioses Tropicales et Méditerranéennes, I.R.D./INRA/AGRO-M/CIRAD, Campus de Baillarguet, B.P. 5035, 34032 Montpellier Cedex, France Tel.: (33) 04 67 61 58 00 p. 4218; Fax: (33) 04 67 59 38 02; e-mail: P-De.Lajudie@mpl.ird.fr

# Chapitre 2

CARACTERISATION D'UNE COLLECTION DE SOUCHES ISOLEES DE CROTALAIRES : DECOUVERTE DE METHYLOBACTERIUM NODULANS

#### I - INTRODUCTION

Dans les zones tropicales, les légumineuses spontanées jouent un rôle important dans le maintien et l'amélioration de la fertilité des sols, mais elles restent cependant insuffisamment exploitées. Parmi elles, on compte les plantes du genre *Crotalaria* (*Papilionoïdeae*, *Crotalarieae*) qui constituent le plus vaste genre de légumineuses en Afrique avec plus de 500 espèces réparties dans diverses zones climatiques, allant des zones semi-désertiques aux forêts tropicales humides (Polhill, 1982). Les *Crotalaria* sont bien présentes en Afrique de l'Ouest notamment au Sénégal où 33 espèces ont été répertoriées (Berhaut, 1976). Ce sont des légumineuses herbacées pérennes ou annuelles, parfois des arbustes dont plusieurs espèces sont utilisées pour leur intérêt agronomique, pour leurs qualités fourragères et pour de nombreux autres usages.

En effet grâce à leur potentiel fixateur d'azote, de nombreuses espèces de Crotalaria peuvent être utilisées comme engrais vert ou comme plantes de couverture (Sandanam, 1976; Mwambazi, 1998; Becker et Johnson, 1999; Fischler et al., 1999). Les propriétés nématicides de certaines espèces constituent également un usage agronomique important des Crotalaria. Des espèces comme C. pallida, C. juncea, C. retusa, et C. spectabilis permettent d'éradiquer ou de réduire considérablement les populations de nématodes phytoparasites du genre Meloidogyne, Pratylenchus ou Rotylenchulus (Silva et al., 1989a, 1989b; Sundararaj, 1990). Les Crotalaria sont également utilisées comme fourrage, mais de nombreuses espèces sont toxiques pour le bétail, leur ingestion conduisant à une maladie appelée le crotalisme (Watt et Breyer-Brandwijk, 1962; Verdcourt et Trump, 1969; Polhill, 1982). Cette toxicité est liée à la présence d'alcaloïdes de type pyrrolizidine.

Si les crotalaires ont surtout été étudiées pour leur intérêt agronomique et leurs propriétés toxiques, par contre très peu d'études ont porté sur leurs partenaires symbiotiques. Il était jusqu'à présent admis qu'elles étaient toutes nodulées par des rhizobiums non spécifiques (Wilson, 1939; Burton, 1952), et qu'elles appartenaient donc au vaste groupe légumineuses tropicales de type "cowpea".

Ce deuxième chapitre porte sur la caractérisation d'une importante collection de souches de rhizobiums isolées de différentes espèces de Crotalaria rencontrées au Sénégal. Ainsi, nous avons analysé les données phénotypiques, génotypiques et phylogénétiques des différents isolats pour évaluer leur diversité, déterminer leur position taxonomique et leurs relations phylogénétiques avec les différents genres et espèces de rhizobiums connus.

### II - RESULTATS

#### II - 1 - Collection de souches

Une collection de 126 souches de rhizobiums de *Crotalaria* a été constituée (tableau 11). Ces souches de rhizobiums ont été isolées soit directement à partir de nodules frais récoltés sur le terrain, soit par piégeage sur huit espèces de *Crotalaria* (C. comosa, C. glaucoides, C. goreensis, C. hyssopifolia, C. lathyroides, C. perrottetii, C. podocarpa et C. retusa) rencontrées dans 8 sites géographiques différents du Sénégal.

En prenant pour critère leur vitesse de croissance sur le milieu de culture YMA, nous avons pu dans un premier temps répartir les souches en deux groupes distincts. Un premier groupe de 81 souches à croissance rapide, dont les colonies apparaissent après 48 heures de culture, et un second groupe de 45 souches à croissance lente pour lesquelles les colonies n'apparaissent qu'après plus de 72 heures de culture.

## II - 2 - Spécificité de nodulation

Pour connaître les propriétés symbiotiques des souches de crotalaires, nous avons d'abord étudié le spectre d'hôte d'une vingtaine de souches de la collection. Ainsi 21 souches dont 14 à croissance rapide ont été testées pour leur capacité à former des nodules sur les racines de neuf espèces de crotalaires (C. comosa, C. glaucoides, C. goreensis, C. hyssopifolia, C. lathyroides, C. ochroleuca, C. perrottetii, C. podocarpa et C. retusa) ainsi que sur d'autres légumineuses tropicales ligneuses ou herbacées, Acacia albida, Acacia raddiana, Indigofera microcarpa et Sesbania rostrata.

Tableau 11. Listes des souches isolées de crotalaires rencontrées dans différentes localités du Sénégal.

Plantes d'isolement	Sites de prélève	ement	Souches à	croissanc	e rapide	
Crotalaria podocarapa	Bel-Air (Dakar)	ORS 1860	ORS 1917	ORS 1933	ORS 1937	ORS 1938
•		ORS 1954	ORS 1955	ORS 1970	ORS 1991	ORS 1992
		ORS 2057	ORS 2058	ORS 2059	ORS 2060	ORS 2066
		ORS 2061	ORS 2062	ORS 2063	ORS 2064	ORS 2065
		ORS 2067	ORS 2068	ORS 2069	ORS 2070	ORS 2071
		OR5 2073	ORS 2102	ORS 2103		
Crotalaria perrottetii	Djilor	ORS 2031	ORS 2033	ORS 2035	ORS 2036	ORS 2037
•	•	ORS 2092	ORS 2093	ORS 2094	ORS 2095	ORS 2096
		ORS 2097				
Crotalaria perrottetii	kolda	ORS 1926	ORS 1939			
·	Ferlo sud	ORS 1923	ORS 1924	ORS 1925		
	Kaparan	ORS 1927	ORS 1928	ORS 2030	ORS 2032	ORS 2038
	,	ORS 2039	ORS 2040	ORS 2041	ORS 2042	ORS 2043
		ORS 2044	ORS 2098	ORS 2099	ORS 2110	
Crotalaria glaucoides	Bel-Air (Dakar)	ORS 1936				
g	Kaparan	ORS 2023	ORS 2024	ORS 2076		
	•		-		ODE 2028	ODC 2045
	Djilor	ORS 2025	ORS 2026	ORS 2027	ORS 2028	ORS 2045
		ORS 2046	ORS 2047	ORS 2048	ORS 2049	ORS 2050
		ORS 2051 ORS 2056	ORS 2052 ORS 2072	ORS 2053 ORS 2100	ORS 2054 ORS 2101	ORS 2055

Tableau 11. Suite.

Crotalaria lathyroides	Sites de prélèvem	ent	Souches à croissance lente						
Crotalaria goreensis	kaparan	ORS 1801	ORS 1862	ORS 2074	ORS 2075	ORS 2089			
_		ORS 2090	ORS 2091						
	Kabrousse	ORS 1811							
	Djilor	ORS 2088							
	Kolda	ORS 1935							
Crotalaria lathyroides	Kabrousse	ORS 1810							
·	Kaparan	ORS 1869	ORS 2108						
Crotalaria hyssopifolia	Kabrousse	ORS 1813							
	Fanghote	ORS 1814	ORS 1815	ORS 1816					
Crotalaria comosa	Kaparan	ORS 1863	ORS 1864	ORS 1865	ORS 1866	ORS 1867			
		ORS 1868	ORS 1929	ORS 2104	ORS 2105	ORS 2106			
		ORS 2107	ORS 2109						
Crotalaria retusa	Grand-Yoff (Dakar)	ORS 2021	ORS 2022	ORS 2077	ORS 2078	ORS 2079			
		ORS 2080	ORS 2081	ORS 2082	ORS 2083	ORS 2084			
		ORS 2085	ORS 2086	ORS 2087					
	Kolda	ORS 1969	ORS 1971						
	Kabrousse	ORS 1819							

Tableau 12. Spécificité de nodulation chez les différentes espèces de Crotalaria.

Plantes d'isolement		C	rotala	ria pod	docarp	oa .		Ci	otalar	ia pei	rrottei	tii	C. gla	ucoides	C. gor	eensis	C. lathy.	C. com.	C. h	/ssopi	folia
sites de prélèvement							Ferlo	Sud	K	olda	Кар.	Кар.	Bel-Air			Kab.	Кар.	F	Fanghote		
Souches	2060	1917	1933	1937	1938	1954	1955	1924	1925	1926	1939	-	-	1936	1935	1811	1810	1929	1816	1815	1814
						Souch	es à c	roissaı	nce ra	pide						5	ouches à	croissanc	e lent	e	
Plantes hôtes															ļ						
Groupe I	i iii																				
Crotalaria podocarpa	E	Е	E	Ε	Ε	Ε	E	E	e	e	Ε	E	Ε	E	0	o	0	o	0	0	0
Crotalaria galucoides	E	Ε	Ε	E	Ε	E	E	E	e	e	E	E	Ε	Е	0	0	Ö	0	o	0	0
Crotalaria perrottetii	E	E	E	E	е	Е	E	E	e	e	E	Ε	Ε	E	0	0	0	0	0	0	0
Groupe II			Ta lines	10.15		To the						A Solland									
Crotalaria goreensis	0	0	0	0	0	I	0	0	0	0	I	0	0	0	e	e	e	e.	e	e	e
Crotalaria comosa	0	0	0	0	0	0	0	0	0	0	0	0	0	0	Ε	e	e	e	E	e	e
Crotalaria ochroleuca	0	0	0	I	0	I	I	0	0	0	0	I	I	0	e	e	e	E	E	E	e
Crotalaria hyssopifolia	0	0	I	I	I	I	0	I	0	0	0	0	0	I	E	e	E	E	e	e	E
Crotalaria lathyroides	I	I	I	I	I	I	0	I	I	I	I	I	I	I	E	E	E	Ε	Ε	E	e
Crotalaria retusa	0	I	I	0	0	I	I	I	0	I	0	I	I	I	e	Ε	E	E	Ε	Ε	e
Acacia albida	0	0	0	0	0	0	0	0	0	0	0	0	0	0	E	E	E	E	e	E	e
I. microcarpoa	0	0	0	0	0	0	0	0	0	0	0	0	0	0	Е	Е	E	E	e	E	e
Sesbania rostrata	10	0	0	ō.	0	0	0	0	0	0	0	0	0	0	(Fig.	. 0	I	I	0	0	- 0
Acadia raddiana	T	1	I	30			I		1	I	I	I	I	I	I		ps	DS	0	DS.	0

o = pas de nodulation; I = nodules inefficaces; e = nodules fixateurs (100 à 350 nmoles /h/plante); E = nodules fixateurs (350 à 600 nmoles /h/plante).

Kap. = Kaparan; Kab. = Kabrousse; C. goreensis = Crotalaria goreensis; C. lathy. = Crotalaria lathyroides; C.com. = Crotalaria comosa;

I. microcarpa = Indigofera microcarpa

On observe au niveau des rhizobiums de *Crotalaria* deux groupes de spécificité de nodulation différents correspondant aux deux groupes de croissance précédemment observés (tableau 12).

- Le premier groupe comprend les souches à croissance rapide qui nodulent et fixent l'azote exclusivement avec les trois espèces *C. podocarpa, C. perrottetii et C. glaucoides*.
- Le deuxième groupe comprend toutes les souches à croissance lente, qui nodulent efficacement les 6 autres espèces de crotalaires testées : *C. comosa, C. goreensis, C. hyssopifolia, C. lathyroides, C. ochroleuca et C. retusa.*

Alors que les souches à croissance rapide ne nodulent spécifiquement que les trois espèces de Crotalaria (C. podocarpa, C. perrottetii et C. glaucoides), les souches à croissance lente par contre, nodulent aussi bien les 6 autres espèces de Crotalaria que d'autres légumineuses tropicales comme Indigofera microcarpa ou Acacia albida qui appartiennent au groupe "cowpea" à large spectre d'hôtes. Ces souches à croissance lente non spécifiques présentent donc un spectre d'hôte typique des Bradyrhizobium. Aucune des souches appartenant aux deux groupes de Crotalaria ne nodule efficacement Acacia raddiana et Sesbania rostrata, deux espèces spécifiquement nodulées par des souches appartenant respectivement aux genres Mesorhizobium et Allorhizobium pour l'Acacia et Azorhizobium et Sinorhizobium pour Sesbania (Dreyfus et al., 1988; de Lajudie et al., 1994; de Lajudie et al., 1998a; Boivin et al., 1997).

Un certain nombre de souches à croissance rapide sont capables d'induire la formation de nodules inefficaces sur les crotalaires du groupe II, alors qu'aucune souche à croissance lente n'infecte les crotalaires du groupe I.

Tableau 13. Spécificité de nodulation au sein du genre Crotalaria.

Plantes	Numéros	Origine	Plantes hôtes				
d'isolement	Souches	géographique	_				
			groupe I	groupe II	A. albida		
Souches à	croissance 1	rapide					
C. perrottetii	ORS 1923	Ferlo sud	E	0	0		
C. perrottetii	ORS 2098	Kaparan	E	0	0		
C. perrottetii	ORS 2094	Djilor	e	0	0		
C. perrottetii	ORS 2030	Kaparan	e	0	0		
C. perrottetii	ORS 2092	Djilor	e	0	0		
C. perrottetii	ORS 2093	Djilor	e	0	0		
C. perrottetii	ORS 2095	Djilor	e	0	0		
C. perrottetii	ORS 2036	Djilor	e	0	0		
C. perrottetii	ORS 2097	Djilor	e	0	0		
C. perrottetii	ORS 2110	kaparan	e	0	0		
C. perrottetii	ORS 2039	kaparan	e	0	0		
C. perrottetii	ORS 2043	kaparan	e	0	0		
C. perrottetii	ORS 2044	kaparan	e	0	0		
C. perrottetii	ORS 1924	Ferlo sud	E	0	0		
C. perrottetii	ORS 1925	Ferlo sud	e	0	0		
C. perrottetii	ORS 1926	Kolda	e	0	0		
C. perrottetii	ORS 1939	Kolda	E	I	0		
C. perrottetii	ORS 1927	Kaparan	E	0	0		
C. perrottetii	ORS 1928	Kaparan	E	0	0		
C. podocarpa	ORS 1955	Bel-Air	E	0	0		
C. podocarpa	ORS 1860	Bel-Air	E	0	0		
C. podocarpa	ORS 1917	Bel-Air	E	0	0		
C. podocarpa	ORS 1933	Bel-Air	E	0	0		
C. podocarpa	ORS 1937	Bel-Air	E	0	0		
C. podocarpa	ORS 1938	Bel-Air	E	0	0		
C. podocarpa	ORS 1954	Bel-Air	E	I	0		
C. podocarpa	ORS 2060	Bel-Air	E	0	0		
C. podocarpa	ORS 2057	Bel-Air	E	0	0		
C. podocarpa	ORS 2059	Bel-Air	E	0	0		
C. podocarpa	ORS 2062	Bel-Air	E	0	0		
C. podocarpa	ORS 2102	Bel-Air	E	0	0		
C. podocarpa	ORS 2066	Bel-Air	E	0	0		
C. podocarpa	ORS 2068	Bel-Air	E	0	0		
C. podocarpa	ORS 2070	Bel-Air	E	0	0		
C. podocarpa	ORS 2071	Bel-Air	E	0	0		
C. podocarpa	ORS 2063	Bel-Air	e	0	0		
C. podocarpa	ORS 2064	Bel-Air	e	0	0		
C. podocarpa	ORS 2103	Bel-Air	e	0	0		
C. glaucoides	ORS 1936	Bel-Air	E	0	0		
C. glaucoides	ORS 2072	Djilor	E	0	0		
C. glaucoides	ORS 2076	Kaparan	E	0	0		
C. glaucoides	ORS 2056	Djilor	E	0	0		

Tableau 13. Suite.

Plantes	Numéros	Origine	PI	antes hôtes	
d'isolement	Souches	géographique			
			groupe I	groupe II	A. albide
C. glaucoides	ORS 2023	Kaparan	e	0	0
C. glaucoides	ORS 2045	Djilor	e	0	0
C. glaucoides	ORS 2100	Djilor	e	0	0
C. glaucoides	ORS 2026	Djilor	e	0	0
C. glaucoides	ORS 2051	Djilor	e	0	0
C. glaucoides	ORS 2024	Kaparan	e	0	0
C. glaucoides	ORS 2053	Djilor	e	0	О
Souches à cr	oissance len	te			
C. goreensis	ORS 1862	Kaparan	0	E	E
C. goreensis	ORS 2088	Djilor	0	E	E
C. goreensis	ORS 2090	Kaparan	0	E	E
C. goreensis	ORS 2075	kaparan	0	E	E
C. goreensis	ORS 1801	kaparan	0	e	E
C. goreensis	ORS 2074	kaparan	0	e	E
C. goreensis	ORS 2089	kaparan	0	e	E
C. goreensis	ORS 1861	kaparan	0	e	0
C. goreensis	ORS 2091	kaparan	0	e	E
C. goreensis	ORS 1935	Kolda	0	e	E
C. goreensis	ORS 1811	Kabrousse	0	e	E
C. comosa	ORS 1865	kaparan	0	e	E
C. comosa	ORS 2107	Kaparan	0	I	E
C. comosa	ORS 1867	kaparan	0	0	E
C. comosa	ORS 1868	kaparan	0	0	e
C. comosa	ORS 2106	kaparan	0	0	e
C. comosa	ORS 1929	kaparan	0	e	E
C. retusa	ORS 2077	Grand - Yoff	0	E	E
C. retusa	ORS 2080	Grand - Yoff	0	e	E
C. retusa	ORS 2085	Grand - Yoff	0	0	E
C. lathyroïdes	ORS 2108	kaparan	0	0	E
C. lathyroïdes	ORS 1810	Kabrousse	0	e	E
C. hyssopifolia	ORS 1816	Fanghote	0	e	e
C. hyssopifolia	ORS 1815	Fanghote	0	e	E
C. hyssopifolia	ORS 1814	Fanghote	0	E	e
A. albida	ORS 141	Diokoul	0	E	E
A. albida	ORS 144	Diokoul	0	e	E
A. albida	ORS 136	Louga	0	e	e
A. albida	ORS 167	katakalousse	0	0	E
A. albida	ORS 188	Dagana	0	0	E
A. albida	ORS 142	Diokoul	0	0	E
A. albida	ORS 143	Diokoul	0	0	e
A. albida	ORS 110	Louga	0	0	e
A. albida	ORS 116	Louga	0	0	e
A. albida	ORS 117	Louga	0	0	I

<sup>0 =</sup> pas de nodulation ; E = présence de nodules fixateurs (350-600 nmoles/h/plante) ; e = nodules fixateurs (100-350 nmoles/h/plante) ; I = fixation inefficace (<100 nmoles/h/plante)

La répartition des crotalaires en deux groupes de nodulation croisés a pu être confirmée sur un plus grand nombre de souches (84) isolées de ces crotalaires (tableau 13).

### II - 3 - Analyse des profils protéiques sur gel de polyacrylamide

Les profils protéiques de 116 souches de *Crotalaria* (42 à croissance lente et 74 à croissance rapide) ont été numérisés et analysés en même temps que ceux de 45 souches de référence (tableau 14) représentant les différentes espèces de *Rhizobium*, *Bradyrhizobium*, *Azorhizobium*, *Sinorhizobium*, *Mesorhizobium*, *Agrobacterium* existant ainsi que les représentants des groupes de *Bradyrhizobium sp.* décrits par *Moreira et al.*, (1993, 1998) et *Dupuy et al.*, (1994). Le dendrogramme de la figure 15 montre la répartition et la composition des différents groupes électrophorétiques obtenus.

#### II - 3 - 1 - Les souches à croissance lente

En considérant un coefficient de similarité de 90%, la quasi totalité des souches à croissance lente (35/42) forme un groupe homogène, groupe I. Ce groupe renferme également différentes souches de référence de Bradyrhizobium sp. représentants des groupes de Bradyrhizobium sp. décrits par Moreira et al., (1993); Dupuy et al., (1994) et la souche type de Bradyrhizobium japonicum LMG 6138 (Jarvis et al., 1986). Pour un coefficient de similarité de 92% le groupe I se scinde en trois sous-groupes A, B et C.

Le sous-groupe A renferme 6 souches de *Crotalaria* (ORS 1814, ORS 1862, ORS 1881, ORS 2089, ORS 2106 et ORS 2108) et une souche de référence de *Bradyrhizobium sp. Prosopis africana* (Moreira *et al.*, 1993). Les 6 souches de ce sous-groupe A sont isolées de quatre espèces différentes, *C. goreensis*, *C. comosa*, *C. lathyroides* et *C. hyssopifolia* récoltées dans trois localités du sud du Sénégal à savoir Kaparan, Kabroussse et Fanghote.

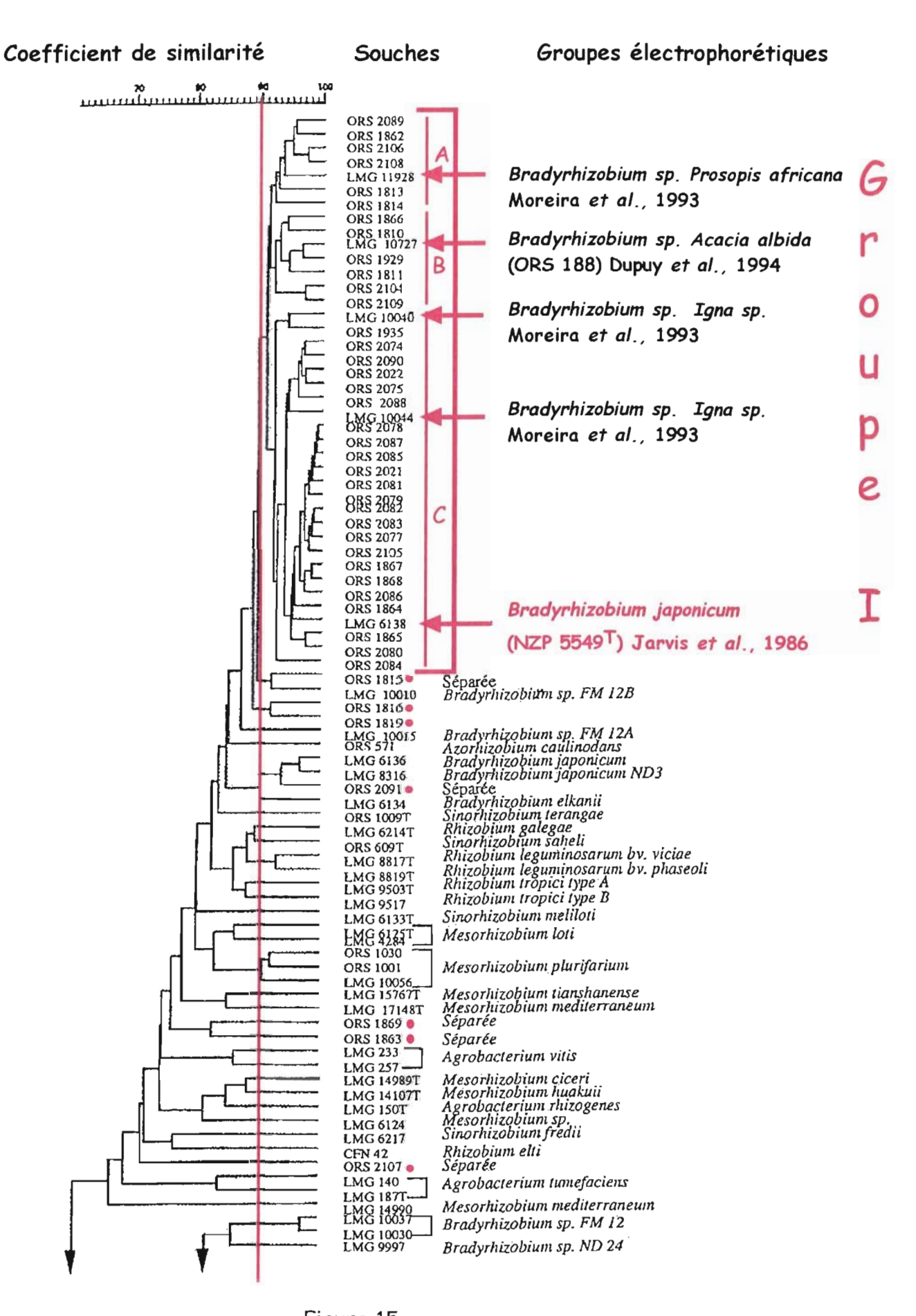


Figure 15

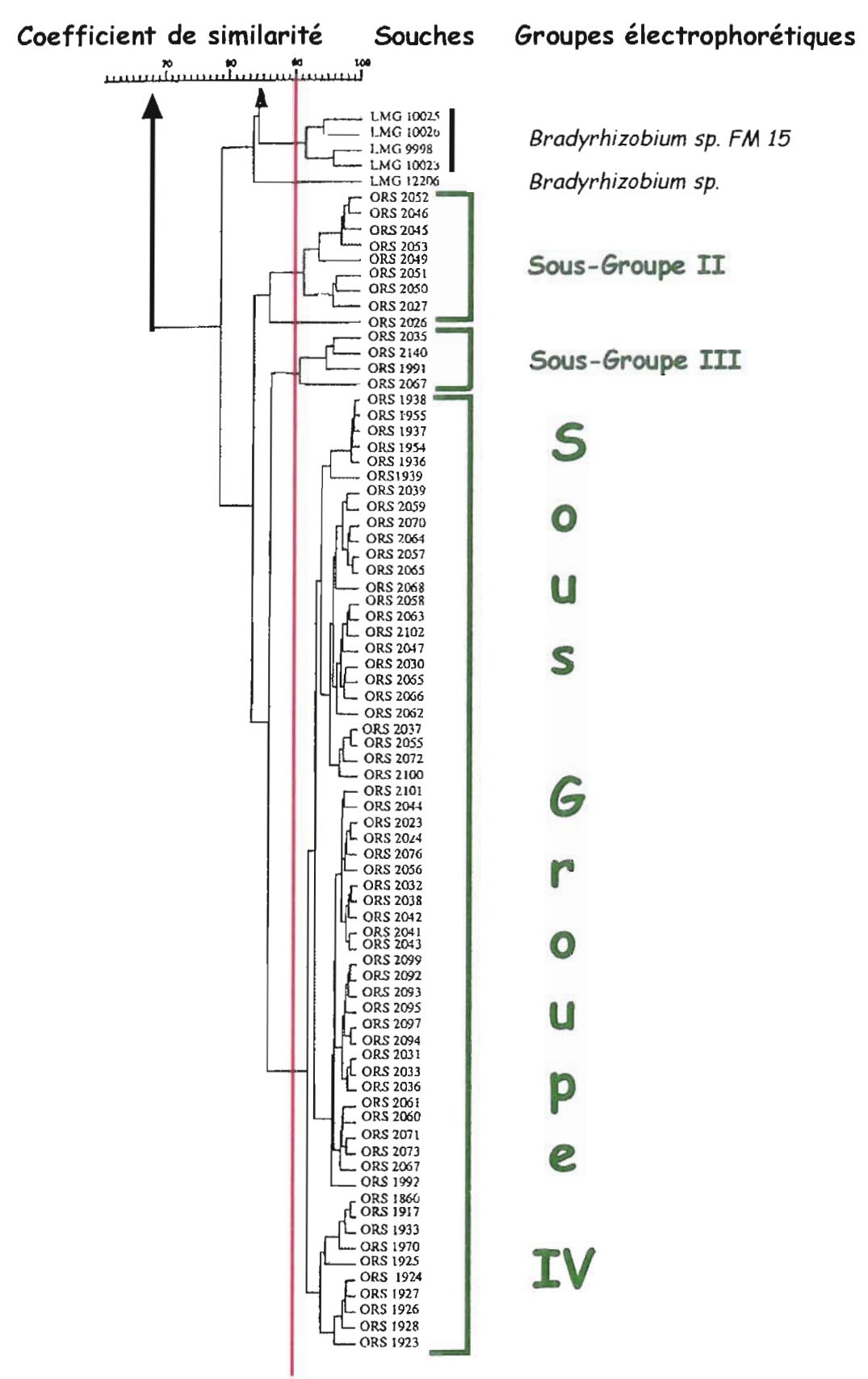


Figure 15. Dendrogramme basé sur la valeur du coefficient de similarité r, construit après l'analyse numérique des profils électrophorétiques des souches de Crotalaires du Sénégal et des souches de référence représentatives des différentes espèces de rhizobiums ou des différents clusters connus.

Tableau 14. Nomenclature et origine des souches de référence

Souches	ouches N° LMG Plante		Origine
Rhizobium galegae			
HAMBI 540 <sup>T</sup>	LMG 6214 <sup>™</sup>	Galega orientalis	Finland
Rhizobium leguminosarum bv. Vi			7 7710
ATCC 10004	LMG 8817 <sup>T</sup>	Pisum sativum	USA
Rhizobium leguminosarum bv. ph			3371
ATCC 14482	LMG 8819 <sup>T</sup>	Phaseolus sp.	
Rhizobium tropici type A			
CIAT 988	LMG 9503 <sup>™</sup>	Phaseolus vulgaris	Brésil
Rhizobium tropici type B			D7 0011
CFN 299	LMG 9517	Phaseolus vulgaris	Brésil
Rhizobium etli	2,0 200,	· maccolac valgarie	J. 55.1
CFN 42		Phaseolus vulgaris	Mexique
Sinorhizobium terangae		i nascolas valgaris	Mexique
ORS 1009 <sup>T</sup>	LMG 7834 <sup>T</sup>	Acacia laeta	Sénégal
Sinorhizobium saheli	LINO 700 1	710000 70070	Seriegai
ORS 609 <sup>T</sup>	LMG 7837 <sup>™</sup>	Sesbania cannabina	Sénégal
Sinorhizobium meliloti	2110 7007	Sesbama camabina	Seriegai
NZP 4027 <sup>†</sup>	LMG 6133 <sup>™</sup>	Medicago sativa	Australie
Sinorhizobium fredii	LINO 0133	mearcage surrea	Adollane
USDA 205 <sup>T</sup>	LMG 6217 <sup>™</sup>	Glycine max	Chine
Mesorhizobium loti	LINO OZII	Orycine mux	Citifle
NZP 2213	LMG 6125 <sup>™</sup>	Lotus corniculatus	N <sup>lle</sup> Zélande
USDA 3127	LMG 4284	Caragana arborescens	Colorado
Mesorhizobium plurifarium	LING 4204	car agana ar bor escens	Colorado
ORS 1030	LMG 11890	Acacia senegal	Sénégal
ORS 1001	LMG 7836	Acacia senegal	Sénégal
INPA 78B	LMG 10056	Leucaena diversifolia	Brésil
Mesorhizobium tianshanense	LWG 10030	Leucaena diversitoria	DIESII
A-1BS <sup>T</sup>	LMG 15767 <sup>™</sup>	Glycyrrhiza pallidiflora	Chine
Mesorhizobium mediterraneum	LING 13707	Giyeyi i iliza paman lora	Crine
UPM Ca-36 <sup>T</sup>	LMG 17148 <sup>™</sup>	Cicer arietinum	Eanana
UPM Ca142	LMG 17148 LMG 14990	Cicer arietinum	Espagne
Mesorhizobium ciceri	LMG 14990	Cicer ariennum	Espagne
UPM Ca 7 <sup>T</sup>	LMG 14989 <sup>™</sup>	Cicer arietinum	Echapra
Mesorhizobium huakii	LING 14707	Cicer ariennum	Espagne
Mesornizobium nuakii IAM 14158 <sup>™</sup>	LMG 14107 <sup>™</sup>	Astropolus sinious	China
	LMG 14107	Astragalus sinicus	Chine
<b>Mesorhizobium sp.</b> NZP 2014	1 MC 6124	latus comisulatus	
NZP 2014 Azorhizobium caulinodans	LMG 6124	Lotus corniculatus	
ORS 571 <sup>T</sup>	I MC 444ET	Carbonia mantust	C América.
OK2 3/1	LMG 6465 <sup>T</sup>	Sesbania rostrata	Sénégal

Tableau 14. Suite.

Souches	n° lmg	Plantes d'isolement	Origine		
Bradyrhizobium japonicum					
NZP 5533	LMG 6136	Glycine max	USA		
NZP 5549 <sup>T</sup>	$LMG~6138^{T}$	Glycine hispida	Japon		
TAL 309	LMG 8316	Macroptyloma africanum	Zimbabwé		
Bradyrhizobium elkanii					
NZP 5531 <sup>T</sup>	$LMG 6134^{T}$	Glycine max	USA		
Bradyrhizobium sp.					
Pa 44	LMG 11928	Prosopis africana	Brésil		
INPA 36B	LMG 10040	Igna sp.	Brésil		
INPA 53B	LMG 10044	Igna sp.	Brésil		
BR 6817	LMG 10010	Pithecellobium sp.	Brésil		
BR 8402	LMG 10015	Dalbergia nigra	Brésil		
INPA 30A	LMG 10037	Samanea saman	Brésil		
INPA 10A	LMG 10030	Samanea saman	Brésil		
FL 276	LMG 10025	Abrus sp.	Brésil		
FL 281	LMG 10026	Abrus sp.	Brésil		
BR 5611	LMG 9998	Albizia falcata	Brésil		
BR 5609	LMG 9997	Albizia falcata	Brésil		
FL 27	LMG 10023	Melanoxylon sp.	Brésil		
ORS 188	LMG 10727	Acacia albida	Sénégal		
ORS 399	LMG 12206	Aeschynomene indica	Sénégal		
Agrobacterium vitis					
NCPPB 1771	LMG 233	Vitis vinifera	Iran		
NCPPB 2611	LMG 257	Vitis vinifera	Grèce		
Agrobactérium rhizogenes					
ATCC 11325 <sup>T</sup>	LMG 150 <sup>™</sup>				
Agrobacterium tumefaciens					
B6 <sup>™</sup>	LMG 187 <sup>™</sup>				
Agrobacterium radiobacter					
ATCC 19358 <sup>T</sup>	LMG 140 <sup>T</sup>				

ATTC, American Type Culture Collection. Rockville, Md.; BR et FL, Souches de CNPB/EMBRAPA, Centro National de Pesquisa em Biologica do solo, Seropedica, Rio de Janeiro, Brazil, and the Emprasa Brasiliera de Pesquisa Agropequaria; CIAT, Rhizobium Collection, Centro International de Agricultura Tropical, Cali, Colombia; CFN, Centro de Investigacion sobre Fijacion de Nitrogeno, Universidad Nacional Autonomade Mexico, Cuernavaca, mexico; HAMBI, Culture Collection of the Departement of Microbiology, University of Helsinki, Finland; IAM, Institute of Applied Microbiology, The University of Tokyo, Tokyo, Japan; INPA, National Institute of Amazonia Reserch, Manaus, Brazil; LMG, Collection of Bacteria of the Laboratorium voor Microbiologie, University of Ghent, Ghent, Belgium; NCPPB, National Collection of Plante Pathogenic Bacteria, Harpenden U.K.; NZP, Culture Collection of the Departement for Scientific and Industrial Reserch, Biochemestry Division, Palmerson North, New Zealand; ORS, Collection de l'Institut de Recherche pour le Developpement, IRD (ex ORSTOM) Dakar, Sénégal; TAL, Nitrogen Fixation in Tropical Agricultural Legumes, University of Hawaii, Paia; UPM, Departamento de Microbiologia, E. T. S. de Ingenieros Agronomos, Universidad Politecnica, Madrid, Spain; USDA, United States Departement of Agriculture, Beltsville, Md.

Six souches, ORS 1810, ORS 1811, ORS 1866, ORS 1929, ORS 2104 et ORS 2109, isolées des trois espèces *C. comosa, C. lathyroides* et *C. goreensis* à partir de deux sites Kaparan et Kabrousse, constituent le sous-groupe B. Ce sous-groupe renferme également la souche de référence LMG 10727 de *Bradyrhizobium sp. Acacia albida* (Dupuy *et al.*, 1994).

Le sous-groupe C est composé de 13 souches de C. retusa isolées à Grand-Yoff (Dakar), de 5 souches de C. comosa originaires de Kaparan et de 5 souches de C. goreensis provenant de trois sites différents, Kaparan, Kolda et Djilor. Ces 23 souches de crotalaires partagent le sous-groupe C avec la souche de référence de Bradyrhizobium sp. Igna sp. (Moreira et al., 1993) et la souche type de Bradyrhizobium japonicum LMG 6138 = NZP 5549 (Jarvis et al., 1986).

Sept des 45 souches à croissance lente occupent des positions plus ou moins séparées dans le dendrogramme. Parmi elles, la souche ORS 1815 se regroupe avec la souche de *Bradyrhizobium sp.* FM 12 (Moreira *et al.*, 1993) alors que la souche ORS 2091 se retrouve dans le même cluster que les souches de *Bradyrhizobium japonicum* LMG 6136 et LMG 8316. Les souches ORS 1816 et ORS 1819 se regroupent entre elles et n'intègrent aucune souche de référence, mais restent proches des différents clusters de *Bradyrhizobium*. Les deux souches ORS 1869 et ORS 1863, isolées respectivement de *C. lathyroides* et de *C. comosa* à Kaparan se retrouvent parmi les clusters contenant différentes espèces de *Mesorhizobium*.

## II - 3 - 2 - Les souches à croissance rapide

Les 74 souches à croissance rapide dont les profils protéiques ont été analysés, se répartissent en trois sous-groupes électrophorétiques II, III et IV pour un coefficient de similarité de 90%. Ces trois sous-groupes homogènes ne contiennent aucune souche de référence de rhizobiums.

Tableau 15. Récapitulatif des différents types de profils de restriction de l'ADNr 165 obtenus avec les quatre enzymes HaeIII, MspI, HinfI et Sau96I.

Souches	En	zymes de r	estriction	
	HaeIII	HinfI	MspI	Sau961
Souches à	croissance ro	apide		
ORS 1917	Α	В	С	D
ORS 1924	Α	В	С	D
ORS 1928	Α	В	С	D
ORS 1937	Α	В	С	D
ORS 1991	Α	В	С	D
ORS 2026	Α	В	С	D
ORS 2030	Α	В	С	D
ORS 2045	Α	В	С	D
ORS 2060	Α	В	С	D
ORS 2076	Α	В	С	D
ORS 2092	Α	В	С	D
Souches à d	croissance le	<u>nte</u>		
ORS 1810	A1	B1	<i>C</i> 1	D1
ORS 1813	A1	B2	<i>C</i> 1	D1
ORS 1816	A1	В3	<i>C</i> 2	D1
ORS 1865	A1	B1	<i>C</i> 3	D1
ORS 1929	A1	В3	<i>C</i> 2	D1
ORS 2080	A1	В3	<i>C</i> 2	D1
ORS 2088	A1	В3	<i>C</i> 2	D1
ORS 2077	A1	В3	<i>C</i> 2	D1
ORS 2105	A1	В3	<i>C</i> 2	D1
ORS 2108	A1	B2	<i>C</i> 3	D1

Le sous-groupe II contient 8 souches isolées de la même plante, C. glaucoides et du même site Bel-Air (Dakar).

Deux souches de *C. podocarpa* isolées à Bel-Air, une souche de *C. perrottetii* isolée à Djilor et une souche de *Crotalaria sp.* (ORS 2140) composent le sous-groupe III.

Le sous-groupe IV très homogène (coefficient de similarité = 92%) renferme 61 souches à croissance rapide. Parmi ces 61 souches, on compte 26 souches de *C. podocarpa* isolées à Bel-Air (Dakar), 10 souches de *C. glaucoides* et 25 souches de *C. perrottetii*. Les souches de *C. glaucoides* proviennent de trois sites différents ; Bel-Air (une souche), Djilor (6 souches) et Kaparan (3 souches). Les 25 souches de *C. perrottetii* sont isolées de Kolda, (2 souches), Kaparan (11 souches), Djilor (9 souches) et du Ferlo Sud (3 souches).

### II - 4 - Polymorphisme du gène de l'ARNr 165

## II - 4 - 1 - Amplification du gène de l'ARNr 165

Les amorces utilisées pour l'amplification du gène de l'ARNr 165, FGPS 6 (GGA-GAG-TTA-GAT-CTT-GGC-TCA-G) et FGPS 1509 (AAG-GAG-GGG-ATC-CAG-CCG-CA) donnent pour l'ensemble des souches testées (souches à croissance rapide et souches à croissance lente) un fragment de PCR unique de l'ordre de 1500 paires de bases. La taille de ce fragment correspond à la taille attendue pour l'ARNr 165 des bactéries (Weisburg et al., 1991).

# II - 4 - 2 - Digestion des produits d'amplification de l'ADNr165 (ARDRA)

Les produits d'amplification des 21 souches sélectionnées (11 souches à croissance rapide et 10 souches à croissance lente) représentant les différents groupes électrophorétiques définis par SDS-PAGE ont été digérés par les quatre

# Figure 16. Séquences du gène de l'ARNr 165 chez les souches ORS 1924 et ORS 2060.

## 165 ORS 1924

1	GAACGCTGGC	GGCAGGCTTA	ACACATGCAA	GTCGAGCGGG	CCCTGCGGGG
51	TCAGCGGCAG	ACGGGTGAGT	AACGCGTGGG	AACGTGCCCT	TCGGTTCGGA
101	ACAACCCTGG	GAAACTAGGG	CTAATACCGG	ATACGTCCGC	AAGGAGAAAG
151	GCTTGACTGC	CGAAGGATCG	GCCCGCGTCT	GATTAGCTGG	TTGGTGGGGT
201	AACGGCTCAC	CAAGGCGACG	ATCAGTAGCT	GGTCTGAGAG	GATGATCAGC
251	CACACTGGGA	CTGAGACACG	GCCCAGACTC	CTACGGGAGG	CAGCAGTGGG
301	GAATATTGGA	CAATGGGCGC	AAGCCTGATC	CAGCCATGCC	GCGTGAGTGA
351	TGACGGCCTT	AGGGTTGTAA	AGCTCTTTTC	TTCGGGACGA	TAATGACGGT
401	ACCGGAGGAA	TAAGCCCCGG	${\tt CTAACTTCGT}$	GCCAGCAGCC	GCGGTAATAC
451	GAAGGGGGCT	AGCGTTGCTC	GGAATCACTG	GGCGTAAAGG	GCGCGTAGGC
501	GGCTCGCCAA	$\tt GTCGGGGGTG$	AAAGCCCGTG	GCTCAACCAC	GGAATGGCCT
551	TCGATACTGG	${\tt CGGGCTTGAG}$	ACCGGAAGAG	GACAGCGGAA	CTGCGAGTGT
601	AGAGGTGAAA	${\tt TTCGTAGATA}$	TTCGCAAGAA	CACCAGTGGC	GAAGGCGGCT
651	GTCTGGTCCG	GTTCTGACGC	TGAGGCGCGA	AAGCGTGGGG	AGCAAACAGG
701	ATTAGATACC	CTGGTAGTCC	ACGCTGTAAA	CGATGAATGC	TAGCCGTTGG
751	GGTGCATGCA	CCTCAGTGGC	GCCGCTAACG	CTTTAAGCAT	TCCGCCTGGG
801	GAGTACGGTC	GCAAGATTAA	AACTCAAAGG	AATTGACGGG	GGCCCGCACA
851	AGCGGTGGAG	CATGTGGTTT	AATTCGAAGC	AACGCGCAGA	ACCTTACCAT
901	CCCTTGACAT	GGCAGGCTAC	GTGGAGAGAT	TCACGGTTCC	CTTCGGGGAC
951	CTGCACACAG	${\tt GTGCTGCATG}$	GCTGTCGTCA	${\tt GCTCGTGTCG}$	TGAGATGTTG
1001	GGTTAAGTCC	CGCAACGAGC	GCAACCCTCG	CCCTTAGTTG	CCATCATTGA
1051	GTTGGGCACT	CTAGGGGGAC	TGCCGGTGAT	AAGCCGCGAG	GAAGGTGGGG
1101	ATGACGTCAA	GTCCTCATGG	CCCTTACGGG	ATGGGCTACA	CACGTGCTAC
1151	AATGGCGGTG	ACAATGGGAA	GCGAAGGGGC	GACCTGGAGC	AAATCCCCAA
1201	AAGCCGTCTC	AGTTCAGATT	GCACTCTGCA	ACTCGAGTGC	ATGAAGGCGG
1251	AATCGCTAGT	AATCGTGGAT	CAGCACGCCA	CGGTGAATAC	GTTCCCGGGC
1301	CTTGTACACA	CCGCCCGTCA	CACCATGGGA	GTTGGTCTTA	CCCGACGGCG
1351	CTGCGCCAAC	CGCGAGGGGG	CAGGCGACCA	CGGTAGGGTC	AGCGACTGGG
1401	GTGAAGTCGT	AACAAGGTAG	CCGTAGGGGA	ACCTGCGGCT	GGATC

### 165 ORS 2060

-	00 0					
	1	GAACGCTGGC	GGCAGGCTTA	ACACATGCAA	GTCGAGCGGG	CCCTGCGGGG
	51	TCAGCGGCAG	ACGGGTGAGT	AACGCGTGGG	AACGTGCCCT	TCGGTTCGGA
	101	ACAACCCTGG	GAAACTAGGG	CTAATACCGG	ATACGTCCGC	AAGGAGAAAG
	151	GCTTGACTGC	CGAAGGATCG	GCCCGCGTCT	GATTAGCTGG	TTGGTGGGGT
	201	AACGGCTCAC	CAAGGCGACG	ATCAGTAGCT	GGTCTGAGAG	GATGATCAGC
	251	CACACTGGGA	CTGAGACACG	GCCCAGACTC	CTACGGGAGG	CAGCAGTGGG
	301	GAATATTGGA	CAATGGGCGC	AAGCCTGATC	CAGCCATGCC	GCGTGAGTGA
	351	TGACGGCCTT	AGGGTTGTAA	AGCTCTTTTC	TTCGGGACGA	TAATGACGGT
	401	ACCGGAGGAA	TAAGCCCCGG	${\tt CTAACTTCGT}$	GCCAGCAGCC	GCGGTAATAC
	451	GAAGGGGGCT	AGCGTTGCTC	GGAATCACTG	GGCGTAAAGG	GCGCGTAGGC
	501	GGCTCGCCAA	GTCGGGGGTG	AAAGCCCGTG	GCTCAACCAC	GGAATGGCCT
	551	TCGATACTGG	CGGGCTTGAG	ACCGGAAGAG	GACAGCGGAA	CTGCGAGTGT
	601	AGAGGTGAAA	TTCGTAGATA	TTCGCAAGAA	CACCAGTGGC	GAAGGCGGCT
	651	GTCTGGTCCG	GTTCTGACGC	TGAGGCGCGA	AAGCGTGGGG	AGCAAACAGG
	701	ATTAGATACC	CTGGTAGTCC	ACGCTGTAAA	CGATGAATGC	TAGCCGTTGG
	751	GGTGCATGCA	CCTCAGTGGC	GCCGCTAACG	CTTTAAGCAT	TCCGCCTGGG
	801	GAGTACGGTC	GCAAGATTAA	AACTCAAAGG	AATTGACGGG	GGCCCGCACA
	851	AGCGGTGGAG	CATGTGGTTT	AATTCGAAGC	AACGCGCAGA	ACCTTACCAT
	901	CCCTTGACAT	GGCAGGCTAC	GTGGAGAGAT	TCACGGTTCC	CTTCGGGGAC
	951	CTGCACACAG	GTGCTGCATG	GCTGTCGTCA	GCTCGTGTCG	TGAGATGTTG
	1001	GGTTAAGTCC	CGCAACGAGC	GCAACCCTCG	CCCTTAGTTG	CCATCATTGA
	1051	GTTGGGCACT	CTAGGGGGAC	TGCCGGTGAT	AAGCCGCGAG	GAAGGTGGGG
	1101	ATGACGTCAA	GTCCTCATGG	CCCTTACGGG	ATGGGCTACA	CACGTGCTAC
	1151	AATGGCGGTG	ACAATGGGAA	GCGAAGGGGC	GACCTGGAGC	AAATCCCCAA
	1201	AAGCCGTCTC	AGTTCAGATT	GCACTCTGCA	ACTCGAGTGC	ATGAAGGCGG
	1251		AATCGTGGAT			
	1301		CCGCCCGTCA			
	1351	CTGCGCCAAC	CGCGAGGGG	CAGGCGACCA	CGGTAGGGTC	AGCGACTGGG
	1401	GTGAAGTCGT	AACAAGGTAG	CCGTAGGGGA	ACCTG	

enzymes de restriction *HaeIII*, *HinfI*, *Sau96I* et *MspI*. Le tableau 15 résume le polymorphisme des profils obtenus pour les 21 souches étudiées.

Chez les souches à croissance lente, les enzymes de restriction HaeIII et Sau96I ne permettent de faire aucune discrimination entre les souches de ce groupe. Par contre, les enzymes de restriction MspI et HinfI donnent trois types de profils différents, qui permettent d'obtenir cinq combinaisons de profils correspondant à cinq génotypes différents.

Pour les souches à croissance rapide, la digestion des produits d'amplification des 1500 paires de bases de l'ADNr 165 avec les quatre enzymes de restriction donne des profils identiques pour toutes les souches testées. Aucun polymorphisme des fragments de restriction n'a pu être mis en évidence, montrant l'homogénéité génétique de ce groupe de souches.

### II - 5 - Séquençage de l'ADNr 16S

L'ADNr 165 a été séquencé chez deux souches représentantes du groupe à croissance rapide (ORS 1924 et ORS 2060) et une souche représentante du groupe à croissance lente (ORS 1929). Les séquences obtenues font 1445 nucléotides pour ORS 1924 et 1435 nucléotides pour ORS 2060 (figure 16), ce qui correspond respectivement à 96,3% et 95,6% du gène de l'ARNr 165. La comparaison de ces deux séquences montre qu'elles sont identiques pour les 1435 nucléotides qui ont pu être alignés avec le logiciel ClustalX. Ce taux de similarité de 100% confirme les résultats SDS-PAGE et ARDRA précédents et démontre que les souches à croissance rapide appartiennent à la même espèce.

Par contre les séquences d'ADNr 165 de la souche rapide OR5 2060 et de la souche lente ORS 1929 ne présentent que 87,9% de similarité. Ce très fort taux de substitution de nucléotides montre que les groupes auxquels appartiennent ces deux souches constituent deux genres différents.

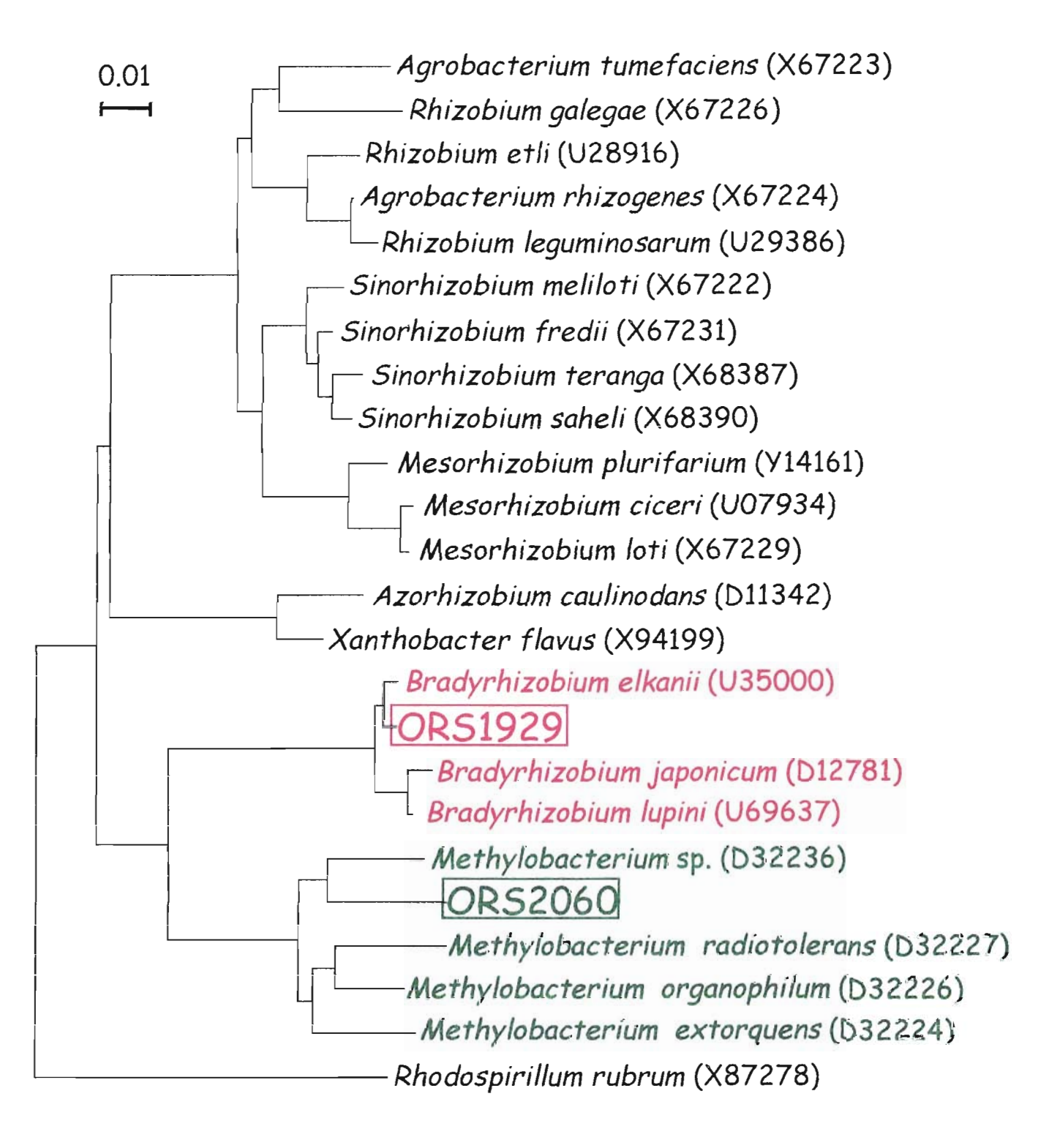


Figure 17. Positionnement des souches de crotalaires ORS 1929 et ORS 2060 sur l'arbre phylogénétique des rhizobia basé sur la comparaison des séquences du gène codant pour l'ARNr 16S.

### II - 6 - Analyse phylogénétique des séquences de l'ADNr 165

Une analyse phylogénétique a été effectuée à partir des séquences de l'ADNr 165 obtenues avec les souches ORS 2060 et ORS 1929, des séquences 165 des différentes espèces de rhizobiums, et des séquences présentant les plus fortes homologies déterminées par la procédure Blast (Altschul et al., 1990) à partir des séquences disponibles en banques de données. L'arbre phylogénétique obtenu par la méthode Neighbor-joining (figure 17) montre que la souche ORS 1929 appartient au groupe Bradyrhizobium, alors que la souche ORS 2060 occupe une position distincte des autres espèces de rhizobiums décrites jusqu'à ce jour. A notre grande surprise, elle s'associe au groupe des Methylobacterium dont aucune souche n'avait jusqu'à présent été décrite comme bactérie symbiotique fixatrice d'azote.

Il est à noter que deux souches de rhizobium 4-46 et 4-144 isolées de Lotononis bainesii par (Norris, 1988) et qui avaient été étudiées au laboratoire pour leur capacité à produire des pigments photosynthétiques, occupent le même positionnement phylogénétique. Rappelons que le genre Lotononis est très proche du genre Crotalaria avec lequel il partage la même tribu des Crotalarieae au même titre que le genre Aspalathus.

Pour déterminer les relations phylogénétiques entre la souche représentative ORS 2060, les souches 4-46 et 4-144 et les espèces Methylobacterium, nous avons construit une matrice de distance en utilisant les séquences disponibles des différentes espèces de Methylobacterium (M. extorquens, M. rhodesianum, M. zatmanii, M. rhodinum, M. mesophilicum, M. fujisawaense, M. radiotolerans et M. organophilum); ainsi que celles des souches de Methylobacterium sp. qui présentent les plus fortes homologies (tableau 16).

Tableau 16. Matrice de distances des séquences 165 rDNA des différents isolats et les espèces de Methylobacterium.

	Pourcentages de différence entre les séquences 165 rDNA																						
Espè	ces/Souches	1	2	3	4	5	6	7	8	9	10	11		13		•				19	20	21	22
	ORS 2060	0,00	2,82	5,48	5,84	5,56	5,63	5,84	5,76	5,77	6,06	6,62	6,06	6,04	6,13	6,20	6,32	6,22	6,35	6,28	4,84	 7,49	8,57
	4-46			6,06																			
	M. extorquens							-	1,28	-			•		-								
	M. rhodesianun	7			0,00	0,92	1,42	1,56	1,63	2,70	5,48	5,47	5,58	5,27	5,55	5,55	5,98	5,64	6,26	4,13	5,19	6,12	9,0
	M. sp. GK 101					0,00	1,07	1,00	1,28	2,35	5,20	5,19	5,20	5,12	5,27	5,27	5,69	5,36	5,84	3,27	4,48	5,27	8,69
	M. sp. GK 118						0,00	1,42	0,92	2,84	5,41	5,40	5,48	5,27	5,55	5,48	5,91	5,57	5,98	3,56	4,83	5,41	8,90
	M. zatmanii							0,00	1,56	2,49	5,62	5,61	5,55	5,34	5,62	5,69	6,12	5,79	6,33	3,99	4,98	5,91	8,7
	M. sp. APW								0,00	2,91	5,91	5,90	5,69	5,56	5,77	5,84	6,33	5,93	6,26	4,06	5,19	5,77	9,15
	M. rhodinum									0,00	4,84	4,26	4,34	4,27	4,41	4,56	4,98	4,79	6,41	3,91	4,90	5,69	8,5
)	M. mesophilicui	n									0,00								4,13				
	M. sp. F18											0,00	-	•	-				4,48				
	M. sp. F05												0,00	•	•			-	3,56				
3	M. fujisawaens	e												0,00					3,63				
ŀ	M. sp. F15														0,00				3,49				
5	M. sp. F73															0,00			3,21				
•	M. sp.																0,00	•	3,70				
7	M. radiotolera	15																0,00	3,86				
3	M. sp. F42																		0,00			5,70	
}	M. organophilui	n																		0,00		4,06	
)	M. sp. F48																				0,00	3,84	
1	M. sp. F37																					0,00	
2	Afipia genosp.	7																					0,00

ПТ.

En prenant en compte l'ensemble des séquences analysées, le pourcentage de similarité des séquences avec la souche ORS 2060 varie entre 92,51% avec Methylobacterium sp. F37 et 97,18% avec la souches 4-46 (CB376) de Lotononis bainesii. Ces valeurs sont relativement plus élevées si on compare les huit espèces de Methylobacterium entre elles. Elles vont de 94,21% entre Methylobacterium zatmanii et Methylobacterium radiotolerans à 99,36% entre Methylobacterium extorquens et Methylobacterium rhodesianum. Les pourcentages de similarité entre ORS 2060 et les différentes espèces de Methylobacterium s'étalent entre 93,72% avec Methylobacterium organophilum et 94,52% avec Methylobacterium extorquens. Les plus proches voisins de la souche ORS 2060 étant la souche de Lotononis 4-46, Methylobacterium sp. F48 et Methylobacterium extorquens avec respectivement 97,18%, 95,16% et 94,52% de similarité de séquences.

L'arbre phylogénétique construit à partir de la matrice de distance est représenté par la figure 18. Les différentes souches et espèces de Methylobacterium se répartissent en trois clusters I, II et III. Les espèces connues de Methylobacterium se retrouvent dans deux de ces clusters. L'un d'eux (Cluster I) renferme les espèces M. extorquens, M. rhodesianum, M. zatmanii, M. rhodinum et M. organophilum alors que dans le cluster II, on retrouve M. fujisawaense, M. radiotolerans et M. mesophilicum. Le dernier cluster est composé par ORS 2060, la souche de Lotononis 4-46 et la souche de Methylobacterium sp. F48 isolée de l'air par Hiraishi et al. (1995).

En plus des cinq espèces connues de Methylobacterium, le cluster I contient les deux souches de Methylobacterium sp. très résistantes au chlore GK 101 et GK 118 ainsi que Methylobacterium sp. APW. Dans le cluster II également on retrouve six souches de Methylobacterium sp. dont les trois souches (F05, F15 et F18) sont résistantes au chlore.

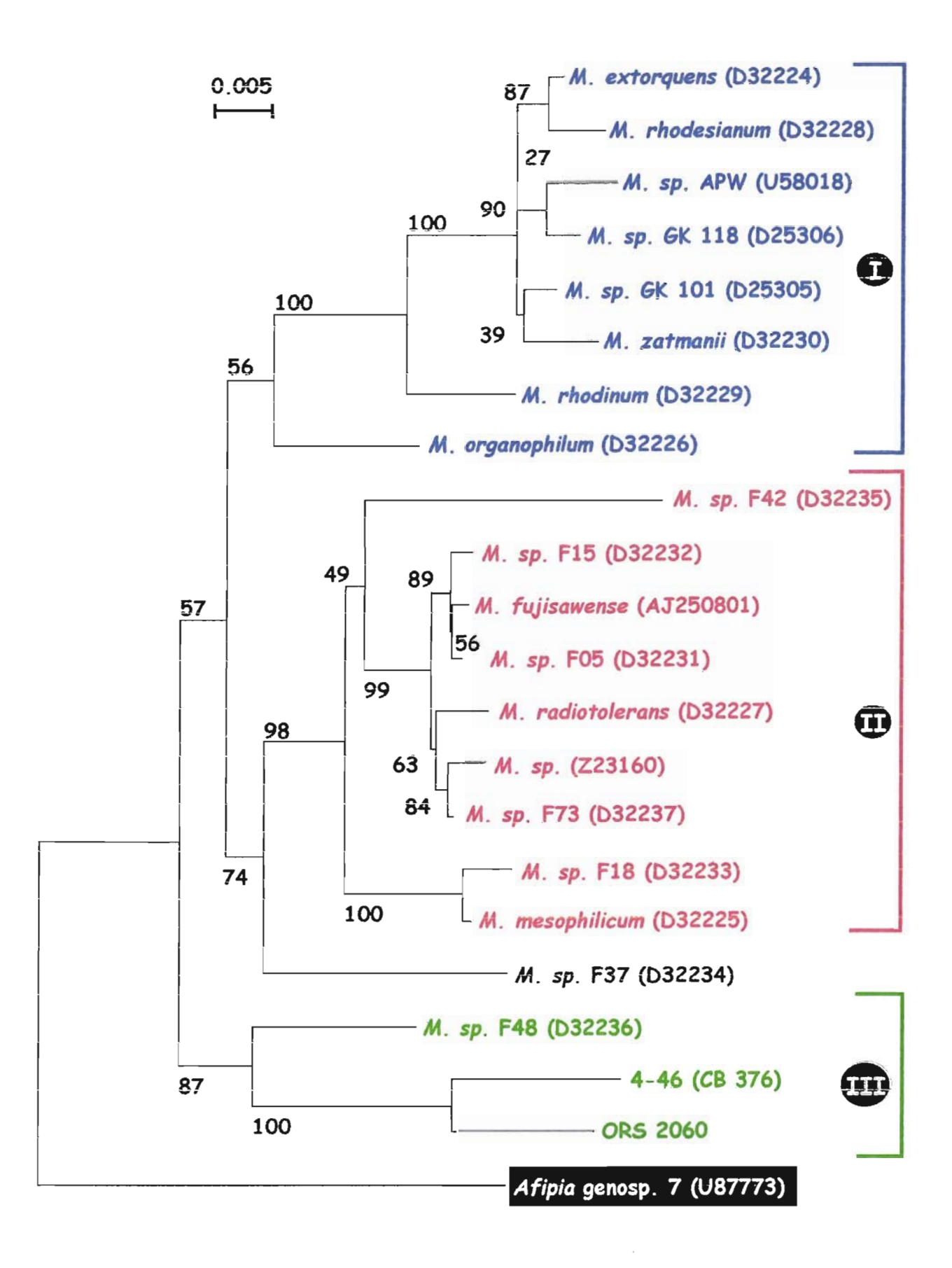


Figure 18. Arbre Phylogénétique basé sur les séquences du gène de l'ADNr 165 de la souche ORS 2060 et des différentes espèces de *Methylobacterium*.

### II - 7 - Etude du polymorphisme du gène nodA

### II - 7 - 1 - Amplification du gène nodA

Le gène nodA a été choisi dans cette étude car il est commun à l'ensemble des rhizobiums et constitue aussi un bon marqueur moléculaire symbiotique (Boivin et Giraud, 1999). Les amorces utilisées pour l'amplification du gène nodA ont été définies à partir de régions conservées déterminées après un alignement des séquences de gènes nodA disponibles sur Genbank. Le couple d'amorces dégénérées nodAfbrady (GTY-CAG-TGG-AGS-STK-CGC-TGG-G) et nodArbrady (TCA-CAR-CTC-KGG-CCC-GTT-CCG) donne pour l'ensemble des 21 souches représentatives, un unique produit d'amplification de la taille attendue de l'ordre de 580 pb.

# II - 7 - 2 - Digestion des produits d'Amplification du gène nodA

Les produits d'amplification obtenus ont été digérés par les quatre enzymes de restriction *HaeIII*, *HinfI*, *Sau96I* et *MspI* pour étudier le polymorphisme au niveau de ce gène. Le tableau 17 résume le polymorphisme des profils obtenus pour les 21 souches étudiées.

Chez les souches à croissance lente, le degré de discrimination est variable suivant l'enzyme de restriction. Ce sont les enzymes HaeIII et Sau96I qui sont les plus discriminantes puisqu'on obtient 6 types de profils avec chacune d'elles. Les enzymes HinfI et MspI donnent respectivement 5 et 3 types de profils. Il est à noter que pour chaque souche testée, une combinaison unique peut être trouvée ce qui montre le fort polymorphisme de ce gène parmi les souches de ce groupe.

Tableau 17. Récapitulatif des différents types de profils de restriction du gène *nodA* obtenus avec les quatre enzymes *HaeIII*, *MspI*, *HinfI* et *Sau96I*.

Souches	En					
	HaeIII	HaeIII HinfI Mspl				
Souches à	croissance ro	apide				
ORS 1917	Α	В	С	D		
ORS 1924	Α	В	C	D		
ORS 1928	Α	В	C	D		
ORS 1937	Α	В	С	D		
ORS 1991	Α	В	С	D		
ORS 2026	Α	В	С	D		
ORS 2030	Α	В	D			
ORS 2045	Α	В	D			
ORS 2060	Α	В	С	D		
ORS 2076	Α	В	С	D		
ORS 2092	Α	В	С	D		
Souches à	croissance le	nte				
ORS 1810	A1	В1	<i>C</i> 1	D1		
ORS 1813	A2	B2	<i>C</i> 2	D2		
ORS 1816	A3	В3	<i>C</i> 3	D3		
ORS 1865	A4	В3	C1	D4		
ORS 1929	<i>A</i> 5	B4 <i>C</i> 1		D5		
ORS 2080	<b>A</b> 5	B4 <i>C</i> 1		D1		
ORS 2088	<b>A</b> 6	B5	<i>C</i> 1	D1		
ORS 2077	<b>A</b> 5	B4	<i>C</i> 1	D1		
ORS 2105	<b>A</b> 5	B4	<i>C</i> 1	D6		
ORS 2108	A2	B2	C1	D2		

Pour les souches à croissance rapide, aucun polymorphisme des fragments de restriction n'a pu être mis en évidence quelle que soit l'enzyme utilisée. Cette homogénéité confirme le résultat précédemment observé au niveau de l'analyse de la variabilité de l'ADNr 16S, c'est-à-dire la très forte homogénéité de ce groupe de souches.

### II - 8 - Analyse phylogénétique du gène nodA

Les gènes nodA d'une dizaine de souches de Crotalaria représentant les deux groupes de souches à croissance lente et rapide ainsi que les deux souches de Lotononis (4-46 et 4-144) ont été séquencés. Les séquences nucléiques des différentes souches ont été alignées suivant le groupe auquel elles appartiennent à l'aide du logiciel ClustalX (Annexes 1, 2 et 3).

Les cinq souches à croissance rapide (ORS 1924, ORS 1928, ORS 1991, ORS 2030 et ORS 2060) montrent une très forte homologie de séquences. Quatre des cinq séquences sont identiques, et la cinquième séquence (ORS 1991), comporte trois substitutions de nucléotides sur les 560 alignés.

Contrairement aux souches à croissance rapide, on note un nombre important de substitutions de nucléotides chez les quatre séquences des souches à croissance lente (ORS 1810, ORS 1816, ORS 1929 et ORS 2077).

En ce qui concerne le gène *nodA* des deux souches de *Lotononis*, celui-ci apparaît identique à 100% pour les deux souches et se rapproche phylogénétiquement des souches à croissance rapide.

Les séquences nodA de toutes ces souches, ainsi que celles de plusieurs espèces représentant les différents genres de rhizobiums (Rhizobium, Azorhizobium, Sinorhizobium, Mesorhizobium et Bradyrhizobium) ont été traduites en acides aminés à l'aide du logiciel DNA Strider 1.2, alignées à l'aide



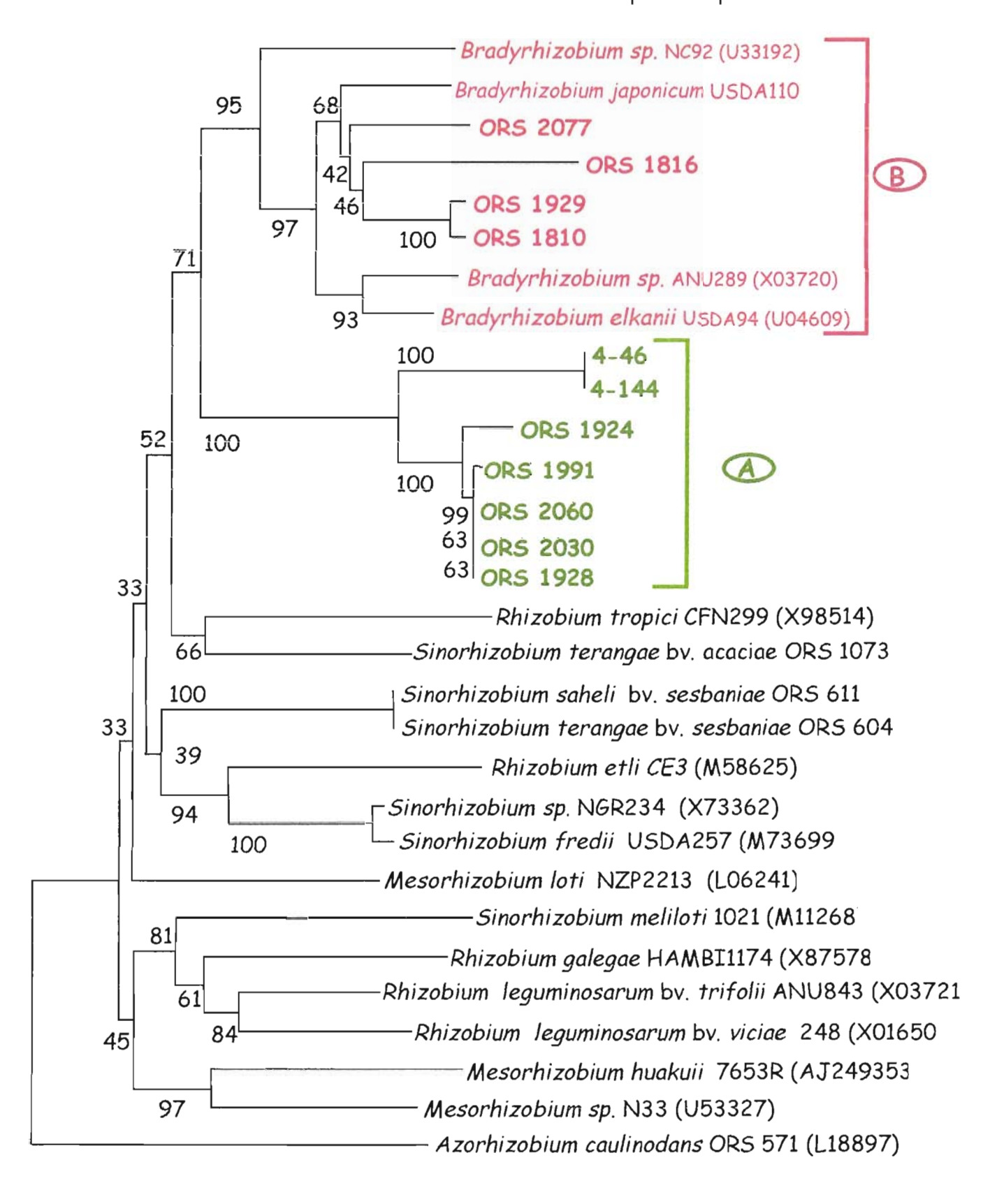


Figure 19. Arbre phylogénétique basé sur les séquences protéiques des gènes nodA.

de ClustalX, puis un arbre phylogénétique basé sur cet alignement de séquences protéiques a été construit en utilisant les logiciels ClustalX et Njplot. L'arbre phylogénétique obtenu (figure 19) montre que les souches de *Crotalaria* sont regroupées en deux clusters différents.

L'un des cluster (A) contient la totalité des souches à croissance rapide ainsi que les deux souches de Lotononis (4-46 et 4-144) mais aucune souche de rhizobium de référence. La solidité de ce cluster est confirmée par une valeur de boostrap de 100%. A l'intérieur de ce cluster, les souches 4-46 et 4-144 se regroupent en un sous-cluster monophylétique (bootstrap 100%), de même que les cinq souches à croissance rapide.

Le deuxième cluster (B) (bootstrap 97%), renferme les quatre souches à croissance lente ainsi que *Bradyrhizobium japonicum* (USDA 110), *Bradyrhizobium elkanii* (USDA 94), *Bradyrhizobium sp.* NC92 et *Bradyrhizobium sp.* ANU 289. Dans ce cluster beaucoup moins homogène (Valeurs internes de bootstrap moins élevées), les deux souches ORS 1810 et ORS 1929 se regroupent en un sous-cluster (bootstrap 99,9%).

Il est à noter que ces deux clusters (A) et (B) restent tout de même proches l'un de l'autre et appartiennent à la même branche phylogénétique.

## II - 9 - Etude de l'organisation des gènes de nodulation

# II - 9 - 1 - Banque d'ADN génomique d'ORS 2060 et sélection des clones nod

Pour étudier l'organisation des gènes de nodulation, nous avons tout d'abord construit une banque d'ADN génomique de la souche modèle ORS 2060 (voir matériel et méthodes). La banque d'ADN génomique ainsi obtenue contient 2016 clones répartis dans 21 microplagues de 96 clones chacune.

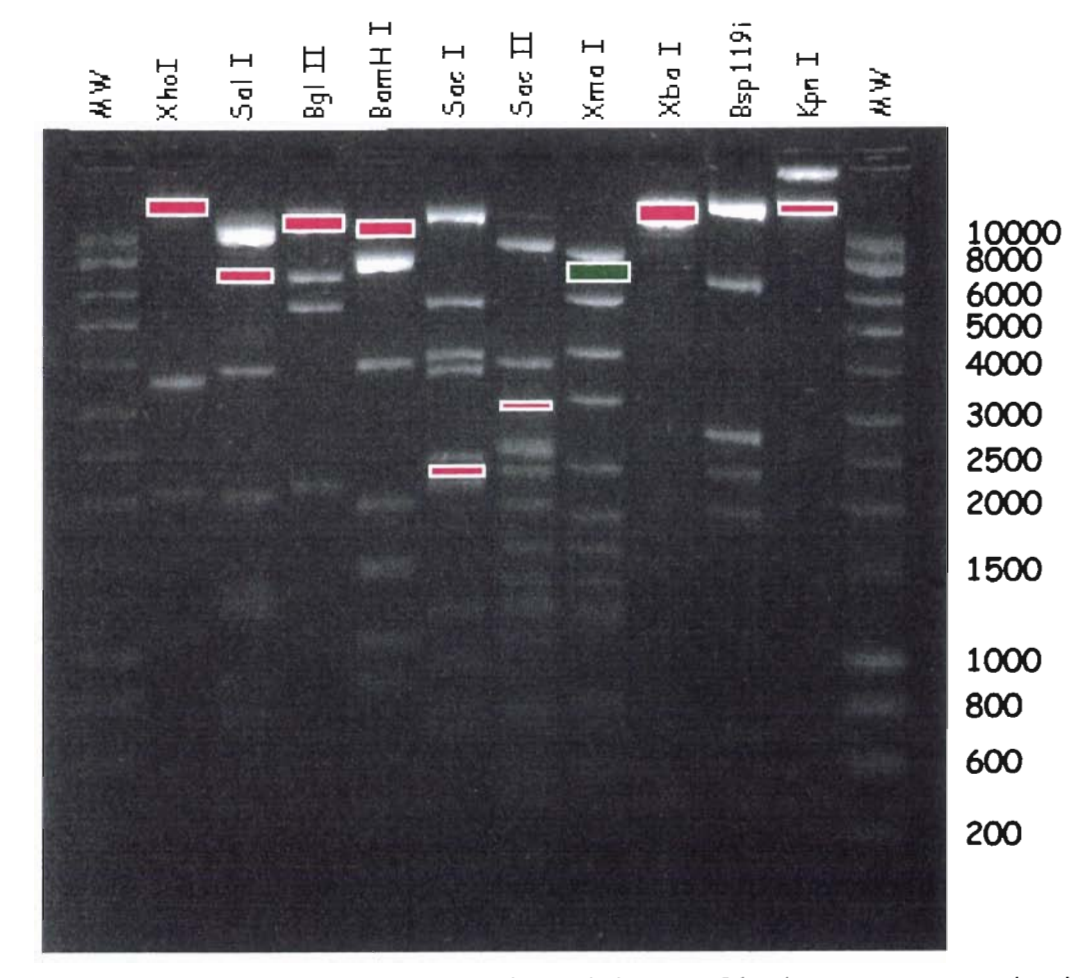


Figure 20A. Hybridation avec une sonde nod des profils de restrictions du clone nod 4-6-6 ou STM 223.

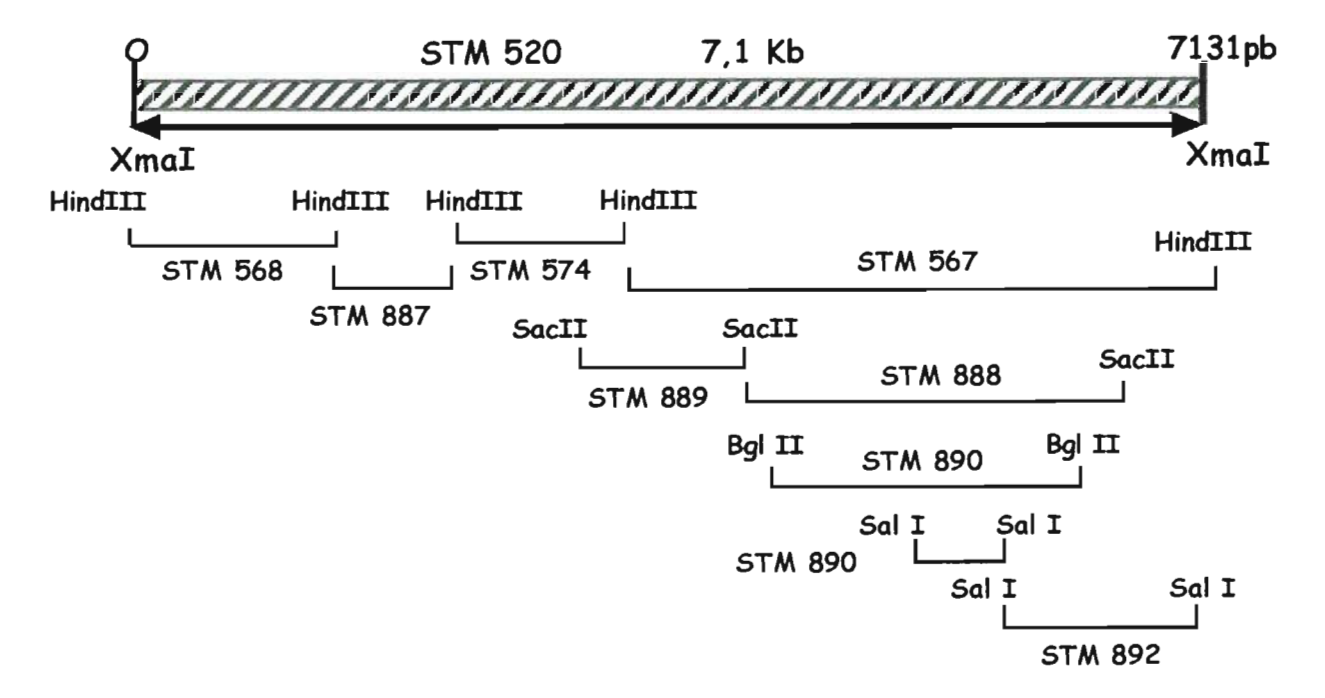


Figure 20B. Clonage des gènes de nodulation de la souche ORS 2060 a partir du clone nod STM 520 (fragment XmaI de 7Kb du clone STM 223 SuperCos cloné dans PUC 18).

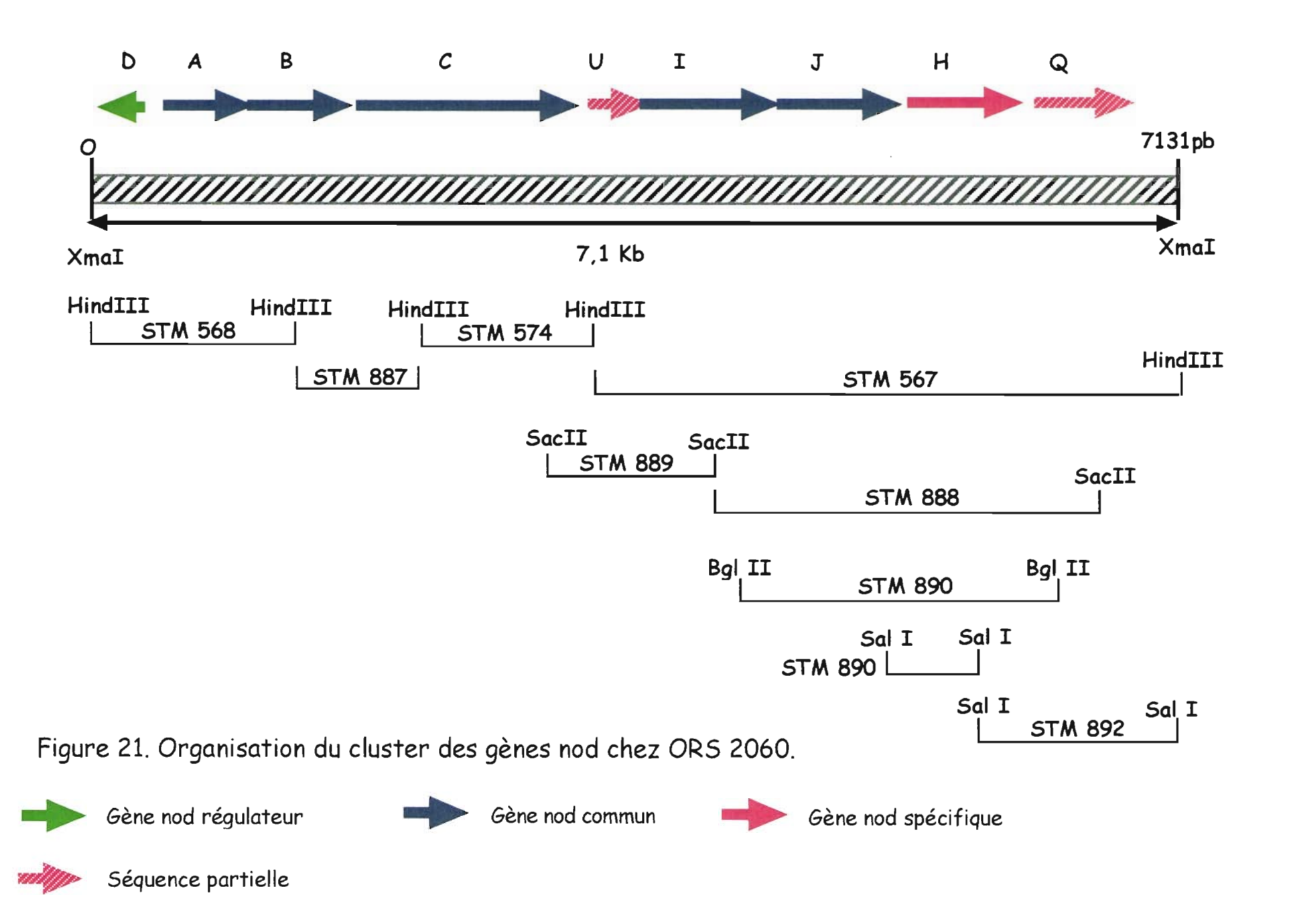
Le screening par PCR en utilisant les amorces nodAfbrady et nodArbrady a permis de sélectionner cinq clones (STM 220, STM 221, STM 222, STM 223 et STM 224) contenant les gènes de nodulation. Le clone STM 223 a été retenu pour la suite de cette étude.

#### II - 9 - 2 - Sous-Clonage et séquençage des gènes de nodulation

Le clone STM 223 contient un insert d'environ 35 kb, ce qui représente une taille trop importante pour être séquencé au niveau du laboratoire. Afin de restreindre cette région à celle contenant uniquement les gènes nod communs et à la région proche environnante, un sous-clonage a été réalisé. Pour cela l'ADN plasmidique du clone STM 223 a été digéré par une série d'enzymes de restriction, transféré sur membrane de nylon puis hybridé avec une sonde nodA. L'hybridation (figure 20a) met en évidence des fragments de taille différente s'hybridant avec le gène nodA.

Le fragment XmaI de 7kb a été choisi pour le séquençage des gènes nod après clonage dans PUC18 (STM 520). Afin de séquencer entièrement ce fragment, celui-ci a été à son tour digéré par différentes enzymes et les différents fragments obtenus clonés dans du PUC18 (figure 20b). Les extrémités de ces inserts ont été séquencés à l'aide des amorces universelles M13F et M13R-48. Par ailleurs des primers ont été définis pour compléter le séquençage.

Au total, une séquence de 7131 paires de bases a été obtenue après l'assemblage des séquences de tous les sous-clones (Annexe 4). Cette séquence comporte neuf phases ouvertes de lecture (ORFs) qui d'après leur taux d'homologie correspondent dans l'ordre aux gènes de nodulation nodA, nodB, nodC, nodU, nodI, nodH, nodQ (figure 21). Ces gènes sont tous transcrits dans le même sens à l'exception du gène nod régulateur nodD qui est transcrit en sens inverse. Les séquences des gènes nodU et nodQ sont



partielles tout comme le gène nod D dont le fragment XmaI ne contient que les 262 premiers nucléotides. L'ensemble des gènes nodABCUIJHQ semble constituer un seul opéron avec une distance entre les différentes ORFs qui varie de 26 nucléotides entre nodB et nodC à 76 nucléotides entre nodH et nodQ. Elle est de 68 nucléotides entre nodC et nodU et 67 nucléotides entre nodJ et nodH. Les gènes nodU et nodI se chevauchent sur 33 nucléotides de même que le codon stop du gène nodA et le codon start du gène nodB. Quant au gène nodJ, il suit immédiatement en amont du gène nodI. A 158 nucléotides en aval de ce cluster de gènes, se trouve le gène régulateur nodD.

### II - 10 - Analyse phylogénétique des séquences ITS de Crotalaires

Chez les plantes supérieures, la phylogénie a été surtout abordée par l'analyse des séquences du génome chloroplastique (Olmstead et Sweere, 1994) et particulièrement par intermédiaire du gène chloroplastique *rbc* L codant pour la rubisco (ribulose 1,5-biphosphate carboxylase oxygénase). C'est ainsi que particulièrement chez la plupart des légumineuses, de nombreuses corrélations taxonomiques ont pu être établies sur la base de l'analyse de la séquence du gène chloroplastique (Doyle *et al.*, 1997; Käss et Wink, 1997).

Actuellement, la phylogénie des plantes utilisant les séquences du génome nucléaire est fondée principalement sur la région Internal Trascribed Spacer (ITS) localisée entre le régions 185 et 265 de l'ADN ribosomal. L'ITS a déjà été utilisé avec succès dans l'analyse de divers groupes de plantes (Baldwin, 1995; Sanderson et Liston, 1995) à cause de sa grande variabilité contrairement au gènes 185 et 265 plus conservés (Hamby et Zimmer, 1992). De nombreuses caractéristiques (Baldwin et al., 1995) ont conduit à promouvoir l'utilisation de cette région dans les reconstitutions phylogénétiques telles que : la petite taille du fragment, une rapide évolution concertée des gènes et l'existence de

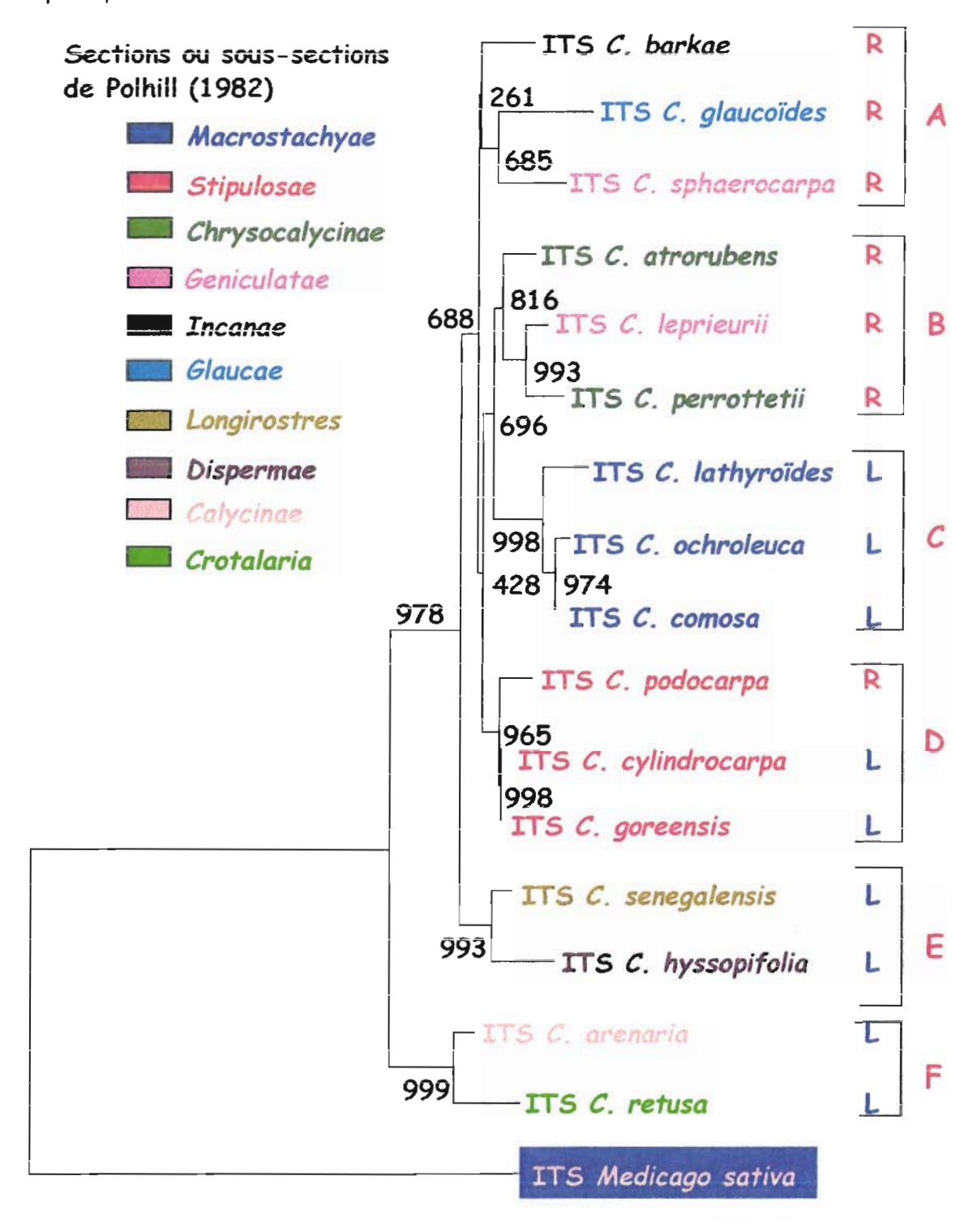


Figure 22. Arbre phylogénétique des séquences ITS de 16 espèces de crotalaires. R et L représentent les groupes de souches auxquels sont associées les espèces ; R pour les souches à croissance rapide et L pour les souches à croissance lente.

séquences flanquantes hautement conservées idéales pour la détermination des amorces.

Afin de déterminer s'il existe une corrélation entre l'analyse phylogénétique effectuée sur la base des séquences ITS et les deux groupes d'inoculation croisés que nous avons définis, nous avons envisagé de séquencer directement le fragment ITS de 16 espèces de crotalaires choisies parmi les 8 sections définies par Polhill (1982) sur la base des critères morphologiques.

Les amorces NNC18510 et C26A ont permis d'amplifier un fragment unique d'environ 694 pb de la région ITS (Internal Transcribed Spacer). Les fragments amplifiés ont tous été séquencés, et les séquences alignées en utilisant le programme Pileup de G. C. G. (Devereux et al., 1984) voir annexe 5.

L'analyse de cet alignement de séquences a permis de mettre en évidence sur chacune des séquences, trois parties distinctes. On distingue ainsi la région 5,85 de la position 297 à la position 455 pb où aucun polymorphisme n'est observé, et deux autres régions avec des zones variables.

La première région ou ITS1 de la position 40 à la position 296 pb comporte une zone variable entre les positions 90 et 170 pb. Dans la deuxième région ou ITS2 qui va de la position 455 à la position 694 pb, on distingue deux zones variables de 465 à 502 pb et de 570 à 655 pb.

L'arbre phylogénétique construit à partir de ces données par la méthode Neighbor-joining est représenté par la figure 22. La séquence ITS de la légumineuse modèle *Medicago sativa* à été utilisée pour l'enracinement de l'arbre. Les différentes espèces de crotalaires se regroupent en six clusters distincts A, B, C, D, E et F.

Les clusters C et D correspondent respectivement aux sous-sections des Macrostachyae et des Stipulosae, subdivisions exclusivement basées sur des critères morphologiques proposées par Polhill (1982).

Le cluster B renferme en plus des deux représentants de la sous-section des *Chrysocalycinae* (*C. atrorubens et C. perrottetii*), *C. leprieurii* qui appartient à la sous-section des *Geniculatae*.

Le second représentant de la sous-section des Geniculatae, C. sphaerocarpa, se retrouve dans le cluster A en compagnie des deux espèces C. glaucoides et C. barkae appartenant à deux sous-sections différentes (Incanae et Glaucae). Au même titre que la cluster A, les deux clusters E et F sont composés par des espèces issues de sous-sections différents avec des valeurs élevées de bootstrap.

Les clusters A et B sont uniquement nodulés par des souches à croissance rapide alors que les autres clusters sont uniquement nodulés par des souches à croissance lente à l'exception du cluster D qui est nodulé par les deux types de souches.

#### III - DISCUSSION

#### III - 1 - Spécificité de nodulation chez les crotalaires

Dans cette étude, nous avons constitué une collection de souches de Crotalaria. Ces isolats comprennent à la fois des souches à croissance rapide et des souches à croissance lente. Les souches à croissance rapide sont exclusivement isolées de C. podocarpa, C. glaucoides et C. perrottetii alors que les souches à croissance lente proviennent des six espèces C. comosa, C. goreensis, C. hyssopifolia, C. lathyroides, C. ochroleuca et C. retusa.

Les tests d'inoculation montrent pour la première fois que les crotalaires sont associées à deux types de rhizobiums. Ils révèlent également l'existence d'une spécificité d'hôte chez les crotalaires contrairement aux études précédentes qui les considéraient comme des légumineuses non spécifiques (Date, 1976 ; Giller et Wilson, 1991 ; Gao et al., 1994). Les souches de Crotalaria étudiées jusqu à présent ont été toutes classées dans le groupe Bradyrhizobium (Gao et al., 1994 ; Van Rossum et al., 1995 ; Doignon-Bourcier et al., 1999a). Nos résultats, confirment d'une part, l'association Crotalaria-Bradyrhizobium et d'autre part ils mettent en évidence l'existence de souches spécifiques à certaines espèces de Crotalaria (C. podocarpa, C. perrottetii et C. glaucoides). Ces souches qui sont différentes de tous les rhizobiums connus constituent certainement une nouvelle espèce de rhizobiums.

### III - 2 - Methylobacterium, un nouveau genre symbiotique

Les techniques d'analyse SDS-PAGE et ARDRA (Doignon-Bourcier et al., 1999b) montrent que les souches à croissance lente appartiennent aux clusters C et D de Bradyrhizobium japonicum et Bradyrhizobium elkanii (Molouba et al., 1999). Par contre les souches à croissance rapide qui présentent une très forte homogénéité (Pas de polymorphisme observé au niveau des gènes nodA et 165) sont distinctes des trois principales branches phylogénétiques contenant toutes les espèces de rhizobiums connues. De façon surprenante, ces symbiotes spécifiques des crotalaires se retrouvent dans le groupe des Methylobacterium.

Jusqu'à présent les espèces de rhizobiums décrites appartenaient à trois branches phylogénétiques distinctes de la sous-classe  $\alpha$ -2 des protéobactéries. Une première grande branche regroupe les genres *Rhizobium*, *Sinorhizobium*, *Mesorhizobium* et *Allorhizobium* avec le genre *Agrobacterium*, bactérie pathogène des plantes. La deuxième branche contient les genres *Bradyrhizobium* et *Rhodopseudomonas* alors que la troisième branche comporte les genres

Azorhizobium et Xanthobacter. La mise en évidence d'une nouvelle branche de phylogénétique constituée par les bactéries du genre Methylobacterium confirme et élargie le statut polyphylétique des rhizobiums (Young et Haukka, 1996).

Les pourcentages de similarité des séquences avec les différentes espèces décrites de Methylobacterium varient entre 93,72% (Methylobacterium organophilum) et 94,52% (Methylobacterium extorquens). Ces valeurs sont comparables aux valeurs trouvées pour les différentes espèces de Methylobacterium pour lesquelles elles varient entre 93,8% et 99,6% (Hiaraishi et al., 1995) ou entre 94,8% et 99,36% dans le cas de nos propres alignement de séquences. Ceci démontre que les souches spécifiques de crotalaires appartiennent phylogénétiquement au genre Methylobacterium dont elle constituent une nouvelle espèce pour laquelle nous avons proposé le nom "Methylobacterium nodulans".

Les bactéries du genre Methylobacterium décrites jusqu'à présent sont en majeure partie isolées de l'eau ou de la microflore foliaire et sont connues dans la littérature comme étant des PPFM (Pink-Pigmented Facultatively Methylotrophic Bacteria) (Holland, 1997). Par contre ORS 2060 ainsi que le reste des souches spécifiques de crotalaires, ne sont pas pigmentées, et la souche représentative ORS 2060 ne présente pas de pic d'absorption spécifique de la bactériochlorophylle à 766 nm. L'absence de bactériochlorophylle pourrait être due à leur adaptation à la vie dans le sol et les nodules plutôt que dans l'eau ou la phyllosphère.

Par contre les deux souches de *Lotononis bainesii*, 4-46 et 4-144 sont photosynthétiques (Fleischman et Kramer, 1998) et présentent un aspect phénotypique similaire aux différentes espèces de *Methylobacterium* connus. En

effet, comme l'ensemble des *Methylobacterium*, ces deux souches ont des colonies pigmentées en rose.

L'association des *Methylobacterium* avec les plantes a été mise en évidence par plusieurs travaux (Austin *et al.*, 1978 ; Yoshimura, 1982 ; Corpe et Basile, 1982). Des PPFM ont été isolés sur plus de cent espèces de plantes, allant des mousses aux angiospermes ainsi qu'aux gymnospermes (Holland, 1997). Selon ce dernier auteur, il n'existe pas de plantes non colonisées par ces PPFM, et cette relation avec les plantes est très ancienne.

D'après Corpe et Rheem, (1989) c'est la méthylotrophie des PPFM qui est responsable du maintien de leur relation avec les plantes. En effet, ils ont montré que la cuticule des feuilles du trèfle blanc contient des quantités substantielles de méthanol, surtout pendant la phase de croissance de la plante, méthanol qui serait issu la dégradation des pectines. En utilisant ce substrat toxique pour les tissus de la plante, les PPFM occupent dans l'environnement foliaire une niche accessible par très peu de microorganismes.

Malgré leur étroite relation avec les plantes, aucune symbiose fixatrice d'azote avec les légumineuses n'avait jusqu'à présent été démontré. Cependant, Basile et al., (1969) et Bridges, (1976) ont montré que les PPFM peuvent stimuler la croissance des plantes et que le facteur stimulant de la croissance était diffusible et ne nécessitait pas un contact avec la plante. En outre il a été démontré que les PPFM interviennent dans le métabolisme des plantes, notamment celui de l'azote, ainsi que dans la germination des graines (Holland, 1997).

### III - 3 - Liens phylogénétiques des gènes de nodulation

Contrairement à l'ensemble des PPFM et particulièrement aux espèces de Methylobacterium décrites jusqu'à présent, les souches qui font l'objet de cette étude établissent une véritable symbiose fixatrice d'azote avec les légumineuses du genre *Crotalaria*.

L'étude phylogénétique des séquences du gène de nodulation nodA incluant la presque totalité des espèces de rhizobiums montre que les gènes nodA des souches à croissance lente se répartissent dans le même cluster que Bradyrhizobium japonicum et Bradyrhizobium elkanii ainsi d'autres souches de Bradyrhizobium sp. Ce résultat est en accord avec la phylogénie 165 qui place la souche représentative ORS 1929 dans le groupe des Bradyrhizobium. Il est également comparable aux résultats de l'analyse ARDRA (Doignon-Bourcier et al., 1999b) pour laquelle, elles se retrouvent dans les clusters B et C correspondant respectivement à Bradyrhizobium japonicum et Bradyrhizobium elkanii (Molouba et al. 1999).

Le deuxième cluster des gènes nodA regroupe essentiellement ceux des souches à croissance rapide de crotalaires. Ce cluster inclus aussi les deux souches 4-46 et 4-144 dont la plante hôte, Lotononis bainesii appartient à la même tribu que les crotalaires (Crotalarieae) (Polhill et Raven, 1978; Käss et Wink, 1997). Ces deux souches ont par ailleurs des séquences 165 proches des souches à croissance rapide.

La similarité de séquences entre la protéine NodA de la souche ORS 2060 avec les séquences disponibles en banques varie de 53,06% avec *Azorhizobium caulinodans* à 74,11% avec *Bradyrhizobium elkanii* USDA 94. Cette similarité plus forte avec les protéines NodA des *Bradyrhizobium* ainsi que l'analyse phylogénétique semblent indiquer que ces gènes auraient dérivé des gènes *nodA* des *Bradyrhizobium*.

### III -4 - Organisation des gènes de nodulation Chez "M. nodulans"

Les gènes nodA, nodB et nodC observés chez tous les rhizobiums ainsi que les gènes nodI et nodJ sont également tous présents chez ORS 2060 "Methylobacterium nodulans". Le séquençage du fragment XmaI de 7kb contenant quelques gènes de nodulation a cependant mis en évidence une organisation un peu particulière des gènes de nodulation chez ORS 2060.

Généralement chez les rhizobiums, en aval du gène nodC dans le même opéron, on trouve d'autres gènes de nodulation. Les gènes communément observés sont nodI et nodJ présents chez plusieurs espèces de rhizobiums et les gènes nodS et nodU que l'on rencontre chez Bradyrhizobium japonicum, Azorhizobium caulinodans, Sinorhizobium fredii et Sinorhizobium sp. NGR 234. Cependant, chez S. fredii, M. loti et la souche NGR 234, les gènes nodS et nodU sont dans des opérons différents. Les gènes nodI et nodJ tout comme les gènes nodS et nodU sont toujours en couple avec les gènes nodJ et nodU toujours respectivement en aval de nodI et nodS. Chez "Methylobacterium nodulans" ORS 2060, on observe la même organisation pour les gènes nodI et nodJ. Par contre les gènes nodS est absent en amont du gène nodU et d'autre part ce dernier ne paraît pas entier en comparaison avec les autres gènes nodU. Seuls les 373 premiers nucléotides du gène sur environ 580 sont présents dans l'orf ce qui pose la question de la fonctionnalité d'un tel gène.

Chez "Methylobacterium nodulans" ORS 2060, en aval du gène nodJ se trouvent dans le même opéron les gènes nodH et nodQ. Ces deux gènes font partie des gènes de spécificité d'hôte qu'on ne rencontre que chez certaines espèces. Chez Sinorhizobium meliloti, les gènes nodFEGPQ et nodH sont organisés en en deux opérons (Horvàth et al., 1986). Les gènes nodP et nodQ toujours en couple et avec le gène nodH ont été également identifiés chez Rhizobium tropici et Rhizobium sp. BR816 (Van Rhijn et al., 1993, 1996).

Contrairement à ces deux espèces, chez ORS 2060 le gène nodQ n'est pas associé au gène nodP. Tout comme le gène nodU, ce gène est également partiel, seuls les 632 derniers nucléotides sur environ 1900 sont présents dans l'orf. Le gène régulateur nodD dont seuls les 262 premiers nucléotides ont été séquencés, est transcrit en sens inverse des autres gènes comme c'est le cas chez tous les rhizobiums.

Comme pour la plupart des gènes bactériens, les orfs des gènes de nodulation chez ORS 2060 commencent par un codon ATG (nodI, nodI, nodH, nodQ et nodU) à l'exception des gènes nodA, nodB et nodC qui commencent respectivement par CTG, GTG et TTG. Ce type non usuel de codons start a déjà été décrit les rhizobiums : GTT chez nodS de Mesorhirobium loti, TTG chez nodT de Rhizobium leguminosarum bv. viciae et nodD d'Azorhizobium caulinodans (Schlaman et al., 1998). La présence de séquences de Shine et Dalgarno juste en amont des orfs montre que ces gènes sont fonctionnels.

Cette étude de l'organisation des gènes de nodulation chez "Methylobacterium nodulans" ORS 2060 a mis en évidence le cas particulier des gènes nodU et nodQ. Ces deux gènes toujours respectivement couplés aux gènes nodU et nodP se retrouvent seuls avec des séquences incomplètes chez "Methylobacerium nodulans". Le produit du gène nodU est une 6-O-carbamoyl transférase alors que l'activité du gène nodQ couplée à celle du gène nodP fournie une 3'-phosphoadenosine 5'-phosphosulfate (PAPS) qui sert de substrat au gène nodH dont le produit est une sulfotransférase qui catalyse le transfert d'un groupe sulfate aux facteurs Nod non sulfatés ou aux oligomères de chitine.

L'absence des gènes nodS et nodP associée aux séquences incomplètes des gènes nodU et nodQ pourrait résulter d'événements de recombinaisons ou de transposition comme cela a souvent été observé dans le cas des gènes nod chez certaines espèces de rhizobiums : Rhizobium etli (Vazquez et al., 1991) ;

Mesorhizobium loti (Scott et al., 1996); Mesorhizobium sp. 33 (Cloutier et al., 1996, 1997); Mesorhizobium huakuii (Zhang et al., 2000). Ceci pourrait être à l'origine de la production de facteurs nod de type particulier responsables de la spécificité de nodulation chez les souches à croissance rapides de crotalaires telles que ORS 2060.

 III - 5 - Divergence entre la classification morphologique des crotalaires et la phylogénie basée sur les séquences ITS.

La répartition des espèces de crotalaires sur la base de la phylogénie ITS ne correspond pas exactement à la classification de Polhill, (1982). Cette Classification basée sur des caractéristiques morphologiques, divise les Crotalarieae en huit sections avec quatre sous-sections (Chrysocalycinae, Stipulosae, Glaucae, et Incanae) chez les Chrysocalycinae et deux sous-sections chez les Hedriocarpae (Hedriocarpae et Macrostachyae) et les Crotalaria (Crotalaria et Longirostres).

Pour certaines sous-sections, il semble y avoir une certaine corrélation entre cette classification et la répartition phylogénétique des crotalaires. A titre d'exemple, les espèces *C. lathyroides*, *C. comosa* et *C. ochroleuca*, qui appartiennent à la même sous-section des *Macrostachyae* se retrouvent placées dans le même cluster *C* sur la base de l'analyse de leurs ITS.

Il existe cependant des cas où il n'y a aucun lien entre les subdivisions en sous-sections de Polhill et les clusters obtenus après analyse phylogénétique des séquences ITS. C'est le cas des espèces C. leprieurii et C. sphaerocarpa qui appartiennent à la même sous-section des Geniculatae et qui se retrouvent respectivement dans les clusters A et B qui correspondent aux sous-sections des Incanae et des Glaucae pour le cluster A et à la sous-section des Chrysocalycinae pour le cluster B.

De même la classification en sections, définie par Polhill n'est pas retrouvée au niveau de l'analyse phylogénétique des séquences ITS. Il existe des sous-sections ou des espèces qui appartiennent à la même section qui se retrouvent éloignées phylogénétiquement. Inversement, des sous-sections appartenant à des sections différentes se retrouvent proches au niveau phylogénétique. Ces divergences entre l'analyse phylogénétique et phénotypique ont déjà été évoquées chez le genre Medicago (Bena et al., 1998a, 1998b, 1998c)

Contrairement aux difficultés de corréler le regroupement phylogénétique au regroupement phénotypique, nous notons une corrélation entre la phylogénie des séquences ITS et les groupes de nodulation (spécificité d'hôte). En effet, nous pouvons remarquer que les espèces de crotalaires regroupées dans un même cluster appartiennent toutes au même groupe d'inoculation à l'exception du cluster D qui regroupe à la fois des espèces qui s'associent aux deux groupes de souches. Nous n'observons pas cependant une évolution dichotomique des crotalaires vers les deux groupes d'inoculation croisés. Ce qui suggère soit que la spécificité de nodulation est un événement évolutif récent (Martinez-Romero, 1994), soit qu'il y a une évolution différente des gènes ribosomiques qui ont été utilisés ici comme marqueurs moléculaires et des gènes codant pour les récepteurs présomptifs des facteurs Nod (molécules qui sont les déterminants majeurs de la spécificité de la nodulation) et qui n'ont toujours pas été identifiés.

#### IV - CONCLUSION

Dans ce chapitre, à partir d'une collection de 123 souches de différentes espèces de *Crotalaria* poussant au Sénégal, nous avons mis en évidence l'existence d'un nouveau groupe de bactéries symbiotiques capables de noduler les légumineuses et appartenant au genre *Methylobacterium*. La nouvelle espèce de bactérie symbiotique que nous avons nommée

"Methylobacterium nodulans" forme des nodules fixateurs d'azote sur les racines d'un groupe d'espèces de crotalaires qui présentent une forte spécificité de nodulation.

Afin de vérifier s'il était possible de différencier phylogénétiquement les espèces de crotalaires nodulées par les Methylobacterium des autres espèces nodulant avec les Bradyrhizobium classiques, nous avons entrepris une étude de phylogénie des espèces de crotalaires en utilisant le séquençage de l'ITS. Les résultats obtenus montrent que les espèces nodulées par les Methylobacterium se retrouvent en majorité regroupées dans deux clusters de l'arbre phylogénétique. Ces clusters d'espèces nodulées par les Methylobacterium ne correspondent cependant pas à la classification botanique définie par Polhill (1982). Cette dernière reste cependant valable pour les sous-sections des Macrostachyae et des Stipulosae.

Nos résultats montrent que la symbiose avec les légumineuses n'est donc pas restreinte aux trois branches phylogénétiques reconnues jusqu'à présent et que d'autres bactéries ont la capacité d'établir une symbiose fixatrice d'azote avec les légumineuses. Nous pouvons donc émettre l'hypothèse que certaines espèces végétales comme les crotalaires, productrices de substances toxiques, auraient ainsi sélectionné des groupes bactériens particuliers qui auraient acquis la capacité de noduler ces légumineuses.

<u>Chapitre 3</u>
ETUDE DE LA METHYLOTROPHIE CHEZ LES SOUCHES DE CROTALAIRES : CLONAGE DU GENE MXAF ET ROLE DE LA METHYLOTROPHIE DANS LA SYMBIOSE

#### I - INTRODUCTION

Les bactéries du genre Methylobacterium sont des bactéries gram-, capables d'utiliser les composés monocarbonés tels que le méthanol ou la méthylamine comme seule source de carbone et d'énergie.

Ce métabolisme des composés en  $C_1$  fait intervenir une enzyme particulière qui oxyde les alcools primaires, la méthanol deshydrogénase ou MDH. La MDH est un tétramère, constitué de deux grandes sous-unités  $\alpha$ , codées par le gène mxaF et de deux petites sous-unités  $\beta$ , codées par le gène mxaI. Elle est associée à un groupement prosthétique, la Pyrroloquinoline Quinone (PQQ) (Anthony, 1986) et l'activation du complexe MDH-PQQ se fait par l'intermédiaire du calcium ( $Ca^{2+}$ ) (Richardson et Anthony, 1992).

Des études chez Methylobacterium extorquens et Methylobacterium organophilum ont montré que l'assimilation des composés en  $C_1$ , notamment l'oxydation du méthanol et l'assimilation du formaldéhyde qui en résulte fait intervenir un grand nombre de gènes en plus des gènes mxaF et mxaI. Ces gènes sont chromosomiques et sont regroupés en quatre loci chez Methylobacterium extorquens (Lidstrom et al., 1994). Par ailleurs, chez Methylobacterium extorquens et chez Paracoccus denitrificans, deux gènes appelés respectivement mxaF' et xoxF ont été mis en évidence. Ces gènes décrits comme étant homologues au gène mxaF, coderaient pour une deshydrogénase de fonction inonnue et qui serait également liée à la pyrroloquinoline quinone (Harms et al., 1987, 1996; Chistoserdova et Lidstrom, 1997).

Notre découverte d'une association symbiotique fixatrice d'azote spécifique *Crotalaria-"Methylobacterium nodulans"* soulève toute une série de questions auxquelles nous avons essayé de répondre au cours de ce troisième chapitre.

# • "Methylobacterium nodulans" et les différentes espèces de rhizobiums sont-ils méthylotrophes ?

Nous avons ainsi, essayé de déterminer si, comme toutes les espèces de Methylobacterium, "Methylobacterium nodulans" est capable de dégrader des composés monocarbonés. D'autre part, nous avons cherché à déterminer si la méthylotrophie était une propriété spécifique à "Méthylobactérium nodulans" ou commune à tous les rhizobiums.

Pour répondre à notre interrogation, nous avons d'abord cherché par amplification (PCR) la présence du gène mxaF qui code pour la grande sous-unité de la MDH chez "Methylobacterium nodulans" et chez les différentes espèces de rhizobiums. Pour cela nous avons utilisé les amorces spécifiques f1003 et r1561 (McDonald et al., 1995) et les amorces dégénérées mxaf916 et mxar1360 définies à partir des zones conservées des séquences du gène mxaF disponibles dans Genbank et des gènes homologues décrits chez Methylobacterium extorquens (mxaF') et Paracoccus denitrificans (xoxF).

Le caractère méthylotrophe, c'est-à-dire la capacité à métaboliser des composés en  $C_1$ , a été vérifiée en réalisant des tests de croissance sur des milieux contenant des substrats monocarbonés comme seule source de carbone. Nous avons ainsi testé la croissance de "Methylobacterium nodulans" ORS 2060 sur des milieux contenant du méthanol, du formate, du formaldéhyde ou de la méthylamine comme seule source de carbone. D'autre part, nous avons également testé l'aptitude d'une dizaine d'espèces de rhizobiums à utiliser le méthanol comme seule source de carbone et d'énergie.

## • Toutes les espèces de Methylobacterium sont-elles symbiotiques ?

Pour répondre à cette question, les propriétés symbiotiques des différentes espèces de *Methylobacterium* ont été vérifiées par inoculation des

différentes souches représentatives sur des espèces de crotalaires appartenant aux deux groupes d'inoculation que nous avons définis et par des essais d'isolement des gènes de nodulation.

• Le caractère méthylotrphe de "M. nodulans" joue-t-il un rôle lors de la symbiose avec les crotalaires ?

Pour déterminer le rôle éventuel de la méthylotrophie dans la symbiose "Methylobacterium nodulans"-Crotalaria, nous avons cherché à construire des mutants non méthylotrophes par recombinaison homologue afin d'observer l'effet de cette mutation sur la nodulation et la fixation d'azote, en utilisant l'espèce Crotalaria perrottetii comme plante hôte.

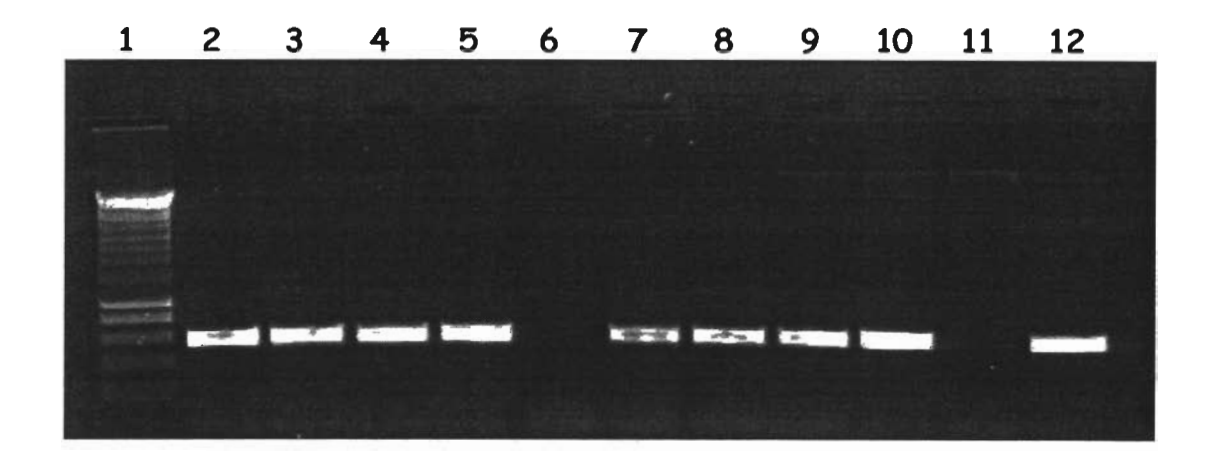


Figure 23. Produit d'amplification du gène mxaF chez les souches spécifiques de Crotalaires : 1, SmatLadder ; 2, ORS 1917 ; 3, ORS 1924 ; 4, ORS 1928 ; 5, ORS 1937 ; 6, ORS 1991 ; 7, ORS 2026 ; 8, ORS 2030 ; 9, ORS 2045 ; 10, ORS 2060 ; 11, ORS 2092 ; 12, ORS 2076.

#### II - RESULTATS

II - 1 - Caractérisation du gène mxaF chez "M. nodulans"

A - Recherche du gène chez les différentes souches de crotalaires

Nous avons utilisé les amorces spécifiques f1003 et r1561 (McDonald et al., 1995) pour rechercher le gène mxaF chez 11 souches de crotalaires appartenant au groupe de "Methylobacterium nodulans" et 11 souches appartenant au groupe Bradyrhizobium. Aucun produit d'amplification n'a été obtenu avec les souches de Bradyrhizobium, alors que les souches spécifiques du groupe "Methylobacterium nodulans" donnent toutes à l'exception de ORS 1991 et ORS 2092 un produit d'amplification unique de la taille attendue (555pb) (figure 23). La séquence du produit PCR de la souche représentative ORS 2060 (M. nodulans) présente une très forte homologie (88%) avec les gènes mxaF de Methylobacterium extorquens et de Methylobacterium organophilum.

B - Clonage et séquençage du gène mxaF de "M. nodulans" ORS 2060

Le screening par PCR de la banque d'ADN génomique d'ORS 2060 en utilisant les amorces spécifiques f1003 et r1561 (McDonald et al., 1995) a permis de sélectionner quatre clones (STM 216, STM 217, STM 218 et STM 219) contenant le gène mxaF. Le clone STM 217 a été retenu pour la suite de l'étude. Ce clone contient un insert d'environ 35 kb. Afin de restreindre cette région à celle contenant le gène mxaF, un sous-clonage a été réalisé selon la même procédure que pour les gènes de nodulation cf (paragraphe II-9-2, Chapitre II).

Un fragment PstI d'environ 4kb qui s'hybride avec la sonde *mxaF* (figure 24a) a été choisi pour le séquençage complet du gène *mxaF* après clonage dans

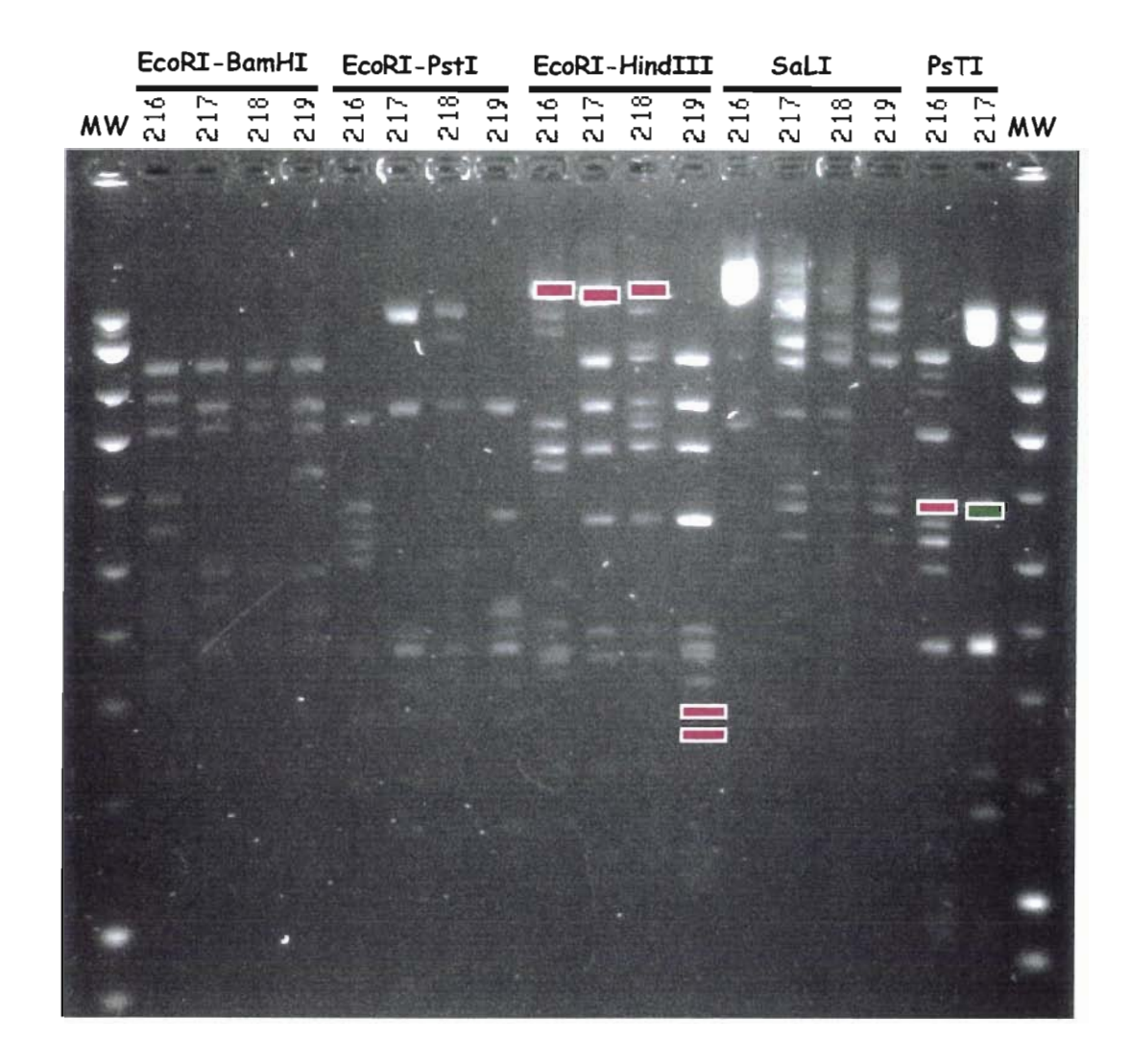


Figure 24A. Hybridation des fragments de restriction des quatre clones isolés de la banque d'ADNg d'ORS 2060 contenant le gène mxaF, avec la sonde mxaF.

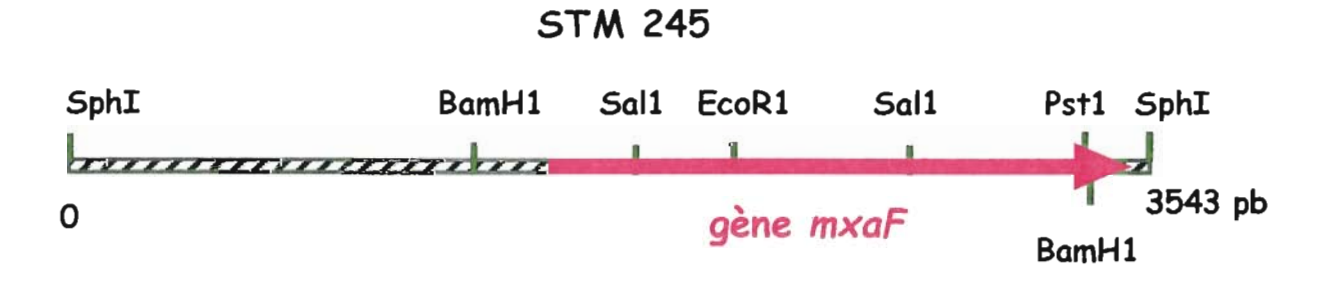


Figure 24B. Sous-Clonage et séquençage du clone STM 245 et mise en évidence d'une ORF correspondant au gène mxaF.

pUC18 (STM 245) (figure 24b). Nous avons obtenu au total une séquence de 3543 pb (Annexe 6) après assemblage des séquences des différents sous-clones de STM 245. Cette séquence de STM 245 contient une seule phase ouverte de lecture de 1890 pb, elle a été déposée dans Genbank sous le numéro d'accession AF220764. Elle code pour une protéine de 629 acides aminés, qui présente 88% d'identité avec la protéine MxaF de Methylobacterium organophilum (numéro d'accession M22629) et Methylobacterium extorquens (numéro d'accession M31108) et 75% d'identité avec celle de Paracoccus denitrificans (numéro d'accession M17339). Juste en aval du codon ATG de départ, on retrouve une séquence de Shine-Dalgarno (-12- GGGAGA-5), ce qui suggère que le gène est transcrit.

Les 93 premiers nucléotides de la séquence du gène *mxaF* correspondent à une séquence signal pour la sécrétion de la protéine (Von Heijne, 1985), (figure 25). Ces résultats montrent que "*M. nodulans*" (ORS 2060), comme la majorité des souches spécifiques de crotalaires, contient le gène structural *mxaF* typique des *Methylobacterium* et indispensable à l'oxydation du méthanol.

# II - 2 - Identification d'un gène homologue au gène *mxaF* chez les rhizobiums

Nous avons recherché la présence du gène mxaF chez plusieurs souches de rhizobiums appartenant à différents genres et espèces (Sinorhizobium meliloti, S. medicae, S. fredii, S. terangae, Rhizobium leguminosarum bv. viciae, R. etli, R. tropici, Mesorhizobium ciceri, M. loti, Bradyrhizobium japonicum, B. elkanii, Allorhizobium undicola et Azorhizobium caulinodans).

Les amorces f1003 et r1561 ne génèrent aucune amplification avec ces souches de rhizobiums. Par contre lorsqu'on utilise les amorces dégénérées mxaf916 et mxar1360, définies à partir des régions conservées des gènes mxaF

Figure 25. Traduction protéique du gène  $m \times aF$  de "Methylobacterium nodulans" ORS 2060. Les 31 premiers aminoacides correspondent à une séquence signale pour la sécrétion de la protéine.

				I	
1	MLGKIVVRCR	TGVSVAALAA	LLPLAGPSAL	ANDKLVELSK	SDGNWVMPGK
51	NYDSDNYSKL	KQINAENVKN	LKVSWQFSTG	LLNGHEGAPL	VVDGTMYVHT
101	SFPNNTFALG	LDDPGKILWQ	DKPKQNPAAR	SVACCDLVNR	GLAYWPGDGK
151	TPSLILKTLL	DGHVVALNAQ	TGETVWKIEN	SDIRVGSTLT	IAPYVVKDKV
201	IIGSSGAELG	VRGYLTAYDV	RTGEQKWRAY	ATGPDSDLLL	AKDFNIHNAH
251	YGQKGLGTST	WEGDAWKIGG	GTNWGWYAYD	PGTNLIYFGT	GNPAPWNETM
301	RPGDNKWTMT	IFARDVDTGE	AKFGYQKTPH	DEWDYAGVNV	MMLSTQKDRS
351	GKERKLLTHP	DRNGIVYTLD	RTNGDLISAH	KIDDTVNVFK	TVDLKSGLPV
401	RDPEYGTRMD	HLAKDICPSA	MGYHNQGHDS	YDPERKLFYM	GINHICMDWE
451	PFMLPYRAGQ	FFVGATLNMY	PGPKGDRQNA	EGLGQIKAYD	AITGKFKWEK
501	MERFAVWGGT	LATAGNVVFY	GTLDGFIKAR	HSDTGELLWK	AKLPSGAIGY
551	PVTYTHKGTQ	YVAIYYGVGG	WPGVGLVFDL	QDPTAGLGAV	GAFKKLANYT
601	QMGGGVTVFS	LDGKGPYDDP	NTGEYVAAN		

et mxaF' des α-protéobactéries, toutes les souches de rhizobiums présentent un produit PCR d'environ 440 pb dont la séquence présente une certaine similarité avec le gène mxaF. Cependant les séquences de ces produits d'amplification présentent un pourcentage d'identité plus élevé avec les deux gènes homologues du gène mxaF à savoir, le gène mxaF' de Methylobacterium extorquens (72% à 80% d'identité d'aminoacides) et le gène xoxF de Paracoccus denitrificans (73% à 82% d'identité d'aminoacides) (tableau 18).

## II - 3 - Analyse phylogénétique des séquences mxaF et mxaF'

Les séquences mxaF et mxaF' obtenues respectivement pour "M. nodulans" ainsi que pour les différentes espèces de rhizobiums ont été alignées avec les séquences disponibles dans Genbank. L'alignement a été réalisé avec ClustalX à partir de 146 aminoacides. L'arbre phylogénétique obtenu par Neighbor-joining (figure 26) montre deux principaux clusters:

- un cluster A, regroupant les séquences mxaF' des différentes espèces de rhizobiums avec les séquences xoxF et mxaF' de Paracoccus denitrificans et Methylobacterium extorquens. Il est à noter que la distribution des séquences obtenues chez les rhizobiums ne suit pas la phylogénie des espèces.
- un cluster B, regroupant uniquement les séquences mxaF des bactéries méthylotrophes des sous-classes  $\alpha$  et  $\beta$  des protéobactéries et la séquence mxaF de "M. nodulans" ORS 2060. La figure 27 montre l'arbre phylogénétique obtenu à partir des séquences protéiques complètes et confirme la répartition obtenue avec les séquences partielles.

Tableau 18. Identité des fragments amplifiés à l'aide des amorces mxaf1003 et mxar1360 chez les rhizobiums avec les séquences protéiques des gènes mxaF et mxaF' de Methylobacterium extorquens et du gène xoxF de Paracoccus denitrificans.

Espèces	Taille	% d'identité			
		MxaF	MxaF'	xoxF	
Azorhizobium caulinodans	442 pb	50%	75%	80%	
Allorhizobium undicola	431 pb	47%	76%	76%	
Bradyrhizobium japonicum	442 pb	49%	72%	78%	
Bradyrhizobium elkanii	443 pb	50%	76%	74%	
Bradyrhizobium sp.(ORS 1816)	434 pb	48%	75%	75%	
Mesorhizobium loti	442 pb	51%	76%	81%	
Mesorhizobium ciceri	455 pb	45%	74%	77%	
Rhizobium etli	446 pb	51%	76%	81%	
Rhizobium tropici	438 pb	51%	76%	81%	
R. leguminosarum bv viciae	444 pb	51%	77%	82%	
Sinorhizobium meliloti	446 pb	51%	77%	82%	
Sinorhizobium fredii	442 pb	50%	80%	79%	
Sinorhizobium medicae	443 pb	51%	76%	80%	
Sinorhizobium terangae	446 pb	43%	72%	73%	

P. den., Paracoccus denitrificans; M. ex., Methylobacterium extorquens.

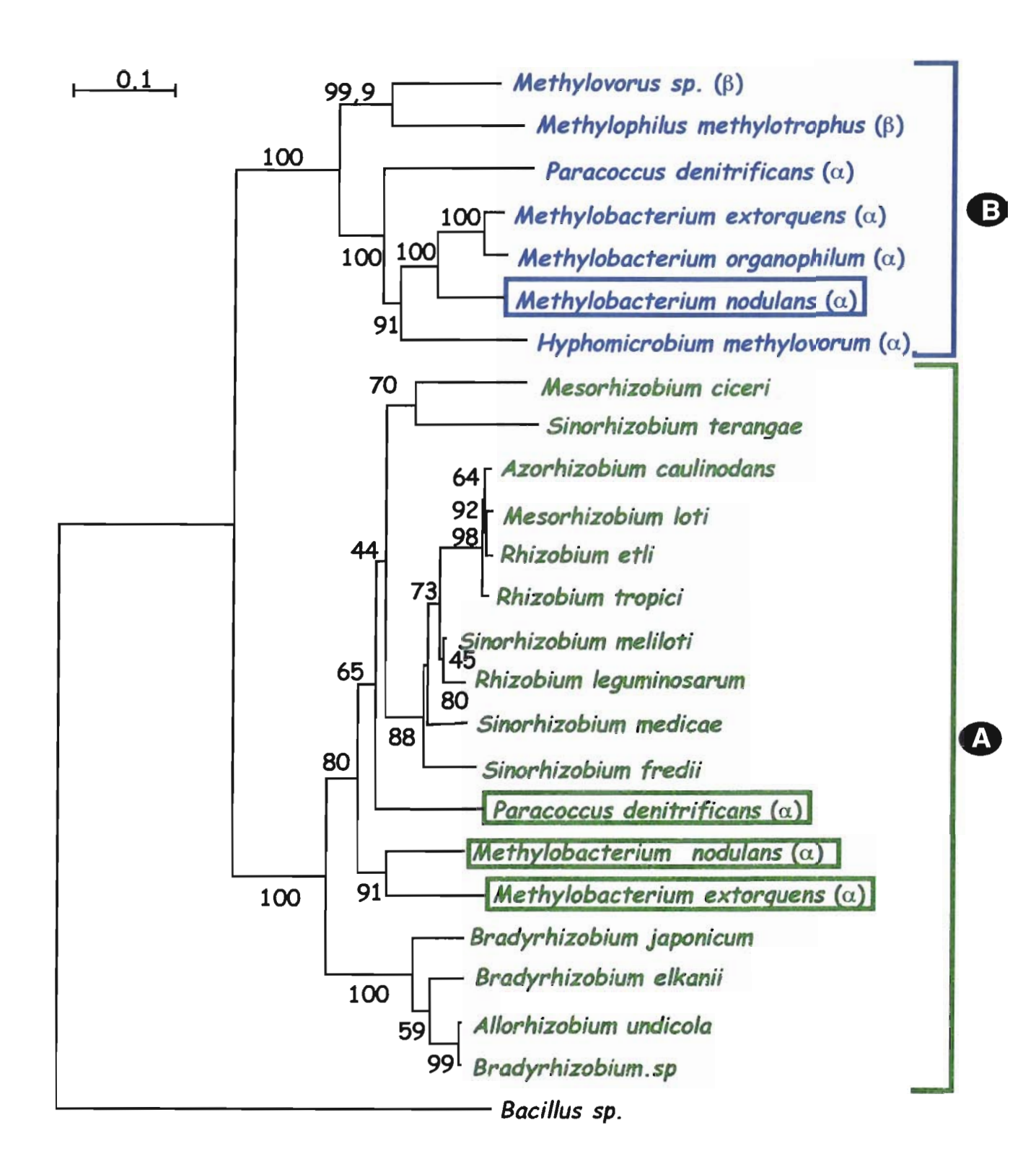


Figure 26. Arbre phylogénétique basé sur les séquences d'environ 146 aminoacides du gène mxaF et des gènes homologues identifiés chez les différentes espèces de rhizobiums construit selon la méthode Neighbor-joining. Les valeurs de Bootstrap sont exprimées en % pour 1000 répétitions. Le cluster B regroupe uniquement les gènes mxaF alors que le custer A contient les gènes obtenus chez les rhizobiums ainsi que le gène xoxF de Paracoccus denitrificans et le gène mxaF de Methylobacterium extorquens.  $\alpha$ , membres des  $\alpha$ -protéobactéries ;  $\beta$ , membres des  $\beta$ -protéobactéries.

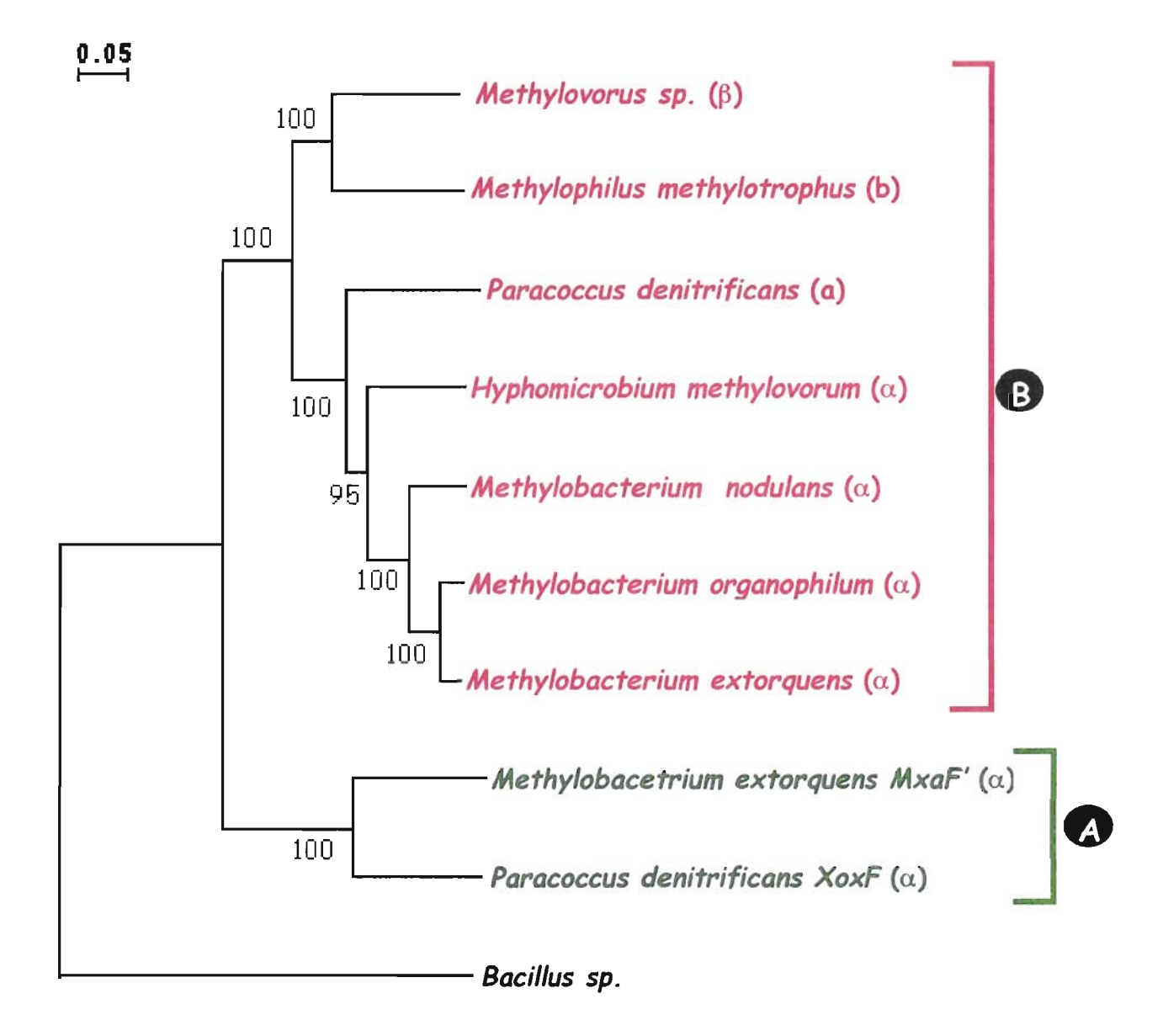


Figure 27. Arbre phylogénétique basé sur les séquences protéiques complètes des gènes mxaF, mxaF' et xoxF' des bactéries methylotrophes construit selon la méthode Neighbor-joining. les valeurs de bootstrap sont exprimées en % pour 1000 répétitions. Bacillus sp. a été utilisé pour enraciner l'arbre.

# II - 4 - Etude de la méthylotrophie

## A - L'oxydation du méthanol

Afin de vérifier les propriétés méthylotrophes (caractère fonctionnel des gènes mxaF) des "Methylobacterium" isolés de Crotalaria sp., nous avons testé leur aptitude à croître sur le milieu M72 contenant du méthanol 50 mM comme seule source de carbone. La croissance a été comparée avec celle des Bradyrhizobium sp. (Crotalaria) et de Methylobacterium extorquens (LMG 4250).

Aucune croissance n'a été observée avec les souches de Bradyrhizobium sp. (Crotalaria) au bout de 10 jours de culture. Par contre toutes les souches de "Methylobacterium" de Crotalaria sp. présentent une aptitude à croître dans le milieu de culture supplémenté de méthanol à 50 mM avec des temps de génération variables selon les souches. Le dosage du méthanol dans les cultures d'ORS 2060 et Bradyrhizobium sp. (Crotalaria) ORS 1810 (figure 28) confirme bien que le méthanol est utilisé comme source de carbone par ORS 2060.

La souche modèle ORS 2060 (figure 28) et la souche ORS 1917 (9 h de temps de génération) présentent une croissance semblable à celle de *Methylobacterium extorquens* (LMG 4250). Nous avons également observé des taux de croissance similaires sur des substrats pluricarbonés (pyruvate 5 mM et succinate 10 mM). En outre la souche ORS 2060 est capable de pousser jusqu'à une concentration de 1 M de méthanol (figure 29).

Afin de vérifier si la méthylotrophie est un caractère spécifique à "Methylobacterium nodulans" ou bien un caractère que l'on pouvait retrouver chez différentes espèces de rhizobiums, nous avons testé l'aptitude de Sinorhizobium meliloti, S. medicae, S. fredii, S. terangae, Rhizobium leguminosarum bv. vicieae, R. etli, R. tropici, Mesorhizobium ciceri, M. loti,

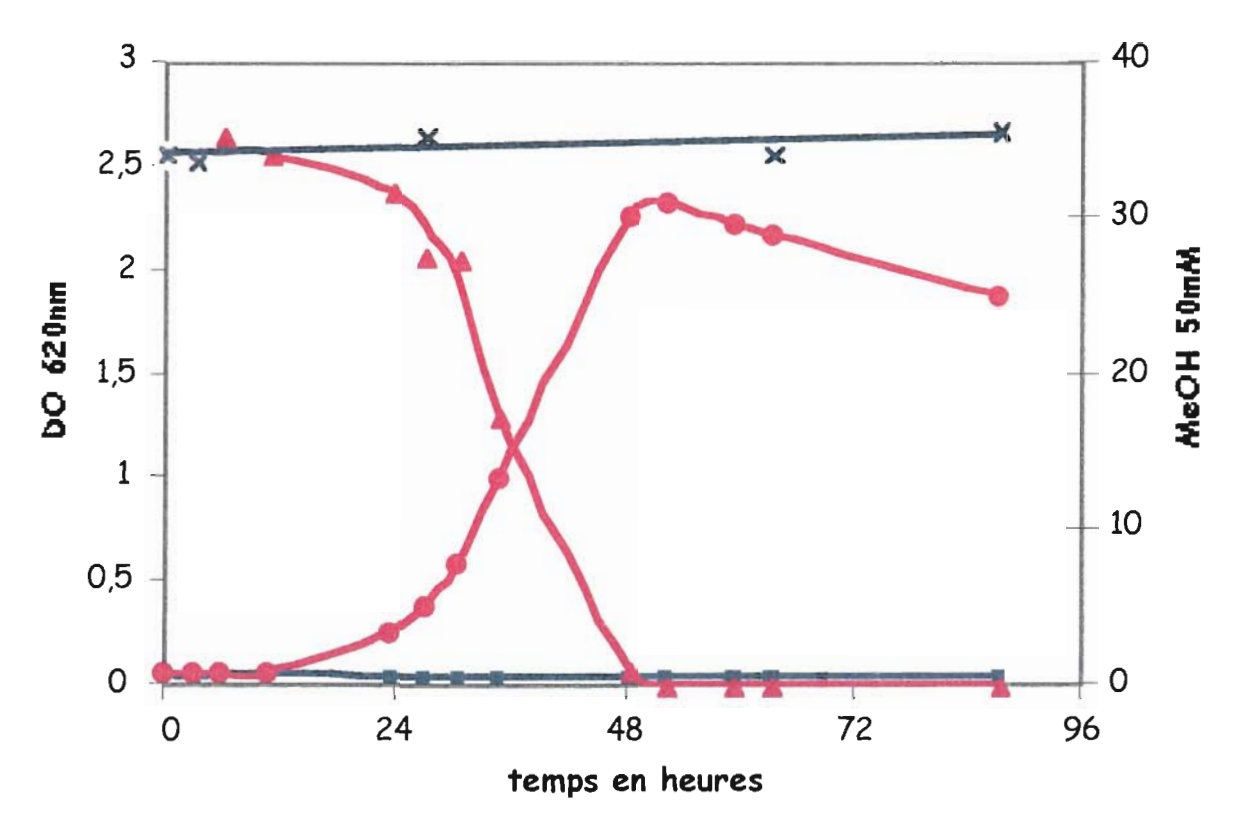


Figure 28. Croissance de "Methylobacterium nodulans" ORS 2060 sur du milieu M72 contenant du méthanol 50 mM. Bradyrhizobium sp. ORS 1810 isolée de Crotalaria lathyroides a été utilisé comme témoin.



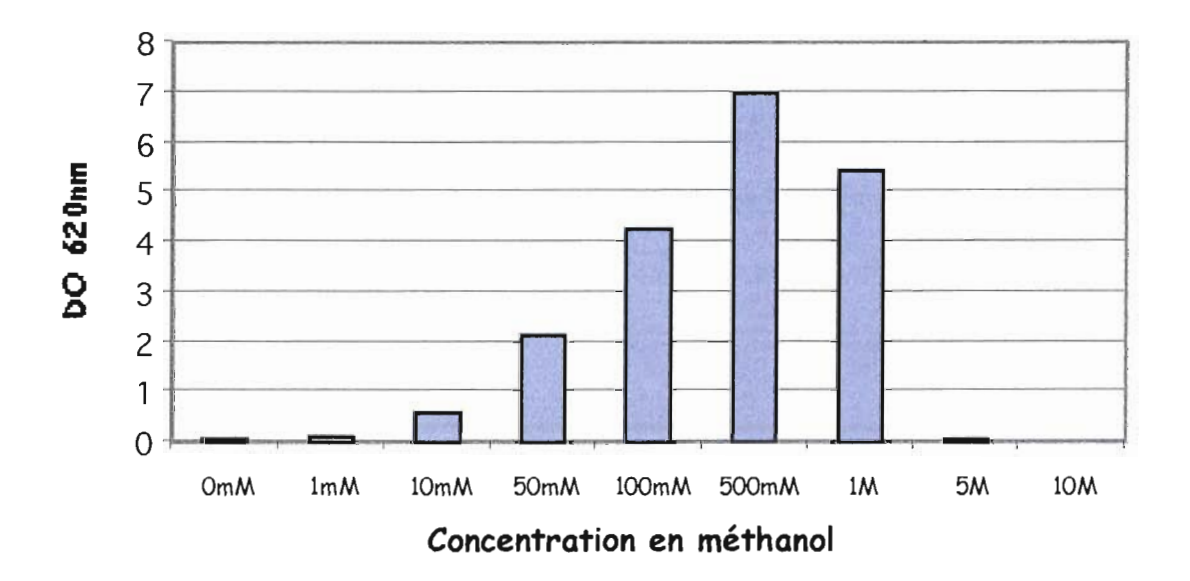


Figure 29. Croissance de "Methylobacterium nodulans" ORS 2060 après 72 heures de culture sur le milieu M72 contenant comme seule source de carbone du méthanol à différentes concentrations.

Bradyrhizobium japonicum, B. elkanii, Allorhizobium unidicola et Azorhizobium caulinodans à utiliser le méthanol comme seule source de carbone.

Aucune croissance de ces souches de rhizobiums n'a été observée au bout de six jours de culture sur milieu M72 avec du méthanol à 50 mM. Par contre la souche de rhizobium 4-46 isolée de *Lotononis bainesii* et qui sur la base de l'ADNr 165 appartient au groupe *Methylobacterium* est capable de pousser sur le même milieu mais avec un temps de génération plus long (18 heures) que celui de "Methylobacterium nodulans" ORS 2060.

#### B - Utilisation de différents substrats carbonés

Les bactéries méthylotrophes facultatifs comme Methylobacterium, sont caractérisées par leur capacité à métaboliser des composés en  $C_1$  ainsi que de nombreux substrats pluricarbonés. Nous avons ainsi testé l'aptitude de "M. nodulans" ORS 2060 et de la souche 4-46 à utiliser un certain nombre de substrats aussi bien monocarbonés que pluricarbonés.

#### - Les substrats monocarbonés

En plus du méthanol 50 mM, les souches ORS 2060 et 4-46 sont capables de pousser sur du formaldéhyde (HCHO) 1 mM, et formate (HCOOH) 10 mM comme substrat monocarboné. Par contre, aucune des deux souches n'a montré une croissance sur méthylamine (CH<sub>3</sub>NH<sub>2</sub>) 10 mM (tableau 19). Nous avons en outre observé que "M. nodulans" ORS 2060 avait des temps de génération 2 à 3 fois inférieurs à ceux de 4-46 lors des cultures sur les composés en C<sub>1</sub>.

#### - Les substrats pluricarbonés

Sur les substrats à plusieurs carbones, "*M. nodulans*" ORS 2060 semble être beaucoup plus sélectif que la souche 4-46.

Tableau 19. Assimilation des composés carbonés par "Méthylobacterium nodulans" et la souche de Lotononis bainesii 4-46. +, Croissance ; + (L) Croissance très faible ; -, Pas de croissance.

Substrats carbonés	M. nodulans (ORS 2060)	4-46
Substrats monocarbonés		
Méthanol 50 mM	+	+
Formate 10 mM	+	+ (L)
Formaldéhyde 1 mM	+	+
Méthylamine 10 mM	-	-
<u>Substrats pluri-carbonés</u>		
Ethanol 50 mM	+	+
Pyruvate 5 mM	+	+
Succinate 10 mM	+	+ (L)
Glutamate 10 mM	+	+
Arabinose 10 mM	+ (L)	-
Citrate 5 mM	-	-
Glucose 10 mM	-	+ (L)
Fructose 10 mM	-	+ (L)
Galactose 10 mM	-	+ (L)
Saccharose 10 mM	-	+ (L)
Lactose 10 mM	-	+ (L)



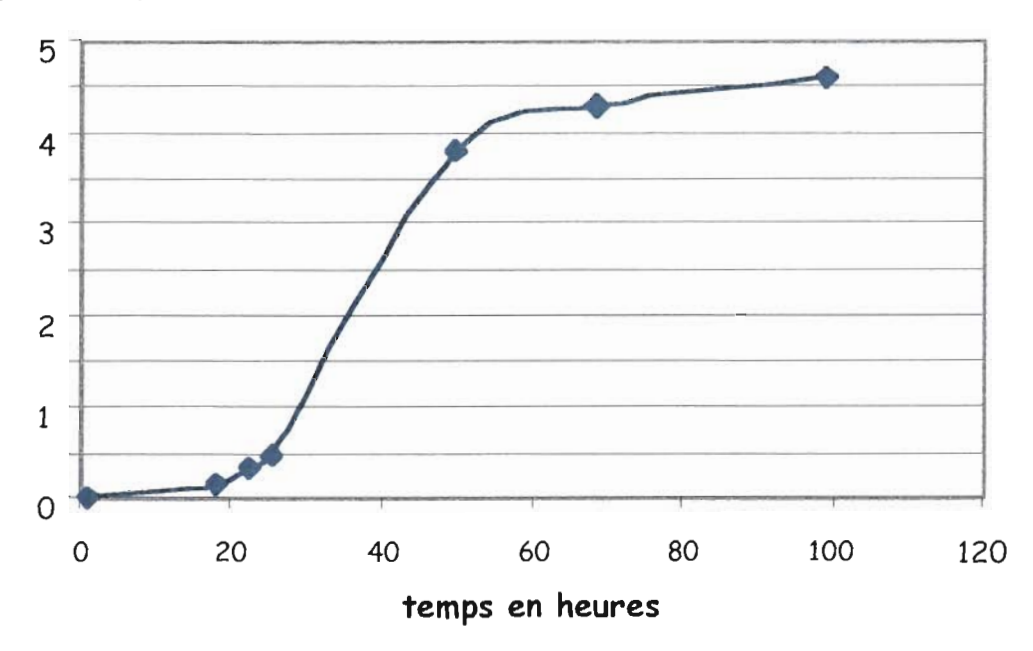


Figure 30. Croissance de "Methylobacterium nodulans" ORS 2060 sur milieu M72 contenant comme seule source de carbone de l'éthanol 50 mM.

En effet, si elle est capable de très bien pousser sur certains substrats comme l'éthanol (figure 30 et tableau 19), elle ne présente aucune croissance sur d'autres substrats (citrate, glucose, fructose, galactose, saccharose, lactose). La souche 4-46 quant à elle utilise une plus large gamme de substrats pluricarbonés, mais sa croissance reste très faible.

## II - 5 - Etudes des propriétés symbiotiques chez Methylobacterium

Bien que de nombreuses études aient mis en évidence l'association PPFM-Plantes, aucun cas de symbiose fixatrice d'azote n'avait été décrit jusqu'à ce jour. La mise en évidence de l'association symbiotique "M. nodulans"-Crotalaria, nous a donc incité à chercher si le caractère symbiotique pouvait être retrouvé chez différentes espèces de Methylobacterium.

#### A - Tests de nodulation

Les souches représentatives des différentes espèces de Methylobacterium (M. extorquens, M. organophilum, M. rhodesianum, M. rhodinum, M. mesophilicum, M. zatmanii, M. radiotolerans et M. sp) ont été testées pour leur aptitude à induire la formation de nodules sur les espèces de crotalaires appartenant aux deux groupes d'inoculation croisés définis ainsi que sur Aeschynomene sensitiva connue pour son association avec les Bradyrhizobium photosynthétiques (tableau 20). Aucune souche de Methylobacterium, à l'exception de "M. nodulans" (ORS 2060) n'a induit la formation de nodules après 5 semaines d'inoculation. Contrairement à "M. nodulans", les deux souches de Lotononis bainesii 4-46 et 4-144 induisent la formation de nodules sur l'ensemble des crotalaires des deux groupes testées. Cependant, leur association avec C. perrottetii utilisée ici comme représentant du groupe des crotalaires spécifiques ne produit que des nodules non fixateurs d'azote.

Tableau 20. Tests de nodulation chez les différentes espèces de Methylobacterium.

C., Crotalaria; A., Aeschynomene; M., Methylobacterium; B., Bradyrhizobium;

E, nodules efficients ; I, nodules non efficients ; -, pas de nodules ; nt, non testé

Souches	A. sensitiva	C. goreensis	C. comosa	C. ochroleuca	C perrottetii
M. extorquens (LMG 4250)					
M. organophilum (LMG 6083)					
M. rhodinum (LMG 2275)					
M. rhodesianum (LMG 6086)					
M. mesophilicum (LMG 5275)				图 图 图	
M. radiotolerans (LMG 2269)					
M. zatmanii (LMG 6087)					
M. sp. (LMG 6378)				and the latest	
M. sp. (LMG 6085)					
M. sp. (LMG 6380)		-51			
M. nodulans (ORS 2060)	nt		4		E
M. sp. (C. perrottetii) (ORS 1924)	nt		-	-	E
B. sp. (C. comosa) (ORS 1929)	nt	E	E	E	-
4-46 (Lotononis bainesii)	BATTE - 0 10 1	Ew	E	E E E	I
4-144 (Lotononis bainesii)		E	E	E	I

## B - Isolement des gènes de nodulation

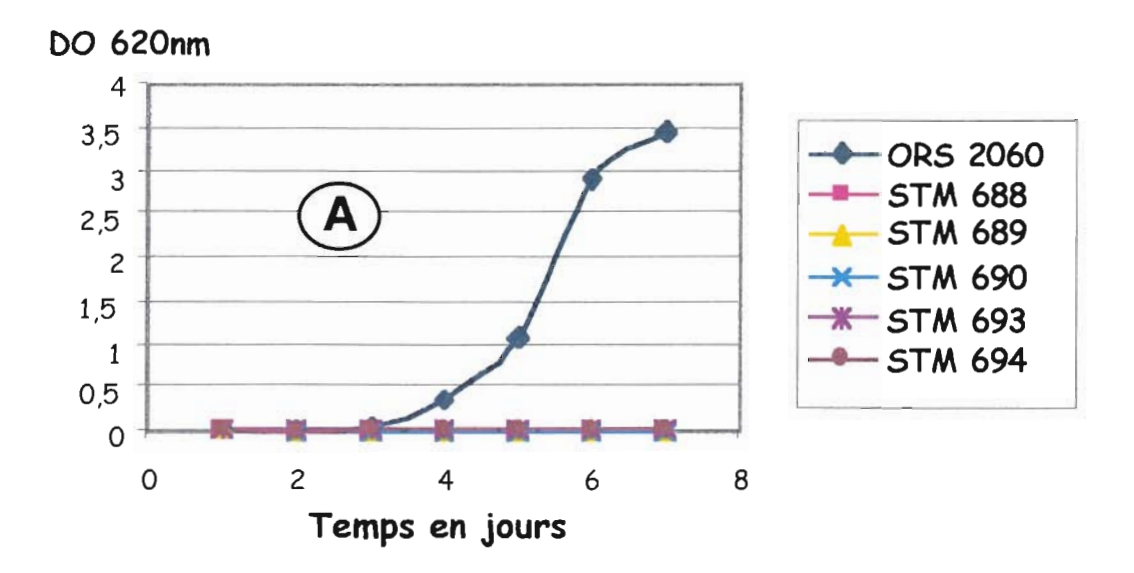
L'absence de nodulation sur les plantes testées n'étant pas un résultat suffisant pour conclure du caractère non symbiotique des souches de Methylobacterium, nous avons cherché par PCR la présence des gènes de nodulation, notamment le gène nodA qui est un gène commun à tous les rhizobiums. Pour cela deux couples d'amorces dégénérées correspondant à des régions consensus (nodAfbrady/nodArbrady et nodAlf/nodABlr) ont été utilisés. Aucun produit d'amplification n'a été obtenu dans les deux cas pour toutes les souches de Methylobacterium testées. Ce résultat en accord avec les tests de nodulation suggère que la fonction symbiotique n'est pas un caractère commun au genre Methylobacterium mais plutôt spécifique à "M. nodulans".

## II - 6 - Etude du rôle de la méthylotrophie dans la symbiose.

# A - Construction d'un mutant non méthylotrophe

Etant donnée la spécificité de l'association symbiotique "M. nodulans"-Crotalaria, et le caractère méthylotrophe unique de "M. nodulans" par rapport aux autres rhizobiums, nous avons cherché à savoir si cette propriété méthylotrophe jouait un rôle durant l'interaction symbiotique. En effet, certaines espèces de Crotalaria sont connues pour produire des alcaloïdes toxiques pour les animaux, les insectes ou les nématodes. Nous pouvons émettre l'hypothèse que le caractère méthylotrophe de "M. nodulans" pourrait intervenir dans la dégradation de ces composés toxiques et ainsi induire la formation de nodules sur ces plantes.

Pour déterminer un rôle éventuel de la méthylotrophie, nous avons essayé d'obtenir des mutants non méthylotrophes. Une première stratégie a consisté à disrupter le gène  $m \times a F$  à l'aide d'une cassette contenant le gène rapporteur LacZ et la résistance à la kanamycine. Pour cela, nous avons réalisé une



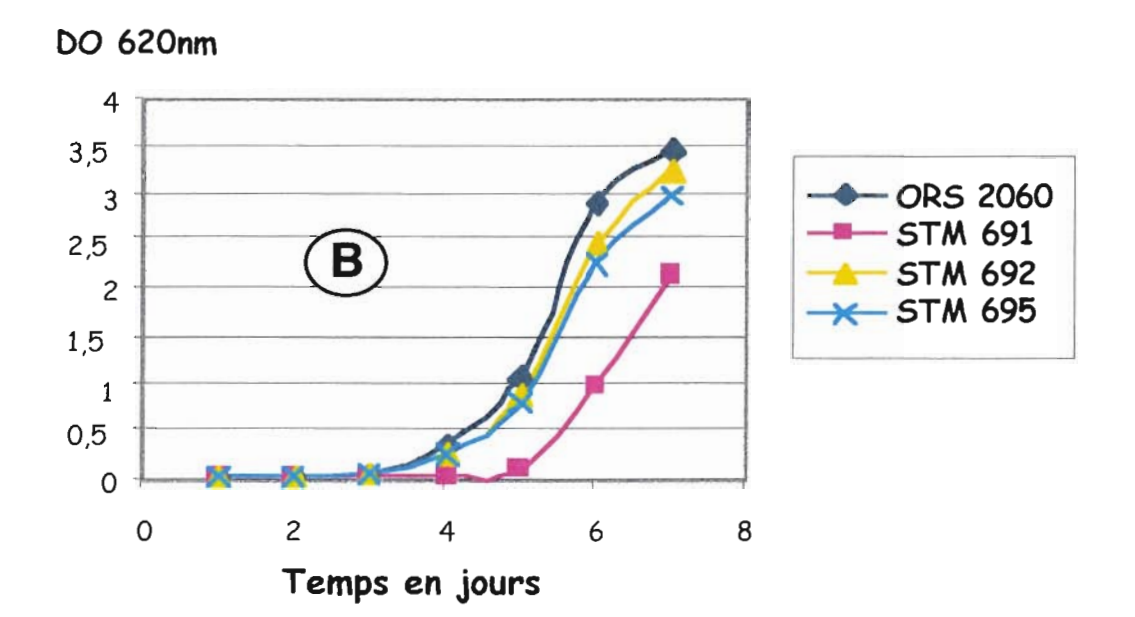


Figure 31. Tests de croissance des différents mutants obtenus sur alcool allylique sur le milieu M72 contenant du méthanol 10 ml/l : A, mutants méthanol ; B, isolats qui ont conservés leurs popriétés méthylotrophes.

construction dans *E. coli* ou le gène *mxaF* a été interrompu par délétion d'un fragment Sal1 de 900 pb et insertion de la cassette pKOK5.

Cette construction a été ensuite clonée dans le plasmide pJQ200mp18 portant le gène de résistance à la gentamycine et le gène suicide SacB. Le plasmide ainsi obtenu a été introduit par électroporation dans E. coli S17.1 (STM 584). Après conjugaison entre STM 584 et ORS 2060, les colonies poussant sur milieu YMA contenant de la kanamycine, de l'acide nalidixique et du X-Gal sont repiquées sur milieu YMA contenant du saccharose et de la kanamycine. Cependant, aucune pression de sélection n'a été induite par l'ajout de saccharose à 5% et 7%, suggérant que le gène suicide SacB, utilisé ici pour sélectionner les bactéries ayant subi un événement de double crossing-over, ne peut être utilisé chez ORS 2060.

Aucun recombinant n'ayant malheureusement pu être isolé par cette méthode, nous avons alors suivi une autre stratégie en additionnant de l'alcool allylique au milieu de culture. L'alcool allylique est un substrat qui, oxydé par la MDH, se transforme en un composé toxique pour les cellules, l'aldéhyde acrylique ou acroléine (Nunn et Lidstrom, 1986a, 1986b). Ainsi l'ajout de ce substrat dans le milieu de culture permet de sélectionner les mutants spontanés ne poussant pas sur méthanol. Cette deuxième stratégie nous a permis d'isoler 10 mutants spontanés méthanol— (STM 686 à STM 695). Ces mutants ont été testés sur méthanol, puis inoculés à de jeunes plants de *C. perrottetii* pour suivre la nodulation.

# B - Effet de la méthylotrophie sur la symbiose

Après sept jours de culture, aucune croissance sur méthanol n'a été observée pour 7 mutants sur 10 (figure 31a), alors que les isolats STM 691, STM 692 et STM 695 conservent leur aptitude à croître sur le méthanol (figure 31b).

Après cinq semaines de culture, les plantes inoculées avec les mutants spontanés méthylotrophes— présentaient toutes des nodules semblables à ceux obtenus avec la souche sauvage ORS 2060. Aucun effet sur le délai d'apparition des nodules, le nombre de nodules ou l'effectivité de la nodulation n'a été observé pour tous les mutants testés.

#### III - DISCUSSION

Les espèces de rhizobiums décrites jusqu'à présent appartiennent à trois branches phylogénétiques distinctes de la sous-classe des  $\alpha$ -protéobactéries qu'elles partagent avec des bactéries non symbiotiques pathogènes comme *Agrobacterium* pour les plantes et *Afipia* pour l'homme et les animaux. La mise en évidence d'une quatrième branche phylogénétique de rhizobiums constituée par des bactéries du genre *Methylobacterium* confirme et élargit l'origine polyphylétique des rhizobiums (Young et Haukka, 1996).

Cependant, étant donnée la position taxonomique de la souche ORS 2060 dans le groupe des Methylobacterium, nous avons cherché à savoir si les souches spécifiques de Crotalaria étaient méthylotrophes comme l'ensemble des espèces qui composent le genre Methylobacterium. Nous avons ainsi pu mettre en évidence par PCR puis clonage et séquençage, la présence du gène mxaF uniquement chez les souches spécifiques de Crotalaria. Nous avons ensuite vérifié si ce gène mxaF était spécifique à "M. nodulans" ou commun à tous les rhizobiums. Nos résultats ont montré que ce gène n'était pas présent chez les rhizobiums. Par contre, nous avons mis en évidence chez l'ensemble des souches de rhizobiums testées, la présence d'un gène proche des gènes mxaF' ou xoxF décrits chez certaines bactéries méthylotrophes comme M. extorquens ou Paracoccus denitrificans. Ces deux gènes coderaient pour une deshydrogénase de fonction inconnue (Harms et al., 1996).

Outre le positionnement taxonomique et la présence du gène *mxaF*, nous avons également démontré que "M. nodulans" ORS 2060 ainsi que les différentes souches spécifiques de *Crotalaria* sont capables de dégrader des composés en C<sub>1</sub> (Méthanol). Ce caractère méthylotrophe est unique à "M. nodulans". En effet, aucune des espèces de rhizobiums utilisées dans cette étude n'a montré une aptitude à pousser sur des substrats monocarbonés.

Les bactéries du genre Methylobacterium qui sont parfois associées aux plantes notamment au niveau des cultures cellulaires ou des surfaces foliaires (Basile et al., 1969; Bridges, 1976; Holland, 1997) sont des méthylotrophes facultatifs, rencontrées dans tous les milieux riches en composés monocarbonés, sol, air, eau douce, milieux marins, poussières, mais également dans les piscines, en milieux hospitaliers où elles présentent très souvent une résistance au chlore (Lidstrom, 1992). Le caractère ubiquiste de ces bactéries et la capacité de "M. nodulans" à former des nodules sur les racines de Crotalaria sp. nous a incité à chercher si l'aptitude à former des nodules sur les racines des légumineuses n'était pas une propriété commune à toutes les espèces de Methylobacterium.

En combinant les deux stratégies différentes (amplification du gène nodA et tests de nodulation sur différentes espèces de *Crotalaria*) nous n'avons pu mettre en évidence le caractère symbiotique des différentes espèces de *Methylobacterium*. Ces résultats semblent montrer que l'association symbiotique avec les légumineuses est un caractère spécifique à "M. nodulans" qui serait ainsi la première espèce de *Methylobacterium* symbiotique des légumineuses.

Le caractère très spécifique et apparemment unique de l'interaction symbiotique "M. nodulans"-Crotalaria, nous a amené à chercher si la capacité méthylotrophe de "M. nodulans" jouait un rôle dans l'interaction. En effet, certaines espèces de Crotalaria sont connues pour produire des alcaloïdes toxiques (Polhill, 1982; Barri et al., 1984; Silva et al., 1989a, 1989b; Mkiwa et al., 1994; Prakash et al., 1995). Le caractère méthylotrophe de Methylonbacterium nodulans pourrait permettre la détoxification de ces composés. Cela pourrait expliquer sa survie dans la rhizosphère de certaines crotalaires et sa capacité à induire la formation de nodules sur les racines de ces dernières. Notre stratégie était d'une part d'inactiver le gène mxaF et de voir

l'effet sur la symbiose, et d'autre part de suivre son expression pendant les différentes étapes de la symbiose.

Pour cela nous avons choisi de disrupter le gène *mxaF* à l'aide du gène rapporteur *LacZ*, cependant cette stratégie n'a pas fonctionné. Nous avons alors utilisé des mutants spontanés obtenus sur alcool allylique pour suivre l'effet de la méthylotrophie sur la symbiose. Les tests de nodulation avec ces mutants spontanés suggèrent que la propriété méthylotrophe n'intervient pas dans l'interaction entre "M. nodulans" et *Crotalaria*. Cependant il est important de noter que cette absence d'effet pourrait être liée à la dose d'inoculum (10<sup>8</sup> bactéries) utilisée dans nos tests. En effet, sur le nombre très important de bactéries inoculées, certaines auraient pu survivre et induire une nodulation malgré l'excrétion de substances toxiques par les racines. Des tests de nodulation à des concentrations d'inoculum beaucoup plus faibles se rapprochant plus des conditions naturelles permettraient de mieux répondre à cette question du rôle de la méthylotrophie sur la symbiose.

Par ailleurs, l'utilisation des mutants spontanés ne permet pas de suivre l'expression des gènes de la méthylotrophie pendant l'interaction symbiotique. Pour cette raison, il nous paraît indispensable à l'avenir de trouver une autre stratégie de marquage du gène mxaF pour déterminer si la MDH est exprimée pendant la symbiose et d'évaluer son rôle éventuel dans la très spécifique interaction "M. nodulans"-Crotalaria.



Les petites légumineuses tropicales spontanées ont longtemps été considérées comme de simples mauvaises herbes, sans grand intérêt pour l'agriculture des pays du Sud, même si certaines d'entre elles étaient depuis longtemps connues pour leur qualités fourragères. Grâce à leur capacité fixatrice d'azote, ces légumineuses sauvages, caractérisées par une grande diversité en genres et espèces, jouent cependant un rôle majeur dans le maintien de la fertilité des sols, et représentent sans doute un des principaux facteurs d'amélioration du bilan azoté du sol dans les jachères. Ce système traditionnel de culture, autrefois largement répandu en Afrique, étant particulièrement menacé par la surexploitation des terres agricoles due à la pression démographique, il nous est apparu intéressant de faire un bilan de la diversité des rhizobium tropicaux nodulant ces petites légumineuses spontanées.

Dans le premier chapitre de cette thèse, nous avons donc commencé par isoler une large collection de souches de rhizobium à croissance lente (Bradyrhizobium) associées aux petites légumineuses de jachère du Sénégal, et les avons caractérisées taxonomiquement. Nous avons pour cela utilisé deux méthodes de caractérisation (SDS-PAGE et ARDRA) afin de déterminer la position taxonomique de ces souches.

Les principaux résultats de cette étude montrent :

- Une grande diversité des souches isolées des petites légumineuses, qui forment cependant plusieurs groupes phylogénétiques au sein du genre Bradyrhizobium. En effet, parmi les sept clusters définis par la méthode ARDRA, les nouveaux isolats se retrouvent dans cinq groupes phylogénétiques distincts à l'intérieur du genre Bradyrhizobium et quatre de ces groupes correspondent aux groupes de Bradyrhizobium déjà décrits par Molouba et al. (1999)

- Une absence de concordance entre les groupes obtenus avec les deux méthodes utilisées et un manque de relations entre la plante d'isolement des souches, leur origine géographique et leur classification par SDS-PAGE.

Nous avons ainsi confirmé, pour les techniques de caractérisation des Bradyrhizobium, que la méthode SDS-PAGE, pourtant largement utilisée en taxonomie bactérienne, n'était pas adaptée aux Bradyrhizobium, en raison de problèmes de reproductibilité et de la difficulté d'interprétation des profils protéiques. Par contre, la technique ARDRA donne des résultats cohérents qui permettent globalement de distinguer les groupes de Bradyrhizobium déjà définis tel que Bradyrhizobium japonicum, B. elkani, et les Bradyrhizobium photosynthétiques.

Ce travail a été poursuivi par l'utilisation de plusieurs techniques génomiques, qui permettent d'analyser de façon reproductible et rapide un grand nombre de souches (Doignon-Bourcier et al. 2000). Ainsi les groupements obtenus par AFLP et PCR-RFLP de l'IGS sont cohérents et reflètent les relations entre souches en permettant de prédire les espèces.

Outre leur pouvoir discriminatif élevé, ces méthodes donnent des résultats concordants avec l'hybridation ADN/ADN qui reste le critère déterminant de la classification en espèces (Willems et al., 2001 in press). Cependant la mise en œuvre de la technique AFLP est assez lourde et laborieuse, les techniques de PCR-RFLP semblent être les mieux adaptées pour la classification initiale de nouvelles souches de Bradyrhizobium. Elles permettent de déterminer la diversité génétique des souches étudiées et de choisir ensuite les souches représentatives des différents groupes pour définir leur position taxonomique, par comparaison des séquences totales de l'ADNr 16S ou par des hybridations ADN/ADN dans le cas des souches très proches.

Les Bradyrhizobium présentent généralement la particularité d'avoir un large spectre d'hôte qui leur permet de fixer efficacement l'azote dans les nodules de différentes espèces de légumineuses tropicales. On a longtemps cru que les légumineuses tropicales dans leur ensemble n'étaient pas spécifiques. Cependant certaines légumineuses tropicales montrent une très forte spécificité avec les souches de Bradyrhizobium en n'acceptant que leurs propres souches ou des souches de Bradyrhizobium isolées d'un nombre restreint de plantes (Trinick, 1982). Parmi ces légumineuses, on compte les Centrosema sp. (Bowen, 1959), Lotononis bainesii (Norris, 1958), Aspalathus linearis (Staphorst et Strijdom, 1975), Desmodium sp. (Diatloff, 1968 ; Diatloff et Luck, 1972), et Aeschynomene sp. (Molouba et al., 1999).

Parallèlement à ce premier travail de caractérisation globale des rhizobium tropicaux, nous avons effectué des tests de nodulation sur de nombreuses espèces des petites légumineuses spontanées. Alors que la quasi totalité des petites légumineuses tropicales sont connues pour être nodulées par des *Bradyrhizobium* à large spectre d'hôte, nous avons découvert de façon tout à fait surprenante, que certaines espèces végétales appartenant au genre *Crotalaria*, présentaient une grande spécificité de nodulation et ne formaient pas de nodules avec les *Bradyrhizobium* classiques, mais exclusivement avec des souches à croissance rapide. Dans le deuxième chapitre de cette thèse, nous nous sommes donc particulièrement intéressés au genre *Crotalaria*. Ce genre (33 espèces) constitue avec les genres *Indigofera* (44 espèces) et *Tephrosia* (20 espèces) les légumineuses spontanées les plus communément rencontrées dans les jachères au Sénégal.

Dans ce travail, nous avons ainsi étudié la diversité et les propriétés symbiotiques d'une collection de rhizobiums associés aux espèces du genre *Crotalaria*. Jusqu'à présent les crotalaires étaient considérées comme des

légumineuses non spécifiques, qui forment une association symbiotique avec les Bradyrhizobium du groupe "cowpea" (Wilson, 1939, 1944, Allen et Allen, 1981).

Nous avons mis en évidence une très forte spécificité de nodulation chez certaines espèces de crotalaires (C. podocarpa, C. perrottetii et C. glaucoides). Les bactéries associées à ces espèces constituent un groupe très homogène distinct des autres espèces de rhizobiums connues. La caractérisation génotypique et phylogénétique a montré que ces souches appartiennent au genre Methylobacterium et constituent une nouvelle espèce que nous avons nommé: "Methylobacterium nodulans". Le genre Methylobacterium est constitué de bactéries pigmentées en rose, méthylotrophes facultatifs, jusqu'à présent jamais rencontré en association symbiotique avec les légumineuses. Ces bactéries ont la particularité de pouvoir assimiler des composés en C1 comme seule source de carbone et d'énergie. Les membres du genre Methylobacterium sont largement répartis dans la nature, partout où les composés à un carbone sont abondants. Ils vivent également en association avec les plantes, sur les surfaces foliaires et comme contaminant des cultures cellulaires (Corpe et Basile, 1982; Holland et Polacco, 1994; Holland, 1997).

C'est la première fois qu'une symbiose fixatrice d'azote entre une légumineuse et une bactérie du genre Methylobacterium est découverte. Il est cependant possible que d'autres légumineuses que celles appartenant à la tribu des Crotalarieae soient également nodulées par des Methylobacterium. C'est pourquoi, il serait intéressant à l'avenir de rechercher si, parmi les souches isolées de différentes légumineuses et déjà en collection, il n'existe pas d'autres Methylobacterium symbiotiques.

Nous avons également montré que le caractère symbiotique c'est-à-dire la présence des gènes de nodulation, la capacité à induire la formation de nodules et à fixer l'azote n'est pas une propriété commune à toutes espèces de

"M. nodulans" est donc la première espèce de Methylobacterium. Methylobacterium symbiotique connue à ce jour. Cependant la mise en évidence récente d'un groupe de souches isolées d'Aspalathus en Afrique du sud et d'une souche d'Aeschynomene (C. Boivin, communication personnelle) qui selon leur ADNr 165 appartiennent au genre Methylobacterium, laisse paraître la probable diversité des Methylobacterium symbiotiques. Ces derniers pourraient en effet constituer différentes espèces malgré la similarité de leur ADNr 165. Il faut noter qu'il n'existe pas de définition de l'espèce uniquement basée sur les séquences d'ADNr 165, car Fox et al., (1992) ont montré que des espèces qui ont divergé récemment ne peuvent pas toujours être séparées par leur séquences d'ADN 165. Des études complémentaires sont donc nécessaires pour vérifier l'hypothèse de l'existence de différentes espèces de Methylobacterium symbiotiques. Pour cette raison, nous envisageons de faire des études d'hybridation ADN/ADN incluant "M. nodulans", les souches de M. sp. (Lotononis, 4-144 et 4-46), mais aussi les souches d'Aspalathus et la souche d' Aeschynomene.

Il serait également intéressant de rechercher les gènes de nodulation chez les différentes espèces de *Methylobacterium* de collection par d'autres techniques comme l'hybridation ou la complémentation dont les résultats sont plus fiables que ceux de la méthode PCR. En effet, l'utilisation de ces techniques a permis la mise en évidence des gènes *nif* (la nitrogénase) chez certaines bactéries méthylotrophes. Cependant il s'agit essentiellement de bactéries méthanotropohes de type II ou de type X appartenant aux genres *Methylosinus*, *Methylocystis* et *Methylococcus* (Whittenbury et al., 1970; Toukadarian et Lidstrom, 1984a, 1984b; Oakley et Murrell, 1988; Hanson et Hanson, 1996; Hanson et al., 1991; Green, 1992; Bowman et al., 1993).

La découverte de cette nouvelle association symbiotique Crotalaria-Methylobacterium a conduit à des interrogations relatives 1) à la co-évolution entre les crotalaires et les Methylobacterium, 2) à la présence du caractère méthylotrophe chez des rhizobium de crotalaires mais aussi chez les autres espèces de rhizobiums, 3) au rôle de la méthylotrophie dans cette nouvelle symbiose.

## - Crotalaria-Methylobacterium : une Co-évolution ou une adaptation?

Le fait que "Methylobacterium nodulans" ne soit associé spécifiquement qu'à certaines espèces de crotalaires reste à expliquer. Nous avons donc recherché si la forte spécificité de cette interaction n'était pas le résultat d'une co-évolution entre les deux partenaires. Chez le partenaire plante, nous avons donc pour cela comparé les clusters phylogénétiques définis par l'analyse de la région ITS des crotalaires avec les deux groupes d'inoculation croisé que nous avons définis. Chez le partenaire bactérien, nous avons également étudié la phylogénie des gènes de nodulation en particulier le gène nodA chez les deux groupes de souches isolées des différentes espèces de crotalaires.

A partir de l'analyse phylogénétique des crotalaires, nous avons pu mettre en évidence que les espèces regroupées au niveau d'un même cluster, appartiennent au même groupe d'inoculation, à l'exception d'un groupe qui paraît intermédiaire. D'autre part, chez les bactéries, l'analyse phylogénétique du gène nodA a mis en évidence deux clusters correspondant exactement aux deux groupes d'inoculation croisée à savoir le groupe Bradyrhizobium et le groupe Methylobacterium. Cette analyse phylogénétique du gène nodA confirme l'origine monophylétique des gènes nod communs. L'absence de gènes nod chez les Methylobacterium non symbiotiques et les relations phylogénétiques proches entre la protéine NodA des Bradyrhizobium et celle de "M. nodulans" suggère

que cette dernière espèce aurait acquis ces capacités symbiotiques par un transfert latéral de gènes.

Les crotalaires sont connues pour la production d'alcaloïdes toxiques pour le bétail et pour les insectes. L'association Methylobacterium-Crotalaria pourrait s'expliquer par le fait que les Methylobacterium, grâce à leur activité méthylotrophe, sont capables de détoxiquer les produits exsudés par les racines des crotalaires et de les utiliser comme substrats carbonés. La rhizosphère des crotalaires constituerait ainsi pour les Methylobacterium un avantage dans la compétition pour la nodulation. L'extraction et l'analyse des exsudats racinaires des espèces de crotalaires spécifiques sont donc à envisager pour étudier leur nature et voir leur effet sur la croissance des souches de Methylobacterium et de Bradyrhizobium.

Par ailleurs, l'étude des gènes de nodulation de "Methylobacterium nodulans" révèle la présence de gènes tronqués (nodU et nodQ) ou l'absence de certains gènes (nodS, nodP), ce qui est généralement dû à des remaniements génétiques comme cela a été observé chez certaines espèces de rhizobiums. Cette réorganisation génétique pourrait affecter la coordination de l'expression des gènes de nodulation, entraînant ainsi la production de facteurs de nodulation atypiques qui seraient à l'origine de la spécificité Methylobacterium-Crotalaria. Au vu des résultats, il serait intéressant d'étudier la fonctionnalité des gènes partiels nodU et nodQ et de vérifier s'il n'existe pas des copies entières de ces deux gènes dans le génome d'ORS 2060. Par ailleurs il serait nécessaire d'une part de surproduire les facteurs Nod d'ORS 2060 pour étudier leur structure, et d'autre part de compléter l'analyse des séquences des gènes de nodulation aux régions environnantes. Enfin, la détermination du caractère plasmidique ou chromosomique des gènes de nodulation chez "Methylobacterium nodulans" est à envisager.

"Methylobacterium nodulans": un rhizobium méthylotrophe facultatif?

Dans le troisième chapitre de cette thèse, nous avons étudié les propriétés méthylotrophes de "Methylobacterium nodulans" et de différentes espèces de rhizobiums. Pour cela nous avons d'une part recherché les gènes de la méthylotrophie, et d'autre part testé leur aptitude à utiliser les composés monocarbonés comme source de carbone.

Nous avons mis en évidence chez "M. nodulans", la présence du gène mxaF qui code pour la grande sous-unité de la méthanol deshydrogénase, enzyme qui intervient dans l'oxydation du méthanol en formaldéhyde chez les bactéries méthylotrophes. Le clonage et le séquençage de ce gène à partir d'une banque d'ADN génomique nous a permis de montrer que ce gène constitue une orf de 1890 pb codant pour une protéine de 629 acides aminés qui présente 88% d'homologie avec les protéines MxaF de Methylobacterium organophilum et de Methylobacterium extorquens. L'analyse phylogénétique montre que le gène mxaF de "M. nodulans" appartient au même cluster que celui des bactéries méthylotrophes des sous-classes  $\alpha$  et  $\beta$  des protéobactéries. Nous avons également vérifié l'état fonctionnel du gène mxaF c'est-à-dire le véritable caractère méthylotrophe de "M. nodulans" par des tests de croissance sur des substrats monocarbonés. Il ressort des résultats obtenus que "M. nodulans" comme l'ensemble des Methylobacterium est méthylotrophe facultatif. En effet elle est capable d'utiliser aussi bien des composés pluricarbonés (pyruvate, succinate, glutamate, arabinose) que des composés à un seul carbone comme le méthanol, le formate ou le formaldéhyde, comme seule source de carbone.

De nombreux travaux ont montré que l'oxydation du méthanol chez Methylobacterium est complexe non seulement en termes de nombre de gènes requis, mais aussi de régulation. Les gènes intervenant dans l'oxydation du méthanol et l'assimilation du formaldéhyde sont regroupés en quatre loci sur le chromosome de *M. extorquens*, et dans pas moins de sept régions chromosomiques chez *M. organophilum* (Allen et Hanson, 1985, Bastien *et al.*, 1989; Machlin et Hanson, 1988; Van Spanning *et al.*, 1991; Lidstrom *et al.*, 1994; Morris *et al.*, 1994, 1995; Springer *et al.*, 1995). Dans notre étude, nous avons pu isoler le gène qui code pour la grande sous-unité de la MDH chez "M. nodulans", mais pour comprendre le schéma génétique de l'oxydation du méthanol chez cette nouvelle espèce, il est indispensable de poursuivre le séquençage pour isoler tous les gènes impliqués dans la méthylotrophie et de comparer leur organisation et leur régulation aux modèles *M. extorquens* et *M. organophilum*, les deux espèces les plus étudiées.

Dans l'étude de la méthylotrophie, nous avons également inclus plusieurs souches représentant différentes espèces de rhizobiums. Les résultats montrent que les différentes espèces de rhizobiums utilisées dans cette étude ne sont pas méthylotrophes. En effet, elles n'ont pas de gène mxaF et sont incapables d'utiliser le méthanol comme seule source de carbone prouvant ainsi que la méthylotrophie n'est pas un caractère commun à tous les rhizobiums mais plutôt spécifique à "M. nodulans". Cependant chez l'ensemble des espèces de rhizobiums testées nous avons mis en évidence un gène proche des gènes mxaf' et xoxF décrits chez M. extorquens et Paracoccus denitrificans et qui coderaient pour une deshydrogénase de fonction inconnue. Le caractère méthylotrophe de "M. nodulans", propriété unique chez les rhizobiums pose la question du rôle de la méthylotrophie dans la symbiose Crotalaria-"M. nodulans". L'inoculation de mutants spontanés non méthylotrophes, qui restent capables de former des nodules fixateurs d'azote sur des jeunes plants de Crotalaria perrottetii, semble montrer que le méthylotrophie ne joue pas un rôle important dans l'infection et le développement du nodule dans la symbiose Crotalaria-"M. nodulans". Cependant, la méthylotrophie pourrait jouer un rôle majeur pour la survie de "M. nodulans" dans la rhizosphère des crotalaires. Nous n'avons pas

vérifié cette hypothèse qui aurait demandé d'effectuer des expériences de compétition entre souches méthylotrophes et non méthylotrophes (mutants spontanés). D'autre part, les mutants spontanés n'ont pas permis de suivre l'expression du gène mxaF pendant la symbiose. Nous envisageons à l'avenir d'obtenir, par insertion d'un gène rapporteur, des mutants isogéniques qui permettent de mieux définir le rôle de la méthylotrophie dans l'interaction "M. nodulans"-Crotalaria, en utilisant des vecteurs déjà utilisés dans la mutagénèse des Methylobacterium non symbiotiques (Holloway, 1984).

## Methylobacterium-légumineuse, un potentiel pour la dépollution ?

Les bactéries méthylotrophes sont connues pour leur capacité à métaboliser divers composés à groupements toxiques et par conséquent jouent un rôle important dans la dégradation des polluants, tels que les hydrocarbures, les pesticides tels que le bromure de méthyle dont les rejets détruisent la couche d'ozone, les composés halogénés, ou encore les composés chlorés qui polluent les nappes d'eau souterraines (Lidstrom et Stirling, 1990 ; Hancock et al., 1998 ; Fogel et al., 1986 ; Kohler-Straub et al., 1986 ; Scholtz et al., 1988). Les Methylobacterium se retrouvent en grand nombre dans les sols et les eaux pollués par le trafic automobile, et en particulier aux abords des grands axes routiers. Ils sont en effet capables de dégrader les multiples composés toxiques rejetés par les pots d'échappement des automobiles (Green, 1991).

La découverte de la symbiose Crotalaria-Methylobacterium ouvre ainsi des perspectives dans l'utilisation des légumineuses à des fins écologiques. Ainsi, l'utilisation de l'association Methylobacterium-Crotalaria, ou dans le futur d'une autre association Methylobacterium-légumineuse tempérée, pour dépolluer les abords des autoroutes ou les milieux urbains est ainsi envisageable. Pour cela, il serait très intéressant tout d'abord de tester au niveau du laboratoire les véritables capacités de dépollution biologique de "M. nodulans" afin de

Conclusion générale et perspectives déterminer la nature des composés dégradés, mais également pour sélectionner les souches les plus efficaces à cet effet.



- 1. Alazard, D. 1985. Stem and root nodulation in Aeschynomene spp. Appl. Environ. Microbiol. 50. 732-734.
- 2. Alfonso, H. A., Angeles Figueuredo, M. D. I., Sanchez, L. M., and Gomez, B. C. 1993. Intoxication due to *Crotalaria retusa* and *C. spectabilis* in chikens and gees. Veterinary & Human Toxicology. 35. 539.
- 3. Allen, L. N., Olstein, A., Haber, C., and Hanson, R. S. 1984. Genetic and biochemical studies of representative type II methylotrophic bacteria. 236-243. In Microbial growth on C<sub>1</sub> compounds. R. L. Crawford, and Hanson R. S. (Eds). Am. Soc. Microbiol. Press, Washington.
- 4. Allen, N. L., and Hanson, R. S. 1985. Construction of a broad-host-range cosmid cloning vectors: identification of genes necessary for growth of Methylobacterium organophilum xx on methanol. J. Bacteriol. 161. 955-962.
- 5. Allen, O. N., and Allen, E. K. 1981. The leguminosae, a source book of characteristic, uses and nodulation. the university of Wisconsin Press, Madison, P. 812.
- Al-taho, N. M., Cornish, A., and Warner, P. J. 1990. Molecular cloning of methanol dehydrogenase structural genes from Methylosinus trichosporium OB3b. Curr. Microbiol. 20. 153-157.
- 7. Altschul, S. F., Gish, W., Miller, W., Myers, E. W., and Lipman, D. J. 1990. Basic local alignment search tool. J. Mol. Biol. 215. 403-410.
- Amann, R., Ludwig, W., and Schleifer, K. H. 1988. β-subunit of ATP-synthase: a useful marker for studying the phylogenetic relationship of bacteria.
   J. Gen. Microbiol. 134. 2815-2821.
- 9. Amarger, N., Macheret, V., and Laguerre, G. 1997. Rhizobium gallicum sp. nov. and Rhizobium giardinii sp. nov., from Phaseolus vulgaris nodules. Int. J. Syst. Bact. 47. 996-1006.
- Anderson, D. J., and Lidstrom, M. E. 1988. The moxFG region encodes four polypeptides in the methanol-oxidizing bacterium Methylobacterium sp AM1. J. Bacteriol. 170. 2254-2262.
- Anderson, D. J., Morris, C. J., Nunn, D. N., Anthony, C., and Lidstrom,
   M. E. 1990. Nucleotide sequence of the Methylobacterium extorquens AM1 moxF and moxJ genes involved in methanol oxidation. Gene. 90. 173-176.
- 12. Anderson, D. M., and Mills, D. 1985. The use of transposon mutagenesis in the isolation of nutritional and virulence mutants in two pathovars of *Pseudomonas syringae*. Phytopathology. 75. 104-108.
- 13. Anthony, C. 1982. the biochemestry of Methylotrophs. Academic Press. London.
- 14. Anthony, C. 1986. Bacterial oxydation of methane and Methanol. Adv. Microbiol. Physiol. 27. 113-210.

- 15. Anthony, C. 1991. Assimilation of carbon in methylotrophs. In Biology of methylotrophs. I. A. Goldberg, and Rokem, J. S. (eds). Butherworth-Heinemann, Stoneham, Mass.
- Arfman, N., Watling, E. M., Clement, W., Van Ousterwijk, R. J., De Vries, G. E., Harder, W., Attwood, M. M., and Dijkhuizen, L. 1989. Methanol metabolism in thermotolerant methylotrophic Bacillus strains involving a novel catabolic NAD-dependent methanol dehydrogenase as a key enzyme. Arch. Microbiol. 152, 283-288.
- 17. Arzt, J., and Mount, M. E. 1999. Hepatotoxicity associated with pyrrolizidine alkaloid (*Crotalaria ssp*) ingestion in horse on Easter Island. Vet. Hum. Toxicology. 41. 96-99.
- 18. Atkinson, E. M., and Long, S.R. 1992. Homology of Rhizobium meliloti NodC to polysaccharide polymerizing enzymes. MPMI 5. 439-442.
- 19. Atkinson, E. M., Palcic, M. M., Hindsgaul, O., and Long, S. R. 1994. Biosynthesis of *Rhizobium meliloti* lipooligosaccharide Nod factors: NodA is requiered for and N-acetyltransferase activity. PNAS 91. 8418-8422.
- 20. Austin, B., and Googfellow, M. 1979. Pseudomonas mesophilica, a new species of pink bacteria isolated from leaf surfaces. Int. J. Syst. Bacteriol. 29. 373-378.
- 21. Austin, B., Googfellow, M., and Dickinson, C. H. 1978. Numerical taxonomy of phylloplane bacteria isolated from *Lolium perenne*. J. Gen. Microbiol. 104, 139-155.
- Baldwin, B. G., Sanderson, M. J., Porter, J. M., Campbell, C. S., and Donoghue, M. J. 1995. The ITS region of the nuclear ribosomal DNA: A valuable source of evidence on angiosperms phylogeny. Ann. Mo. Bot. Gard. 82. 247-277.
- 23. Barnett, M. J., and Long, S. R. 1990. DNA sequence and translational product of a new nodulation-regulatory locus: SyrM has sequence similarity to NodD protein. J. Bacteriol. 172. 3695-3700.
- 24. Barrera, L. L., Trujillo, M. E., Goodfellow, M., Garcia, F. J., Hernandez-Lucas, I., Davila, G., Van Berkum, P., and Martinez-Romero, E. 1997. Biodiversity of *Bradyrhizobia* nodulating *Lupinus spp.* Int. J. Syst. Bact. 47. 1086-1091.
- 25. Barri, M. E., Adam, S. E., and Omer, O. H. 1984. effects of *Crotalaria saltiana* on nubian goats. Vet. Hum. Toxicology. 26. 476-780.
- 26. Barta, T. M., and Hanson, R. S. 1993. Genetics of methane and methanol oxidizing in Gram-negative methylotrophic bacteria. Antonie van Leeuwenhoek. 64. 109-120.
- 27. Basile, D. V., Slade, L. L., and Corpe, W. A. 1969. An association between a bacterium and liverwort, *Scapania nemorosa*. Bull. Torrey Bot. Club. 96. 711-714.

- 28. Bassalik, C., Janota-Bassalik, L., and Brisou, J. 1960. Etude sur Flavobacterium extorquens (ex. Pseudomonas extorquens). Ann. Inst. Pasteur. 98. 165-168.
- 29. Bassalik, K. 1913. Uber die verarbeitung der oxalsäure durch Bacillus extorquens n. sp. jahrb. Botan. 53. 255-302.
- 30. Bastien, C., Machlin, S., Zhang, Y., Donaldson, K., and Hanson, R. S. 1989. Organization of genes required for the oxidation of methanol to formaldehyde in three type II methylotrophs. Appl. environ. Microbiol. 55. 3124-3130.
- 31. Bec-Ferte, M. P., Krishnan, H. B., Prome, D., Savagnac, A., Pueppke, S. G., and Prome, J. C. 1994. Structures of nodulation factors from the nitrogen fixing soybean symbiont *Rhizobium fredii* USDA257. Biochemistry. 33. 11782-11788.
- 32. Bec-Ferte, M. P., Krishnan, H. B., Savagnac, A., Pueppke, S. G., and Prome, J. C. 1996. Rhirobium fredii synthesizes an array of lipooligosaccharides, including a novel compound with glucose inserted into the backbone of the molecule. FEBS Letters. 393. 273-279.
- 33. Becker, M., and Johnson, D. E. 1999. The role of legume fallows in intensified upland rice-based systems of West Africa. Nutrient Cycling in Agroecosystems. 53. 71-81.
- 34. Beijerinck, M. 1888. Die Bacterien der papilionaceenknöllchen. Botanische Zeitung. 46. 797-804.
- 35. Bena, G., Jubier, M. F., Olivieri, I., and Lejeune, B. 1998a. Ribosomal external and internal transcribed spacers: Combined use in the phylogenetic analysis of Medicago (Leguminosae). J. Mol. Evol. 46. 299-306.
- 36. Bena, G., Lejeune, B., Prosperi, J. M., and Olivieri, I. 1998b. Molecular phylogenetic approach for studying life-history evolution: the ambiguous example of the genus *Medicago* L. Proc. R. Soc. Lond. [Biol]. 265. 1141-1151.
- 37. Bena, G., Prosperi, J. M., Lejeune, B., and Olivieri, I. 1998c. Evolution of annual species of the genus *Medicago*: A molecular phylogenetic approach. Mol. Phylogenet. Evol. 9. 552-559.
- 38. Benson, D. R., and Silvester, W. B. 1993. Biology of Frankia strains, actinomycete symbionts of actinorhizal plants. Microbiol. Reviews. 57. 293-319.
- 39. Berhaut, J. 1976. Flore illustrée du Sénégal. Dicotylédones. Tome V. Légumineuses, Papilionacées. 658pp.
- 40. Beringer, J. E. 1974. R factor transfer in *Rhizobium leguminosarum*. J. Gen. Microbiol. 84. 188-198.
- 41. Bhat, J. V., and Barker, H. A. 1948. Studies on a new oxalate decomposing bacterium, Vibrio oxalaticus. J. Bacteriol. 55. 359-368.

- 42. Bingen, E. H., Denamur, E., and Elion, J. 1994. Use of ribotyping in epidemiological surveillance of nosocomial outbreaks. Clin. Microbiol. Rev. 7. 311-327.
- 43. Biville, F., Turlin, E., and Gasser, F. 1989. Cloning and genetic analysis of six pyrroloquinoline quinone biosynthesis genes in *Methylobacterium organophilum* DSM 760. J. Gen. Microbiol. 135, 2917-2929.
- 44. Bohanon, M. J., Bastien, C. A., Yoshida, R., and Hanson, R. S. 1987. Isolation of auxotrophic mutants of *Methylophilus methylotrophus* by modified marker exchange. Appl. Environ. Microbiol. 54. 271-273.
- 45. Boivin, C., and Giraud, E. 1999. Molecular symbiotic characterization of rhizobia Toward a polyphasic approach using Nod factors and nod genes? 295-299. Highlights of nitrogen fixation research. Martinez, and Hernandez. Kluwer.
- 46. Boivin, C., Ndoye, I., Lortet, G., Ndiaye, A., De Lajudie, P., and Dreyfus, B. 1997. The Sesbania root symbionts Sinorhizobium saheli and S. teranga bv. Sesbaniae can form stem nodules on Sesbania rostrata, altough they are less adapted to stem nodulation than Azorhizobium caulinodans. Appl. Environ. Microbiol. 63. 1040-1047.
- 47. Boone, C. M., Olsthoon, M. M. A., Dakora, F. D., Spaink, H. P., and Thomas-Oates, J. E. 1999. Structural characterization of lipo-chitin oligosaccharides isolated from *Bradyrhizobium aspalati*, microsymbionts of commercially important south African legumes. Carbohydrate Research. 317. 155-163.
- 48. Bottomley, P. J., Cheng, H. H., and Strain, S. R. 1994. Genetic structure and symbiotic characteristics of a *Bradyrhizobium* population recovered from a pasture soil. Appl. environ. Microbiol. 60. 1754-1761.
- 49. Bowen, G. B. 1959. Specificity and nitrogen fixation in Rhizobium symbiosis of Centrosema pubescens Benth. J. Agric. Sci. 16. 267-281.
- 50. Bowman, J. P., Sly, L. I., Nichols, P. D., and Hayward, A. C. 1993. Revised taxonomy of the methanotrophs: description of *Methylobacter* gen. nov., emendation of *Methylococcus*, validation of *Methylosinus*, and *Methylocystis* species, and a proposal that the family *Methylococcaceae* includes only the group I methanotrophs. Int. J. Baceriol. 43. 735-753.
- 51. Bratina, B. J., Brusseau, G. A., and Hanson, R. S. 1992. Use of 165 rRNA analysis to investigate phylogeny of methylotrophic bacteria. Int. J. Syst. Bacteriol. 42. 645-648.
- 52. Brenner, D. J., Fanning, G. R., Rake, A. V., and Johnson, K. E. 1969. Batch procedure for thermal elution of DNA from hydroxyapatite. Analytical Biochemistry. 28. 447-459.

- 53. Bridges, J. 1976. An analysis of selected environmental factors which influence growth and development of the liverwort *Scapania nemorosa* (L.) DUM with an emphasis on its in vitro relationship to the bacterium *Pseudomonas extorquens* (Bassalik). Columbia University Library.
- 54. Brusseau, G. A., Bulygina, E., and Hanson, R. S. 1994. Phylogenetic analysis and development of probes for differentiating methylotrophic bacteria. Appl. Environ. Microbiol. 60. 626-636.
- 55. Burton, J. C. 1952. Host specificities among certain plants in the cowpea cross-inoculation group. Soil Sci. Soc. Am. Proc. 16. 356-358.
- 56. Caetano-Anolles, G., Bassam, B. J., and Gresshoff, P. M. 1991. DNA amplification fingerprinting using very short arbitrary oligonucleotide primers. Biotechnology. 9. 553-557.
- 57. Cardenas, L. D., J., Quinto, C., Lopez-Lara, I. M., Lugtenberg, B. J. J., Spaink, H.P., Rademaker, G. J., Haverkamp, J. and Thomas-Oates, J. E. 1995. Isolation, chemical structures and biological activity of the lipo-chitin oligosaccharide nodulation signals from Rhizobium etli. Plant mol. Biol. 29. 453-464.
- 58. Carlson, R. W., Sanjuan, J., Bhat, U. R., Glushka, J., Spaink, H. P., Wijfjes, A. H. M., Van Brussel, A. A. N., Stokkermans, T. J. W., Peters, N. K., and Stacey, G. 1993. The structures and biological activites of the lipo-oligosaccharide nodulation signals produced by type I and II strains of Bradyrhizobium japonicum. J. Biol. Chemistry. 268. 18372-18381.
- 59. Carroll, W. R. 1934. A study of *Rhizobium* species in relation to nodule formation on the root of Florida legumes. Soil Sci. 37. 117-137.
- 60. Charrtte, G. 1987. Homeopatische arzneimitellehre für die praxis, HippoKrates, P115. Sttugart.
- Chen, W. X., Li, G. S., Qi, Y. L., Wang, E. T., Yuan, H. L., and Li, J. L. 1991. Rhizobium huakuii sp. nov. isolated from the root nodules of Astragalus sinicus. Int. J. Syst. Bacteriol. 41. 275-280.
- 62. Chen, W. X., Tan, Z. Y., Gao, J. L., Li, Y., and Wang, E. T. 1997. Rhizobium hainanense sp. nov., isolated from tropical legumes. Int. J. Syst. Bacteriol. 47. 870-873.
- 63. Chen, W. X., Yan, G. H., and Li, J. L. 1988. Numerical taxonomic study of fast growing soybean rhizobia and a proposal that *Rhizobium fredii* be assigned to *Sinorhizobium* gen. nov. Int J. Syst. Bacteriol. 38. 392-397.
- 64. Chen, W., Wang, E., Wang, S., Li, Y., Chen, X., and Li, Y. 1995. Characteristics of Rhizobium tianshanense sp. nov. a moderately and slowly growing root nodule bacterium isolated from an arid saline environment in Xinjiang, people's republic of China. Int. J. Syst. Bacteriol. 45. 153-159.

- 65. Chistoserdova, L., and Lidstrom, M. E. 1997. Molecular and mutational analysis of a DNA region separting two methylotrophy gene clusters in *Methylobacterium extorquens* AM1. Microbiology. 143. 1729-1736.
- 66. Cloutier, J., Laberge, S., and Antoun, H. 1997. Sequence and mutational analysis of the 6.7-kb region containing nodAFEG genes of Rhizobium sp. strain N33: Evidence of DNA rearrangements. MPMI. 10. 401-406.
- 67. Cloutier, J., Laberge, S., Castonguay, Y., and Antoun, H. 1996. Characterization and mutational analysis of *nodHPQ* genes of *Rhizobium* sp. strain N33. MPMI 9. 720-728.
- 68. Colwell, R. R. 1970. Polyphasic taxonomy of the genus Vibrio: numerical taxonomy of vibrio cholerae, Vibrio parahaemolyticus, and related Vibrio species. J. Bacteriol. 104. 410-433.
- 69. Conklin, M. E. 1936. Study of root nodule organisms of certain wild legumes. Soil Sci. 41. 167-185.
- 70. Corby, H. D. L. 1974. The incidence of Rhizobial nodulation among legumes dominant in the Flora zambesiaca area of Africa. kirkia. 13. 365-375.
- 71. Corpe, W. A., and Basile, D. V. 1982. Methanol utilizing bacteria associated with green plants. Dev. Industrial Microbiol. 23. 483-493.
- 72. Corpe, W. A., and Rheen, S. 1989. Ecology of methylotrophic bacteria on living leaf surfaces. FEMS Microbiol. Ecol. 62. 243-250.
- 73. Costas, M. 1992. Classification, identification, and typing of bacteria by the analysis of their one-dimensional polyacrylamide gel electrophoresis protein patterns. Adv. Electrophor. 5. 351-408.
- 74. Cousineau, B., Cerpa, C., Lefebvre, J., and Cedergren, R. 1992. The sequence of the gene encoding elongation factor Tu from *Chlamydia trachomatis* compared with those of other organisms. Gene. 120. 33-41.
- 75. Crosa, J. H., Brenner, D. J., and Falkow, S. 1973. Use of a single-strand specific nuclease for analysis of bacterial and plasmid deoxyribonucleic acid homo-and heteroduplexes. J. Bacteriol. 115. 904-911.
- Crow, V. L., Jarvis, B. D. W., and Greenwood, R. M. 1981.
   Deoxyribonucleic acid homologies among acid producing strains of *Rhizobium*. Int. J. Syst. Bacteriol. 31. 152-172.
- Date, R., A. 1976. Inoculation of tropical pasture legumes. Exploiting the legume -Rhizobium symbiosis in tropical Agriculture Conference. Hahului, Maui, Hawai. pp293-331.
- 78. Day, D. J., Nunn, D. N., and Anthony, C. 1990. Characterization of a novel soluble c-type cytochrome in moxD mutant of Methylobacterium extorquens AM1. J. Gen. Microbiol. 136. 181-188.
- 79. De Faria, S. M., Lewis, G. P., Sprent, J. I., and Sutherland, J. M. 1989. Occurence of nodulation in the leguminosae. New Phytol. 111. 607-619.

- 80. De Lajudie, P., Laurent Fulele, E., Willems, A., Torck, U., Coopman, R., Collins, M. D., Kersters, K., Dreyfus, B., and Gillis, M. 1998b. Allorhizobium undicola gen. nov., sp. nov., nitrogen-fixing bacteria that efficiently nodulate Neptunia natans in Senegal. Int. J. Syst. Bacteriol. 48. 1277-1290.
- 81. De Lajudie, P., Willems, A., Nick, G., Moreira, F., Molouba, F., Hoste, B., Torck, U., Neyra, M., Collins, M. T., Lindstrom, K., Dreyfus, B., and Gillis, M. 1998a. Characterization of tropical tree rhizobia and description of Mesorhizobium plurifarium sp. nov. Int. J. Syst. Bacteriol. 48. 369-382.
- 82. De Lajudie, P., Willems, A., Pot, B., Dewettinck, D., Maestrojuan, G., Neyra, M., Collins, M. T., Dreyfus, B., Kersters, K., and Gillis, M. 1994. Polyphasic taxonomy of Rhizobia: emendation of the genus Sinorhizobium and description of Sinorhizobium meliloti comb. nov. Sinorhizobium saheli sp. nov., and Sinorhizobium teranga sp. nov. Int. J. Syst. Bacteriol. 44. 715-733.
- 83. De Ley, J., Cattoir, H., and Reynaerts, A. 1970. The quantitative measurement of DNA hybridization from renaturation rates. Eur. J. Biochem. 12, 133-142.
- 84. De Vries, G. 1986. molecular biology of bacterial methanol oxidation. FEMS Microbiol. Rev. 39. 235-258.
- 85. De Vries, G. E., Kues, U., and Stahl, U. 1990. Physiology and genetics of methylotrophic bacteria. FEMS Microbiol. Rev. 75. 57-102.
- 86. De Vries, J. T., and Derx, H. G. 1953. On the occurrence of Mycoplana rubra and its identity with Protaminobacter ruber. Ann. bogoriensis. 1. 53-60.
- 87. De Weger, L. A., Jann, B., and Lugtenberg. 1987. Lipopolysaccharides of *Pseudomonas spp.* that stimulate plant growth: composition and use for strain indentification. J. Bacteriol. 169. 1441-1446.
- 88. Debelle, F., Rosenberg, C., and Dénarié, J. 1992. The Rhizobium, Bradyrhizobium, and Azorhizobium NodC proteins are homologous to yeast chitin synthases. MPMI. 5. 443-446.
- 89. Deleve, L. D., Wang, X., Kuhlenkamp, J. F., and Kaplowitz, N. 1996. toxicity of azathiprine and monocrotaline in murine sinusoidal endothelial cells and hepatocytes: the role of glutathion and relevance to hepatic venoocclusive disease. Hepatology. 23. 589-599.
- Demont, N., Debelle, F., Aurelle, H., Denarie, J., and Prome, J. C. 1993. Role of the Rhizobium meliloti nodF and nodE genes in the biosynthesis of lipo-oligosaccharidic nodulation factors. J. Biological Chemistry. 268. 20134-20142.
- 91. Den Dooren de Jong, L. E. 1927. Ueber protaminophage Bakterien;. Zentralbl. Bakteriol. (Abteilung II). 71. 193-232.
- 92. Dénarié, J., Debelle, F., and Prome, J. C. 1996. Rhizobium lipochitooligosaccharide nodulation factors: Signaling molecules mediating recognition and morphogenesis. Annu. Rev. Biochem. 65. 503-535.

- 93. Dénarié, J., Debelle, F., Rosenberg, C. 1992. Signaling and host range variation in nodulation. Ann. Rev. Microbiol. 46. 497-531.
- 94. Devereux, J., Haeberli, P., and Smithies, O. 1984. A comprehensive set of sequence analysis programs for the VAX. Nucleic Acid Res. 12. 387-395.
- 95. Ditaloff, A. 1968. Nodulation and nitrogen fixation in some Desmodium species. Queensl. J. Agric. Sci. 25. 165-167.
- 96. Ditaloff, A., and Luck, P. E. 1972. The effects of the interactions between seed inoculation, pelleting and fertilizer on growth and nodulation of *Desmodium* and *Glycine* on two soils in S. E. Queensland. Trop. Grassl. 6. 33-38.
- 97. Doignon-Bourcier, F. 1999. Eudes taxonomiques de *Bradyrhizobium* symbiotiques de petites légumineuses du Sénégal. Thèse Doctorat Université Claude Bernard Lyon 1. Lyon. 213pp.
- 98. Doignon-Bourcier, F., Sy, A., Willems, A., Torck, U., Dreyfus, B., Gillis, M., and De Lajudie, P. 1999. Diversity of *Bradyrhizobia* from 27 tropical *Leguminosae* species native of Senegal. System. Appl. Microbiol. 22. 647-661.
- 99. Doignon-Bourcier, F., Willems, A., Coopman, R., Laguerre, G., Gillis, M., and De Lajudie, P. 2000. Genotypic characterization of Bradyrhizobium strains nodulating small Senegales legumes by 165-235 rRNA intergenic gene spacers and amplified fragment length polymorphism fingerprint analyses. Appl. Environ. Microbiol. 66. 3987-3997.
- Don, R. H., Cox, P. T., Wainwright, B. J., Baker, K., and Mattick, J. S. 1991. Touchdown PCR to circumvent spurious priming during gene amplification. Nucleic Acids Research. 19, 4008.
- 101. Doronina, N. V., Trotsenko, Y. A., Tourova, T. P., Kuznetsov, B. B., and Leisinger, T. 2000. Methylopila helvetica sp. nov. and Methylobacterium dichloromethanicum sp. nov. novel aerobic facultatively methylotrophic bacteria utilizing dichloromethane. Syst. appl. Microbiol. 23. 210-218.
- 102. Doudoroff, M., and Palleroni, N., J. 1974. Bergey's manual of determinative bacteriology. Williams & Wilkins Co. Baltimore.
- 103. Dower, W. J., Miller, J. F., and Ragsdale, C. W. 1988. High efficiency transformation of *E. coli* by high voltage electroporation. Nucleic Acids Res. 16. 6127-6145.
- 104. Downie, J. A. K., D. D., Johnston, A. W. B. and Rossen, L. 1985. Identification of genes and gene production involved in the nodulation of peas by *Rhizobium leguminosarum*. Mol. Gen. Genet. 198. 255-262.
- 105. Doyle, J. J., Doyle, J. L., Ballenger, J. A., Dickson, E. E., Kajita, T., and Ohashi, H. 1997. A phylogeny of the chloroplast gene rbcL in the Leguminosae: Taxonomic correlations and insights into the evolution of modulation. Amer. J. Bot. 84, 541-554.

- 106. Dreyfus, B., Garcia, J. L., and Gillis, M. 1988. Characterization of Azorhizobium caulinodans gen. nov., sp. nov., a stem nodulating nitrogen fixing bacterium isolated from Sesbania rostrata. Int. J. Syst. Bacteriol. 38. 89-98.
- 107. Duine, J. A., Frank, J., and Berkhout, M. P. J. 1984. NAD-dependent, PQQ-containing methanol dehydrogenase: a bacterial dehydrogenase in multienzyme complex. FEBS lett. 168. 217-224.
- 108. Duine, J. A., Frank, J., and Verwiel, P. E. J. 1980. structure and activity of the prosthetic group of methanol dehydrogenase. Eur. J. Biochem. 108. 187-192.
- 109. Dupuy, N., Willems, A., Pot, B., Dewettinck, D., Vandenbruaene, I., Maestrojuan, G., Dreyfus, B., Kersters, K., Collins, M. D., and Gillis, M. 1994. Phenotypic and genotypic characterization of *Bradyrhizobia* nodulating the leguminous tree *Acacia albida*. Int. J. Syst. Bacteriol. 44. 461-473.
- 110. Dworkin, M., and Foster, J. W. 1956. Studies of *Pseudomonas methanica* (Söhngen) nov. comb. J. Bacteriol. 72. 646-659.
- 111. Eaglesham, A. R. J., Ellis, J. M., Evans, W. R., Fleischman, D. E., Hungria, M., and Hardy, R. W. F. 1990. The first photosynthetique N2-fixing Rhizobium: characteristics. Nitrogen Fixation Achievements and Objectives.. Gresshof, P. M., Roth, L. E., Stacey, G. and Newton, W. L. (eds). Chapman and Hall, New York.
- 112. Elmerich, C., Zimmer, W., and Vielle, C. 1992. Associative nitrogen-fixing bacteria. 221-257. Biological nitrogen fixation. Stacey, G., Burris, R. H., and Evans, H. J. (eds) Chapman & Hall.
- 113. Evans, I. J., and Downie, J. A. 1986. the NodI productof Rhizobium leguminosarum related to ATP-binding transport proteins: nucleotide sequence of the nodI and NOdJ genes. Gene. 43. 95-101.
- 114. Everitt, B. S. 1993. Cluster alalysis. John wiley and sons Inc., NY. USA. 170.
- 115. Ezaki, T., Hashimoto, Y., and Yabuuchi, E. 1989. Fluorometric deoxyribonucleic acid hybridization in microdilution wells as an alternative to membrane filter hybridization in which radioisotopes are used to determine genetic relatedness among bacterial strains. Int. J. Syst. Bacteriol. 39, 224-229.
- Fellay, R., Perret, X., Viprey, V., Broughton, W. J., and Brenner, S.
   1995b. Organization of host inducible transcripts on the symbiotic plasmid of Rhizobium sp. NGR234. Molecular Microbiology. 16. 657-667.
- 117. Fellay, R., Rochepeau, P., Relic, B., and Broughton, W. J. 1995a. Signals to and emanating from *Rhizobium* largely control symbiotic specificity. 199-220. Pathogenesis and host specificity in plant diseases. Singh, U. S.,. Singh, R. P., and Kohmoto, K. (eds). Elsevier.

- 118. Ferragut, C., Izard, D., Gavini, F., kersters, K., De Ley, J., and Leclerc, H. 1983. Klebsiella trevisanii: a new species from watered soil. Int. J. Syst. Bacteriol. 33. 133-142.
- 119. Ferro, M., Lorquin, J., Ba, S., Sanon, K., Promé, J. C., and Boivin, C. 2000. Bradyrhizobium sp. strains that nodulate the leguminous tree Acacia albida produce fucosylated and partially sulfated nod factors. Appl. Environ. Microbiol. 66. 5078-5082.
- 120. Fiedler, S., and Wirth, R. 1988. Transformation of bacteria with plasmid DNA by electroporation. Anal. Biochem. 170. 38-44.
- 121. Firmin, J. L., Wilson, K. E., Carlson, R. W., Davies, A. E., and Downie, J. A. 1993. Resistance to nodulation of afghanistant peas is overcome by nodX, which mediates and O-acetylation of the *Rhizobium leguminosarum* lipooligosaccharide nodulation factor. Molecular Microbiology. 10. 351-360.
- 122. Fischler, M., Wortmann, C. S., and Feil, B. 1999. Crotalaria (C. ochroleuca G. Don) as a green manure in maize-bean cropping systems in Uganda. Field Crops Research. 61. 97-107.
- 123. Fisher, R. F., and Long, S. R. 1992. Rhizobium plant signal exchange. Nature. 357. 655-660.
- 124. Fleischman, D., and Kramer, D. 1998. Photosynthetic *Rhizobia*. Biochimica et Biophysica acta. 1364. 17-36.
- 125. Fogel, M. M., Taddeo, A. R., and Fogel, S. 1986. Biodegradation of chlorinated ethenes by methane-utilizing mixed culture. Appl. environ. Microbiol. 51. 720-724.
- 126. Folch-Mollol J. L., Marroqui, S., Sousa, C., Manyani, H., Lopez-Lara, I. M., Van der Drift, K. M. G., Haverkamp, J., Quinto. C., Gil-Serrano, A., Thomas-Oates, J. E., Spaink, H. P., and Megias, M. 1996. Characterization of Rhizobium tropici CIAT 899 nodulation factors; the role of nodH and nodPQ genes in their sulfatation. MPMI 9. 151-163.
- 127. Fox, G. E., Pechman, K. J., and Woese, C. R. 1977. Comparative cataloging of 165 ribosomal ribonucleic acid: molecular approach to prokaryotic systematics. Int. J. Syst. Bacteriol. 27. 44-57.
- 128. Fox, G. E., Wisotzkey, J. D., and Jurtshuk, P. 1992. How close is close: 165 rRNA sequence identity may not be sufficient to guarantee species identity. Int. J. Syst. Bacteriol. 42. 166-170.
- 129. Frank, B. 1889. Über die pilzsymbiose der leguminosen. Berichte der Deutschen Botanischen Gesellschaft. 7. 332-346.
- 130. Franssen, H. J., Vijn, I., Yang, W. C., and Bisseling, T. 1992. Developmental aspects of the *Rhizobium*-legume symbiosis. MPMI. 19. 89-107.
- 131. Freiberg, C., Fellay, R., Bairoch, A., Broughton, W. J., Rosenthal, A., and Perret, X. 1997. Molecular basis of symbiosis between Rhizobium and legumes. Nature. 387. 394-401.

- 132. Fulton, G. L., Nunn, D., and Lidstrom, M. E. 1984. Molecular cloning of a malyl coenzyme A lyase gene from *Pseudomonas* sp. strain AM1, a facultative methylotroph. J. Bacteriol. 160. 718-723.
- 133. Galli, R., and Leisinger, T. 1988. Plasmid analysis and cloning of the dichloromethane-utilization genes of *Methylobacterium sp.* DM4. J. Gen. Microbiol. 134. 943-974.
- 134. Gao, J. L., Sun, J. G., Li, Y., Wang, E. T., and Chen, W. X. 1994. Numerical taxonomy and DNA relatedness of tropical rhizobia isolated from Hainan province, China. Int. J. Syst. Bacteriol. 44. 151-158.
- 135. Geremia, R. A., Mergaert, P., Geelen, D., Van Montagu, M., and Holsters, M. 1994. The nodC protein of Azorhizobium caulinodans is an Nacetylglucosaminyl transferase. Proc. PNAS. 91. 2669-2673.
- 136. Gertenberg, C., Frieich, B., and Schlegel, H. G. 1982. Physical evidence for plasmids in autotrophic, especially hydrogen oxidizing bacteria. Arch. Microbiol. 133. 90-96.
- 137. Gilardi, G. L., and Faur, Y. C. 1984. Pseudomonas mesophilica and an unnamed taxon. Clinical isolates of pink-pigmented oxidative bacteria. J. Clin. Microbiol. 20. 626-629.
- 138. Giller, K. E., and Wilson, K., J. 1991. Nitrogen Fixation in tropical cropping systems. Wallingford, Uk. 164-196.
- 139. Goethals, K., Van Den Eede, G., Van Montagu, M., and Holsters, M. 1990. Identification and characterization of a functional *nodD* gene in *Azorhizobium caulinodans* ORS571. J. Bacteriol. 172. 2658-2666.
- 140. Gomelsky, M., Biville, F., Gasser, F., and Tsyzankov, Y. D. 1996. Identification and characterization of the pqqDGC gene cluster involved in pyrroloquinoline quinone production in an obligate methylotroph Methylobacillus flagelletum. FEMS Microbiol. Lett. 141. 169-176.
- 141. Goosen, N., Horsman, H., Huinen, R., de Groot, A., and Van de Putte, P. 1989. Acinetobacter calcoaceticus genes involved in biosynthesis of the coenzyme pyrroloquinoline-quinone: nucleiotide sequence and expression in Escherichia coli K-12. J. Bacteriol. 171. 447-455.
- 142. Goossens, H., Giesendorf, B. A. J., Vandamme, P., Vlaes, L., Van den Boor, C., Koeken, A., Quint, W. G. V., Blomme, W., Hanicq, P., koster, D. S., Hofstra, H., Butzler, J. P., and Van der Plas, J. 1995. Investigation of an outbreak of campylobacter upsaliensis in day care centers in Brussels: analysis of relationships among isolates by phenotypic and genotypic typing methods. J. Infect. Dis. 172. 1298-1305.
- 143. Gordillo, M. E., Singh, K. V., baker, C. J., and Murray, B. E. 1993. Typing of group B *Streptococci*: comparision of pulsed-field gel electrophoresis and conventional electrophoresis. J. Clin. Microbiol. 31. 1430-1434.

- 144. Göttfert, M. H., B., kondorosi, E.; Putnoky, P., Rodriguez-Quinones, F. and kondorosi, A. 1986. At least two nodD genes are necessary for efficient nodulation of alfalfa by Rhizobium meliloti. J. Mol. Biol. 191. 411-420.
- 145. Gräf, W., and Bauer, L. 1973. Red bacterial growth (*Corinebacterium rubrum*) n. spec. in tap water systems. Zentralbl. Bakteriol. (Abteilung II). 73. 74-96.
- 146. Graham, P. H., Sadowsky, M. J., Keyser, H. H., Barnet, Y. M., Bradley, R. S., Cooper, J. E., DeLey, D. J., Jarvis, B. D. W., Roslycky, E. B., Strijdom, B. W., and Young, J. P. W. 1991. Proposed minimal standards for the description of new genera and species of root and stem nodulating bacteria. Int. J. Syst. Bacteriol. 41. 582-587.
- 147. Green, P. N. 1991. the genus Methylobacterium. 2342-2349. The procaryotes. Albert Balows, H. G. T., Martin Dworkin, Wim Harder, and Karl-Heinz Schleifer (eds.). Springer-verlag.
- 148. Green, P. N. 1992. Gram-Negative Methylotrophic rods and cocci. 67-85. Identification methods in applied and environmental microbiology. Board, R. G., Dorothy, J., Skinner, F. A. (eds). Blackwell scientific publications, Oxford.
- 149. Green, P. N. 1993. Overview of the current state of methylotrophic taxonomy. 253-265. Microbial growth in C1 compouds. Murell, J. C., and Kelly, P.D. (Eds). Intercept ltd, Andover, U.K.
- 150. Green, P. N., and Bousfield, I. J. 1981. The taxonomy of pink-pigmented facultatively methylotrophic bacteria. 285-293. Microbial growth on C1 compounds. Dalton, H. E.(eds). Heyden & son, London.
- 151. Green, P. N., and Bousfield, I. J. 1982. A taxonomic study of some Gramnegative facultatively methylotrophic bacteria. J. Gen. Microbiol. 128. 623-638.
- 152. Green, P. N., and Bousfield, I. J. 1983. Emendation of Methylobacterium Patt, Cole and Hanson 1976, Methylobacterium rhodinum (Heumann, 1962) comb. nov. corrig.; Methylobacterium radiotolerans (Ito and Lizuka, 1971), comb. nov. corrig., and Methylobacterium mesophilicum (Austin and Goofellow, 1979) comb. nov. Int. J. Syst. Bacteriol. 33. 875-877.
- 153. Green, P. N., Bousfield, I. J., and Hood, D. 1988. Three new Methylobacterium species: M. rhodesianum sp. nov., M. zatmanii sp. nov., and M. fujisawaense, sp. nov. Int. J. Syst. Bacteriol. 38. 124-127.
- 154. Grimont, F., and Grimont, P. A. D. 1986. Ribosomal ribonucleic acid gene restriction patterns as potential taxonomic tools. Ann. Insti. Pasteur. 137. 165-175.
- 155. Grimont, P. A. D., Popoff, M. Y., Grimont, F., Coynault, C., and Lemelin, M. 1980. Reproducibility and correlation study of three deoxyribonucleic acid hybridization procedures. Current Microbiology. 4, 325-330.

- 156. Grundig, M. W., and Babel, W. 1987. The linear oxydation of formaldehyde to  $CO_2$  as the proper energy generating sequence for the assimilation of methanol in Acetobacter methanolicus MB58. Arch. Microbiol. 149. 149-155.
- 157. Gurtler, V., Wilson, V. A., and Mayall, B. C. 1991. Classification of medically important clostridia using restriction endonuclease site differences of PCR-amplified 165 rDNA. J. Gen. Microbiol. 137. 2673-3679.
- 158. Hamby, R. K., and Zimmer, E. A. 1992. Ribosomal RNA as a phylogenetic tool in plant systematics. 50-91. Molecular Systematics of plants. Soltis, P. S., Soltis, D. E., and Doyle, J. J. (eds). Chapman, New York.
- 159. Hancock, T. L. C., Costello, A. M., Lidstrom, M. E., and Oremland, R. S. 1998. Strain IMB-1, a novel bacterium for the removal of methyl bromide in fimigated agricultural soils. Appl. Environ. Microbiol. 64. 2899-2905.
- 160. Häne, B. G. K., Jäger, K., and Drexler, H. G. 1993. The Pearson product-moment correlation coefficient is better suited for identification of DNA fingerprint profiles than band matching algorithms. Electrophoresis. 14. 967-972.
- 161. Hanson, R. S. 1980. Ecology and diversity of methylotrophic organisms. Adv. Appl. Microbiol. 6. 3-39.
- 162. Hanson, R. S., and Hanson, T. E. 1996. Methanotrophic Bacteria. Microbiol. Reviews. 439-471.
- 163. Hanson, R. S., Bratina, B. J., and Brusseau, G. A. 1993. Phylogeny and ecology of methylotrophic bacteria. 205-302. Microbial growth on C1 compounds. Murell, J. C., and Kelly D. P. (Eds). Intercept ltd, Andover, U. K.
- 164. Hanson, R. S., Netrusov, A. I., and Tsuji, K. 1991. The obligate methanotrophic bacteria *Methylococcus*, *Methylomonas*, *Methylosinus*, and related bacteria. 2350-2365. The prokaryotes. A. Balows, Truper, H. G., Dworkin, M., Harder, W., Schleifer, K. H. (ed). Springer-Verlag, New York.
- 165. Harborne, J. B., Boulter, D., and Turner, B. L. 1971. Chemotaxonomy of the leguminosae. Academic press, 612pp. New York.
- 166. Hardy, R. W. F., and Havelka, U. D. 1975. Nitrogen fixation rechearch: a key world food. Science. 188. 633-643.
- 167. Hardy, R. W. F., Burn, R. C., and Holsten, R. D. 1973. Application of the acetylene-ethylene assay for measurement of N2 fixation. Soil. Biol. Biochem. 43. 47-87.
- 168. Harms, N., de Vries, G. E., Maurer, K., Hoogendijk, J., and Stouthamer, A. H. 1987. isolation and nucleic sequence of the methanol dehydrogenase structural gene from *Parcoccus denitrificans*. J. Bacteriol. 169. 3969-3975.

- 169. Harms, N., Ras, J., Koning, S., Reijnders, W. N. M., and Stouthamer, A. H., Van spanning, R. J. M. 1996. Genetics of C1 metabolism regulation in Paracoccus denitrificans. 126-132. Microbial growth one C1 compounds. Lidstrom, M. E., and Tabita. F. R. kluwer Academic Publishers, Dordrecht.
- 170. Harms, N., Reijnders, W. N. M., Anazawa, H., Palen, C. J. N. M. v. d., Van Spanning, R. J. M., Oltmann, L. F., and Stouthamer, A. H. 1993. Identification of two -component regulatory system controling methanol dehydrogenase synthesis in *Paracoccus denitrificans*. Mol. Microbiol. 8. 450-470.
- 171. Harrington, A. A., and Kallio, R. E. 1960. Oxidation of methanol and formaldehyde by *Pseudomonas methanica*. Can. J. Microbiol. 6. 1-7.
- 172. Heidstra, R., and Bisseling, T. 1996. Nod factor-induced host responses and mechanisme of Nod factors perception. New Phytol. 133. 25-43.
- 173. Herberg, I., and Staugard, F. 1989. Traditional medicine in Botswana. Ipelegeng Publishers. P 120-307. Gaborone.
- 174. Hernandez-Lucas, I., Segovia, L., Martinez-Romero, E., and Pueppke, S. G. 1995. Phylogenetic relationships and host range of *Rhizobium* spp. that nodulate *Phaseolus vulgaris* L. Appl. Environ. Microbiol. 61. 2775-2779.
- 175. Heumann, W. 1962. Die Methodik der Kreuzung sternbildener Bacterien. Biol. Zentralbl. 81. 341-354.
- 176. Hiraishi, A., Furuhata, K., Matsumoto, A., Koike, K. A., Fukuyama, M., and Tabushi, K. 1995. Phenotypic and genetic diversity of chlorine-Resistant Methylobacterium strains isolated from various enrironments. Appl. Environ. Microbiol. 61. 2099-2107.
- 177. Hirsh, A. M. 1992. Developemental biology of legume nodulation. New Phytol. 122. 211-237.
- 178. Hirt, W., Papoutsakis, E. T., Krug, E., Lim, H. C., and Tsao, G. T. 1978. Formaldehyde incorporation by a new methylotroph (L3). Appl. Environ. Microbiol. 36. 56-62.
- 179. Holland, M. A. 1997. Methylobacterium and plants. Recent Res. Devel. in Plant Physiol. 1. 207-213.
- 180. Holland, M. A., and Polacco, J. C. 1994. PPFMs and other covert contaminants: is there more to plant physiology than just plant? Annu. Rev. Plant Physiol. Mol. Biol. 45. 197-209.
- 181. Hollis, A. B., Kloos, W. E., and Elkan, G. H. 1981. DNA:DNA hybridization studies of *Rhizobium japonicum* and related *Rhizobiaceae*. J. Gen. Microbiol. 123. 215-222.
- 182. Holloway, B. 1984. Genetics of methylotrophs. 87-106. Methylotrophs: Microbiology, Biochemistry and genetics. Hou, C. T.(ed). CRC Press, Boca Raton.

- 183. Hom, S. S. M., Uratsu, S. L., and Hoang, F. 1984. Trasposon Tn5-induced mutagenesis of *Rhizobium japonicum* yielding a wide variety of mutants. J. Bacteriol. 159. 335-340.
- 184. Hood, D. W., Dow, C. S., and Green, P. N. 1987. DNA:DNA hybridization studies on the pink pigmented facultative methylotrophs. J. Gen. Microbiol. 133. 709-720.
- 185. Hood, D. W., Dow, C. S., and Green, P. N. 1988. Electrophoretic comparision of total soluble proteins in the pink-pigmented facultative methylotrophs. J. Gen. Microbiol. 134. 2375-2383.
- 186. Hornei, B., Lüneberg, E., Schmidt-Rotte, H., Maab, M., Weber, K., Heits, F., Frosch, M., and Solbach, W. 1999. Systemic infection of an immunocompromised patient with *Methylobacterium zatmanii*. J. Clin. Microbiol. 37. 248-250.
- 187. Horvath, B., Kondorosi, E., John, M., Schmidt, J., Torok, I., Gyorgypal, Z., Barabas, I., Wieneke, U., Schell, J., and Kondorosi, A. 1986. organization, structure and symbiotic function of *Rhizobium meliloti* nodulation genes determining host specifity for alfalfa. Cell. 46. 335-343.
- 188. Huang, C. S., Tenente, R. C. V., Silva, F. C. C., and Lara, J. A. R. 1981. Effect of *Crotalaria spectabilis* and two nematicides, on numbers of *Meloidogyne incognita* and *Helicotylenchus*. Nematologica. 27. 1-5.
- 189. Ito, H., and Lizuka, H. 1971. Part. III. Taxonomic studies on a radio-resistant *Pseudomonas*. Agric. Biol. Chem. 35. 1566-1571.
- 190. Izard, D., Ferragut, C., Gavini, F., Kersters, K., De Ley, J., and leclerc, H. 1981. klebsiella terrigena: a new species from soil and water. Int. J. Syst. Bacteriol. 31. 116-127.
- 191. Jabbouri, S., Fellay, R., Talmont, F., Kamalaprija, P., Burger, U., Relic, B., Prome, J. C., and Broughton, W. J. 1995. Involvement of nod5 in N-methylation and nodU in 6-O-carbamoylation of Rhizobium sp. NGR234 nod factors. J. Biol. Chemistry. 270. 22968-22973.
- 192. Jahnke, K. D. 1994. A modified method of quantitative colorometric DNA-DNA hybridization on membrane filters for bacterial identification. J. Microbiol. Methods. 20. 273-7288.
- 193. Jarvis, B. D. W., Gillis, M., and DeLey, J. 1986. Intra and intergeneric similarities between the ribosomal ribonucleic acid cistrons of *Rhizobium* and *Bradyrhizobium* species and some related bacteria. Int. J. Syst. Bacteriol. 36. 129-138.
- 194. Jarvis, B. D. W., MacLean, T. S., Robinson, I. G. C., and Fanning, G. R. 1977. pheneic similarity and DNA base sequence homology of root nodule bacteria from New Zealand native legumes and Rhizobium strains from agricultural plants. N.Z.J. Agric. Res. 20. 235-248.

- 195. Jarvis, B. D. W., Pankhurst, C. E., and Patel, J. J. 1982. Rhizobium loti a new species of legume root nodule bacteria. Int. J. Syst. Bacteriol. 32. 378-380.
- 196. Jarvis, B. D. W., VanBerkum, P., Chen, W. X., Nour, S. M., Fernandez, M. P., Cleyet-Marel, J. C., and Gillis, M. 1997. Transfer of Rhizobium loti, Rhizobium huakuii, Rhizobium ciceri, Rhizobium mediterraneum, and Rhizobium tianshanense to Mesorhizobium gen. nov. Int. J. Syst. Bacteriol. 47. 895-898.
- 197. Jayaro, B. M., Doré, J. J. E., Baumbach, J., G.A, Matthews, K. R., and Olive, S. P. 1991. Differentiation of Streptococcus uberis from Streptococcus parauberis by polymerase chain reaction and restriction fragment length polymorphism anlysis of 16S ribosomal DNA. J. Clin. Microbiol. 29. 2774-2778.
- 198. John, M., Rohrig, H., Schmidt, J., Wieneke, U., and Schell, J. 1993. Rhizobium NodB protein involved in nodulation signal synthesis is a chitooligosaccharide deacetylase. PNAS. 90. 625-629.
- 199. Jones, D., and Krieg, N. R. 1984. Serology and chemotaxonomy. 15-18. Bergey's manual of systematic bactriology. Krieg, N. R., and Holt, J. G (ed). The Williams and Wilkins Co., Baltimore.
- 200. Jordan, D. C. 1982. Transfer of Rhizobium japonicum buchanan 1980 to Bradyrhizobium gen. nov. a genus of slow growing root nodule bacteria from leguminous plants. Int. J. Syst. Bacteriol. 32. 136-139.
- 201. Jordan, D. C. 1984. Family III. Rhizobiaceae Conn. 1938, 321AL. 234-236. Bergey's Manual of Systematic Bacteriology. Krieg, N. R., and Holt, J. G (ed). The Williams and Wilkins Co., Baltimore.
- 202. Kass, E., and Wink, M. 1997. Phylogenetic relationships in the papilionoideae (family Leguminosae) based on nucleotide sequences of cpDNA (rbcL) and ncDNA (ITS 1 and 2). Mol. Phylogenetics and Evolution. 8. 65-88.
- 203. Kayle, K. M., Macone, A., and Kazanjian, P. H. 1992. Catheter infection caused by *Methylobacterium* in immunocompromised hosts: report of three cases and review of the litterature. Clinical Infection Diseases. 14. 1010-1014.
- 204. Kersters, K. 1985. Numerical methods in the classification of bacteria by protein electrophoresis. Society for General Microbiology. 337-367.
- 205. Kersters, K., and De Ley, J. 1975. identification and grouping of bacteria by numerical analysis of their electrophoretic protein patterns. J. Gen. Microbiol. 87. 333-342.
- 206. Kersters, K., Pot, B., Dewettinck, D., Torck, U., vancanneyt, M., Vauterin, L., and Vandamme, P. 1994. Identification and typing of bacteria by protein electrophoresis. 51-66. Bacterial diversity and systematics. Priest, F. F., Ramos-Cormenzana, A., and Tyndall, B. (ed). Plenun Press, New York.

- 207. Kinghorn, A. D., and Smolenski, S. J. 1981. Alkaloïds of papilionoideae. 585-598. Advances in legume systematics. Polhill, R. M., and Raven, P. H. Royal Botanic Gardens, Kew. 585-598.
- 208. Kingsbury, J. M. 1964. Poisonous plants of the United States and Canada. Prentice -hall, New York.
- 209. Kiredjian, M., Holmes, B., Kersters, K., Guilvout, J., and De Ley, J. 1986. Alcaligenes piechaudii, a new species from human clinical specimens and the environment. Int. J. Syst. Bacteriol. 36. 282-287.
- 210. Klestova, L. V., Chibisova, E. S., and Tsygankov, Y. D. 1988. Mutants of the obligate methylotrophs Methylobacillus flagellatum KT. Arch. Microbiol. 149. 441-446.
- 211. Klugbauer, N., Ludwig, W., Bauerlein, E., and Schleifer, K. H. 1992. Subunit  $\beta$  of adenosine triphosphate synthase of *Pectinatus frisingensis* and *Lactobacillus case*i. Syst. Appl. Microbiol. 15. 323-330.
- 212. Kohler-Straub, D., Harmans, S., Galli, R., Suter, F., and Leisinger, T. 1986. Evidence for identical dichloromethane dehalogenases in different methylotrophic bacteria. J. Gen. Microbiol. 132. 2837-2843.
- 213. Kokwaro, J. O. 1976. Medicinal plants of east Africa. P 144-146. East African literature Bureau. Nairoby.
- 214. Kondorosi, A., Kondorosi, E., Gyorgypal, Z., Banfalvi, Z., Gyuris, J., Putnoky, P., Grosskopf, E., John, M., Ha, D. T. C., Lados, M., Horvath, B., Slaska-Kiss, K., and Schell, J. 1989. Molecular genetic basis of *Rhizobium* legume interactions. Genome. 31. 350-353.
- 215. Kondorosi, E., Banfalvi, Z., and Kondorosi, A. 1984. Physical and genetic analysis of a symbiotic region of *Rhizobium meliloti*: identification of nodulation genes. Mol. Gen. Genet. 193. 445-452.
- 216. Kostman, J. R., Edlind, T. D., Lipuma, J. L., and Stull, T. L. 1992. Molecular epidemiology of *Pseudomonas cepacia* determinated by polymerase chain reaction ribotyping. J. Clin. Microbiol. 30. 2084-2087.
- 217. Kouno, K., and Ozaki, A. 1975. Distribution and identification of methanolutilizing bacteria. 11-21. Microbial growth on C1 compounds. O. C. (ed.). Society of Fermentation Technology, Osaka, Japan.
- 218. Krasil'nikov, N. A. 1959. Diagnostick der Bacterium und Actinomyceten. Gustav Fisher, Jena, DDR (Russian original, 1949).
- 219. Krieg, N. R., and Holt, J. G. 1984. Bergey's Manual of Systematic Bacteriology. Williams and Wilkins. Baltimore.
- 220. Kullaya, I. K., Kilasara, M., and Aune, J. B. 1995. Towards improving soil productivity by sunnhemp (*Crotalaria ochroleuca*) in the highlands of Kilimanjaro in Northern tanzania. Norwegian Journal of Agriculture sciences. Supplement 21. 99-106.

- 221. Kullaya, I. K., Kilasara, M., and Aune, J. B. 1998. The potential of marejea (*Crotalaria ochroleuca*) as green manure in maize production in the Kilimanjaro region of Tanzania. Soil use & Management. 14. 117-118.
- 222. Kuykendall, L. D., Saxena, B., Devine, T. E., and Udell, S. E. 1992. Genetic diversity in *Bradyrhizobium japonicum* jordan 1982 and a proposal for *Bradyrhizobium* elkanii sp. nov. Can. J. Microbiol. 38. 501-505.
- 223. Ladha, J. K., and So, R. B. 1994. Numerical taxonomy of photosynthetic Rhizobia nodulating *Aeschynomene* species. Int. J. Syst. Bacteriol. 44. 62-73.
- 224. Laemmli, U. K. 1970. Cleavage of structural proteins during the assembly of the head of bacteriophage T4. Nature. 227. 680-685.
- 225. Laguerre, G., Allard, M. R., Revoy, F., and Amarger, N. 1994. Rapid identification of *Rhizobia* by restriction fragment length polymorphism analysis of PCR amplified 165 rRNA genes. Appl. Environ. Microbiol. 60. 56-63.
- 226. Laufer, K., and Lidstrom, M. E. 1992. Regulation and expression of bacterial quinoproteins. pp193-222. *In* Principles and Applications of quinoproteins. Davidson, V. L., (ed). Marcel Dekker. New York.
- 227. Lehmicke, L., and Lidstrom, M. E. 1985. Genetics of autotrophy and hydrogen oxidation in *Xanthobacter* H4-14, a methanol autotroph. J. Bacteriol. 162. 1244-1249.
- 228. Lerouge, P., Roche, P., Fauchert, C., Maillet, F., Truchet, G., Promé, J. C., and Dénarié, J. 1990. Symbiotic host-specificity of Rhizobium meliloti is determined by a sulphated and acylated glucosamine oligosaccharide signal. Nature. 344, 781-784.
- 229. Lidstrom, M. E. 1992. The genetics and molecular biology of methanol-utilizing bacteria. 183-206. Methane and Methanol utilizers. Murrel, J. C., and Dalton, H. (eds). Plenum Press, New York.
- 230. Lidstrom, M., E., and Stirling, D., I. 1990. Methylotrophs: genetics and commercial Applications. Annu. Rev. Microbiol. 44. 27-58.
- 231. Lidstrom, M., E.,, Anthony, C., Biville, F., Gasser, F., Goodwin, P., Hanson, R. S., and Harms, N. 1994. New unified nomenclature for genes envolved in the oxidation of methanol in gram-negative bacteria. FEMS Microbiol. 117. 103-106.
- 232. Lindstrom, K. 1989. Rhizobium galegae, a new species of legume root nocule bacteria. Int. J. Syst. Bacteriol. 39. 365-367.
- 233. Long, S. R. 1989. Rhizobium-legume: life together in the underground. Cell. 56. 203-214.
- 234. Long, S. R. 1992. Genetic analysis of *Rhizobium* nodulation. 763-834. Biological nitrogen fixation. G. Stacey, Burris, R. H., and Evans, H. J. (eds). Chapman and Hall, New York.

- 235. Long, S. R. 1996. Rhizobium symbiosis: Nod factors in perspective. Plant Cell. 8. 1885-1898.
- 236. Lopez-Lara, I. M., van den Berg, J. D. J., Thomas-Oates, J. E., Glushka, J., Lugtenberg, B. J. J., and Spaink, H. 1995a. Structural identification of the lipo-chitin oligosaccharide nodulation signals of *Rhizobium loti*. Mol. Microbiol. 15, 627-638.
- 237. Lopez-lara, I. M., Van Der Drift, K. M. G. M., Van Brussel, A. A. N., Haverkamp, J., Lugtenberg, B. J. J., Thomasoates, J. E., and Spaink, H. P. 1995b. Induction of nodule primordia on *Phaseolus* and *Acacia* by lipo-chitin oligosaccharide nodulation signals from broad host range *Rhizobium* strain GRH2. MPMI 29. 465-477.
- 238. Lorquin, J., Lortet, G., Ferro, M., Méar, N., Dreyfus, B., Promé, J. C., and Boivin, C. 1997b. Nod factors from *Sinorhizobium saheli* and *S. teranga* bv. sesbaniae are both arabinosylated and fucosylated, a structural feature specific to Sesbania rostrata symbionts. MPMI 10. 879-890.
- 239. Lorquin, J., Lortet, G., Ferro, M., Mear, N., Promé, J. C., and Boivin, C. 1997a. Sinorhizobium teranga bv. acaciae ORS1073 and Rhizobium sp. strain ORS1001, two distantly related Acacia-nodulating strains, produce similar Nod factors that are O carbamoylated, N methylated, and mainly sulfated. J. Bacteriol. 179. 3079-3083.
- 240. Lorquin, J., Molouba, F., and Dreyfus, B. L. 1997c. Identification of the carotenoid pigment canthaxanthin from photosynthetic *Bradyrhizobium* strains. App. Environ. Microbiol. 63. 1151-1154.
- 241. Lortet, G., Mear, N., Lorquin, J., Dreyfus, B., Delajudie, P., Rosenberg, C., and Boivin, C. 1996. Nod factor thin-layer chromatography profiling as a tool to characterize symbiotic specificity of rhizobial strains: Application to Sinorhizobium saheli, S. teranga, and Rhizobium sp strains isolated from Acacia and Sesbania. MPMI 9. 736-747.
- 242. Ludwig, W., Weizenegger, M., Betzl, D., Leidel, E., Lenz, T., Ludvigsen, A., Möllenhoff, D., Wenzig, P., and Schleifer, K. H. 1990. Complete nucleiotide sequences of seven eubacterial genes coding for the elongation factor TU: fonctional, structural and phylogenetic evaluations. Arch. Microbiol. 153. 241-247.
- 243. Lupski, J. R., and Weinstock, G. E. 1992. Short, interspersed repetitive DNA sequences in prokaryotic genomes. J. bacteriol. 174. 4525-4529.
- 244. Machado, R., Sanchez, L. M., Alfonso, H. A., and Nunez, C. A. 1994. Agronomic performance and indices of toxicity in cultivars of *Crotalaria* ssp. Avances en Investigation Agropecuaria. 3. 38-34.
- 245. Machlin, S. M., and Hanson, R. S. 1988. Nucleotide sequence and transcritional start site of the *Methylobacterium organophilum* xx methanol dehydrogenase structural gene. J. Bacteriol. 170. 4739-4747.

- 246. Machlin, S. M., Tam, P. E., Bastien, C. A., and Hanson, R. S. 1988. Genetic and physical analyses of *Methylobacterium organophilum* xx genes encoding methanol oxidation. J. Bacteriol. 170. 141-148.
- 247. Martinez Romero, E. 1994. Recent developments in *Rhizobium* taxonomy. Plant and Soil. 161. 11-20.
- 248. Martinez, E., Romero, D., and Palacios, R. 1990. The Rhizobium genome. Plant Sciences. 9. 59-93.
- 249. Martinez-Romero, E., Segovia, L., Martins Mercante, F., Franco, A. A., Graham, P., and Pardo, M. A. 1991. Rhizobium tropici, a novel species nodulating Phaseolus vulgaris L. beans and Leucaena sp. trees. Int. J. Syst. Bacteriol. 41, 417-426.
- 250. Maslow, J. N., Mulligan, M. E., and Arbeit, R. D. 1993. Molecular epidemiology: application of contemporary techniques to the typing of microoganisms. Clin. Infect. Dis. 17. 153-164.
- 251. Mc Clelland, M., Petersen, C., and Welsh, J. 1992. Length polymorphism in tRNA intergenes spacers detected by using the polymerase chain reaction can distinguish streptococcal strains and species. J. Clin. Microbiol. 30. 1499-1504.
- 252. Mc Donald, I. R., Kenna, E. M., and Murrell, J. C. 1995. Detection of methanotrophic bacteria in environmental samples with the PCR. App. Environ. Microbiol. 61. 116-121.
- 253. Mc Pheat, W. L., Mann, H. N., and Dalton, H. 1987. Isolation of mutants of the obligate methanotroph *Methylomonas albus* defective in growth on methane. Arch. Microbiol. 148. 40-43.
- 254. Mc Sorley, R., Dickson, D. W., Brito, J. A. d., Hewlett, T. E., and Frederick, J. J. 1994. Effect of tropical rotation crops on *Meloidogyne arenaria* population densities and vegetable yields in microplots. J. Nematology. 26. 175-181.
- 255. Mears, J. A., and Mabry, T. J. 1971. Alkaloïds in the *leguminosae*. 73-178. Chemotaxonomy of the leguminosae. Harborn, J. B., Boulter, D., and Turner, B. L. (ed). Academic press, London & New York.
- 256. Mergaert, P., Ferro, M., DHaeze, W., VanMontagu, M., Holsters, M., and Prome, J. C. 1997. Nod factors of *Azorhizobium caulinodans* strain ORS571 can be glycosylated with an arabinosyl group, a fucosyl group, or both. MPMI 10. 683-687.
- 257. Mergaert, P., Van Montagu, M., Promé, J. C., and Holsters, M. 1993. Three unusual modifications, a D-arabinosyl, an N-methyl, and a carbamoyl group, are present on the Nod factors of *Azorhizobium caulinodans* strain ORS571. PNAS. 90. 1551-1555.
- 258. Metzler, T., Marquardt, R., Prave, P., and Winnaker, E.-L. 1988. Characterization of a promoter from *Methylomonas clara*. Mol. Gen. Genet. 211. 210-214.

- 259. Meulenberg, J. J. M., Sellink, E., Riegman, N. H., and Postma, P. W. 1992. Nucleotide sequence and structure of the *Klebsiella pneumoniae pqq* operon. Mol. Gen. Genet. 232. 284-294.
- 260. Minamisawa, K. 1989. Comparision of extracelluar polysaccharide composition, ribotoxine production, and hydrogenase phenotype of strains of *Bradyrhizonium japonicum*. Plant cell Physiol. 30. 877-884.
- 261. Minamisawa, K. 1990. Division of rhizobitoxine-producing and hydrogenuptake positive strains of *Bradyrhizobium japonicumd* by *nifDKE* sequence divergence. Plant cell Physiol. 31. 81-89.
- 262. Mkiwa, F. E., Lwoga, A. B., Mosha, R. D., and Matovelo, J. A. 1994. Antinutritional effects of *Crotalaria ochroleuca* (marejea) in animal feed supplements. Vet. Hum. Toxicology. 36. 96-100.
- 263. Molouba, F., Lorquin, J., Willems, A., Hoste, B., Giraud, E., Dreyfus, B., Gillis, M., De Lajudie, P., and Masson-Boivin, C. 1999. Photosynthetic bradyrhizobia from Aeschynomene spp. are specific to stem-nodulated species and form a separate 165 ribosomal DNA restriction fragment lenght polymorphism group. App. Environ. Microbiol. 65. 3084-3094.
- 264. Montiero, M. J., Tupas, M. A., Moffett, B. F., and Brainbridge, B. w. 1982. Isolation and characterization of a high molecular weight plasmid from the obligate methanol-utilizing bacterium *Methylomonas* (Methanomonas) methylovora. FEMS Microbiol. Lett. 15. 235-237.
- 265. Moreira, F. M. S., Gillis, M., Pot, B., Kersters, K., and Franco, A. A. 1993. Characterization of rhizobia isolated from different divergence groups of tropical leguminosae by comparative polyacrylamide gel electrophoresis of their total proteins. System. Appl. Microbiol. 16, 135-146.
- 266. Moreira, F. M. S., Haukka, K., and Young, J. P. W. 1998. Biodiversity of rhizobia isolated from a wide range of forest legumes in Brazil. Mol. Ecol. 7. 889-895.
- 267. Morris, C. J., and Lidstrom, M. E. 1992. Cloning of a methanol-inducible moxF promoter and its analysis in moxB mutants of Methylobacterium extorquens AM1 rif. J. Bacteriol. 174. 4444-4449.
- 268. Morris, C. J., Biville, F., Turlin, E., Lee, E., Ellermann, K., Fan, W.-H., Ramamoorthi, R., Springer, A. L., and Lidstrom, M. E. 1994. Isolation, phenotipic characterization and complementation analysis of mutants of *Methylobacterium extorquens* AM1 unable to synthetize Pyrroloquinoline quinone and sequences of pqqD, pqqG, and pqqC. J. Bacteriol. 177. 1746-1755.
- 269. Morris, C. J., Springer, A. L., Kim, Y. M., Perkins, K. E., and Lidstrom, M. E. 1995. The identification and nucleotide sequence of mxaA, mxaC, mxaK, mxal, and mxaD genes from Methylobacterium extorquens AM1. J. Bacteriol. 177. 6825-6831.

- 270. Mullens, I., A., and Dalton, H. 1987. Cloning the gamma-subunit methane monooxygenase from Methylococcus capsulatus. Biol. Technology. 5. 490-493.
- 271. Mulligan, J. T., and Long, S. R. 1989. A Family of activator genes regulates expression of *Rhizobium meliloti* nodulation genes. Genetics. 122. 7-18.
- 272. Mullis, K. B., and Faloona, F. A. 1987. Specific synthetis of DNA in vitro via a polymerase-catalysed chain reaction. Meth. Enzymol. 155. 335-350.
- 273. Murray, R. G. E., Brenner, D. J., Colwell, R. R., De Vos, P., Goodfellow, M., Grimont, P. A. D., Pfennig, N., Stackebrandt, E., and Zavarzin, G. A. 1990. Report of the ad hoc committee on approaches to taxonomy within the *Proteobacteria*. Int. J. Syst. Bacteriol. 40. 213-215.
- 274. Muzilli, O., Lugao, S. M. B., Fidalski, J., Soares, D., Ribeiro, M. F. S., and Fagundes, A. C. 1992. Green manuring for improving soils under coffee in the region of Arenito Caiua. Preliminary results for season 1989/90. Instituto Agronomico do Parana (IAPAR), Londrina, Brazil. 16. 101-114.
- 275. Mwambazi, T. N., Mwakalombe, B., Aune, J. B., and Berland, T. A. 1998. Turnoverof green manure and effect on bean yield in Northen Zambia. Advance in geoecology. 31. 1247-1254.
- 276. Neal, W. M., Rusoff, L. L., and Ahmann, C. F. 1935. The isolation and some properties of and alkaloïd from *Crotalaria spectabilis* Roth. J. Am. Chem. Soc. 57. 2560-2561.
- 277. Neffaty, M. 1994. caractérisation phénologique et comportement germinatif des espèces pastorales les plus prometteuses pour la réhabilitation des parcours dégradés en Tunisie steppique : conséquences pour les semis de parcours. thèse de Doctorat. Université de gand, Belgique.
- 278. Newton, W. E. 1998. Nitrogénases : fonction et évolution. Bull. Soc. Fr. Microbiol. 13. 238-241.
- 279. Nick, G., De Lajudie, P., Eardly, B. D., Suomalainen, S., Paulin, L., Zhang, X., Gillis, M., and Lindstrom, K. 1999. Sinorhizobium arboris sp. nov. and Sinorhizobium kostiense sp. nov. isolated from leguminous trees in sudan and kenya. Int. J. Syst. Bacteriol. 49. 1359-1368.
- 280. Nicolaidis, A. A., and Sargent, A. W. 1987. Isolation of methane monooxigenase-deficient mutants from *Methylosinus trichosporium* OB3b using dichloromethane. FEMS Microbiol. Lett. 41. 47-52.
- 281. Normand, P., Cournoyer, B., Simonet, P., and Nazaret, S. 1992. Analysis of a ribosomal RNA operon in the actinomycete *Frankia*. Gene. 111. 119-124.
- 282. Norrander, J., Kempe, T., and Messing, J. 1983. Construction of improved M13 vectors using oligodeoxynucleotide-directed mutagenesis. Gene. 26. 101.
- 283. Norris, D. O. 1958. A red strain of *Rhizobium* from *Lotononis bainesii* Baker. Aust. J. Agric. Res. 9. 629-632.

- 284. Norton, J. H., and O'Rourke, P. K. 1979. Toxicity of *Crotalaria goreensis* for chikens. Aust. Vet. J. 55. 173-174.
- 285. Nour, S. M., Cleyet-Marel, J. C., Normand, P., and Fernandez, M. P. 1995. Genomic heterogeneity of strains nodulating chickpeas (*Cicer arietinum* L.) and description of *Rhizobium mediterraneum* sp. nov. Int. J Syst. Bacteriol. 45. 640-648.
- 286. Nour, S. M., Fernandez, M. P., Normand, P., and Cleyet-Marel, J. C. 1994. Rhizobium ciceri sp. nov., consisting of strains that nodulate chickpeas (Cicer arietinum L.). Int. J. Syst. Bacteriol. 44. 511-522.
- 287. Nunn, D. N., and Anthony, C. 1988. The second subunit of methanol dehydrogenase of Methylobacterium extorquens AM1. Biochem. J. 260. 857-862.
- 288. Nunn, D. N., and Lidstrom, M. E. 1986a. Isolation and complementation analysis of 10 methanol oxidation mutant classes and identification of the methanol dehydrogenase structural gene of *Methylobacterium sp* strain AM1. J. Bacteriol. 166. 581-590.
- 289. Nunn, D. N., and Lidstrom, M. E. 1986b. Phenotypic characterization of 10 methanol oxidation mutants classes in *Methylobacterium extorquens* sp. strain AM1. J. Bacteriol. 166. 591-597.
- 290. Nunn, D. N., Day, D., and Anthony, C. 1989. The second subunit of methanol dehydrogenase of *Methylobacterium extorquens* AM1. Biochem. J. 260. 857-862.
- 291. Oakley, C., and Murrell, J. 1988. nifH genes in the obligate methane oxidizing bacteria. FEMS Microbiol. lett. 49. 53-58.
- 292. O'Connor, M. L., Wopat, A., and Hanson, R. S. 1977. Genetic transformation in Methylobacterium organophilum. J. Gen. Bacteriol. 98. 265-272.
- 293. Olmstead, R. G., and Sweere, J. A. 1994. Combinating data in phylogenetic systematics: an empirical approach using three molecular data sets in the Solanaceae. Syst. Biol. 43. 467-481.
- 294. Olsen, G. J., Woese, C. R., and Overbeek, R. 1994. The winds of (evolutionnary) changes: Breathing new life into Microbiology. J. Bacteriol. 176. 1-6.
- 295. Olsthoorn, M. M. A., LopezLara, I. M., Petersen, B. O., Bock, K., Haverkamp, J., Spaink, H. P., and Thomas Oates, J. E. 1998. Novel branched nod factor structure results from alpha-(1->3) fucosyl transferase activity: The major lipo-chitin oligosaccharides from Mesorhizobium loti strain NZP2213 bear an alpha-(1->3) fucosyl substituent on a nonterminal backbone residue. Biochemistry. 37. 9024-9032.
- 296. Orgambide, G. G., Lee, J., Hollingsworth, R. I., and Dazzo, F. B. 1995. Structurally diverse chitooligosaccharide Nod factors accumulate primarily in

- membranes of wild type Rhizobium leguminosarum bv. trifolii. Biochemistry. 34. 3832-3840.
- 297. Pankhurst, C. E., and Biggs, D. R. 1980. Sensitivity of Rhizobium to selected isoflavonoids. Can. J. Microbiol. 26. 542-545.
- 298. Patt, T. E., Cole, G. E., and Hanson, R. S. 1976. Methylobacterium, a new genus of facultatively methylotrophic bacteria. Int. J. Syst. Bacteriol. 26. 226-229.
- 299. Patt, T. E., Cole, G. E., Bland, J., and Hanson, R. S. 1974. Isolation and characterization of bacteria that grow on methane and organic compounds as sole sources of carbon and energy. J. Bacteriol. 120. 955-964.
- 300. Peel, D., Quayle, J. R. 1961. Microbial growth on C1 compounds. 1. isolation and characterization of *Pseudomonas AM*1. Biochem. J. 81. 465-469.
- 301. Perriere, G. T. J. 1996. On-line tools for sequence retrieval and multivariate statistics in molecular biology. Comp. appli. Biosci. 12. 63-69.
- 302. Peterson, P. L., Greenwood, R. M., Belling, G. B., and Bathhurst, N. O. 1971. The electrophoretic movement of soluble proteins and the production of unusual amino acids in *Rhizobium* isolates as taxonomic criteria. Plant Soil. 1971 (Spec. Vol.). 111-114.
- 303. Phelps, P. A., Agarwal, S. K., Speitel, G. E. J., and Giorgiou, G. 1992. Methylosinus trichosporium OB3b mutants having contitutive expression of soluble methane monooxygenase in the presence of high levels of copper. Appl. Environ. Microbiol. 58, 3701-3708.
- 304. Pilbeam, D. J., and Bell, E. A. 1981. The distribution of monocrotaline in *Crotalaria* seeds: the use of pyrrolizidine alkaoïds as indicators of taxonomic relationships. Phytohemistry (in Press).
- 305. Polhill, R. M. 1982. Crotalaria in Africa and Madagascar. Balkema. Rotterdam.
- 306. Polhill, R. M., and Raven, P. H. 1978. Advances in legume systematics. International legume conference. Royal botanic gardens Kew. Pp 1049.
- 307. Pot, B., Vandamme, P., and Kersters, K. 1994. Analysis of electrophoretic whole-organism protein fingerprints. 493-521. Modern microbial methods. Chemical methods in prokaryotic systematics. Goodfellow, M., and O'Donnell, A. G. (ed). John wiley & sons Ltd, Chichester, England.
- 308. Poupot, R., Martinez-Romero, E., and Prome, J. C. 1993. Nodulation factors from Rhizobium tropici are sulfated or nonsulfated chitopentasaccharides containing an N-methyl-N-acylglucosaminyl terminus. Biochemistry. 32. 10430-10435.
- 309. Poupot, R., Martinez-Romero, E., Gautier, N., and Prome, J. C. 1995. Wild type Rhizobium etli, a bean symbiont, produces acetyl-flucosylated, N-methylated, and carbamoylated nodulation factors. The Journal of Biological Chemistry. 270. 6050-6055.

- 310. Prakash, A. O., Dehadrai, S., and Jonathan, S. 1995. Toxicological studies on the ethanolic extract of *Crotalaria juncea* seeds in rats. J. Ethnopharmacol. 45. 167-176.
- 311. Price, N. P. J., Relic, B., Talmont, F., Lewin, A., Prome, D., Pueppke, S. G., Maillet, F., Denarie, J., Prome, J. C., and Broughton, W. J. 1992. Broad host range Rhizobium species strain NGR234 secretes a family of carbamoylated, and fucosylated, nodulation signals that are O-acetylated or sulphated. Mol. Microbiol. 6. 3575-3584.
- 312. Rainey, F. A., and Wiegel, J. 1996. 16S ribosomal DNA sequence analysis confirms the close relationship between the genera Xanthobacter, Azorhizobium, and Aquabacter and reveals a lack of phylogenetic coherence among Xanthobacter species. Int. J. Syst. Bact. 46. 607-610.
- 313. Ralph, D., Mc Clelland, M., Welsh, J., Baranton, G., and Perolat, P. 1993. Leptospira species categorized by arbitrarily primed polymerase chain reaction (PCR) and by mapped restriction polymorphisms in PCR amplified rRNA genes. J. Bacteriol. 175. 973-981.
- 314. Ramamoorthi, R., and Lidstrom, M. E. 1995. Transcriptional analysis of pqqD and study of the regulation of pyrroloquinoline quinone biosynthesis of Methylobacterium extorquens AM1. J. Bacteriol. 177. 206-211.
- 315. Richardson, I. W., and Anthony, C. 1992. Characterization of mutant forms of the quinoprotein methanol dehydrogenase lacking an essential calcium ion. Biochem. J. 287. 709-715.
- 316. Rinaudo, G., Orenga, S., Fernandez, M. P., Meugnier, H., and Bardin, R. 1991. DNA homologies among members of the genus Azorhizobium and other stem and root nodulating bacteria isolated from the tropical legume Sesbania rostrata. Int. J. Syst. Bacteriol. 41, 114-120.
- 317. Roberts, G. P., Leps, W. T., Silver, L. E., and Brill, W. J. 1980. Use of two-dimensional polyacrylamide gel electrophoresis to identify and calssify *Rhizobium* strains. Appl. Environ. Microbiol. 39, 414-422.
- 318. Roche, P., Debelle, F., Maillet, F., Lerouge, P., Faucher, C., Truchet, G., Denarie, J., and Prome, J. C. 1991a. Molecular basis of symbiotic host specificity in *Rhizobium meliloti*: nodH and nodPQ genes encode the sulfation of lipo-oligosaccharide signals. Cell. 67. 1131-1143.
- 319. Rohrig, H., Schmidt, J., Wieneke, U., Kondorosi, E., Barlier, I., Schell, J., and John, M. 1994. Biosynthesis of lipooligosaccharide nodulation factors: *Rhizobium* NodA protein is involved in N-acylation of the chitooligasaccharide backbone. PNAS 91. 3122-3126.
- 320. Rome, S., Fernandez, M. P., Brunel, B., Normand, P., and Cleyet-Marel, J. C. 1996. Sinorhizobium medicae sp. nov., isolated from annual Medicago spp. Int. J. Syst. Bacteriol. 46. 972-980.

- 321. Rostas, K. K., E., Horvath, B., Simoncsits, A., kondorosi, A. 1986. Conservation of extended promoter regions of nodulation genes in *Rhizobium*. Proc. Natl. Acad. Sci. USA. 83. 1757-1761.
- 322. Saitou, N., and Nei, M. 1987. The neighbor-joining method: a new method for reconstructing phylogenetic trees. Mol. Biol. Evol. 4. 484-486.
- 323. Salgado, A. L. B., Azzini, L., Feitosa, C. T., Petineli, A., and Veiga, A. A. 1984. Application of NPK fertilizer and lime in the production of green herbage and seed in *Crotalaria*. Bragantia. 43. 271-278.
- 324. Salisbury, S. A., Forrest, H. S., Cruse, W. B. T., and Kennard, O. 1979. A novel coenzyme from bacterial primary alcohol dehydrogenase. Nature. 280. 843-844.
- 325. Sambrook, J., Fritsch, E. F., and Maniatis, T. 1989. Molecular cloning: A laboratory manual. Cold Spring Harbor Laboratory Press. New York.
- 326. Sandanam, S., Jayasooriya, S. G., and Somaratne, A. 1976. Effect of soil reconditioning on organic matter and nitrient status of tea soils and yield of planted tea. Journal of plantation. 4. 60-67.
- 327. Sanderson, M. J., and Liston, A. 1995. Molecular phylogenetic systematics of galegeae, with special reference to *Astragalus*. 331--350. Advances in Legume Systematics. Crisp, M., and Doyle, J. J. (Eds). Roy. Bot. Gard. Kew. 331-50
- 328. Sanjuan, J., Carlson, R. W., Spaink, H. P., Bhat, U. R., Barbour, W. M., Glushka, J., and Stacey, G. 1992. A 2-0-methylfucose moiety is present in the lipo-oligosaccharide nodulation signal of *Bradyrhizobium japonicum*. PNAS 89. 8789-8793.
- 329. Sano, Z., and Nakasano, K. 1986. Histological responses of three leguminous enemy plants to the penetration and development of *Meloidogyne incognita*. Jpn. J. Nematol. 16. 48-55.
- 330. Sawada, H., Ieki, H., Oyaizu, H., and Matsumoto, S. 1993. Proposal for rejection of Agrobacterium tumefaciens and revised descritpions for the genus Agrobacterium and for Agrobacterium radiobacter and Agrobacterium rhizogenes. Int. J. Syst. Bacteriol. 43. 694-702.
- 331. Schlaman, H. R. M., Okker, R. J. H., and Lugtenberg, B. J. J. 1992. Regulation of nodulation gene expression by NodD in rhizobia. J. Bacteriol. 174. 5177-5182.
- 332. Schlaman, H. R. M., Philips, D. A., and Kondorosi, E. 1998. Genetic organization and transcriptional regulation of rhizobial nodulation genes. 361-386. The Rhizobiaceae. molecular biology of model plant-associated bacteria. Spaink, H. P., Kondorosi, A., and Hooykaas, J. J. P. (eds). Kluwer Academic Publishers, Lodon.
- 333. Schleifer, K. H., and Kandler, O. 1972. Peptidoglycan types of bacterial cell walls and their taxonomic implications. Bacteriol. Rev. 36. 407-477.

- 334. Schleifer, K. H., and Ludwig, W. 1989. Phylogenetic relationships of bacteria. 103-117. The hierarchy of life. B. Fernholm, Bremar, K., and Jörnvall, H. Elsevier Science Publishers B.V, Amsterdam.
- 335. Scholla, M. H., Elkan, G. H. 1984. Rhizobium fredii sp. nov. a fast growing species that effectively nodulates soybeans. Int. J. Syst. Bacteriol. 34. 484-486.
- 336. Scholtz, R., Wackett, L. P., Egli, C., Cook, A. M., and Leisinger, T. 1988. Dichloromethane dehalogenase with improved catalytic activity isolated from a fast growing dichloromethane-utilizing bacterium. J. Bacteriol. 170. 5698-5704.
- 337. Schultze, M., Kondorosi, E., Ratet, P., Buire, M., and Kondorosi, A. 1994. Cell and molecular biology of *Rhizobium* plant interactions. International review of cytology. 156. 1-75.
- 338. Schultze, M., Quiclet-Sire, B., Kondorosi, E., Virelizier, H., Glushka, J. N., Endre, G., Gero, S. D., and Kondorosi, A. 1992. Rhizobium meliloti produces a family of sulfated lipooligosaccharides exhibiting different degrees of plant host specificity. PNAS 89. 192-196.
- 339. Scott, D. B., Young, C. A., Collins-Emerson, J. M., Terzaghi, E. A., Rockman, E. S., Lewis, P. E., and Pankhurst, C. E. 1996. Novel and complex chromosomal arrangement of *Rhizobium loti* nodulation genes. MPMI. 9. 187-197.
- 340. Segovia, L., Young, P. W., and Martinez-Romero, E. 1993. Reclassification of american *Rhizobium leguminosarum* biovar *phaseoli* type I strains as *Rhizobium etli* sp. nov. Int. J. Syst. Bacteriol. 43. 374-377.
- 341. Serpantié, G., and Floret, C. 1994. Un mode de gestion des ressources en Afrique tropicale : la jachère longue. regards différenciés sur une pratique en crise. C. R. Acad. agric. Fr. 80. 75-83.
- 342. Short, J. M., Fernandez, J. M., Sorge, J. A., and Huse, W. D. 1988.  $\lambda$  ZAP: A bacteriophage  $\lambda$  expression vector with in vitro excision properties. Nucleic Acids Res. 16. 7583.
- 343. Silva, G. S. D., Ferraz, S., and Santos, J. M. D. 1989a. Attraction, penetration and development of *Meloidogyne javanica* larvae in *Crotalaria* roots. Nematologica Brazsiliera. 13. 151-163.
- 344. Silva, G. S. D., Ferraz, S., and Santos, J. M. D. 1989b. Resistance of Crotalaria species to Pratylenchus brachyurus and P. zeae. Nematologica Brazsiliera. 13. 81-86.
- 345. Silva, G. S. D., Ferraz, S., and Santos, J. M. D. 1989c. Resitance of Crotalaria species to Rotylenchulus reniformis. Nematologica Brazsiliera. 13. 87-92.
- 346. Simon, R., Priefer, U., and Pühler, A. 1993. A broad host range mobilization system for in vivo genetic engineering: transposon mutagenesis in gram-negative bacteria. Bio/Technology. 1. 784-790.

- 347. Singh, M., and Klingmüller, W. 1986. Transposon mutagenesis in Azospirrilum brasilense: isolation of auxotrophic and Nif-mutants and molecular cloning of the mutagenized nif DNA. Mol. Gen. Genet. 202. 136-142.
- 348. Siverio, F., Cambra, M., Gorris, M. T., Corzo, J., and Lopez, M. M. 1993. Lipopolysaccharides as determinants of serological variability in *Pseudomonas corrugata*. Appl. Environ. Microbiol. 59. 1805-1812.
- 349. So, R. B., Ladha, J. K., and Young, J. P. W. 1994. Photosynthetic symbionts of *Aeschynomene* spp. form a cluster with bradyrhizobia on the basis of fatty acid and rRNA analyses. Int. J. Syst. Bacteriol. 44. 392-403.
- 350. Spaink, H. P., Bloemberg, G. V., van Brussel, A. A. N., Lugtenberg, B. J. J., van der Drift, K. M. G. M., Haverkamp, J., and Thomas-Oates, J. E. 1995b. Host specificity of Rhizobium leguminosarum is determined by the hydrophobicity of highly unsaturated fatty acyl moieties of the nodulation factors. MPMI 8. 155-164.
- 351. Spaink, H. P., Sheeley, D. M., Van Brussel, A. A. N., Glushka, J., York, W. S., Tak, T., Geiger, O., Kennedy, E. P., Reinhold, V. N., and Lugtenberg, B. J. J. 1991. A novel highly unsaturated fatty acid moiety of lipooligosaccharide signals determines hos specificity of *Rhizobium*. Nature. 354. 6 p.
- 352. Spaink, H. P., Wijffelman, C. A., Pees, E., Okker, R. J. H., and Lugtenberg, B. J. J. 1987. Rhizobium nodulation gene nodD as a determinant of host specificity. Nature. 328. 337-340.
- 353. Spaink, H. P., Wijfjes, A. H. M., and Lugtenberg, B. J. J. 1995a. Rhizobium nodI and nodJ proteins play a role in the efficiency of secretion of lipochitin oligosaccharides. J. Bacteriol. 177. 6276-6281.
- 354. Sprent, J. J., and Raven, J. A. 1992. Evolution of nitrogen-fixing symbiosis. Biological nitrogen fixation. G. Stacey, R. H. Burris, and H. J. Evans. (eds). Chapman & Hall, New York.
- 355. Springer, A. L., Auman, A. J., and Lidstrom, M. E. 1998. Sequence and characterization of mxaB, a response regulator involved in regulation of methanol oxidation, and of mxaW, a methanol-regulated gene in Methylobacterium extorquens AM1. FEMS Microbiol. Lett. 160. 119-124.
- 356. Springer, A. L., Chou, H.-H., Fan, W.-H., Lee, E., and Lidstrom, M. E. 1995. Methanol oxidation mutants in Methylobacterium extorquens AM1: identification of new genetic complementation groups. Microbiology. 141. 2985-2993.
- 357. Springer, A. L., Morris, C. J., and Lidstrom, M. E. 1997. Molecular analysis of mxbD and mxbM, a putative sesor-regulator pair required for oxidation of methanol in Methylobacterium extorquens AM1. Microbiology. 143. 1737-1744.

- 358. Stackebrandt, E., and Goebel, B. M. 1994. Taxonomic note: A place for DNA-DNA reassociation and 165 rRNA sequence analysis in the present species definition in bacteriology. Int. J. Syst. Bacteriol. 44. 846-849.
- 359. Stackebrandt, E., and Liesack, W. 1993. Nucleic acids and classification. 151-194. Handbook of new bacterial systematics. Goodfellow, M., and O'Donnell, A.G. (Eds). Academic Press Ltd, London.
- 360. Stackebrandt, E., Murray, R. G. E., and Trüper, H. G. 1988. Porteobacteria classis Nov., a name for the phylogenetic taxon that includes "the purple bacteria and their relatives". Int. J. Syst. Bacteriol. 38. 321-325.
- 361. Staphorst, J. L., and Strijdom, B. W. 1975. Specificity in the Rhizobium symbiosis of Aspalathus linearis (Burn. Fil.) R. Dahgr. ssp. Linearis. Phytophylactica. 7. 95-96.
- 362. Stephens, R. L., Haygood, M. G., and Lidstrom, M. E. 1988. Identification of putative methanol dehydrogenase (moxF) structural genes in methylotrophs and cloning moxF genes from Methylococcus capsulatus (Bath) and Methylomonas albus BG8. J. Bacteriol. 170. 2063-2069.
- 363. Stocks, P. K., and Mc Cleskey, C. S. 1964. Identity of the pink-pigmented methanol-oxidizing bacteria as Vibrio extorquens. J. Bacteriol. 88. 1065-1070.
- 364. Stone, S., and Goodwin, P. M. 1989. Characterization and complementation of mutants of *Methylobacterium AM1* which are defective in C1 assimilation. J. Gen. Microbiol. 135. 227-237.
- 365. Sundararaj, P., and Mehta, U. K. 1990. Host status of some economic crops to *Pratylenchus zea*e and their influence on subsequent sugarcane crops. Indian Journal of Nematology. 20. 165-169.
- 366. Sy, A. 1995. Etude de trente quatre légumineuses herbacées du Sénégal : germination des graines et caractérisation de leurs microorganismes symbiotiques. DEA. Université Cheikh Anta Diop de Dakar. Département Biologie Végétale univerité de Dakar. Pp 52.
- 367. Sy, A., Danthu, P., and Grouzis, M. 1997. Réhabilitation des terres dégradées au nord et au sud du Sahara. Utilisation des légumineuses pérennes et des microoganismes associés pour l'établissement de formations pluristrates. projet CEE STD3-TS3/DG XII. rapport final. 104-113.
- 368. Tenover, F. C., Arbeit, R. D., Goering, R. V., Mickelsen, P. A., Murray, B. E., Persing, D. H., and Swaminathan, B. 1995. Interpreting chromosomal DNA restriction patterns produced by pulsefield gel electrophoresis: criteria for bacterial typing. J. Clin. Microbiol. 33. 2233-2239.
- 369. Thompson, J. D., Gibson, T. J., Plewniak, F., Jeanmougin, F., and Higgins, D. G. 1997. The clustal X windows interface: flexible strategies for multiple sequence alignment aided by quality analysis tools. Nucleic Acids res. 25. 4876-4882.

- 370. Toukdarian, A. E., and Lidstrom, M. E. 1984a. DNA hybridization analysis of the *nif* region of *Methylosinus* sp. 6. J. Bacteriol. 157. 925-930.
- Toukdarian, A. E., and Lidstrom, M. E. 1984b. Molecular construction of nif mutants of the obligate methanotroph, Methylosinus sp. strain 6. J. Bacteriol. 157, 979-983.
- 372. Toyama, H., Chistoserdova, L., and Lidstrom, M. E. 1997. sequence analysis of pqq genes required for biosynthesis of pyrroloquinoline quinone in Methylobacterium extorquens AM1 and the purification of a biosynthetic intermediate. Microbiology. 143. 595-602.
- 373. Trinick, M. J. 1982. Biology. 76-146. Nitrogen fixation. 76-146. Broughton, W. J. (ed). Oxford University Press, Oxford.
- 374. Tsuji, K., Tsien, R. S., Hanson, R. S., De Palma, S. R., Scholtz, R., and La Roche, S. 1990. 165 ribosomal RNA sequence analysis for determination of phylogenetic relationships among methylotrophs. J. Gen. Microbiol. 136. 1-10.
- 375. Tsygankov, Y. D., and Kazakova, S. M. 1987. Development of gene transfer systems in *Methylbacillus flagellatum* KT: isolation of auxotrophic mutans. Arch. Microbiol. 149. 112-119.
- 376. Ueda, S., Kitamota, N., Tamura, Y., Sakakibara, Y., and Shimizu, S. 1987. Isolation and characterization of a methylotrophic bacterium. J. Ferment. Technol. 65. 924-926.
- 377. Ueda, S., Matsumoto, S., Shimizu, S., and Yamane, T. 1991a. Transformation of a methylotrophic bacterium, *Methylobacterium extorquens*, with a broad host range plasmid by electroporation. Appl. Environ. Microbiol. 57. 924-926.
- 378. Ueda, S., Matsumoto, S., Shimizu, S., and Yamane, T. 1991b. Transformation of a methylotrophic bacterium, *Methylobacterium extorquens*, with a broad host range plasmid by electroporation. Annals NY Acad. Sci. 646. 99-105.
- 379. Ullmann, J. S., and Mc Carthy, B. J. 1973. The relationship between mismatched base pairs and the thermal stability of the DNA duplexes. Biochim. Biophys. Acta. 294. 416-424.
- 380. Urakami, T., and Komagata, K. 1981. Electrophoretic comparision of enzymes in Gram-negative methanol-utilizing bacteria. J. Gen. Appl. Microbiol. 27. 381-403.
- 381. Urtz, B. E., and Elkan, G. H. 1996. Genetic diversity among Bradyrhizobium isolates that effectively nodulate peanut (Arachis hypogaea). Can. J. Microbiol. 42. 1121-1130.
- 382. Van Berkum, P., Beyene, D., Bao, G. P., Campbell, T. A., and Eardly, B. D. 1998. Rhizobium mongolense sp. nov. is one of three rhizobial genotypes identified which nodulate and form nitrogen-fixing symbioses with Medicago ruthenica [(L.) Ledebour]. Int. J. Syst. Bact. 48. 13-22.

- 383. Van Berkum, P., Fuhrmann, J. J., and Eardly, B. D. 2000. A critical examination of 165 rRNA gene sequence divergence for the reconstruction of bacterial evolutionary histories: the *Rhizobiaceae*. 7th North American Conference on symbiotic nitrogen Fixation. Université Laval, Quebec, Canada.
- 384. Van der Drift, K. G. M., Spaink, H. P., Bloemberg, G. V., Van Brussel, A. A. N., Lugtenberg, B. J. J., Haverkamp, J., and Thomas-Oates, J. E. 1996. Rhizobium leguminosarum bv. trifolii produces lipo-chitin oligosaccharides with nodE-dependent highly unsatured fatty acyl moieties. J. Biol. Chem. 271. 22563-22569.
- 385. Van Rhijn, P., and VanDerLeyden, J. 1995. The Rhizobium plant symbiosis. Microbiol. Reviews. 59, 124-142.
- 386. Van Rhijn, P., Feys, B., Verreth, C., and Van DerLeyden, J. 1993. Multiple copies of *nodD* in *Rhizobium tropici C*IAT899 and BR816. J. Bacteriol. 175. 438-447.
- 387. Van Rhijn, P., Luyten, E., Vlassak, K., and VanDerLeyden, J. 1996. Isolation and characterization of a pSym locus of *Rhizobium sp.* BR816 that extends nodulation ability of narrow host range *Phaseolus vulgaris* symbionts to Leucaena leucocephala. MPMI. 9. 74-77.
- 388. Van Rossum, D., Schuurmans, F. P., Gillis, M., Muyotcha, A., Van Verseveld, H. W., Stouthamer, A. H., and Boogerd, F. C. 1995. Genetic and phenetic analyses of *Bradyrhizobium* strains nodulating peanut (*Arachis hypogaea* L.) roots. Appl. Environ. Microbiol. 61. 1599-1609.
- 389. Van Spanning, R. J. M., Wansell, C. W., De Boer, T., Hazelaar, M. J., Anazawa, H., Harms, N., Oltmann, L. F., and Stouthamer, A. H. 1991. Isolation and characterization of moxJ, moxG, moxI, and moxR genes of Paracoccus denitrificans: inactivation of moxJ, moxG, and moxR genes and the resultant effect on methylotrophic growth. J. Bacteriol. 173. 6948-6961.
- 390. Vandamme, P., Pot, B., Gillis, M., De Vos, P., Kersters, K., and Swings, J. 1996. Polyphasic taxonomy, a consensus approach to bacterial systematics. Microbiol. Reviews. 60. 407-438.
- 391. Vaneechoutte, M., Rossau, M., de Vos, P., Gillis, M., Janssens, D., Paepa, M., de Rouck, A., Fiers, T., Clayes, G., and Kersters, K. 1992. Rapid identification of bacteria of the *Comamonadaceae* with amplified ribosomal DNA-restriction analysis (ARDRA). FEMS Micrbiol. Lett. 93. 227-234.
- 392. Vauterin, L., and Vauterin, P. 1992. Computer aided objective comparison of electrophoresis patterns for grouping and identification of microorganisms. European Microbiology. 37-41.
- 393. Vauterin, L., Swing, J., and Kersters, K. 1993. Protein electrophoresis and classification. 251-280. Handbook of new bacterial systematics. Goodfellow, M., and O'Donnell, A. G. (ed). Academic Press Ltd., London

- 394. Vazquez, M. S., O. and Quinto, C. 1993. the NodI and NodJ proteins from *Rhizobium* and *Bradyrhizobium* strains are similar to capsular polysaccharide secretion proteins from *Gram-negative* bacteria. Mol. Microbiol. 8. 369-377.
- 395. Vazquez, M., Davalos, A., De LasPenas, A., Sanchez, F., and Quinto, C. 1991. Novel organization of the common nodulation genes in *Rhizobium leguminosarum* bv. phaseoli strains. J. Bacteriol. 173. 1250-1258.
- 396. Verdcourt, B., and Trump, E. C. 1969. Common poisonous plants of east Africa. Collins, London.
- 397. Versalovic, J., Koeuth, T., and Lupski, J. R. 1991. Distribution of repetitive DNA sequences in eubacteria and application to fingerprinting of bacterial genomes. Nucleic Acids Res. 19. 6823-6831.
- 398. Vietmeyer, N. D. 1979. Tropical legumes: Resources for the future. National Academy of Sciences. New York.
- 399. Vincent, J. M. 1970. A manual for the pratical study of root nodule bacteria. International Biological Programme Handbook n° 15. Blacwell Scientific Publications, LTD. Oxford.
- 400. Vincent, J. M., and Humphrey. 1970. Taxonomically significant group antigens in *Rhizobium*. J. Gen. Microbiol. 63. 379-382.
- 401. Von Heijne, G. 1985. Signal sequences the limits of variation. J. Mol. Microbiol. 184. 99-105.
- 402. Wang, E. T., Van Berkum, P., Beyene, D., Sui, X. H., Dorado, O., Chen, W. X., and Martinez-Romero, E. 1998. Rhizobium huautlense sp. nov., a symbiont of Sesbania herbacea that has a close phylogenetic relationship with Rhizobium galegae. Int. J. Syst. Bacteriol. 48. 687-699.
- 403. Wang, E. T., Van, Berkum, P., Beyene, D., Chen, W. X., and Martinez-Romero, E. 1999. Diversity of rhizobia associated with Amorpha fruticosa isolated from chinese soils and description of Mesorhizobium amorphae. Int. J. Syst. Bacteriol. 49. 51-65.
- 404. Warner, P., Higgins, I., and Drozd, J. 1977. Examination of obligate and facultative methylotrophs for plasmid DNA. FEMS Microbiol. Lett. 1. 339-342.
- 405. Watt, J. M., Breyer-Brandwijk, M. G. 1962. The medicinal and poisonous plants of southern and eastern Africa. 2 ed. Edinburgh: Livingstone. pp 1457.
- 406. Wayne, L. G., Brenner, D. J., Colwell, R. R., Grimont, P. A. D., Kandler, O., Krichevsky, M. I., Moore, L. H., Moore, W. E. C., Murray, R. G. E., Stackebrandt, E., Starr, M. P., and Truper, H. G. 1987. Report of the Ad Hoc committee on reconciliation of approaches to bacterial systematics. Int. J. Syst. Bacteriol. 37, 463-464.
- 407. Weisburg, W. G., Barns, S. M., Pelletier, D. A., and Lane, D. J. 1991. 165 ribosomal DNA amplification for phylogenetic study. J. Bacteriol. 173. 697-703.

- 408. Welsh, J., and Mc Clelland, M. 1990. Fingerprinting genomes using PCR with arbitrary primers. Nucleic Acids Research. 18. 7213-7218.
- 409. Wen, J., and Zimmer, E. A. 1996. Phylogeny and biogeography of *Panax* L. (The Ginseng genus Araliaceae): Inference from ITS sequences of nuclear ribosomal DNA. Mol. Phylogen. Evol. 6. 167-177.
- Whitta, S., Sinclair, M., and Holloway, B. 1985. Transposon mutagenesis, in Methylobacterium AM1 (Pseudoomonas AM1). J. Gen. Microbiol. 131. 1547-1551.
- 411. Whittenbury, R., and Dalton, H. 1981. The methylotrophic bacteria. 894-902. The Procaryotes, a Handbook of Habitats, Isolation and Identification of bacteria. Starr, M. P., Stolp, H., Truper, G. H., Balows, A., and Schlegel H. G. (eds). Springer-Verlag, Berlin.
- 412. Whittenbury, R., and Krieg, R. N. 1984. Methylococcacea fam. nov. 256-262. Bergey's manuel of systematic bacteriology. Krieg, R. N., and Holt, J. G. (ed.). The Williams and Wilkins Co., Baltimore.
- 413. Whittenbury, R., Phillips, K. C., and Wilkinson, J. G. 1970. Enrichment, isolation and some properties of methane utilizing bacteria. J. Gen. Microbiol. 61. 205-218.
- 414. Willems, A., and Collins, M. D. 1993. Phylogenetic analysis of Rhizobia and Agrobacteria based on 165 rRNA gene sequences. Int. J. Syst. Bacteriol. 43. 305-313.
- 415. Willems, A., Doignon-Bourcier, F., Goris, J., Coopman, R., de Lajudie, P., and Gillis, M. 2001. DNA-DNA hybridization study of *Bradyrhizobium* strains. Int. J. Syst. Evol. Microbiol. *In press*.
- 416. Williams, E., and Brainbridge, B. W. 1971. Genetic transformation in Methylococcus capsulatus. J. Appl. Bacteriol. 34. 137-141.
- 417. Williams, E., and Shimmin, M. A. 1978. Radiation-induced filamentation in obligate methylotrophs. FEMS Microbiol. Lett. 4. 137-141.
- 418. Williams, J. G. K., Kubelik, A. R., Livak, K. J., Rafalski, J. A., and Tingey, S. V. 1990. DNA polymorphisms amplified by arbitrary primers are useful as genetic markers. Nucleic Acids Research. 18. 6531-6535.
- 419. Wilson, J. K. 1939. Leguminous plants and their associated organisms. The leguminosae, a source book of characteristic, uses and nodulation. the university of Wisconsin Press, Madison, P. 812.
- 420. Wilson, J. K. 1944. The nodulation performance of isolates from soybean with species of *Crotalaria* and certain other plants. The *leguminosae*, a source book of characteristic, uses and nodulation. the university of Wisconsin Press, Madison, P. 812.

- 421. Woese, C. R. 1987. Bacterial evolution. Microbiol. Reviews. 51. 221-271.
- 422. Woese, C. R. 1991. Prokaryote systematics: the evolution of a science. 3-18. The Prokaryotes. Balows, A., Trüpe, H. G., Dworkin, M., Harder, W., and Schleifer, K. H. (eds). Springer, New York.
- 423. Woese, C. R., and Fox, G. E. 1977. Phylogenetic structure of the prokaryotic domain: the primary kingdoms. PNAS 74. 5088-5090.
- 424. Wolters, J., and Erdmann, A. 1988. compilation of 5S rRNA and 5S rRNA gene sequenses. Nucleic Acids Res. 16 (Suppl.). r1-r85.
- 425. Wood, P. J., and Siddiqui, I. R. 1971. Determination of methanol and its application to measurement of pectin ester content and pectin methyl esterase activity. Anal. Biochem. 39. 418-428.
- 426. Xu, H. H., Viebahn, M., and Hanson, R. S. 1993. Identification of methanol-regulated promoter sequences from the facultative methylotrophic bacterium *Methylobacterium organophilum* xx. J. Gen. Microbiol. 139. 743-752.
- 427. Xu, L. M., Ge, C., Cui, Z., Li, J., and Fan, H. 1995. Bradyrhizobium liaoningense sp. nov., isolated from the root nodules of soybeans. Int. J. Syst. Bacteriol. 45. 706-711.
- 428. Yanagi, M., and Yamasato, K. 1993. Phylogenetic analysis of the family *Rhizobiaceae* and related bacteria by sequencing of 165 rRNA gene using PCR and DNA sequencer. FEMS Microbiol. Letters. 107. 115-120.
- 429. Yang, G. P., Debelle, F., Savagnac, A., Ferro, M., Schiltz, O., Maillet, F., Prome, D., Treilhou, M., Vialas, C., Lindstrom, K., Denarie, J., and Prome, J. C. 1999. Structure of the Mesorhizobium huakuii and Rhizobium galegae Nod factors: a cluster of phylogenetically related legumes are nodulated by rhizobia producing Nod factors with alpha, beta-unsaturated N-acyl substitutions. Mol. Microbiol. 34, 227-237.
- 430. Yanisch-Perron, C., Vieira, J., and Messing, J. 1985. Improved M13 phage cloning vectors and host strains: nucleotide sequences of M13mp18 and pUC19 vectors. Gene. 33. 103.
- 431. Yoshimura, F. 1982. Phylloplane bacteria in pine forest. Can. J. Bacteriol. 28. 580-592.
- 432. Young, J. P. W. 1991. Phylogenetic classification of nitrogen-fixing organisms. Biological Nitrogen Fixation. Stacey, G., Burris, R. H., and Evans, H. J. (eds). Chapman & Hall, New York.
- 433. Young, J. P. W. 1992. Phylogenetic classification of nitrogen fixing organisms. 43-86. Biological nitrogen fixation. G. Stacey, R. H. Burris, and H. J. Evans (eds). Chapman & Hall, New York.
- 434. Young, J. P. W., and Haukka, K. E. 1996. Diversity and phylogeny of rhizobia. New Phytol. 133. 87-94.

- 435. Young, J. P. W., and Johnston, A. W. B. 1989. The evolution of specificity in the legume *Rhizobium* symbiosis. Tree. 4. 341-349.
- 436. Young, J. P. W., Downer, H. L., and Eardly, B. D. 1991. Phylogeny of the phototrophic *Rhizobium* strain BTAil by polymerase chain reaction based sequencing of a 165 rRNA gene segment. J. Bacteriol. 173. 2271-2277.
- 437. Zabeau, M., and de Vos, P. 1993. Selective restriction fragment amplification a general method for DNA fingerprinting. European Patent office, Publication 0 534 858 A1.
- 438. Zatman, L. J. 1981. A search for patterns in methylotrophic pathway. Microbial growth in C1 compounds. R. L. Crawford, and Hanson R. S. (eds). Am. Soc. Microbiol. Press, Washington.
- 439. Zhang, X. X., Turner, S. L., Guo, X. W., Yang, H. J., Debelle, F., Yang, G. P., Dénarié, J., Young, P. W., and Li, F.D.2000. The common nodulation genes of *Atragalus sinicus Rhizobia* are conserved despite chromosomal diversity. Appl. Environ. Microbiol. 66. 2988-2995

**ANNEXES** 

# Annexe 1. Alignement des séquences des gènes nodA des souches à croissance rapide de crotalaires.

NODA1928 NODA1991 NODA2030 NODA2060 NODA1924	-AGGTGCGCTGGGAAAATGAGCTGGAACTCGCCGACCATGCCGAACTCGCCGAGTTCCTG GAGGTGCGCTGGGAAAATGAGCTGGAACTCGCCGACAATGCCGAACTCGCCGAGTTCCTG -AGGTGCGCTGGGAAAATGAGCTGGAACTCGCCGACCATGCCGAACTCGCCGAGTTCCTGGAGCTGGAACTCGCCGACCATGCCGAACTCGCCGAGTTCCTGGCTGGAACTCGCCGACCATGCCGAACTCGCCGAGTTCCTG
NODA1928 NODA1991 NODA2030 NODA2060 NODA1924	CGAAAGGCCTACAACCCGAGTGGGACGTTTAATGCAAGGCCATTCGAAGGCGGTCGAAGT CGAAAGGCCTACAACCCGAGTGGGACGTTTAATGCAAGGCCATTCGAAGGCGGTCGAAGT CGAAAGGCCTACAACCCGAGTGGGACGTTTAATGCAAGGCCATTCGAAGGCGGTCGAAGT CGAAAGGCCTACAACCCGAGTGGGACGTTTAATGCAAGGCCATTCGAAGGCGGTCGAAGT CGAAAGGCCTACAACCCGAGTGGGACGTTTAATGCAAGGCCATTCGAAGGCGGTCGAAGT
NODA1928 NODA1991 NODA2030 NODA2060 NODA1924	TGGGCCGGCGCGAGACCTGAGGTCCGTGCAATCGGTTACGACTCGCGCGGCGTAGCGGCT TGGGCCGGCGCGAGACCTGAGGTCCGTGCAATCGGTTACGACTCGCGCGGCGTAGCGGCT TGGGCCGGCGCGAGACCTGAGGTCCGTGCAATCGGTTACGACTCGCGCGGCGTAGCGGCT TGGGCCGGCGCGAGACCTGAGGTCCGTGCAATCGGTTACGACTCGCGCGGCGTAGCGGCT TGGGCCGGCGCGAGACCTGAGGTCCGTGCAATCGGTTACGACTCGCGCGCG
NODA1928 NODA1991 NODA2030 NODA2060 NODA1924	CATATAGCCGCACTGCGCCGCTTCATCAAGGTTGGGGCGGTCGATCTACTCGTCGCCGAA CATATAGCCGCACTGCGTCGCTTCATCAAGGTTGGGGCGGTCGATCTACTCGTCGCCGAA CATATAGCCGCACTGCGCCGCTTCATCAAGGTTGGGGCGGTCGATCTACTCGTCGCCGAA CATATAGCCGCACTGCGCCGCTTCATCAAGGTTGGGGCGGTCGATCTACTCGTCGCCGAA CATATAGCCGCACTGCGCCGCTTCATCAAGGTTGGGGCGGTCGATCTACTCGTCGCCGAA ********************************
NODA1928 NODA1991 NODA2030 NODA2060 NODA1924	CTAGGATTGTACGCGGTACGTCCGGACCTTGAGGGACTGCGAATCAGTCATTCAATGCTC CTAGGATTGTACGCGGTACGTCCGGACCTTGAGGGACTGCGAATCAGTCATTCAATGCTC CTAGGATTGTACGCGGTACGTCCGGACCTTGAGGGACTGCGAATCAGTCATTCAATGCTC CTAGGATTGTACGCGGTACGTCCGGACCTTGAGGGACTGCGAATCAGTCATTCAATGCTC CTAGGATTGTACGCGGTACGTCCGGACCTTGAGGGACTGCGAATCAGTCATTCAATGCTC
NODA1928 NODA1991 NODA2030 NODA2060 NODA1924	GTGATGTATCCAGCCCTGAAGGAGCTCGGCGTTCCATTCGGCTTCGGCACGGTTCGGCACGTGATGTATCCAGCCCTGAAGGAGCTCGGCGTTCCATTCGGCTTCGGCACGGTTCGGCACGTGATGTATCCAGCCCTGAAGGAGCTCGGCGTTCCATTCGGCTTCGGCACGGTTCGGCACGTGATGTATCCAGCCCTGAAGGAGCTCGGCGTTCCATTCGGCTTCGGCACGTTCGGCACGTGATGTATCCAGCCCTGAAGGAGCTCGGCGTTCCATTCGGCTTCGGCACGGTTCGGCACGTTCATTCA
NODA1928 NODA1991 NODA2030 NODA2060 NODA1924	GCGCTGCAGAAACATCTTACAAGGCTGCTCGGTAAGGCCGGTCTAGCGACCATCGTGTCC GCGCTGCAGAAACATCTTACAAGGCTGCTCGGTAAGGCCGGTCTAGCGACCATCGTGTCC GCGCTGCAGAAACATCTTACAAGGCTGCTCGGTAAGGCCGGTCTAGCGACCATCGTGTCC GCGCTGCAGAAACATCTTACAAGGCTGCTCGGTAAGGCCGGTCTAGCGACCATCGTGTCC GCGCTGCAGAAACATCTTACAAGGCTGCTCGGTAAGGCCGGTCTAGCGACCATCGTGTCC
NODA1928 NODA1991 NODA2030 NODA2060 NODA1924	GGGGTTCGCGTGCGGTCCACCCTCAGAGATATGCGTCTCGACATGCCGCCCACGCGGGTC GGGGTTCGCGTGCGGTCCACCCTCAGAGATATGCGTCTCGACATGCCGCCCACACGGGTC GGGGTTCGCGTGCGGTCCACCCTCAGAGATATGCGTCTCGACATGCCGCCCACGCGGGTC GGGGTTCGCGTGCGGTCCACCCTCAGAGATATGCGTCTCGACATGCCGCCCACGCGGGTC GGGGTTCGCGTGCGGTCCACCCTCAGAGATATGCGTCTCGACATGCCGCCCACGCGGGTC

	Annexe 1
NODA1928	GAGGACCTACTGATCCTAGTTTTCCCGATTGGAAGGCCAATGAGCGATTGGCCGGCTGGT
NODA1991	GAGGACCTACTGATCCTAGTTTTCCCGATTGGAAGGCCAATGAGCGATTGGCCGGCTGGT
NODA2030	GAGGACCTACTGATCCTAGTTTTCCCGATTGGAAGGCCAATGAGCGATTGGCCGGCTGGT
NODA2060	GAGGACCTACTGATCCTAGTTTTCCCGATTGGAAGGCCAATGAGCGATTGGCCGGCTGGT
NODA1924	GAGGACCTACTGATCCTAGTTTTCCCGATTGGAAGGCCAATGAGCGATTGGCCGGCTGGT
	* * * * * * * * * * * * * * * * * * * *
NODA1928	ACGATAATTGATCGGAACGGCCGT
NODA1991	ACGATAATTGATCGGAACGGCCGC
NODA2030	ACGATAATTGATCGGAACGGGCCCGAT
NODA2060	ACGATAAA
NODA1924	ACGATAA
	*****

## Annexe 2. Alignement des séquences des gènes nodA des souches à croissance lente de crotalaires.

NODA1810	GAGGGTGCGCTGGGAAAGCGAACTGGGGCTTACCGACCATGCCGAGCTTCT
NODA1816	TGTCCAATGGAGGGTGCGCTGGGAAAGCGAACTGGGGCTTACCGAGCACGCCGAGCTTCG
NODA2077	AGGGTGCGCTGGGAAAGCGAATTGCAGCTCACCGATCATGCCGAACTTCG
NODA1929	TGTCCAGTGGAGCGTGCGCTGGGAAAGCGAACTGGGGCTTACCGATCATGCCGAGCTTCT
	*************** *** *** *** ** ** **
NODA1010	C $C$ $C$ $C$ $C$ $C$ $C$ $C$ $C$ $C$
NODA1810	CTGAGTTCTTCCGCAAGAGTTACGGCCCCGACGGGTGCGTTCAATGCGCAGCCTTTTCAG
NODA1816	CTGAGTTCTTCCGCAGGAGTTACGGCCCCGACAGGTGCGTTCAATGCGCAGCCGTTTCAG
NODA2077	CCGAGTTCTTCCGCAAGAGTTACGGGCCCGACCGGTGCGTTCAATGCGCAGCCCTTTGAA
NODA1929	CTGAGTTCTTCCGCAAGAGTTACGGCCCCGACGGGTGCGTTCAATGCGCAGCCTTTTCAG
	* ******** ***** ***** ***** **********
NODA1810	GGGAGCCGAAGTTGGGCCGGCGCAAGACCCGAGGTCCGCGTAATTGGTCGCGACGCGCGC
NODA1816	GGGAGCCGAAGTTGGGCCGGCGCAAGACCCGAGGTTCGTGTAGTTGGTTACGACGCGCGC
NODA2077	GCCAACCGAAGTTGGGCCGGGGCCAGGCCTGAGGTCCGCATTATCGGTTATGACGCGCGC
NODA1929	GGGAGCCGAAGTTGGGCCGGCGCAAGACCCGAGCTCCGCGTAATTGGTCACGACGCGCGC
NODAT 92 9	
	* * ********* ** ** ** * * * * * * * * *
NODA1810	GGGGTAGCGGCTCACGTCGGGCTACTACGTCGCTTCATCAAAGTTGGTGGAGTCGATCTC
NODA1816	GGGATAGCAGCACACGTCGGGCTACTACGACGCTTCATCAAAGTTGGTGGAGCCGATCTC
NODA2077	GGCGTAGCTGCTCATGTCGGGCTATTACGCCGCTTCATCAAGATTGGTGGGGTCGATCTA
NODA1929	GGGGTAGCGGCTCACCTCGGGCTACTACGTCGCTTCATCAAAGTTGGTGGAGTCGATCTC
	** *** ** ** ****** *** ****** *****
NODA1810	CTCGTGGCCGAACTGGGGTTGTATGCGGTGCGCCCGGATCTCGAAGGACTTGGAATCAGC
NODA1816	CTTGTGGCCGAACTGGGATTGTATGCGGTCCGCCCCGATCTCGAGGGGCTCGGAATAAGC
NODA2077	CTCGTTGCCGAACTGGGCTTGTATGCGGTGCGCCCGGATCTCGAAGGCCTGGGAATCAGC
NODA1929	CTCGTGGCCGAACTGGGGTTGTATGCGGTGCGCCCGGATCTCGAAGGACTTGGAATCAGC
	** ** ****** *** ***** **** **** **** ** ** ** ** **
NO D 3 1 0 1 0	$C_{\lambda}$ $\pi_{C}$ $C_{C}$ $\lambda$ $\pi_{C}$ $C_{C}$ $\alpha$ $\pi_{C}$ $\alpha$
NODA1810	CATGCCATGCGGGTGATGTATCCCATACTGCAGGATCTTGGCGTTCCATTTGGCTTTGGC
NODA1816	CACGCAATGCGCGTCATGTATCCAATACTGCACGAGCTGGGCGTTCCGTTTGGCTTTGGC
NODA2077	CACGCAATGCGCGTGACGTATCCGATACTGCATGAGCTTGGGGTTCCATTCGGTTTTGGT
NODA1929	CATGCCATGCGGGTGATGTATCCCATACTGCAGGACCTTGGCGTTCCATTTGGCTTTGGC
	** ** **** ** * ***** **** ** ** ** **
NODA1810	ACGGTTCGGTCGGCGCTTGAGAAACATATGACGCGACTGGTCGAGAGGCAGGGGCTCGCC
NODA1816	ACGGTTCGACCGGCGCTCGAGAAACATATGACGCGACTGGTCCAAAGGCAGGGGCTCGCC
NODA2077	ACGGTTCGGCCTGCGCTTGCGAAACACATGACGCGACTGGTCGAAAGGCAGGGGCTCGCC
NODA1929	ACGGTTCGGTCGGCGCTTGAGAAACATATGACGCGACTGGTCGAGAGGCAGGGGCTCGCC
	******
NODA1810	ACCCTGATGCATGGCATTCGCGTCCGCTCCACGCAGCCGGATGTCTATCCAAATTTATCG
NODA1816	ACTCTTATGAATGGCATCCGCGTGCTCCCACGCTGCCTGACGTCTATCCCAATTTGTCG
NODA2077	ACCCTGATGTCGGGCATTCGCGTCCGCTCCACGCATCCGGATGTCTATCCCAACTTGTCG
NODA1929	ACCCTGATGCATGCATTCGCGTCCGCTCCACGCAGCCGGATGTCTATCCAAATTTATCG
NODAI 929	** ** *** *** **** **** * ****** * * * *
	^ ^ ^ ^ ^ ^ ^ ^ ^ ^ ^ ^ ^ ^ ~ ~ ~ ~ ~ ~
NODA1810	CCGACCCGCATCGAAGACGTGGTCGTGGTGGTGTTTCCCGTTGGAAGCTCGATCAGCGAA
NODA1816	CCGACCCGCATGGAAGACGTGATCGTGGTGGTGTTTCCAGTTGGTCGCTCGATCACCGAG
NODA2077	
	CCCATCCGCATCGAAGATGTGATCGTGGTGGTTTTCCCGGTAGGACGCGCAATAAGCGAG
NODA1929	CCGACCCGCATCGAAGACGTGGTCGTGGTGTTTTCCCGTCGGAAGCTCGATCAGCGAA
	** * ***** **** *** ******* ** ** ** **
NODA1810	TGGCCGGCCGGGACTGTCATCGATCGGAACGGGCCC
NODA1816	TGGCCGGCCGGACGTGATTGATCGGAACGGCCCGA
NODA2077	TGGCCGGCCGGAACGCTCATCGATCGGAACGGCCGAT
NODA1929	TGGCCGGCCGGGACTGTCATCGATCGGAACGGGCCCGAGCTTGTGAA
	******* ** * * * ********

Annexe 3

# Annexe 3. Alignement des séquences des gènes nodA des souches de Lotononis bainesii.

NODA1FB1R446 NODA1FB1R4144	GGAAGTGGGTGGGAAAGTGAGTTGGATCTCGCTGACCACGCTGAACTCGCTGAATTCTTAGTGGGTGGGAAAGTGAGTTGGATCTCGCTGACCACGCTGAACTCGCTGAATTCTT ********************************
NODA1FB1R446 NODA1FB1R4144	GCGGAACGCCTACAACCCGAGCGGCGCGTATAATGCCAGGCCATTTGAAGGCGGTCGCAG GCGGAACGCCTACAACCCGAGCGGCGCGTATAATGCCAGGCCATTTGAAGGCGGTCGCAG **********************************
NODA1FB1R446 NODA1FB1R4144	TTGGGCCGGTGCTAGACCAGAACTTCGTGCTATCGGCTACGACTCGAAGGGCGTCGCAGC TTGGGCCGGTGCTAGACCAGAACTTCGTGCTATCGGCTACGACTCGAAGGGCGTCGCAGC *********************************
NODA1FB1R446 NODA1FB1R4144	CCACATAGCCGCACTACGCCGCTTCATCAAAATTGGGATGGTTGATTTACTCGTCGTCGA CCACATAGCCGCACTACGCCGCTTCATCAAAATTGGGATGGTTGATTTACTCGTCGTCGA ************************************
NODA1FB1R446 NODA1FB1R4144	ACTGGGATTGTATGCAGTACGTTTGGATCTCGAGGGATTGCGAGTTAGTT
NODA1FB1R446 NODA1FB1R4144	CGAGCTGTATCCAGCTTTGAAAAACCTCGGTGTCCCTTTCGGGTTTGGCACAGTCCGGCC CGAGCTGTATCCAGCTTTGAAAAACCTCGGTGTCCCTTTCGGGTTTGGCACAGTCCGGCC *******************************
NODA1FB1R446 NODA1FB1R4144	TGCGCTTCAGAAACACCTCACCAGGCTGCTCGGTAAGGCCGGTTTGGCGGCCACTGTGTC TGCGCTTCAGAAACACCTCACCAGGCTGCTCGGTAAGGCCGGTTTGGCGGCCACTGTGTC ********************************
NODA1FB1R446 NODA1FB1R4144	CGGGGTTCGCGTCCGTTCCACTCTCCGAGACATGAGCCTCGACATGCCACCGACGAGAGT CGGGGTTCGCGTCCGTTCCACTCTCCGAGACATGAGCCTCGACATGCCACCGACGAGAGT *********************************
NODA1FB1R446 NODA1FB1R4144	CGAGGACCTTCTGATCCTAATTTTCCCCATTCAACTGCCGGTCAGTCA
NODA1FB1R446 NODA1FB1R4144	TACACTAATTGATCGCAATGGACCAGAACTATGAAAGAAA
NODA1FB1R446 NODA1FB1R4144	GTCCACCCGATGGGGTCGAAGCGGAGACCGTTCCAGTGTATACCTGACCTTTGACGAAC GTCCACCCGATGGGGTCGAAGCGGAGACCGTTCCAGTGTATACCTGACCT *******************************
NODA1FB1R446 NODA1FB1R4144	GGCCCA 

### Annexe 4. Séquence nucléotidique du fragment XmaI de 7 kb contenant les gènes de nodulation.

```
CCCGGGAGAT AATTGCGAGC TGTACGTGCA ACAGAGCCTC CCGAACGGGG GCGGCGAGTT CTTCTGCACG
      CGATGTTGGA ATAAGTTTGC GGCCCCTCAT AATAAATAGC TCATCACGGA AATAGGCGCG CAAACGCGCG
      ACGGCCGCGC TCATGGCGGG TTGGCTCAGG TTGATGCTGC ATGCCGCGCG GGTGAGGTTT CGCTCTTTCA
      TCAAAGCGTC GAGCGCGATG AGGAGATTGA GATCGAGGCC CTTGAAGCGC ATGTGCCCAC CTATCCATCG
 211
      TTTGGATATG CTGCATCAAA ACAATCGATT TTACAAATGT CGCGGGCATA TAGCACATAA CGTGATGCCG
 281
      ATCTAGTTAG GTACGTCATC ATACCATGAG ATTCCCTTCC GACCTTTGCC CCAGCTCCGG AACAGGAGAG
      CTGTCCGCGC GCTCGCAGGT GCGGTGGAGG CTGTGCTGGG AAAATGAGCT GGAACTCGCC GACCATGCCG
 491
      AACTCGCCGA GTTCCTGCGA AAGGCCTACA ACCCGAGTGG GACGTTTAAT GCAAGGCCAT TCGAAGGCGG
      TCGAAGTTGG GCCGCCGA GACCTGAGGT CCGTGCAATC GGTTACGACT CGCGCGGCGT AGCGGCTCAT
      ATAGCCGCAC TGCGTCGCTT CATCAAGGTT GGGGCGGTCG ATCTACTCGT CGCCGAACTA GGATTGTACG
 631
 701
      CGGTACGTCC GGACCTTGAG GGACTGCGAA TCAGTCATTC AATGCTCGTG ATGTATCCAG CCCTGAAGGA
      GCTCGGCGTT CCATTCGGCT TCGGCACGGT TCGGCACGCG CTGCAGAAAC ATCTTACAAG GCTGCTCGGT
      AAGGCCGGTC TAGCGACCAT CGTGTCCGGG GTTCGCGTGC GGTCCACCCT CAGAGATATG CGTCTCGACA
      TGCCGCCCAC ACGGGTCGAG GACCTACTGA TCCTAGTTTT CCCGATTGGA AGGCCAATGA GCGATTGGCC
      GGCTGGTACG ATAATTGATC GGAACGGGCC AGAGCTGTGA GACGCCTCAA CTACTTATCA GAACTGCGCA
      GCGAGTGCGC TGACGGTAGA GGGCATCACA GCGTCTATTT GACCTTTGAT GACGGTCCGA ATCCACGTTG
      CACACCGGAT ATCCTTGATG TGCTGGCTGA ACACCGGGTG CCGGCGACGT TCTGCGTCAT TGGCGCGTAC
1191
      GCAGCAAATG AGCCTGAACT AATCCAAAGA ATGATCGCAG AAGGGCACGA AGTCGCAAAT CACACGATGA
1261
      CTCATCCGGA CCTATCCAGA AGCGAATCCG GTGAAATACA AAGGGAAATA CTATGGGCGA ACAGGGTCAT
1331
      CAGGATGACA TGTCCCCAAG CTTTGTTGCG GCACATGCGC GCGCCGTACG GCTCGTGGAC AGAAGAAGTG
      CTTACTACTG CAGCGAGGGC TGGACTAGCG GCCCTGCACT GGTCAGTAGA CCCGCGGGAC TGGTCTCGGC
1471
      CTGGGGTAGA CGCGATTGTG GATGCAGTGC TGAGCTCTGT CCGTCCGGGT GCAATCGTGC TCTTGCACGA
1541
      CGGATGTCCT CCCAGCGAGT TGGCACCGTG CACTCACGCC GGTCTGCGAG ACCAAACCGT CGTTGCGCTT
1611
      GCCCGCCTGA TTCCGGAATT GCATAGCCGC GGGTTTACAA TTCGCTCGCT TCCTCAACAT CACTGACCAG
1681
     GCAGACAACC TATGGACGTG CTTGCCACAG CCAGCGCTAC CGCTGTTTCA TTGTATGCGG CTACTCTCGA
1751
     CTTTTTATAA AGGCATGCAG GTGTTTTATG CTCTGCCGAC AAACGTTTCA TCATCGGAGT CGGACAATCT
     GATCGACTCG GACGTTCTGC CGAGCGTAGA TGTCATCGTT CCCTGCTTTA ACGAGGACCC GTGCACGCTC
     TCTGCGTGCC TGGCTTCAAT TGCAAAGCAG GAATACGGCG GAAAACTGCG GGTCTATGTG GTTGATGACG
1961
     GTTCGGGAAA CCGCGATGCG GTAACGCCTG TACACGATTC CTACGCCCAC GATCCGAGAT TTAACTTCAT
2031
     TCTTCTCCGT AACAATATTG GAAAGCGCAA AGCACAGATC GCTGCGATAC GCCGTTCATC AGGAGATTTG
2101
     GTGCTCAACA TCGACTCTGA TACGATAGCC GCCTCCGACG TGGTCACGAA GCTTGCGTTG AAGATGCAGA
2171
     ATCCATCAGT CGGCGCGCG ATGGGTCAGT TGACAGCCAG TAATCGGAGC GATACTTGGT TGACACGGTT
2241 GATCGATATG GAATACTGGC TAGCTTGTAA CGAGGAGCGC GCGGCGCAAG CTCGCTTCGG TGCCGTTATG
2311
     TGCTGCTGCG GCCCTTGTGC TATGTACCGC AGGTCCGCGC TCCTTTTGTT GCTAGATCAG TACGAGACGC
2381 AAGTCTTTCG AGGTAAGCCA AGTGACTTCG GTGAGGATCG CCATCTCACG ATTCTAATGC TGAAAGCAGG
2451
     CTTTCGAACC GAGTACGTCC CGGACGCCAT TGCGGCAACG GTCGTCCCGG ATAGGCTCGG TTCGTATCTG
2521
     CGCCAACAAC TCCGCTGGGC ACGGAGCACT TACCGAGACA CGTTGCTCGC ACTGCGCCTG CTGCCTGGCC
2591
     TCGATCCCTT CCTCACCCTA GACGTAGTCG GACAGAATCT CGGATCTCTA TTTCTCGCCC TTTCGTTAGT
     AACGGGGCTC GCGCAGCTCG CATTGACAGC TACAGTGCCG TGGTGGACAG GCTTAGTGAT CGCATCCATG
     ACCACAATTC GCTGCAGCGT GGCAGCGCTT CGTACTCGCC AGTTTCGATT TCTTGGATTT TCTCTTCACA
     CGCCCATCAA CGCTTTTCTG TTACTTCCCT TGAAAACCTA TGCATTGTGT ACATTGAGCA ATAGCAGTTG
     GCTGTCGCGC GAGTCTGCCA CTCTTGCACA AAACAGGGAT GGAAAACAGA TCGCCATCCG AAACCTGGTC
     ATTGGATCGA ATACTACAGA GCTTTCGGGG ATTGTGGCGC TGCTTCGTAG GCTGGATCTC ACGCGAGATT
     CCTTGATGTT CGGTAAGCCT CCGCTGAGGG CCGCGGCCAC GGAGGCGAGC GTGCATTACG GCCGCCGAGA
     TCCCCAAACA GCAGAGCGTC GAGGTGACGC GCAGGGCGAT TGTTCAGACT CGCGCCCTCT CATCTGAGCA
     TCCGCCCTCC CGCTTGTCCA TAACGGGAAC TATACGTGGA TGTATTATGC GCGTATAAGG CATCATGCTG
3221
     ACAGATGCTC TGGCGATTGC TTATATCGAG AACGGACGGC GCATTGTTCG GGCCGGGCAC AAGAAGCGGA
     GTCACAAGCT TCGGTATCCA ATTCTAGACG ATCTCGATGC AATTGTCGTC GCTTCGGGGG CGCACGATCT
3361
     GGATGCGCCG CACGACGTTG ATCAGTTCGT GATCGACGAC TTGGATGGGG AGGTCGGGTC TCTGCTCGAG
     ATCGTCACTG GCGTACCCGC TATCGCGCTC ATAGAGCCGC AGTGTGCCGA ACACCAGGCC GAGAGCCTTA
3431
     TCATTTCTGC CGGCGGCTCC GGCGTGATGC TTCACGGAAG GGTCTTCTTG GCTCCATGTC TACAGCAGCA
     ATCGATCTTA CCAGCGTAAG GAAGTCATAC GGCGACAAGA TCGTTATCGA CGGGTTGTCG TTCACTGTTG
3641
     CGCCGGGAGA GTGCTTCGGC TTACTGGGAC CGAACGGTGC AGGCAAGAGC ACGATCGCGC GTATGCTCCT
3711
     CGGCATAGCA CCGCTTGACG CGGGCAAGAT CAAGGTGCTC GGCGAGCCAG TGCCGGCACG CATTCGCTTG
3781
     GCACGCGCGC GCATCGGCGT GGTCCCTCAG TTCGACAACC TTGACCTTGA GTTCACCGTA CGCGAGAGCC
3851
     TGTTGGTGTT CGGGCGCTAC TTCAGCATGA GCGCTCGCGA TGTCGAAGCG GTCACGCCGT CACTCCTTGA
3921
     GTTCGCCCGC CTCGAGGACA AGGCGAATGC ACGCATCGCT GACTTGTCCG GCGGCATGAA GCGGCGCCTG
3991
     ACGCTGGCGC GTGCGCTGAT CAATAACCCT CAGCTGCTGG TGATGGATGA GCCGACCACC GGCCTCGATC
4061
     CGCACGCGC CCACCTGATC TGGGAACGCC TGCGCTCGCT GTTGGCCCGC GGCAAAACGA TCCTTTTGAC
4131
     GACCCACTTC ATGGAAGAGG CTGAGCGGTT GTGCGACCGA GTGTGTGTGC TTGAGGAAGG ACGCAAGATC
```

4201	GCCGAAGGCC	GGCCTCACGC	GCTGATCCAG	GAGAAGATTG	GCTGCCACGT	GATCGAGATC	TACGGCGGCA
4271	ATCCGCATGA	GCTGCGTACG	CTGATCAGGC	CGTACGCGCA	GCACATCGAG	GTGAGCGGCG	AGACGCTTTT
4341	TTGCTATGCG	CCAGATCCAG	AGCAGGTGCG	GGTGCAGCTG	CTTGGGCGCA	CGGGGCTACG	CCTTCTGCAG
4411	CGTCCCCCGA	ATCTTGAGGA	TGTTTTTTTG	CGGCTGACCG	GGCGCGAGAT	GGAGAAATGA	ATGATAGGCG
4481	AAGGTTATGC	AGCGGCTCTG	CCCTCCAACG	CGTGGAACTG	GCTCGCGGTA	TGGCGCCGCA	ACTGTCAGGC
4551	GTGGAAGAAA	GTCGCGCTTG	CATCGGTTCT	CGGGAATCTC	GCCGATCCCA	TGATCTATCT	GTTTGGTCTC
4621	GGCTTTGGCA	TCGGGGTAAT	GTTAGGTCAA	GTTGAAGGCA	CTCCATACAT	CGCGTTTCTA	GCGGCTGGGA
4691	TGGTCGCGAC	AAGCGCGATG	ACCTCCGCGA	CTTTCGAAAC	GATTTATGCG	GCTTTCGCTC	GCATGCACGC
4761	TCAGCGGACC	TGGGAAGCAA	TCCTGTGCAC	GCAACTCACG	CTCGGCGACA	TCGTTCTCGG	TGAATTAGCG
4831	TGGGCAGCCA	CAAGGCCTT	ŤCŤGGCCGGG	ACCGGAATTA	CGATTGTTGC	GGCCATGCTG	GGCTATGCAG
4901	CTTGGCCATC	CTTCCTCTAT	GCGCTGCCGG	CAATCGCCCT	CACTGGTCTT	GCGTTTGCAA	GCCTAGCGAT
4971	GGTCGTCACA	GCGCTGGCGC	CCAGTTACGA	CTATTTCGTT	TTTTACCAGA	CTCTCTTCCT	AACACCCATG
5041	CTGTTCTTGT	GCGGTGCGGT	GTTTCCGGCC	GCTCAACTGC	CAATCGCCTT	TCAACACATA	GCGACCGTCT
5111	TGCCACTAGC	ACATTCCGTC	GATCTCGTTC	GTGCAGCGAT	GCTTGGCCGT	CCGGCTGACA	GCGTCGGCCT
5181	GCATATCGGC	ATACTTTGCG	TATACGCAGT	ATTGCCGTTT	TTTTTGTCGA	CTGCGCTGCT	TGGTCGGCGC
5251	CTCCTACGTT	GATCCCACCA	CGTAAGAGTT	AATTCAACCC	CGAACCGTCG	CGGCCAATCT	TATCTGGAGG
5321	CAGACTCAAT	GAGCCGTCTA	ACACCCCGC	CTGAGCCATT	TGTAATCCTA	GCAATGCCGA	GAACGGGCAC
5391	GCACTATCTG	GAAGAATTGC	TGAACGAGCA	TCCGAACGTC	TTGAGCAACG	GTGAGCTGCT	AAACCCGTAT
5461	GATATGAATT	GGCCCGATAA	GGACCGCCTG	CTCCGTAGCG	ATTGCGAGCT	CCTTGAGCTT	GCCTACCTGC
5531	GCTATCCTAC	GCGGAGCACC	AAGGCTAAAG	TGACGCACGT	TGGCTGCAAG	ATCAACGAAC	CTCAGTTTCG
5601		GGCTTATTTG					
5671		AATCGCTTCG					
5741	ACAATGACGC	AACTCCGCCG	CCGCGTGTCA	ATTTATCAAT	CGCTGATTGC	GAGGTCTACT	TCAAGGCCGC
5811	CGATGGTTTT	CATGACCGGG	TCGCGCGCTC	CTTTGCGTCG	ACTGACATGG	TTGTGATCGA	GTACGAGAGT
5881		ATCCCAACGC					
5951	CTGGTCGCGC	GATCCTTCAG	CGTCAGGAAT	CGCGATCGCT	GGACCAAACC	GTGCAGAATT	TTCATGAGTT
6021	GCGACACCAT	TTCGCGGGTA	GACCTTATGT	ACGATTCTTC	AAAGTGGGTG	ATTTGTGATG	GAACCACCGC
6091		CATGACGGAC					
6161		CCTCGCTCTG					
6231		GCCTGCATCG					
6301	GTCGAGACCC	GCCTCGCGGC	GGAGGACCGC	CACGCCTACA	TCCTCGATGG	CGACAACCTG	CGCAGCGGCC
6371		TCTCGGCTTC					
6441		GATGCGGGGC					
6511		CGGCTGGGGC					
6581		CAAGGGGCTG					
6651		GCGCCCGACG					
6721		TCGGCTACCT					
6791		CTTGAGCGTT					
6861	CGGCTGATGT	GACGGCATCC	ACCAGCCGGC	CGATAGCAGC	CCAGAGGCCC	TCAAGATGGC	ATAGCACTCG
6931	ATGCCGCGCT	CCTTCAGCAT	TGCCACGATG	GCCAGCAGCT	CGACGGGCGA	GCGGCCGAAC	CGGTCGAGCC
7001		CAGCGTGTCA					
7071	CCGCCTCCGC	CTGCTCGCCG	GGCCGCTCGC	CGCGCTGATC	CTGCTGCCGC	CCGCCGCCCG	GG

ITS.C.hyssopifolia ITS.C.perotteti ITS.C.leuprieurii ITS.C.atrorubens ITS.C.sphaerocarpa ITS.C.barkae	AG.AG.GCGT AG.AG.GTGT AG.AG.GTGT AG.AG.GTGC AGAAG.GTGT	TCGGCTCCTC TCGGCTCCTC TCGGCTCCTC TCGGCTCCTC TCGGCTCCTC	GGTCCCCTC GGTCCCCTC TGTCCCCTC GGTCACCCTC	GTGTCGGAG GTGTCGGAG GTGTCGGAAG CTGTCGGAAG	GCGCC GCGCC GCGCC GCGTC
ITS.C.glaucoides ITS.M.sativa		TCGGCTCCTC TACACCTCGG			
IIS.M.Saciva	IGAGGIGIIC	IACACCICGG	CITACCICII	GGIICAGAGG	•••••
	151				200
ITS.C.arenaria		TGGCAT			
ITS.C.retusa		TGGTAT			
ITS.C.comosa		CGGTCGGTCT			
ITS.C.lathyroides		CGGTCGGTCT			
ITS.C.ochroleuca		CGGTCGGTCT			
ITS.C.cylindrocarpa		CGGTCT			
ITS.C.goreensis		CGGTCT			
ITS.C.podocarpa		CGGTCT			
ITS.C.senagalensis ITS.C.hyssopifolia		CGGTAT			
ITS.C.perotteti		CGGTCT			
ITS.C.leuprieurii		CGGTCT			
ITS.C.atrorubens		CGGTCT			
ITS.C.sphaerocarpa		TGGTCT			
ITS.C.barkae		CGGTCT			
ITS.C.glaucoides		CGATCT			
ITS.M.sativa		AAGTGCGTCC			
	201				250
ITS.C.arenaria	TGAATGCGCC	AAGGAGATCA			CCCGTGGGCT
ITS.C.retusa	TGAATGCGCC TCAATGCGCC	AAGGAGAACG	AAATCGTTTA	${\tt GTGCACC}$	CCCGTGGGCT CCCGCGGGCT
ITS.C.retusa ITS.C.comosa	TGAATGCGCC TCAATGCGCC CGAACGCGCC	AAGGAGAACG AAGGAAATCG	AAATCGTTTA AAATCGTTTA	GTGCACC GTGCGCC	CCCGTGGGCT CCCGCGGGCT CCCGTCGGCT
ITS.C.retusa ITS.C.comosa ITS.C.lathyroides	TGAATGCGCC TCAATGCGCC CGAACGCGCC TGAATGCGCC	AAGGAGAACG AAGGAAATCG AAGGAAATCG	AAATCGTTTA AAATCGTTTA AAATTGTTTA	GTGCACC GTGCGCC GTGCGCC	CCCGTGGGCT CCCGTCGGCT CCCGTCGGCT
ITS.C.retusa ITS.C.comosa ITS.C.lathyroides ITS.C.ochroleuca	TGAATGCGCC TCAATGCGCC CGAACGCGCC TGAATGCGCC CGAACGCGCC	AAGGAAATCG AAGGAAATCG AAGGAAATCG	AAATCGTTTA AAATCGTTTA AAATTGTTTA AAATCGTTTA	GTGCACC GTGCGCC GTGCGCC	CCCGTGGGCT CCCGTCGGCT CCCGTCGGCT CCCGTCGGCT
ITS.C.retusa ITS.C.comosa ITS.C.lathyroides ITS.C.ochroleuca ITS.C.cylindrocarpa	TGAATGCGCC TCAATGCGCC CGAACGCGCC TGAATGCGCC CGAACGCGCC CGAACGCGCC	AAGGAGAATCG AAGGAAATCG AAGGAAATCG AAGGAAATCG	AAATCGTTTA AAATTGTTTA AAATCGTTTA AAATCGTTTA	GTGCACC GTGCGCC GTGCGCC GTGCACCC	CCCGTGGGCT CCCGTCGGCT CCCGTCGGCT CCCGTCGGCT CCCGTCGGCT
ITS.C.retusa ITS.C.comosa ITS.C.lathyroides ITS.C.ochroleuca ITS.C.cylindrocarpa ITS.C.goreensis	TGAATGCGCC TCAATGCGCC CGAACGCGCC TGAATGCGCC CGAACGCGCC CGAACGCGCC	AAGGAGAATCG AAGGAAATCG AAGGAAATCG AAGGAAATCG AAGGAAATCG	AAATCGTTTA AAATCGTTTA AAATCGTTTA AAATCGTTTA AAATCGTTTA	GTGCACC GTGCGCC GTGCGCC GTGCA.CCC GTGCACCCCC	CCCGTGGGCT CCCGTCGGCT CCCGTCGGCT CCCGTCGGCT CCCGTCGGCT CCCGTCGGCT
ITS.C.retusa ITS.C.comosa ITS.C.lathyroides ITS.C.ochroleuca ITS.C.cylindrocarpa ITS.C.goreensis ITS.C.podocarpa	TGAATGCGCC TCAATGCGCC CGAACGCGCC TGAATGCGCC CGAACGCGCC CGAACGCGCC CGAACGCGCC	AAGGAGAATCG AAGGAAATCG AAGGAAATCG AAGGAAATCG AAGGAAATCG AAGGAAATCG	AAATCGTTTA AAATTGTTTA AAATCGTTTA AAATCGTTTA AAATCGTTTA AAATCGTTTA AAATCGTTTA	GTGCACC GTGCGCC GTGCGCC GTGCA.CCCC GTGCACCCCC GTGCA.CCCC	CCCGTGGGCT CCCGTCGGCT CCCGTCGGCT CCCGTCGGCT CCCGTCGGCT CCCGTCGGCT CCCGTCGGCT
ITS.C.retusa ITS.C.comosa ITS.C.lathyroides ITS.C.ochroleuca ITS.C.cylindrocarpa ITS.C.goreensis ITS.C.podocarpa ITS.C.senagalensis	TGAATGCGCC TCAATGCGCC CGAACGCGCC CGAACGCGCC CGAACGCGCC CGAACGCGCC CGAACGCGCC CGAACGCGCC	AAGGAGAACG AAGGAAATCG AAGGAAATCG AAGGAAATCG AAGGAAATCG AAGGAAATCG AAGGAAATCG AAGGAAATCG	AAATCGTTTA AAATTGTTTA AAATCGTTTA AAATCGTTTA AAATCGTTTA AAATCGTTTA AAATCGTTTA AAATCGTTTA	GTGCACC GTGCGCC GTGCGCC GTGCA.CCCC GTGCA.CCCC GTGCA.CCCC GTGCACC	CCCGTGGGCT CCCGTCGGCT CCCGTCGGCT CCCGTCGGCT CCCGTCGGCT CCCGTCGGCT CCCGTCGGCT CCCGTCGGCT
ITS.C.retusa ITS.C.comosa ITS.C.lathyroides ITS.C.ochroleuca ITS.C.cylindrocarpa ITS.C.goreensis ITS.C.podocarpa ITS.C.senagalensis ITS.C.hyssopifolia	TGAATGCGCC TCAATGCGCC CGAACGCGCC CGAACGCGCC CGAACGCGCC CGAACGCGCC CGAACGCGCC CGAACGCGCC CGAACGCGCC	AAGGAGAACG AAGGAAATCG AAGGAAATCG AAGGAAATCG AAGGAAATCG AAGGAAATCG AAGGAAATCG AAGGAAATCA AAGGAAATCA	AAATCGTTTA AAATCGTTTA AAATCGTTTA AAATCGTTTA AAATCGTTTA AAATCGTTTA AAATCGTTTA AAATCGTTTA AAATCGTTTA	GTGCACC GTGCGCC GTGCGCC GTGCA.CCCC GTGCA.CCCC GTGCA.CCCC GTGCACC GTGCACC	CCCGTGGGCT CCCGTCGGCT CCCGTCGGCT CCCGTCGGCT CCCGTCGGCT CCCGTCGGCT CCCGTCGGCT CCCGTCGGCT CCCGTCGGCT
ITS.C.retusa ITS.C.comosa ITS.C.lathyroides ITS.C.ochroleuca ITS.C.cylindrocarpa ITS.C.goreensis ITS.C.podocarpa ITS.C.senagalensis ITS.C.hyssopifolia ITS.C.perotteti	TGAATGCGCC TCAATGCGCC CGAACGCGCC CGAACGCGCC CGAACGCGCC CGAACGCGCC CGAACGCGCC CGAACGCGCC CGAACGCGCC CGAACGCGCC	AAGGAGAACG AAGGAAATCG AAGGAAATCG AAGGAAATCG AAGGAAATCG AAGGAAATCG AAGGAAATCG AAGGAAATCG AAGGAAATCA AAGGAAATCA	AAATCGTTTA	GTGCACC GTGCGCC GTGCGCC GTGCA.CCCC GTGCA.CCCC GTGCACC GTGCACC GTGCACC GTGCACC	CCCGTGGGCT CCCGTCGGCT CCCGTCGGCT CCCGTCGGCT CCCGTCGGCT CCCGTCGGCT CCCGTCGGCT CCCGTCGGCT CCCGTCGGCT CCCGTGGCT
ITS.C.retusa ITS.C.comosa ITS.C.lathyroides ITS.C.ochroleuca ITS.C.cylindrocarpa ITS.C.goreensis ITS.C.podocarpa ITS.C.senagalensis ITS.C.hyssopifolia ITS.C.perotteti ITS.C.leuprieurii	TGAATGCGCC TCAATGCGCC CGAACGCGCC CGAACGCGCC CGAACGCGCC CGAACGCGCC CGAACGCGCC CGAACGCGCC CGAACGCGCC CGAACGCGCC CGAACGCGCC	AAGGAGAACG AAGGAAATCG AAGGAAATCG AAGGAAATCG AAGGAAATCG AAGGAAATCG AAGGAAATCA AAGGAAATCA AAGGAAATCG AAGGAAATCG AAGGAAATCG	AAATCGTTTA	GTGCACC GTGCGCC GTGCGCC GTGCA.CCCC GTGCA.CCCC GTGCACC GTGCACC GTGCACC GTGCACC GTGCGCC	CCCGTGGGCT CCCGTCGGCT
ITS.C.retusa ITS.C.comosa ITS.C.lathyroides ITS.C.ochroleuca ITS.C.cylindrocarpa ITS.C.goreensis ITS.C.podocarpa ITS.C.senagalensis ITS.C.hyssopifolia ITS.C.perotteti ITS.C.leuprieurii ITS.C.atrorubens	TGAATGCGCC TCAATGCGCC CGAACGCGCC	AAGGAGAACG AAGGAAATCG AAGGAAATCG AAGGAAATCG AAGGAAATCG AAGGAAATCG AAGGAAATCA AAGGAAATCA AAGGAAATCG AAGGAAATCG AAGGAAATCG AAGGAAATCG AAGGAAATCG AAGGAAATCG	AAATCGTTTA	GTGCACC GTGCGCC GTGCGCC GTGCA.CCCC GTGCA.CCCC GTGCACC GTGCACC GTGCACC GTGCACC GTGCGCC GTGCGCC	CCCGTGGGCT CCCGTCGGCT
ITS.C.retusa ITS.C.comosa ITS.C.lathyroides ITS.C.ochroleuca ITS.C.cylindrocarpa ITS.C.goreensis ITS.C.podocarpa ITS.C.senagalensis ITS.C.hyssopifolia ITS.C.perotteti ITS.C.leuprieurii ITS.C.atrorubens ITS.C.sphaerocarpa	TGAATGCGCC TCAATGCGCC CGAACGCGCC	AAGGAGAACG AAGGAAATCG AAGGAAATCG AAGGAAATCG AAGGAAATCG AAGGAAATCG AAGGAAATCA AAGGAAATCG AAGGAAATCG AAGGAAATCG AAGGAAATCG AAGGAAATCG AAGGAAATCG AAGGAAATCG AAGGAAATCG	AAATCGTTTA	GTGCACC GTGCGCC GTGCACCC GTGCA.CCCC GTGCA.CCCC GTGCACC GTGCACC GTGCACC GTGCGCC GTGCGCC GTGCGCC GTGCGCC GTGCGCC	CCCGTGGGCT CCCGTCGGCT
ITS.C.retusa ITS.C.comosa ITS.C.lathyroides ITS.C.ochroleuca ITS.C.cylindrocarpa ITS.C.goreensis ITS.C.podocarpa ITS.C.senagalensis ITS.C.hyssopifolia ITS.C.perotteti ITS.C.leuprieurii ITS.C.atrorubens ITS.C.sphaerocarpa ITS.C.barkae	TGAATGCGCC TCAATGCGCC CGAACGCGCC	AAGGAGAACG AAGGAAATCG AAGGAAATCG AAGGAAATCG AAGGAAATCG AAGGAAATCG AAGGAAATCA AAGGAAATCG AAGGAAATCG AAGGAAATCG AAGGAAATCG AAGGAAATCG AAGGAAATCG AAGGAAATCG AAGGAAATCG AAGGAAATCG	AAATCGTTTA	GTGCACC GTGCGCC GTGCACCC GTGCA.CCCC GTGCACCC GTGCACC GTGCACC GTGCACC GTGCGCC GTGCGCC GTGCGCC GTGCGCC GTGCGCC	CCCGTGGGCT CCCGTCGGCT CCCGTCGGCC CCCGGCGGCT
ITS.C.retusa ITS.C.comosa ITS.C.lathyroides ITS.C.ochroleuca ITS.C.cylindrocarpa ITS.C.goreensis ITS.C.podocarpa ITS.C.senagalensis ITS.C.hyssopifolia ITS.C.perotteti ITS.C.leuprieurii ITS.C.atrorubens ITS.C.sphaerocarpa ITS.C.barkae ITS.C.glaucoides	TGAATGCGCC TCAATGCGCC CGAACGCGCC	AAGGAGAACG AAGGAAATCG AAGGAAATCG AAGGAAATCG AAGGAAATCG AAGGAAATCG AAGGAAATCA AAGGAAATCG AAGGAAATCG AAGGAAATCG AAGGAAATCG AAGGAAATCG AAGGAAATCG AAGGAAATCG AAGGAAATCG	AAATCGTTTA	GTGCACC GTGCGCC GTGCACCC GTGCA.CCCC GTGCACCC GTGCACC GTGCACC GTGCACC GTGCGCC GTGCGCC GTGCGCC GTGCGCC GTGCGCC GTGCGCC GTGCGCC	CCCGTGGGCT CCCGTCGGCT
ITS.C.retusa ITS.C.comosa ITS.C.lathyroides ITS.C.ochroleuca ITS.C.cylindrocarpa ITS.C.goreensis ITS.C.podocarpa ITS.C.senagalensis ITS.C.hyssopifolia ITS.C.perotteti ITS.C.leuprieurii ITS.C.atrorubens ITS.C.sphaerocarpa ITS.C.barkae	TGAATGCGCC TCAATGCGCC CGAACGCGCC	AAGGAGAACG AAGGAAATCG AAGGAAATCG AAGGAAATCG AAGGAAATCG AAGGAAATCG AAGGAAATCA AAGGAAATCG	AAATCGTTTA	GTGCACC GTGCGCC GTGCACCC GTGCA.CCCC GTGCACCC GTGCACC GTGCACC GTGCACC GTGCGCC GTGCGCC GTGCGCC GTGCGCC GTGCGCC GTGCGCC GTGCGCC	CCCGTGGGCT CCCGTCGGCT
ITS.C.retusa ITS.C.comosa ITS.C.lathyroides ITS.C.ochroleuca ITS.C.cylindrocarpa ITS.C.goreensis ITS.C.podocarpa ITS.C.senagalensis ITS.C.hyssopifolia ITS.C.perotteti ITS.C.leuprieurii ITS.C.atrorubens ITS.C.sphaerocarpa ITS.C.barkae ITS.C.glaucoides	TGAATGCGCC TCAATGCGCC CGAACGCGCC	AAGGAGAACG AAGGAAATCG AAGGAAATCG AAGGAAATCG AAGGAAATCG AAGGAAATCG AAGGAAATCA AAGGAAATCG	AAATCGTTTA	GTGCACC GTGCGCC GTGCACCC GTGCA.CCCC GTGCACCC GTGCACC GTGCACC GTGCACC GTGCGCC GTGCGCC GTGCGCC GTGCGCC GTGCGCC GTGCGCC GTGCGCC	CCCGTGGGCT CCCGTCGGCT
ITS.C.retusa ITS.C.comosa ITS.C.lathyroides ITS.C.ochroleuca ITS.C.cylindrocarpa ITS.C.goreensis ITS.C.podocarpa ITS.C.senagalensis ITS.C.hyssopifolia ITS.C.perotteti ITS.C.leuprieurii ITS.C.atrorubens ITS.C.sphaerocarpa ITS.C.barkae ITS.C.glaucoides	TGAATGCGCC TCAATGCGCC CGAACGCGCC	AAGGAGAACG AAGGAAATCG AAGGAAATCG AAGGAAATCG AAGGAAATCG AAGGAAATCG AAGGAAATCA AAGGAAATCG	AAATCGTTTA	GTGCACC GTGCGCC GTGCGCC GTGCACCC GTGCA.CCCC GTGCACC GTGCACC GTGCACC GTGCGCC GTGCGCC GTGCGCC GTGCGCC GTGCGCC GTGCGCC GTGCACC	CCCGTGGGCT CCCGTCGGCT CCCGTCGCCT CCCGTCGCT CCCGTCGCCT CCCGTCGCT CCCGTCCT CCCGTCGCT CCCGTCGCT CCCGTCCGCT CCCGTCCT CCCGTCCT CCCTCCT CCCTCT CCCT
ITS.C.retusa ITS.C.comosa ITS.C.lathyroides ITS.C.ochroleuca ITS.C.cylindrocarpa ITS.C.goreensis ITS.C.podocarpa ITS.C.senagalensis ITS.C.hyssopifolia ITS.C.perotteti ITS.C.leuprieurii ITS.C.leuprieurii ITS.C.strorubens ITS.C.sphaerocarpa ITS.C.sphaerocarpa ITS.C.glaucoides ITS.M.sativa	TGAATGCGCC TCAATGCGCC CGAACGCGCC	AAGGAGAACG AAGGAAATCG AAGGAAATCG AAGGAAATCG AAGGAAATCG AAGGAAATCG AAGGAAATCA AAGGAAATCA AAGGAAATCG AAGGAAATTG AAGGAAATTTA	AAATCGTTTA COMMON AAATCGTTTA AAATCGTTTA AAATCGTTTA AAATCGTTTA AAATCGTTTA AAATCGTTTA AAATCGTTTA AAATCGTTTA AAATCGTTTA COMMON AAATCGTTTA AAATCGTTTA AAATCGTTTA AAATCGTTTA COMMON AAATCGTTTA AAATCGTTTA AAATCGTTTA AAATCGTTTA AAATCGTTTA AAATCGTTTA	GTGCACC GTGCGCC GTGCGCC GTGCA.CCCC GTGCA.CCCC GTGCACC GTGCACC GTGCACC GTGCACC GTGCGCC GTGCGCC GTGCGCC GTGCGCC GTGCGCC GTGCACC GTGCACC	CCCGTGGGCT CCCGTCGGCT CCCGTCGCGCT CCCGTCGGCT CCCGGCGGCT CCCGGCGGCT CCCGGCGGCT CCCGGCGGCT CCCGCGGCGCT CCCGGCGGCT
ITS.C.retusa ITS.C.comosa ITS.C.lathyroides ITS.C.ochroleuca ITS.C.cylindrocarpa ITS.C.goreensis ITS.C.podocarpa ITS.C.senagalensis ITS.C.hyssopifolia ITS.C.perotteti ITS.C.leuprieurii ITS.C.atrorubens ITS.C.sphaerocarpa ITS.C.barkae ITS.C.glaucoides ITS.M.sativa	TGAATGCGCC TCAATGCGCC CGAACGCGCC CGAGCGCGCT CGGAGACGGT CGGAGACGGT	AAGGAGAACG AAGGAAATCG AAGGAAATCG AAGGAAATCG AAGGAAATCG AAGGAAATCG AAGGAAATCA AAGGAAATCG ACGGAAATCG ACGGAAATCG ACGGAAATTG ACGGAAATTG ACGGAAATTG ACGGAAATTG ACGGAAATTG	AAATCGTTTA COMMON AAATCGTTTA AAATCGTTTA AAATCGTTTA AAATCGTTTA COMMON AAATCGTTA COMMON AAATCGTTTA COMMON AAATC	GTGCACC GTGCGCC GTGCGCC GTGCACCC GTGCACCC GTGCACC GTGCACC GTGCACC GTGCACC GTGCGCC GTGCGCC GTGCGCC GTGCGCC GTGCGCC GTGCACC	CCCGTGGGCT CCCGTCGGCT CCCGGCGGCT CCCGGCGGCT CCCGGCGGCT CCCGGCGGCT CCCGGCGGCT CCCGGCGCGCT CCCGGCGGCT CCCGGCGGCT CCCGGCGGCT CCCGGCGGCT CCCGAAGGAC TCCGAAAGAC
ITS.C.retusa ITS.C.comosa ITS.C.lathyroides ITS.C.ochroleuca ITS.C.cylindrocarpa ITS.C.goreensis ITS.C.podocarpa ITS.C.senagalensis ITS.C.hyssopifolia ITS.C.perotteti ITS.C.leuprieurii ITS.C.atrorubens ITS.C.sphaerocarpa ITS.C.barkae ITS.C.glaucoides ITS.M.sativa  ITS.C.arenaria ITS.C.retusa ITS.C.comosa ITS.C.lathyroides	TGAATGCGCC TCAATGCGCC CGAACGCGCC CGAGACGGT CGGAGACGGT CGGAGACGGT	AAGGAGAACG AAGGAAATCG AAGGAAATTG ACGAAATTG ACGAAATTG ACGAAATTG ACGAAATTG ACGAAATTG ACGAAATTG ACGAAATTG ACGAAATTG ACGCAACTGCCG CCTTGTGCCGG CCTCGTGCCGG CCTCGTGCCGG	AAATCGTTTA CGTTTA AAATCGTTTA CGTTTA CGCGTGTTA CGCGGTGATGC CGCGGTGATGC CGCGGTGATGC CGCGGTGATGC	GTGCACC GTGCGCC GTGCGCC GTGCACCC GTGCA.CCCC GTGCACC GTGCACC GTGCACC GTGCACC GTGCACC GTGCACC GTGCGCC GTGCGCC GTGCGCC GTGCACC	CCCGTGGGCT CCCGTCGGCT TCCGAAGGAC TCCGAAAGAC TCCGAAAGAC TCCGAAAGAC
ITS.C.retusa ITS.C.comosa ITS.C.lathyroides ITS.C.ochroleuca ITS.C.cylindrocarpa ITS.C.goreensis ITS.C.podocarpa ITS.C.senagalensis ITS.C.hyssopifolia ITS.C.perotteti ITS.C.leuprieurii ITS.C.atrorubens ITS.C.sphaerocarpa ITS.C.barkae ITS.C.glaucoides ITS.M.sativa  ITS.C.arenaria ITS.C.retusa ITS.C.comosa	TGAATGCGCC TCAATGCGCC CGAACGCGCC CGGAGACGGT CGGAGACGGT CGGAGACGGT CGGAGACGGT	AAGGAGAACG AAGGAAATCG AAGGAAATCG AAGGAAATCG AAGGAAATCG AAGGAAATCG AAGGAAATCA AAGGAAATCG ACGGAAATCG ACGGAAATCG ACGGAAATTG ACGGAAATTG ACGGAAATTG ACGGAAATTG ACGGAAATTG	AAATCGTTTA CGTTTA AAATCGTTTA CGCGTTTA CGCGGTGATGC CGCGGTGATGC CGCGGTGATGC CGCGGTGATGC	GTGCACC GTGCGCC GTGCGCC GTGCACCC GTGCACCC GTGCACC GTGCACC GTGCACC GTGCACC GTGCACC GTGCACC GTGCGCC GTGCGCC GTGCGCC GTGCACC G	CCCGTGGGCT CCCGTCGGCT CCCGGCGGCT CCCGGCGGCT CCCGGCGGCT CCCGGCGGCT CCCGGCGCCT CCCGGCGGCT CCCGGCGGCT CCCGAAGGAC TCCGAAAGAC TCCGAAAGAC

```
ITS.C.qoreensis CGGAGACGGT GCTCGTGCGG G.GGTGATGC GACGCGCGTA TCCGAAAGAC
    ITS.C.podocarpa CGGAGACGGT GCTCGTGC.G G.GGTGATGC GACGAGCGTA TCCGAAAGAC
 ITS.C.senagalensis CGGA.ACGGT GCTCGAGCGG GCGGTGAGGC TACACGCGTA TCCGAAGGAC
 ITS.C.hyssopifolia CCGAGGCGGT GCTCGTGCGG GCGGTGACGC TACACGCGTA TCCGAAGGAC
    ITS.C.perotteti CGAAGATGGT GCTCGTGCGG GCGGCGATGC GACACGTGTA TCCGAAAGAC
  ITS.C.leuprieurii CGGAGACGGT GCTCGTGCGG GCGGCGATGC GACACGCGTA ACCGAAAGAC
   ITS.C.atrorubens CGGAGACGGT GCTCGTGCGG GCGGTGATGC GACACGCGTA TCCGAAAGAC
 ITS.C.sphaerocarpa CGGAGACGGT GCTCGTGCGG GCGGTGATGC GACACGCGTA TCCGAAAGAC
       ITS.C.barkae CGGAGACGGT GCTTGTGCGG GCGGTGATGC GACACGCGTA TCCGAAAGAC
   ITS.C.qlaucoides CGGAGACGGT GCTCGTGCGG GCGGTGATGC GACACGTGTA TCCAAAAGAC
       ITS.M.sativa CGGAGACGGT TTTCGTGCGT GTTGTGTTTT GACACATGAT ATAGAATGAC
                  301
                                                                     350
     ITS.C.arenaria TCTCGGCAAC GGATATCTCG GCTCTTGCAT CGATGAAGAA CGTAGCGAAA
       ITS.C.retusa TCTCGGCAAC GGATATCTTG GCTCTTGCAT CGATGAAGAA CGTAGCGAAA
       ITS.C.comosa TCTCGGCAAC GGATATCTCG GCTCTTGCAT CGATGAAGAA CGTAGCGAAA
  ITS.C.lathyroides TCGCGGCGAC GGATATCTCG GCTCTTGCAT CGATGAAGAA CGTAGCGAAA
   ITS.C.ochroleuca TCTCGGCAAC GGATATCTCG GCTCTTGCAT CGATGAAGAA CGTAGCGAAA
ITS.C.cylindrocarpa TCTCGGCAAC GGATATCTCG GCTCTTGCAT CGATGAAGAA CGTAGCGAAA
    ITS.C. goreensis TCTCGGCAAC GGATATCTCG GCTCTTGCAT CGATGAAGAA CGTAGCGAAA
    ITS.C.podocarpa TCTCGGCAAC GGATATCTCG GCTCTTGCAT CGATGAAGAA CGTAGCGAAA
 ITS.C.senagalensis TCTCGGCAAC GGATATCTCG GCTCTTGCAT CGATGAAGAA CGTAGCGAAA
 ITS.C.hyssopifolia TCTCGGCAAC GGATATCTCG GCTCTTGCAT CGATGAAGAA CGTAGCGAAA
    ITS.C.perotteti TCTCGGCAAC GGATATCTCG GCTCTTGCAT CGATGAAGAA CGTAGCGAAA
  ITS.C.leuprieurii TCTCGGCAAC GGATATCTCG GCTCTTGCAT CGATGAAGAA CGTAGCGAAA
   ITS.C.atrorubens TCTCGGCAAC GGATATCTCG GCTCTTGCAT CGATGAAGAA CGTAGCGAAA
 ITS.C.sphaerocarpa TCTCGGCAAC GGATATCTCG GCTCTTGCAT CGATGAAGAA CGTAGCGAAA
       ITS.C.barkae TCTCGGCAAC GGATATCTCG GCTCTTGCAT CGATGAAGAA CGTAGCGAAA
   ITS.C.glaucoides TCTCGGCAAC GGATATCTCG GCTCTTGCAT CGATGAAGAA CGTAGCGAAA
       ITS.M.sativa TCTCGGCAAC GGATATCTAG GCTCTTGCAT CGATGAAGAA CGTAGCGAAA
                     351
                                                                        400
     ITS.C.arenaria TGCGATACTT GGTGTGAATT GCAGAATCCC GTGAACCATC GAGTCTTTGA
       ITS.C.retusa TGCGATACTT GGTGTGAATT GCAGAATCCC GTGAACCATC GAGTCTTTGA
       ITS.C.comosa TGCGATACTT GGTGTGAATT GCAGAATCCC GTGAACCATC GAGTCTTTGA
  ITS.C.lathyroides TGCGATACTT GGTGTGAATT GCAGAATCCC GTGAACCATC GAGTCTTTGA
   ITS.C.ochroleuca TGCGATACTT GGTGTGAATT GCAGAATCCC GTGAACCATC GAGTCTTTGA
ITS.C.cylindrocarpa TGCGATACTT GGTGTGAATT GCAGAATCCC GTGAACCATC GAGTCTTTGA
    ITS.C.qoreensis TGCGATACTT GGTGTGAATT GCAGAATCCC GTGAACCATC GAGTCTTTGA
    ITS.C.podocarpa TGCGATACTT GGTGTGAATT GCAGAATCCC GTGAACCATC GAGTCTTTGA
ITS.C.senagalensis TGCGATACTT GGTGTGAATT GCAGAATCCC GTGAACCATC GAGTCTTTGA
ITS.C.hyssopifolia TGCGATACTT GGTGTGAATT GCAGAATCCC GTGAACCATC GAGTCTTTGA
    ITS.C.perotteti TGCGATACTT GGTGTGAATT GCAGAATCCC GTGAACCATC GAGTCTTTGA
 ITS.C.leuprieurii
                    TGCGATACTT GGTGTGAATT GCAGAATCCC GTGAACCATC GAGTCTTTGA
   ITS.C.atrorubens TGCGATACTT GGTGTGAATT GCAGAATCCC GTGAACCATC GAGTCTTTGA
ITS.C.sphaerocarpa TGCGATACTT GGTGTGAATT GCAGAATCCC GTGAACCATC GAGTCTTTGA
       ITS.C.barkae TGCGATACTT GGTGTGAATT GCAGAATCCC GTGAACCATC GAGTCTTTGA
  ITS.C.qlaucoides TGCGATACTT GGTGTGAATT GCAGAATCCC GTGAACCATC GAGTCTTTGA
       ITS.M.sativa TGCGATACTT GGTGTGAATT GCAGAATCCC GTGAACCATC GAGTTTTTGA
                    401
                                                                       450
    ITS.C.arenaria ACGCAAGTTG CGCCCGAAGC CATTAGGCTG AGGGCACGCC TGCCTGGGTG
      ITS.C.retusa ACGCAAGTTG CGCCCGAAGC CATTAGGCTG AGGGCATGCC TGCCTGGGTG
```

```
ITS.C.comosa ACGCAAGTTG CGCCCGAAGC CATTAGGCTG AGGGCACGCC TGCCTGGGTG
  ITS.C.lathyroides ACGCAAGTTG CGCCCGAAGC CATTAGGCTG AGGGCACGCC TGCCTGGGTG
   ITS.C.ochroleuca ACGCAAGTTG CGCCCGAAGC CATTAGGCTG AGGGCACGCC TGCCTGGGTG
ITS.C.cylindrocarpa ACGCAAGTTG CGCCCGAAGC CATTAGGCTG AGGGCACGCC TGCCTGGGTG
    ITS.C.goreensis ACGCAAGTTG CGCCCGAAGC CATTAGGCTG AGGGCACGCC TGCCTGGGTG
    ITS.C.podocarpa ACGCAAGTTG CGCCCGAAGC CATTAGGCTG AGGGCACGCC TGCCTGGGTG
 ITS.C.senagalensis ACGCAAGTTG CGCCCGAAGC CATTAGGCTG AGGGCACGCC TGCCTGGGTG
 ITS.C.hyssopifolia ACGCAAGTTG CGCCCGAAGC CATTAGGCTG AGGGCACGCC TGCCTGGGTG
    ITS.C.perotteti ACGCAAGTTG CGCCCGAAGC CATTAGGCCG AGGGCACGCC TGCCTGGGTG
  ITS.C.leuprieurii ACGCAAGTTG CGCCCGAAGC CATTAGGCCG AGGGCACGCC TGCCTGGGTG
   ITS.C.atrorubens ACGCAAGTTG CGCCCGAAGC CATTAGGCCG AGGGCACGCC TGCCTGGGTG
 ITS.C.sphaerocarpa ACGCAAGTTG CGCCCGAAGC CATTAGGCCG AGGGCACGCC TGCCTGGGTG
       ITS.C.barkae ACGCAAGTTG CGCCCGAAGC CATTAGGCCG AGGGCACGCC TGCCTGGGTG
   ITS.C.qlaucoides ACGCAAGTTG CGCCCGAAGC CATTAGGCCG AGGGCACGCC TGCCTGGGTG
       ITS.M.sativa ACGCAAGTTG CGCCCGATGC CATTAGGTTG AGGGCACGTC TGCCTGGGTG
                     451
                                                                        500
     ITS.C.arenaria TCGCCCATCG TTGCCC.CAG TGCCTTGGCC TCATGCTAGG CACCGAG...
       ITS.C.retusa TCGCCCATCG TTGCCA.CAG TTCCTTGGCC TCATGCTAGG CACCGAG...
       ITS.C.comosa TCGCCCATCG TTGCCC.CAT TGCTTTGGCC TCGTGCTAGG CACCGAG...
  ITS.C.lathyroides TCGCCCATCG TTGCCC.CAT TGCTTTTGGCC TCGTGATAGG CACCGAG...
   ITS.C.ochroleuca TCGCCCATCG TTGCCC.CGT TGCTTTGGCC TCGTGCTAGG CACCGAG...
ITS.C.cylindrocarpa TCGCCCATCG TTGCCC.CAG TGCCTTGGCC TCGTGCTAGG CACCGAG...
    ITS.C.goreensis
                    TCGCCCATCG TTGCCC.CAG TGCCTTGGCC TCGTGCTAGG CACCGAG...
    ITS.C.podocarpa TCGCCCATCG TAGCCC.CAG TGCCTTGGCC TTGTGCTAGG CACCGAG...
 ITS.C.senagalensis
                    TCGCCCATCG TTGCCC.CAG TGCCTTGGCC TCGTGCTAGG CACCGAG...
 ITS.C.hyssopifolia TCGCCCATCG TTGCCC.CAG TGCCTTGGCC TCGTGCTAGG CGCCGAG...
    ITS.C.perotteti TCGCCCATCG TTGCCCTCAT TGCCTTGGCC TTGTGCTAGG CACCGAG...
 ITS.C.leuprieurii
                     TCGCCCATCG TTGCCCCCAT TGCCTTGGCC TCGTGCCAGG CACCGAG...
   ITS.C.atrorubens TCGCCCATCG CTGCCCCCAG TGCCTTGGCC TCGTGCTAGG CACCGAG...
 ITS.C.sphaerocarpa TCGCCCATCG TTGCCC.CAG TGCCTTGGCC TCGTGCTAGG CACCGAG...
       ITS.C.barkae TCGCCCATCG TTGCCC.CAG TGCCTTGGCC TCGTGCTAGG GACCGAG...
  ITS.C.glaucoides TCACCCATCG TTGCC..TAG TGACTTGGCC TCGTGCTAGG CATCGAG...
                    TCACATATCG AATCCCCTTG CCAATTTCCT ATTTATTAGG TATTGCGTGC
       ITS.M.sativa
                     501
                                                                        550
    ITS.C.arenaria
                     .CTGGGCGAA TGCTGGCTTC CCGTGAGCAA AGCCTCACGG TTGGTTTAAA
       ITS.C.retusa
                    .CTGGGCGAA TGCTGGCTTC CCGTGAGCAA AGCCTCACGG TTGGTTGAAA
                    .CTGGGCGAA TGCTGGCTTC CCGCGAGCAA CGCCTCACGG TTGGTTGAAA
       ITS.C.comosa
  ITS.C.lathyroides
                    .CTGGGCGAA TGCTGGCTTC CCGCGAGCAA CGCCTCACGG TTGGTCGAAA
  ITS.C.ochroleuca
                    .CTGGGCGAA TGCTGGCTTC CCGCGAGCAA CGCCTCACGG TTGGTTGAAA
                    .CTGGGCGAA TGCTGGCTTC CCGCGAGCAA CGCCTCACGG TTGGTTGAAA
ITS.C.cylindrocarpa
                     .CTGGGCGAA TGCTGGCTTC CCGCGAGCAA CGCCTCACGG TTGGTTGAAA
   ITS.C.goreensis
   ITS.C.podocarpa
                     .CTGGGCGAA TGCTGGCTTC CCGCGAGCAA CGCCTCACGG TTGGTTGAAA
ITS.C.senagalensis
                     .CTGGGCGAA TGGTGGCTTC CCGCGAGCAA CGCCTCACGG TTGGTTGAAA
ITS.C.hyssopifolia
                     .CTGGGCGAA TGGTGGCTTC CCGTGAGCAA CGCCTCGCGG TTGGTTGAAA
   ITS.C.perotteti
                    .CTGGGCGAA TGCTGGCTTC CCGCGAGCAA TGCCTCACGG TTGGTTGAAA
                    .CTGGGCGAA TGTTGGCTTC CCGCGAGCAA CGCCTCACGG TTGGTTGAAA
 ITS.C.leuprieurii
                    .CTGGGCGAA TGCTGGCTTC CCGCGAGCAA CGCCTCACGG TTGGTTGAAA
  ITS.C.atrorubens
ITS.C.sphaerocarpa
                     .CTGGGCGAA TGCTGGCTTC CCGCGAGCAA CGCCTCACGG TTGGCTGAAA
                     .CTGGGCGAA TGCTGGCTTC CCGCGAGCAA TGCCTCACGG TTGGTTGAAA
      ITS.C.barkae
                    .CTGGGCGAA TGCTGGCTTC CCGCGAGCAA CGCCTCACGG TTGGTTGAAA
  ITS.C.glaucoides
      ITS.M.sativa AGGGTGAATA TGTTGGCCTC CCGTGAGCTC TGTCTCGTGG TTGGTTGAAA
```

## Annexe 5 : Alignement multiple des séquences ITS obtenu chez 16 individus de la tribu des *Crotalariae*.

	1				50
TMC C	1	C.T.	00000000		50
ITS.C.arenaria	~~~~~~	~~~~~GTA	GGTGAACCTG	CGGAAGGACA	TTGTCGAAGC
ITS.C.retusa	~~~~~~	~~~~~~~		~~~~GATCA	TTGTCGAAGC
ITS.C.comosa	~~~~~~	~~~~~~~	AGGTGAACTG	CGGAAGGACA	TTGTCGAAGC
ITS.C.lathyroides	~~~~~~	~~~~~~~	~~~GAACTG	CGGAAGGACA	TTGTCGAACC
ITS.C.ochroleuca	~~~~~~~	~~~~~GT	AGGTGACCTG	CGGAAGGACA	TTGTCGAAGC
ITS.C.cylindrocarpa	~~~~~~	~~~~~A	GGTGAACTGC	GGAAGGA.CA	TTGTCGAAGC
ITS.C.goreensis	~~~~~~~	~~~~~~	~~GAACCTGC	GGAAGGATCA	TTGTCGAAGC
ITS.C.podocarpa	~~~~~~~	~~~~~~	~~~~~~~	~~~~GATCA	TTGTCGAAGC
ITS.C.senagalensis	~~~~~~~	~~~~~~	~~~~AACTG	CGGAAGGACA	TTGTCGAAGC
ITS.C.hyssopifolia	~~~~~~	~~~~~~	~~~~~~~	~~AAAGGACA	TTGTCGAAGC
ITS.C.perotteti	~~~~~~~	A	GGTGGAACTG	CGGAAGGACA	TTGTCGAAGC
ITS.C.leuprieurii	~~~~~~	~~~~~~~	~~~~~~~	~GGAAGGACA	TTGTCGAAGC
<pre>ITS.C.atrorubens</pre>		~~~~~~~			
ITS.C.sphaerocarpa		GTTTCCGTAG			
ITS.C.barkae		~~~~~~			
ITS.C.glaucoides		~~~~~C			
ITS.M.sativa	~~~~~AAG	GTTTCCGTAG	GTGAACCTGC	GGAAGGATCA	TTGTCGATGC
	51				100
ITS.C.arenaria	CTCGCAAGCA	GTGCGACCCG	TGGATTTGTT	TGACATGTGA	GGGGATGGCT
ITS.C.retusa	CTTGCAAGCA	GTGCGACCCG	TGGATTTGTT	TGACATGTGA	.GGGATGGCT
ITS.C.comosa	CTCACAAGCA	GTGCGACCCG	CGAATTTGTT	TGACGTGTGA	.GGGATGGCT
ITS.C.lathyroides	CTCACAAGCA	GTGCGACCCG	CGAATTTGTT	TGACGTGTGA	•GGGATGGCT
ITS.C.ochroleuca	CTCACAAGCA	GTGCGACCCG	CGAATTTGTT	TGACGTGTGA	•GGGATGGCT
ITS.C.cylindrocarpa	CTCACAAGCA	GTGCGACCCG	CGAATTTGTT	TGACGTGTGA	.GGGATGGCT
ITS.C.goreensis	CTCACAAGCA	GTGCGACCCG	${\tt CGAATTTGTT}$	${\bf TGACGTGTGA}$	.GGGATGGCT
ITS.C.podocarpa	CTCACAAGCA	GTGCGACCCG	CGAATTTGTT	TGACGTGTGA	.GGGATGGCT
ITS.C.senagalensis	CTCACAAGCA	GTGCGACCCG	CGAATTTGTT	TGACGTGTGA	.GGGATGGCT
ITS.C.hyssopifolia	CTCACAAGCA	GTGCGACCCG	$\mathbf{CGAATTTGTT}$	TGACGTGTGA	.GGGATGGCC
ITS.C.perotteti	CTCACAAGCA	GTGCAACCCG	CGAATTTGTT	TGACGTGTGA	.GGGGTGGCT
ITS.C.leuprieurii	CTCACAAGCA	GTGCAACCCG	CGAATTTGTT	TGACGTGTGA	.GGGATGGCT
ITS.C.atrorubens	CTCACAAGCA	GTGCGACCCG	CGAATATGTT	TCACGTGTGA	.GGGATGGCT
ITS.C.sphaerocarpa	CTCGCAAGCA	GTGCGACTCG	CGAATTTGTT	TTACGAGTGA	• GGGATGGCT
ITS.C.barkae	CTCGCAAGCA	GTGCGACCCG	CGAATTTGTT	TGACGTGTGA	GGGATGGCT
ITS.C.glaucoides	CTCACAAGCA	GTGCGACCCG	CGAATTTGTT	TGACGTGTGA	GGGATGGCT
ITS.M.sativa	CTTACATGCA	GTCCAACACG	TGAATCAGTT	TGA.ATACAT	ATGGTTGGCT
	101				150
ITS.C.arenaria	AGAGGCGTTC	TCGTCCTCGG	TCCCCCCTC	GTGTCGGGAG	GCGCC
ITS.C.retusa	TGAGGTGTTC	TCGTCCTCGG	TCCCCCTC	GTGTCGGGAG	GTGCC
ITS.C.comosa	AGAGGTGT		GGTCCCCCTC		
ITS.C.lathyroides	AGAGGTGT		GGTCCCCCTC		
ITS.C.ochroleuca	AGAGGTGT		GGTCCCCCTC		
ITS.C.cylindrocarpa	CGAGGTGTTG	TCGGCTCCTC			
ITS.C.goreensis		TCGGCTCCTC			
ITS.C.podocarpa		TCGGCTCCTC			
ITS.C.senagalensis		TCGGCTCCTC			
•					

	551				
TEG C amazania	551		a. a.a.maa.a.		600
ITS.C.arenaria		TGGTGGGTGG			
ITS.C.retusa		TGGTGGGTGG			
ITS.C.comosa		TGGTGGAGGG			
ITS.C.lathyroides ITS.C.ochroleuca		TGGTGGAGGG			
		TGGTGGAGGG			
ITS.C.cylindrocarpa		TGGTGGAGGG			
ITS.C.goreensis ITS.C.podocarpa		TGGTGGAGGG TGGTGGAGGG			
ITS.C.senagalensis		TGGTGGAGGG			
ITS.C.hyssopifolia		TGGTGGGTGG			
ITS.C.perotteti		TGGTGGAGGG			
ITS.C.leuprieurii		TGGTGGAGGG			
ITS.C. atrorubens		TGGTGGAGGG			
		TGGTGGAGGG			
ITS.C.sphaerocarpa					
ITS.C.barkae		TGGTGGAGGG			
ITS.C.glaucoides		TGGTGTAGGG			
ITS.M.sativa	ATTGAGACCT	TGGTAGGGTG	TGCCATGATA	GATGGTGGAT	GTGTGACCCA
6	01				650
ITS.C.arenaria		GCTTGAGACC	СУЛССТССТТ	CTC A CCCTC A	
ITS.C.retusa		GCTTGAGACC			
ITS.C.comosa		GCTCGAGACC			
ITS.C.lathyroides		GCTCGAGACC			
ITS.C.ochroleuca		GCTCGAGACC			
ITS.C.cylindrocarpa		GCTCGAGACC			
ITS.C.goreensis		GCTCGAGACC			
ITS.C.podocarpa		GCTCGAGACC			
ITS.C.senagalensis		GCTCGGGACC			
ITS.C.hyssopifolia		GCTCGGGTCC			
ITS.C.perotteti		GCTCGAGACC			
ITS.C.leuprieurii		GCTCGAGACC			
ITS.C.atrorubens					
ITS.C.sphaerocarpa		GCTCGAGACC GCTCGAGACC			
ITS.C.sphaerocarpa ITS.C.barkae					
ITS.C.glaucoides		GCTTGAGACC			
ITS.M.sativa		GCTCGAGATC			
IIS.m.sativa	CGAGACCAAA	TCATGTGCAG	CTCTATTGAA	CGTGGACTCT	TTTACCCACA
	651				700
ITS.C.arenaria		ATCCATGAGC	GTCTGTTGGT	CGCCCATGAC	
ITS.C.retusa		ATCCATGAGC			
ITS.C.comosa		ATCCATGAGC			
ITS.C.lathyroides		ATCCATGAGC			
ITS.C.ochroleuca		ATCCATGAGC			
ITS.C.cylindrocarpa		ATCCATGAGC			
ITS.C.goreensis		ATCCATGAGC			
ITS.C.podocarpa		ATCCATGAGC			
ITS.C.senagalensis		ATCCATGAGC			
ITS.C.hyssopifolia		ATCCATGAGC			
ITS.C.perotteti		ATCCATGAGC			
ITS.C.leuprieurii		ATCCATGAGC			
ITS.C.atrorubens		ATCCATGAGC			
		00111 01100	2101011001	COCCAROAC	COCHOCICHO

ITS.C.sphaerocarpa	GAC.TCTATG	ATCCATGTGC	GTCTGTTGGT	CGCCCAAGAC	GGGACCTCAG
ITS.C.barkae	GAC.TCTATG	ATCCATGAGC	${\tt GTCTGTTGGT}$	CGCCCAAGAA	GTGACCTCAG
ITS.C.glaucoides	GAC.TCTATG	ATCCATT~~~	~~~~~~~	~~~~~~~	~~~~~~~
ITS.M.sativa	TGTGTTTTAT	AACGCTCGTG	ATGAGACCTC	AGGTCAGGCG	GGGCTACCCG
	701				750
ITS.C.arenaria		GCTACCCGCT			
ITS.C.retusa		${\tt GCTACCCGCT}$			
ITS.C.comosa		GCT~~~~~			
ITS.C.lathyroides		GCTCAC			
ITS.C.ochroleuca		${\tt GCTACCGCT}$			
ITS.C.cylindrocarpa	GTCAGGCGGG	${\tt GCTCACCCGC}$	TGAGTTTAA~	~~~~~~~	
ITS.C.goreensis		GCT.ACCCGC			
ITS.C.podocarpa		AGGCGGGGCT			
ITS.C.senagalensis	GTCAGGCGAG	${\tt GCTCACCCGC}$	TGAGTTTAA~	~~~~~~	~~~~~~~
ITS.C.hyssopifolia		G~~~~~~			
ITS.C.perotteti	GTCAGGCGGG	GCTCACCCGC	TGATTTAACA	~~~~~~~	~~~~~~~
ITS.C.leuprieurii	GTCCAGG~~~			~~~~~~	
ITS.C.atrorubens	GTCAGGCGGG	GCTAC~~~~	~~~~~~	~~~~~~~	~~~~~~
ITS.C.sphaerocarpa	GTCAGGCGGG	GCTA~~~~	~~~~~~~	~~~~~~~	~~~~~~
ITS.C.barkae	GTCAGGCGGG	GCTACC~~~~	~~~~~~~	~~~~~~	~~~~~~
ITS.C.glaucoides	~~~~~~~	~~~~~~	~~~~~~	~~~~~~	~~~~~~
ITS.M.sativa	CTGAATTTAA	GCATATCAAT	AAGCGGAGGA	AAAGAAACTA	ACAAGGATTC

### Annexe 6. Séquence nucléotidique du clone STM 245 contenant le gène mxaF, (position 1583 à 3472).

```
gcatgcgctg atcgacaaag tcctgcatta cctttgccga cgcgctggaa cacattcggt cgccgatgcc
  71
      ttcgcggcga gtcacgtccg cgggctcacg atcgcagcac cgaccaccga cacgcctctc tcgcaagacg
      ccatcggcgc ggcgcttgcg cctgtgtttg agcttgggct gccaatcgct ctttaccagc tgccgcaggt
 141
 211
      gactgggaac acqatqacac cggaactggt tgctgggctg gcggagcgct ttccgaatct gctcctgttc
 281
      aaggacaqca gcgqcaggga tgaagtggct gctgtcaggc cgaatgcccg caggagtgac gctcctgcgc
 351
      ggcgccgagg gcgactatgc tcaatggagc aaagcacatg gtggcgtgta tgacggcttc ctgctcagca
 421
      qtqccaacqc cttcccqqcc caqctcqcqa caqtqctcqa acatctccaq cacgggcgca ttgcagaagc
 491
      tgaacggtgc tcggcggcca tttcggcagc ggttgccgac gcttttgcgg ccgtcgtcga ggtgcggcag
      ggcaatgcat tcacgaacgc gaacaaggct cttgctcata tcatggccta tggccgtgac gcgctcgaag
 561
 631
      caccgccgcc gaggctctat gccggcggtc atcttccgca ctcgaccctg aaaacggtta tggagtccct
 701
      gacccgcaat gggctcctac ccggacgcgg ttaccttgag aaccgtgggt gaggctgaac accggtctca
 771
      atcgcaacaa ggtctattca cgcaagcatg gaacgagacc gacagaggac aagaggttga ggatgttgct
 841
      totgagaago aactttggga acaccgtcac tgggaaagco ggccaaacaa gccgtcgtcg tgccggcgc
 911
      tgaaggcgcc ataagccgtt tagcgcggcg gcagatcctt gggggtcagc cgccaagcga tcccgcctcg
 981
      caggacgtaa aagaccgcgc tcaggatctc gcgaggcgtc cagacgggcg gtcggccttg acccgccaga
1051
      aggetgttge tegacagace teggaagete egetgeatae eagetggeea acettgeaaa agteeaageg
1121
      ctgcccttcg agaatgtgcg cagcgacagc cggaaactgt cctatcggca cgttgccctc atagagcacc
1191
      gcaacgaact cggcgccgac tctgtccgcg aaccgctgca aatgcttggt gtgtttgttc tctaatccgg
1261
      cagtactttc gacgcaaggg cacgcattgc ggtctgttcg ccagcgtcga gacgctgatc cggatcctat
1331
     gaaggtgcgc gtgcgataaa ttgccaaatt atcccagcat gaaattgaaa ttgtcctaca gacacccact
1401
      gccaggtgac gtatgaacga gagcatcttg agcattaata agtgattttt aaatcttatg aagcacatat
1471
      aataaaaatc attaggaaaa tacacaaaca tcacggttcc aatgcttctc gatgcgtgaa cagaaactgc
1541
     tccgcggctg tgtgggcggg gatatgcaga tgggagacgc acatgctggg taagattgtg gttcgttgtc
1611
      ggacgggggt gtcagtggct gccctggcgg cgctgctgcc gctcgccggc ccttcggcgc tcgcgaacga
1681
      caagetegte qagetqtega agagegaegg aaactgggtg atgeeeggga agaactaega eteegaeaac
1751
      tacaqcaagc tqaaqcaqat caacqccqaq aacqtcaaqa acctqaaggt gtcgtggcag ttctcgaccg
1821
      qactqctqaa cqqccacqaa qqcqccqc tcqtcqtcqa cqqcacqatq tacqtqcaca cctcqttccc
1891
      qaacaacacc ttcqcqctcq qcctqqacqa tccqqqcaaq atcctqtqqc aqqacaagcc caagcagaac
1961
      coqqoqqoqo qotoqqtqqo otqotqoqao otoqtoaaco qoqqootoqo otattggoog ggogaoggoa
2031
      agaccccqtc cctgatcctc aagacqctqc tcqacqqcca cqtcqtqqcc ctcaacgccc agacgggcga
2101
      gaccgtctgg aagatcgaga attccgatat ccgggtcggc tcgacgctca ccatcgcccc ctatgtggtc
2171
      aaggacaagg tgatcatcgg ctcctcgggc gccgaactcg gcgtgcgcgg ctatctcacc gcctacgacg
2241
      teegeaeggg egageagaag tggegegeet aegeeaeggg teeggattee gaeetgetge tggeeaagga
2311
      cttcaacatc cacaacgccc attacggcca gaaggggctc ggcacctcga cctgggaggg cgacgcctgg
      aagatcggcg gcggcaccaa ctggggctgg tacgcctatg accccggcac caacctgatc tatttcggca
2381
      ccggcaaccc ggcgccctgg aacgagacca tgcgtccggg cgacaacaag tggacgatga ccatcttcgc
2451
2521
      ccgcgacgtc gataccggcg aggccaagtt cggctaccag aagacgccgc acgacgagtg ggattacgcg
2591
      ggcgtcaacg tgatgatgct ctcgacccag aaggaccgga gcggcaagga gcgcaagctg ctgacgcatc
      cggaccgcaa cggcatcgtc tacaccctcg accgcaccaa cggcgacctg atctccgccc acaagatcga
2661
2731
      cgacaccgtc aacgtcttca agaccgtcga cctcaagtcg ggcctgccgg tgcgcgatcc ggaatacggc
2801
      acceggatgg accatetege caaggacate tgteecteeg egatgggeta teacaaceag ggeeaegatt
2871
      cctatgatcc ggagcgcaag ctcttctaca tgggcatcaa ccacatctgc atggattggg agcccttcat
2941
      gctgccctac cgcgccggc agttcttcgt cggcgcgacg ctcaacatgt atccgggccc gaagggcgac
3011
      cgccagaacg ccgagggcct cggccagatc aaggcctacg acgccatcac cggcaagttc aaatgggaga
3081
      agatggageg tttegeggte tggggeggaa egetegeeae egeeggeaae gtggtettet aeggaaeeet
3151
      ggacggette atcaaggege gecacteega caegggtgaa etgetetgga aggegaaget geeeteggge
3221
      gcgatcggct atcccgttac ctacacccac aagggcaccc agtacgtggc gatctactac ggcgtcggcg
3291
      gttggccggg cgtcggcctc gtcttcgacc tgcaggatcc gaccgccggc ctcggcgcgg tcggcgcctt
3361
      caaqaaqctc qccaactaca cccaqatqqq cqqtqqcqtq accqtqttct ccctcgacgg caagggtccc
3431
      tacgacgacc cgaataccgg cgagtacgtg gcggccaact qatcagccag ggccgggccg tcatcggccc
3501
      ggcccgtccc cttgggcctg attgtcacgg attgagagca tgc
```

### RESUME

Grâce à leur capacité à fixer l'azote, les petites légumineuses tropicales spontanées jouent un rôle majeur dans le maintien de la fertilité des sols des jachères africaines. Après avoir constitué une collection de rhizobiums à croissance lente, isolés des légumineuses de jachères, nous avons d'abord montré la grande diversité de ces souches en utilisant les techniques SDS-PAGE et ARDRA. Elles forment plusieurs groupes phylogénétiques différents au sein du genre Bradyrhizobium.

Nous avons découvert que plusieurs espèces de Crotalaria (C. podocarpa, C. glaucoides et C. perrottetii) présentaient une spécificité de nodulation, ne formant des nodules qu'avec des souches à croissance rapide. Leur caractérisation génotypique et phylogénétique montre qu'elles appartiennent au genre Methylobacterium et constituent une nouvelle espèce que nous avons nommée "Methylobacterium nodulans". L'étude des gènes de nodulation a montré que "M. nodulans" est la première espèce de Methylobacterium symbiotique connue à ce jour. Elle contient un gène nodA proche de celui des Bradyrhizobium, suggérant ainsi un transfert latéral de gènes.

La mise en évidence du gène mxaF qui code pour la grande sous-unité de la Méthanol deshydrogénase qui intervient dans l'oxydation du méthanol et l'étude de sa fonctionnalité, démontrent que "M. nodulans" est méthylotrophe facultatif, caractère unique chez les rhizobiums. L'utilisation de mutants spontanés semble montrer que cette propriété ne jouerait pas un rôle dans l'infection et le développement du nodule dans la symbiose. La découverte des Methylobacterium ouvre d'importantes perspectives dans l'utilisation des légumineuses à des fins écologiques notamment dans la dépollution biologique.

<u>TITLE</u>. Characterization of *Methylobacterium nodulans*, a new bacterium nodulating the legume crotalaria.

#### **ABSTRACT**

Through their nitrogen fixing ability, tropical spontaneous legumes, too often considered as weeds, play an important role in maintaining soil fertility and nitrogen balance in African fallow lands. Isolation and characterization of a large collection of slow-growing rhizobia by SDS-PAGE and ARDRA methods showed a great diversity among these strains, which form several phylogenetic groups within the Bradyrhizobium genus. However, we evidenced that SDS-PAGE was not a method to be used for characterization of Bradyrhizobium.

Nodulation tests on numerous species of small legumes revealed that some plant species belonging to the genus Crotalaria (C. podocarpa, C. glaucoides and C. perrottetii) are highly specific and are exclusively nodulated by fast growing strains. Genotypic and phylogenetic studies showed that these specific Crotalaria rhizobia belong to the genus Methylobacterium and constitute a new species for which we propose the name "Methylobacterium nodulans". "M. nodulans" is the first symbiotic Methylobacterium species known so far. The close phylogenetic relationship between "M. nodulans" and Bradyrhizobium nodA gene suggests a lateral gene transfer.

Isolation of a functional mxaF gene encoding the  $\alpha$ - sub-unit of MDH, the enzyme which catalyses methanol oxidation, demonstrates that "M. nodulans" is a facultative methylotrophic bacterium, a unique feature among rhizobia. By using spontaneous mutants, it seems however that methylotrophy does not play an important role in nodule infection and development. Nevertheless, because of the ability of Methylobacterium to metabolize various pollutants, the Methylobacterium-legumes symbiosis might play an important ecological role, notably in road sides and urban environments depollution.

DISCIPLINE. Ecologie Microbienne

MOTS-CLES. Légumineuses spontanées, Crotalaria, Spécificité, Methylobacterium

#### INTITULE ET ADRESSE DU LABORATOIRE DE RATTACHEMENT

Institut de Recherche et Développement

Laboratoire des Symbioses Tropicales et Méditerranéennes (LSTM)

UMR 113, Campus International de Baillarguet,

TA10J, 34398 Montpellier Cedex, France